

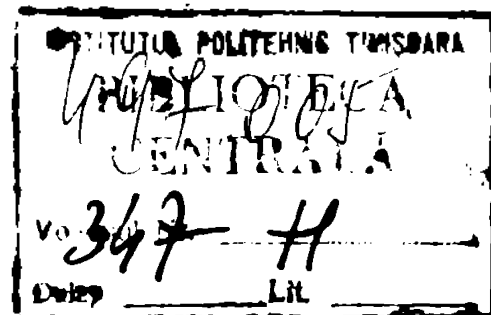
INSTITUTUL POLITEHNIC "TRAIAN VUIA"
T I M I S O A R A
FACULTATEA DE ELECTROTEHNICA

Ing. CORNELIU VELICESCU

CONTRIBUTII LA CALCULUL REGIMURILOR
TRANZITORII ALE LINIILOR ELECTRICE
LUNGI CU PARAMETRII VARIABILI

Teză de doctorat

BIBLIOTECA CENTRALĂ
UNIVERSITATEA "POLITEHNICA"
TIMIȘOARA



Conducător științific
Prof.dr.ing. DE SABATA IOAN

1 9 8 5

C U P R I N S

P a g e.

1. INTRODUCERE	5
2. ANALIZA PARAMETRILOR LINEICI TRANZITORII.....	13
2.1. Introducere	13
2.2. Parametrii lineici ai liniilor elec- trice lungi	15
2.2.1. Rezultate de calcul asupra efectului pericolos	18
2.3. Efectul solului asupra parametrilor lineici tranzitorii	19
2.3.1. Rezultate de calcul și concluzii	24
2.4. Influența conductoarelor de protecție asupra parametrilor lineici în mărime de fază	31
2.5. Compararea corecției parametrilor lineici tranzitorii calculată și aproximată	34
2.6. Parametrii lineici în componente modale	37
2.6.1. Rezultate de calcul	40
2.6.1.1. Impedanța de undă	42
2.6.1.2. Constanta de propagare.....	42
2.6.1.3. Constanta de timp a liniei	43
2.6.1.4. Viteza de propagare a undelor	44
2.7. Obținerea unei expresii îmbunătățită a impedanței lineice tranzitorii	45
3. CALCULUL REGIMULUI TRANZITORIU PENTRU LINIA TRIFAZATA IN GOL, CONSIDERIND DEPENDENTA DE FRECVENTA A PARAMETRILOR LINEICI	47
3.1. Mod de abordare și ipoteze de calcul	47
3.2. Calculul constantei de propagare a liniei în componente α, β, σ	49

3.3.	Determinarea funcției de răspuns tran- zitoriu în componente α, β, σ	51
3.4.	Calculul FHT în domeniul timpului	53
3.5.	Considerarea alimentării LEA cu un sistem trifazat de tensiuni	57
3.6.	Rezultate de calcul	58
3.6.1.	Alegerea pasului de timp pentru calcul τ	58
3.6.2.	Calculul funcției complementare a erorilor	59
3.6.3.	Considerarea momentului conectării fazelor și a decalajelor dintre ele ..	60
3.6.4.	Calculul parametrilor lineici transitorii	62
3.6.5.	Exemple de calcul și concluzii	63
4.	CALCULUL REGIMULUI TRANZITORIU PENTRU LINIA TRIFAZATA COMUTATA PESTE O REZISTENTA ELECTRICA CONSIDERIND DEPENDENTA DE FRECVENTA A PARAMETRI- LOR LINEICI	73
4.1.	Considerente de calcul	73
4.2.	Calculul FHT_R în componente α, β, σ	73
4.3.	Calculul FHT_R în domeniul timpului	76
4.3.1.	Cazul valorilor complexe pentru polii lui $\varphi(p)$	77
4.3.2.	Cazul existenței valorilor reale pentru polii lui $\varphi(p)$	78
4.4.	Exemple de calcul	85
4.5.	Considerarea unor neliniarități de tip rezistiv în propagarea undelor de su- pratenșiune	88
4.5.1.	Propagarea undelor de supratenșiune în circuite conținând descărcătoare cu rezistență variabilă	89
4.6.	Considerarea descărcării corona în propagarea undelor de supratenșiune	94
4.6.1.	Modul matematic pentru conside- rarea efectului corona	101
4.6.2.	Linie cu element terminal de tip descărcător cu rezistență variabilă	

în condițiile considerării fenomenului corona	108
4.6.3. Rezultate de calcul	109
4.6.4. Influența descărcătoarelor neliniare asupra undelor de supratensiune	116
5. LINIE ELECTRICA AVIND CONECTAT LA CAPATUL TERMINAL REACTOR SUNT SI AUTOTRANSFORMATOR SUPUSA SUPRATENSIUNILOR INTERNE SAU EXTERNE	121
5.1. Introducere	121
5.2. Prezentarea schemelor electrice echivalente.....	121
5.2.1. Scheme electrice echivalente pentru reactoarele de compensare	121
5.2.2. Scheme electrice echivalente pentru transformatoare și autotransformatoare.....	124
5.2.3. Considerarea caracteristicii de magnetizare a reactoarelor și autotransformatoarelor și a pierderilor în fier.....	127
5.3. Calculul FRT pentru LEA cu condiție terminală inductiv-rezistivă. Soluția directă.....	132
5.3.1. Calculul în transformată Laplace	132
5.3.2. Determinarea expresiei FRT în domeniul timpului	137
5.4. Calculul FRT pentru LEA cu condiție terminală inductiv-rezistivă. Aplicarea teoremei Thévenin	140
5.4.1. Calculul în transformată Laplace	140
5.4.2. Calculul FRT în domeniul timpului	143
5.5. Calculul FRT pentru LEA avînd condiție terminală descărcător cu rezistență variabilă și reactor de compensare	144
5.6. Calculul FRT pentru LEA avînd condiție terminală R, L, C	147
5.7. Rezultate de calcul	150
6. COMPARAREA REZULTATELOR TEORETICE CU CELE EXPERIMENTALE	153
6.1. Considerații generale	153
6.2. Compararea valorilor parametrilor lineici	154

	Pag.
6.3. Analiza comparativă a supratensiunilor de comutație	156
6.3.1. Compararea cu rezultate obținute în sistemul electric național	159
7. C O N C L U Z I I	167
8. BIBLIOGRAFIE	173
A N E X A	
Ordinogramsis programelor de calcul	191

I. I N T R O D U C E R E

Importanța cunoașterii valorilor supratensiunilor care apar în sistemele electrice este dictată de necesitatea asigurării unui grad de fiabilitate sporit pentru funcționarea elementelor de sistem în condiții economice rezonabile. Avînd în vedere dezvoltarea continuă ca și complexitate a configurației sistemelor electrice, cît și multitudinea regimurilor posibile de funcționare, în condițiile creșterii nivelului de tensiune a rețelelor, problema determinării nivelului supratensiunilor este de continuă actualitate. Este de interes găsirea măsurilor concrete necesare reducerii nivelului supratensiunilor.

Primele studii în acest domeniu au apărut după 1920 prin extinderea concluziilor cu privire la propagarea semnalelor telegrafice. După 1960, comitete și instituții de profil, organizate pe studiul unor anumite tipuri de supratensiuni publică periodic concluziile lor, stadiul și perspectiva în domeniu. Sînt cunoscute comitetele de lucru din cadrul CIGIE și IEEE on PAS. Ultimul raport al acestui din urmă institut al patrulea de la înființare prin comitetul "IEE Working group on switching surges" publicat în 1982 /114/, oferă concluzii asupra controlului și reducerii supratensiunilor de comutație pe liniile electrice de înaltă tensiune. Un grup de lucru în cadrul CIGIE se ocupă de supratensiunile atmosferice /28//40/.

Clasificarea supratensiunilor este realizată și acceptată pe plan internațional, principalele criterii fiind cauzele care provoacă aceste supratensiuni cît și forma lor de modificare în timp.

În cadrul prezentei lucrări, autorul își concentrează atenția asupra calculului supratensiunilor interne apărute prin comutarea unor elemente de sistem, în speță de conectări și deconectări de linii electrice, cît și determinarea în condiții concrete, a supratensiunilor exterioare apărute prin lovituri atmosferice de trăsnet în conductoarele liniilor.

În dezvoltările analitice obținute pentru calculul acestor supratensiuni s-au considerat cît mai puține ipoteze simplificatorii pentru a putea obține o comparație a rezultatelor de calcul cu cele obținute din măsurători în sistemul natural.

Astfel s-au pus în evidență următoarele aspecte :
- considerarea dependenței de frecvență a parametrilor lineici

- cît și a elementelor conectate la linie;
- acceptarea prezenței solului cu o conductivitate finită și cu parametri dependenți de frecvență în procesul de propagare a supratensiunilor;
- considerarea caracterului trifazat al liniei ;
- influența conductoarelor de protecție asupra parametrilor electrici ai liniei ;
- determinarea supratensiunilor de comutație datorate conectării nesimultane a polilor întrerupătoarelor;
- dezvoltarea de modele matematice pentru considerarea caracteristicilor neliniare de magnetizare a transformatoarelor și a reactoarelor șunt;
- folosirea caracteristicilor neliniare tensiune-curent a descărcătoarelor cu rezistență variabilă;
- evidențierea fenomenelor neliniare care însoțesc propagarea supratensiunilor atmosferice la apariția fenomenului corona, cu specificarea valorilor parametrilor electrici caracteristici.

Regimurilor tranzitorii determinate, în condițiile enumerate anterior, li s-au întocmit programe de calcul proprii obținându-se rezultate concrete. S-au considerat cazurile liniilor de 400 kV și 750 kV, ultima aflată în construcție în țară.

Noțiunea de supratensiune este atribuită fie tensiunii măsurate față de pământ sau tensiunilor dintre faze, tensiuni variabile în timp, care depășesc prin valorile lor de vîrf valoarea maximă a tensiunii efective care apare în locul respectiv în regimurile normale de funcționare.

Supratensiunile se apreciază uzual în unități relative prin raportarea valorii maxime a acestora la valoarea efectivă maximă a tensiunii existentă în regimul normal, adică

$$u [u.r.] = \frac{u_{max}}{\sqrt{2} \frac{U}{\sqrt{3}}}$$

Valorile supratensiunilor de comutație sînt influențate de configurația fazelor liniilor electrice corespunzătoare stîlpului folosit, de puterea de scurtcircuit a sursei la care se realizează conectarea sau deconectarea liniilor, de lungimea liniilor, de elementele de compensare existente pe linie, de mărirea și tipul sarcinii conectată liniei, de momentul închiderii polilor întrerupătoarelor de conectare.

Mărimea acestor supratensiuni este în domeniul 1-4 u.r. /114/ Se tinde la reducerea acestora la valoarea recomandată în /114/ de 1.5 u.r. Modalitățile de micșorare a supratensiunilor de comutație sînt în general următoarele:

- modificarea adecvată a configurației rețelelor electrice,

- încorporarea în circuitele întrerupătoarelor a unor rezistențe electrice pe timpul operațiilor de conectare și deconectare. Valorile acestora sînt cuprinse între 300-600 Ω pe fază la liniile de 400-550 kV, obținîndu-se o reducere a supratensiunii la 2 u.r.

Recent s-au experimentat întrerupătoare cu rezistențe de inserție în mai multe trepte reducîndu-se supratensiunea de comutație la 1.5 /114/.

- controlul închiderii polilor întrerupătoarelor la conectare funcție de diferența de potențial dintre aceștia,

- utilizarea de descărcătoare de rezistență variabilă repartizate de-a lungul liniei. Realizările moderne de astfel de descărcătoare pe bază de oxizi metalici au proprietăți deosebite de acumulare și degajare a căldurii, lucru care le permite funcționări repetate. Se obține reducerea supratensiunii la 1.5 u.r.

- folosirea de reactoare șunt care reduc îndeosebi componentele supratensiunilor de comutație pentru frecvența industrială /55/.

Se apreciază că în următorii ani să se dezvolte și controlul supratensiunilor de comutație a tensiunilor între faze prin metode similare controlul supratensiunilor fază-pămînt.

Problema cunoașterii supratensiunilor care solicită elementele componente ale sistemului electric reține atenția cercetătorilor de jumătate de veac asistînd în ultimul deceniu la realizări spectaculoase în ceea ce privește complexitatea aspectelor luate în discuție.

Se disting trei mari posibilități de abordare a tematicii:

A. Metoda experimentării în sistemul electric real este cea mai concludentă, dar totodată cea mai costisitoare necesită aparatură complexă, cît și scoaterea pe o anumită perioadă de timp a unor porțiuni din sistem din circuitul funcțional curent. În ultimul timp metoda este practică prin așteptare, adică se montează echipamentul de măsură care urmează să înregistreze fenomenele tranzitorii care vor apărea ulterior func-

ționării normale. Se întâmpină totuși greutăți în aprecierea exactă a tipului și caracteristicilor elementului perturbator. De asemeni, datele obținute nu pot fi prea numeroase pentru a constitui o bază statistică a solicitărilor reale./32/, /35/, /95/, /100/

B. Metoda modelărilor analogice folosește posibilitatea rezolvării ecuațiilor diferențiale care guvernează desfășurarea fenomenelor tranzitorii prin modelare pe calculatoare analogice. Se recurge la metoda diferențelor finite sau la cea a separării variabilelor /82/, /83/, /113/, /118/. Ecuațiile sînt rezolvate analogic prin prezența în schemele echivalente a elementelor operaționale de tip integratoare și amplificatoare inversoare.

O variantă a modelării analogice o constituie analizoarele tranzitorii de rețea, acestea fiind în principiu un calculator analogic pasiv. După deceniul al șaselea în cadrul CIGRE-ului s-au desfășurat intense preocupări pentru construcția de astfel de analizoare. În principal, modelarea elementelor de rețea ridică următoarele probleme:

- în modelarea surselor se acceptă că acestea sînt suficient de depărtate electric de rețelele de înaltă tensiune fiind modelate prin reactanța subtranzitorie echivalentă ;

- transformatoarele se reprezintă printr-o schemă echivalentă corespunzătoare reactanței de dispersie și a capacității proprii echivalente ; această din urmă putînd fi neglijată în raport cu capacitățile rețelelor. Se pot modela transformatoarele într-o reprezentare nepretențioasă printr-o reactanță echivalentă avînd însă aceeași caracteristică de amortizare cu reactanța de dispersie a transformatorului /72-81/;

- liniile electrice se modelează prin scheme electrice echivalente corespunzătoare unor înscrisuri de octopoli reprezentînd fiecare o secțiune trifazată de linie. Se acordă atenție factorilor de amortizare a modelului pentru a se reproduce cît mai fidel caracteristica de frecvență a liniei ;

- sarcinile electrice se reprezintă prin șunturi de impedanță mare, dar reprezentarea lor este aproximativă datorită incertitudinii cunoașterii comportării tranzitorii a sarcinii globale.

Folosirea analizoarelor tranzitorii este o metodă fructuoasă în cazul asigurării unei modelări pretențioase a elementelor de sistem /117/. Rezultatele obținute sînt influențate de

posibilitatea mai puțin fidelă de modelare a variației cu frecvență a parametrilor electrici.

C. Metode analitice

Odată cu dezvoltarea tehnicii de calcul au luat naștere modele electromagnetice de calcul complexe care reproduc analitic cât mai fidel comportarea reală a elementelor de sistem în regimurile tranzitorii. Se disting foarte multe posibilități analitice de abordare a regimurilor tranzitorii, unele din ele devenite clasice. Există și posibilitatea folosirii combinate a mai multor metode funcție de precizia lor și de facilitățile de calcul oferite.

Metodele analitice de calcul sînt în general cunoscute, astfel încît autorul se rezumă doar la enumerarea celor mai importante. Multe modele matematice folosesc metode combinate. Se disting următoarele metode:

1. Metoda transformatei Laplace sau Fourier /16/, /22/, /62/, /64/, /66-68/, /84/, /91/, oferind posibilitatea considerării dependenței de frecvență a parametrilor lineici, dar cu limitări în ceea ce privește convergența integralei de transformare, în cazul celei de a doua transformate, aplicîndu-se în consecință metoda Fourier modificată.

2. Metoda undelor directe și reflectate, avînd la bază extinderea metodei undelor a lui Bergeron /85/. Metoda s-a dezvoltat și pentru cuprinderea dependenței de frecvență a parametrilor lineici. /88/

3. Metoda undelor călătoare (Kostenko) /116/ bazată pe metoda anterioară cu aplicarea coeficienților de transmisie și reflexie.

4. Metoda diagramei rețea (Bewley) cu aplicație grafică presupunînd descompunerea undelor în funcții treaptă unitate retardate.

5. Metoda coordonatelor generalizate (Lagrange) folosind elementele rezolvării ecuației diferențiale cu derivate parțiale de gradul doi a lui Lagrange.

6. Metoda funcțiilor Laguerre generalizate oferind și posibilități de modelare analogică /90/.

7. Metoda transformatelor modale /13/, /64/, /84/, /91/. Oferă posibilitatea abordării cazurilor mai complexe ca și configurație a rețelei studiate.

8. Metoda funcției de răspuns tranzitoriu completată de folosirea integralei Duhamel /17/, /102/, /107/, /126-130/.

În prezenta lucrare autorul a abordat determinarea supra-tensiunilor pe baza metodei transformatei Laplace aplicată pentru determinarea funcției de răspuns tranzitoriu folosind apoi integrala Duhamel. Scopul declarat al prezentării este de a obține modele matematice cât mai exacte, concentrate în programe de calcul optimizate din punctul de vedere al timpului de utilizare, astfel încât să poată fi folosite chiar și pentru determinări statistice a valorilor supra-tensiunilor de comutație. Validarea acestor modele matematice se face prin confruntarea cu rezultatele unor experimentări în sistemul natural sau măsurători pe analizoare tranzitorii de rețea pe care autorul le-a efectuat sau le-a avut la dispoziție.

Teza de doctorat este concepută unitar avînd un caracter original în sensul că autorul a dedus majoritatea relațiilor de calcul folosite și a analizat în amănunt și dezvoltat elementele primare adoptate.

Teza se extinde pe 7 capitole cuprinzînd o bibliografie de 147 titluri din care 16 aparțin autorului. În anexe sînt redate principalele ordinograme ale programelor de calcul. Fiecare capitol se termină cu rezultate de calcul concrete obținute pe baza unor programe de calcul proprii.

Avînd în vedere importanța vitală a cunoașterii parametrilor lineici tranzitorii pentru un calcul corect al supra-tensiunilor, autorul acordă o atenție specială acestei probleme în capitolul al doilea al tezei. Se determină comparativ modalitățile de calcul a efectului pelicular și influența pămîntului în procesul de propagare a supra-tensiunilor. Se realizează o analiză extinsă în domeniul frecvenței a acestor influențe, atît în mărimi de fază, cît și în componente, în transformată Clarke .

Se deduc relații de calcul proprii pentru considerarea efectului pelicular și în domeniul frecvențelor mari 10^3 - 10^6 Hz. Această analiză are ca obiect liniile de înaltă tensiune de 400 kV și 750 kV echipate cu elementele constructive realizate în țară. Scopul acestei analize este de a obține expresii de calcul pentru parametrii lineici și cei caracteristici, în componente Clarke , în transformată Laplace, care să redea cît

mai fidel comportarea în timp a acestora.

Capitolul 3 este dedicat calculului supratensiunilor de comutație la conectarea liniilor electrice în gol. S-a acordat o atenție deosebită obținerii unor expresii analitice cât mai exacte avînd în vedere că ulterior autorul reușește să exprime și alte regimuri de funcționare prin relații analitice dependente de regimul de mers în gol. Se oferă în finalul capitolului rezultate concrete de calcul evidențiindu-se calitativ și cantitativ influențele considerării dependenței de frecvență a parametrilor lineici tranzitorii, precum și conectarea controlată sau aleatorie a succesiunii fazelor sursei.

Se tratează cazul liniilor de 400 kV și de 750 kV.

Conținutul capitolului al 4-lea se referă la considerarea descărcătoarelor cu rezistență variabilă în propagarea supratensiunilor de comutație și atmosferice. Autorul deduce trei metode distincte și originale pentru acest calcul, una bazată pe dezvoltarea unor expresii a funcției de răspuns tranzitoriu pe baza funcțiilor factoriale ale lui Euler, alta folosind polinoamele Hermite. O metodă separată se bazează pe deducerea unui algoritm de calcul pentru găsirea punctului de funcționare pe caracteristica tensiune-curent a descărcătorului de rezistență variabilă liniarizată pe porțiuni. Se consideră două tipuri de descărcătoare, pe bază de carbură de siliciu și pe bază de oxizi metalici. În partea a doua a capitolului se pun în evidență fenomenele neliniare datorate descărcării corona. Se deduc relații de calcul prin aplicarea teoremei Thévenin scrisă în transformată Laplace. Rezultatele concrete de calcul sînt redată în finalul capitolului considerîndu-se pentru lovitura de trăsnet forme analitice ca unda treaptă unitate și forma dublu exponențială, în două variante cu referire la viteza de variație a frontului undei.

Capitolul 5 tratează linia electrică avînd conectat la capătul terminal reactoare de compensare și autotransformatoare. Se prezintă modele matematice pentru considerarea dependenței de frecvență a parametrilor electrici ai autotransformatoarelor, precum și evidențierea neliniarităților cauzate de saturația miezului magnetic.

Se deduc relații de calcul pentru determinarea supratensiunilor la capătul terminal al liniei pentru supratensiunile de comutație și cele atmosferice prezentîndu-se cîte două metode de calcul pentru fiecare caz. S-au scris programe de calcul pentru cazurile reprezentative, finalul capitolului oferind rezultatele

obținute.

Validarea rezultatelor practice de calcul este prezentată în capitolul 6. Se arată comparativ exemplele concrete obținute din măsurătorile supratensiunilor de comutație în sistemul electric real efectuate de ICEMENERG față de aceleași cazuri tratate analitic cu modelele matematice deduse de autor.

Analiza acestor rezultate se extinde prin prezentarea de măsurători efectuate pe două tipuri diferite de analizoare tranzitorii de rețea, acela al ICEMENERG-ului și cel al catedrei de Electroenergetică de la I.P. Timișoara.

Această analiză este precedată de o prezentare comparativă a modului de redare a valorilor parametrilor lineici tranzitorii în construcția analizoarelor față de valorile calculate de către autor, comparate și cu cele determinate în cadrul ISPE-ului.

Capitolul 7 cuprinde concluziile asupra tezei de doctorat precum și contribuțiile originale ale autorului.

Ultima parte a tezei cuprinde bibliografia și anexe cu organigramele principalelor programe de calcul elaborate de către autor.

x
x x

Autorul își exprimă și cu acest prilej stima și respectul față de conducătorul științific al acestei teze, prof.dr. ing. De Sabata Ioan, cărui îi este profund recunoscător pentru competența îndrumare în clarificarea și orientarea problematicei abordate.

Pentru facilitarea efectuării măsurătorilor experimentale autorul este recunoscător conf.dr.ing. Nemeș Mircea de la I.P. Timișoara și dr.ing. Radu Enache de la ICEMENERG București, iar pentru discuțiile utile purtate autorul mulțumește colegilor de catedră.

În mod deosebit adresez mulțumiri prof.dr.ing. Negru Viorel pentru întregul sprijin acordat în elucidarea unor probleme specifice domeniului abordat.

2. ANALIZA PARAMETRILOR LINEICI TRANZITORII

2.1. Introducere

Studiul fenomenelor tranzitorii de-a lungul liniilor electrice lungi este abordat pe baza rezolvării, pentru condițiile concrete precizate, ecuațiilor care guvernează fenomenul propagării undelor electromagnetice. Sub forma lor clasică, aceste ecuații sînt cu derivate parțiale și sînt cunoscute sub denumirea de ecuațiile telegrafistilor. În mărimi instantanee ele sînt însă riguros determinate numai pentru liniile electrice fără pierderi și în ipoteza solului perfect conductor. Este de interes a specifica că în majoritatea cazurilor se folosește forma operațională a ecuațiilor telegrafistilor și pentru liniile cu pierderi și pentru conductoare cu considerarea efectului pelicular, fără a exista însă o justificare teoretică a valabilității acestor ecuații în mărimi instantanee.

Acest aspect al problemei este abordat de cercetători prin considerarea parametrilor lineici ca fiind dependenți de frecvență și în consecință se determină corecții pentru acești parametri funcție de banda de frecvență în care se încadrează aspectul fenomenului abordat.

Carson și apoi Pollaczek /1/, /2/ determină corecții de calcul ale parametrilor lineici longitudinali pentru neglijarea curentului de deplasare prin sol, deci pînă la 5 MHz. Ulterior s-au extins aceste corecții și pentru frecvențe mai înalte, erorile astfel introduse nu au o importanță practică deosebită. Corecții asupra parametrilor lineici de admitanță sînt efectuate de Sunde și Wise, apoi și de Arismunandar /3/, /37/. Aceste corecții nu au o semnificație demnă de luat în considerare la frecvențe sub 1 MHz.

Alți cercetători, este cazul lui Pélissier /4/ caută să depășească impasul valabilității ecuațiilor telegrafistilor prin determinarea unor aproximații operaționale în scrierea ecuațiilor de propagare.

Corecțiile aplicate parametrilor lineici care apar în ecuațiile telegrafistilor sînt datorate influenței proprietăților electrice ale solului ca și cale de întoarcere a curentului, cît și considerării efectului pelicular în conductoarele masive. Modul de considerare a acestor influențe este diferit la mulți

autori, câteodată nefiind precizate domeniile de frecvență pentru care sînt acceptate diferitele forme de calcul propuse.

În ultimul timp se remarcă o contribuție românească în domeniul determinării tipului de ecuații care guvernează fenomenele tranzitorii de propagare pe linii electrice lungi. Este meritul colectivului condus de acad. Remus Răduleț care determină /5/, /6/ ecuații de tip nou, integro-diferențiale valabile în mărimi instantanee.

Rezolvarea acestor ecuații în cazul liniilor cu conductoare filiforme și în prezența solului oferă expresii analitice pentru calculul parametrilor lineici tranzitorii. Este de remarcat însă faptul că aceste expresii sînt greu calculabile chiar în condițiile folosirii calculatorului numeric. În plus, expresiile analitice deduse au în vedere forme particulare ale conductoarelor.

Abordarea calculului parametrilor lineici este realizată în /7/, /9-16/, /58-61/, /63-65 /, /67-71 /, /109-111/, /130-133/

În aceste condiții generale, acest capitol al prezentei lucrări este dedicat unei analize a parametrilor lineici în domeniul frecvenței. Scopul este de a determina posibilitățile cele mai adecvate și ușor manevrabile în calcul la considerarea corecțiilor parametrilor lineici. Autorul determină pe domenii de frecvență contribuțiile solului sau a efectului pelicular în mărimea totală a parametrilor lineici tranzitorii. Pentru sol se consideră și conductivitatea finită a acestuia, precum și permitivitatea electrică și permeabilitatea magnetică diferite de cele ale vidului. În cazul considerării efectului pelicular se propun forme noi de calcul bazate pe dezvoltarea, pentru valori mari ale argumentului, a funcțiilor Bessel de speța întâi și ordin zero. Se scoate în evidență modificarea valorii parametrilor lineici datorită prezenței conductoarelor de gardă ale liniei în ipoteza legării rigide a acestora la pământ.

În final, față de rezultatele de calcul exact a parametrilor lineici, se propune o formă de calcul a impedanței lineice care să prezinte erori mici pentru valorile parametrilor dependenți de frecvență, dar forma ei analitică să fie de așa natură încît să facă posibilă considerarea ei în rezolvarea analitică a ecuațiilor telegrafistilor.

Toate considerentele anterioare sînt exemplificate prin

calcul concret prin elaborarea de programe de calcul avînd ca obiectiv parametrii lineici ai liniilor electrice aeriene de 400 kV și 750 kV.

2.2. Parametrii lineici ai liniilor electrice lungi

Matricea de impedanță a parametrilor lineici pusă sub o formă astfel încît să scoată în evidență influența cîmpului electromagnetic extern și intern conductorului liniei, cît și participarea solului la valoarea totală a parametrilor se poate scrie astfel:

$$[\underline{Z}] = [R_c] + [R_p] + j([X_c] + [X_g] + [X_p]) \quad (2.1)$$

unde:

- $[R_c]$ este o matrice diagonală de ordin egal cu suma numărului de conductoare active și de protecție a liniei.
- $[R_p]$ este o matrice patrată de același ordin cu cea anterioară și introduce corecțiile datorate solului.
- $[X_c]$ este o matrice diagonală ilustrînd contribuția conductoarelor corespunzătoare cîmpului propriu.
- $[X_g]$ este o matrice patrată și pune în evidență contribuția cîmpului electromagnetic exterior conductorului, termenii ei fiind determinați de cuplajele magnetice dintre conductoare.
- $[X_p]$ este o matrice patrată evidențînd corecțiile reactanțelor datorate solului.

2.2.1. Considerarea efectului pelicular

Modificarea valorii parametrilor lineici prin considerarea efectului pelicular este reprezentată de termenii diagonali ai matricilor $[R_c]$ și $[X_c]$. După [7], [10] calculul acestor termeni este următorul:

$$R_{ca} = I_{cc} \frac{\text{ber}(mr) \cdot \text{bei}'(mr) - \text{bei}(mr) \cdot \text{ber}'(mr)}{[\text{ber}'(mr)]^2 + [\text{bei}'(mr)]^2} \frac{mr}{2} \quad / \Omega \cdot \text{km}^{-1} / \quad (2.2)$$

$$X_{ca} = X_{cc} \cdot 10^3 \frac{4}{mr} \frac{\text{ber}(mr) \cdot \text{ber}'(mr) + \text{bei}(mr) \cdot \text{bei}'(mr)}{[\text{ber}'(mr)]^2 + [\text{bei}'(mr)]^2} \quad / \Omega \text{km}^{-1} / \quad (2.3)$$

unde $I_{cc} = \frac{\rho \cdot l}{s}$ este rezistența lineică în curent continuu

$X_{cc} = 2\pi \cdot f \cdot \frac{\mu_0}{8}$ este reactanța conductorului corespunzătoare cîmpului interior acestuia

$\text{ber}(mr)$, $\text{bei}(mr)$ sînt părțile reale, respectiv imaginare a funcției Bessel de speța întii și ordinul

zero

$$\operatorname{ber}(mr) = \operatorname{Re} \{ J_0(j\sqrt{3}mr) \}, \operatorname{bei}(mr) = \operatorname{Im} \{ J_0(j\sqrt{3}mr) \} \quad (24)$$

$m = \sqrt{\frac{\mu_0 \omega}{\rho}}$ este o constantă de material funcție de frecvență, rezistivitatea ρ a conductorului și de permeabilitatea magnetică a materialului, iar

r este raza geometrică a conductorului

Cu 's-a notat derivata funcțiilor ber și bei .

Pentru a evidenția efectul pelicular se introduce factorul în alternativ al rezistenței K_R , respectiv factorul în alternativ al inductivității interioare K_L :

$$K_R = \frac{F_{ca}}{F_{cc}} \quad \text{și} \quad K_L = \frac{L_{ca}}{L_{cc}} \quad \text{cu } L_{ca}, L_{cc} \text{ notându-se inductivitatea}$$

conductorului, în regia sinusoidal respectiv staționar.

Pentru dezvoltările în serii exponențiale ale funcțiilor Bessel /8/ se obțin expresiile de referință pentru K_R și K_L . De remarcat însă că pentru valori mari ale argumentului mr , seriile exponențiale de dezvoltare a funcțiilor Bessel nu mai sînt convergente /133/ și în consecință se impune căutarea unor noi dezvoltări. La valorile uzuale ale razei geometrice a conductorului activ al liniei, acest lucru se impune de la frecvențe ce depășesc 10^3 Hz.

Pornind de la forma funcțiilor Bessel pentru valori foarte mari ale argumentului, obținută prin dezvoltări asimptotice rezultă /8/, /133/:

$$J_\nu(z) \approx \sqrt{\frac{2}{\pi z}} \cos \varphi \quad (2.5)$$

$$\text{unde: } z = u + jv \text{ și } j\varphi = -v + j \left[u - \left(\nu + \frac{1}{2} \right) \frac{\pi}{2} \right] \quad (2.6)$$

În cazul studiat $z = j\sqrt{3}mr$ și $\nu = 0$ obținîndu-se în consecință:

$$u = \arccos \frac{3\pi}{4}, \quad v = m r \sin \frac{3\pi}{4}, \quad \varphi = \frac{\pi}{4} \quad (2.7)$$

care înlocuite în (2.5), după separarea părții reale și imaginare dau următoarele forme:

$$\begin{aligned} \operatorname{ber}(mr) = \operatorname{Re} \{ J_0(j\sqrt{3}mr) \} &= 0,399 \cdot (mr)^{-1/2} \cdot [\exp(-0,705 mr) \cdot \\ &\cdot \cos(0,705 mr + \frac{5\pi}{8}) + \exp(-0,705 mr) \cos(0,705 mr - \frac{\pi}{8})] \quad (2.8) \end{aligned}$$

$$\text{bei}(mr) = I_m \{ J_0(j\sqrt{j}mr) \} = 0,399(mr)^{-1/2} [\exp(0,705mr) \cdot \sin(0,705mr - \frac{\pi}{8}) - \exp(-0,705mr) \cdot \sin(0,705mr + \frac{5\pi}{8})] \quad (2.9)$$

Derivatele funcțiilor (8) și (9) devin :

$$\text{ber}'(mr) = -0,5(mr)^{-1} \cdot \text{ber} + 0,399(mr)^{-1/2} [\exp(0,705 \cdot mr) \cos(0,705mr + \frac{5\pi}{8}) - \exp(-0,705mr) \cos(0,705mr + \frac{3\pi}{8})] \quad (2.10)$$

$$\text{bei}'(mr) = -0,5(mr)^{-1} \text{bei} + 0,399(mr)^{-1/2} [\exp(0,705mr) \cdot \cos(0,705mr - \frac{3\pi}{8}) + \exp(-0,705mr) \cos(0,705mr + \frac{3\pi}{8})] \quad (2.11)$$

În consecință, factorii introduși K_R și K_L vor fi calculați cu dezvoltările exponențiale pentru funcțiile Bessel pînă la argumentul $mr \leq 2,4$, pentru valori mai mari folosindu-se relațiile deduse (2.8)-(2.11). Valoarea $mr=2,4$ care delimitează modul de calcul este general acceptată în literatură funcție de mărimea erorii admise în dezvoltarea exponențială a funcțiilor Bessel /64/, /67/.

Înțã de expresiile generale de considerare a efectului pelicular de forma (2.2) se pot utiliza cu o eroare micã expresii simplificate. Astfel dacã în forma generalã a impedanței proprii a conductorului obținutã în /11/ în transformatã Laplace de forma :

$$\underline{Z}_{11} = L_{11}p + d_{11}p^{1/2} + a_{11} \quad (2.12)$$

se reține numai partea realã corespunzãtoare rezistenței conductorului, în ipoteza neglijãrii efectului solului, se obține pentru rezistența în c.a. expresia:

$$R_{ca} = \frac{\rho}{4\pi r^2} + \frac{(\mu_0 \cdot \omega \cdot \rho)^{1/2}}{2\pi \cdot r} \cdot \frac{\sqrt{2}}{2} \quad (2.13)$$

Cu (13), factorul în alternativ al rezistenței lineice va avea forma:

$$K_{RS} = \frac{R_{ca}}{R_{cc}} = 0,25 + 0,354 \cdot mr \quad (2.14)$$

expresie care este regãsitã sub o formã asemãnãtoare în /12/.

Din originalul expresiei (2.12) reținînd din termenul imaginar doar configurația efectului pelicular asupra modificãrii inductivitãții se obține forma simplificatã:

$$K_{LS} = \frac{4}{mr} \cdot \frac{\sqrt{2}}{2} \quad (2.15)$$

497-005
347 H

Expresia (2.12) va face obiectul analizei prezentului capitol pentru a se stabili o formă care să permită obținerea de erori mici a valorilor parametrilor variabili cu frecvența, față de valorile calculate dezvoltat.

Pentru considerarea efectului pelicular se poate pune în evidență construcția multifilară, în mai multe straturi suprapuse, a conductorului activ al liniei.

În /10/ se prezintă acest aspect, iar pentru forma finală a coeficientului care determină efectul pelicular se obține:

$$K_{EF} = \frac{2,25 \cdot m \cdot s_c}{\sqrt{2} \cdot \pi \cdot r_1 (2+n)} \quad (2.16)$$

Mărimile nou introduse au semnificația următoare:

- n este numărul de funii de pe stratul exterior al conductorului
- r_1 este raza geometrică a secțiunii funiilor de pe strat
- s_c este secțiunea totală în c.c. a conductorului activ.

O altă posibilitate de considerare a efectului pelicular se bazează pe considerentul real că la fenomenul de conducție electrică prin conductorul liniei participă într-o măsură mult mai redusă partea interioară a acestuia, confecționată din oțel, în comparație cu partea exterioară a secțiunii, confecționată din aluminiu. În consecință se poate aproxima forma reală a conductorului cu una tubulară.

Studiind acest caz, în /13/ se dă o relație de calcul care pentru K_F dă în final următoarea expresie:

$$K_{IT} = 1 + 1,5 \cdot 10^{-7} \cdot \left(\frac{d \cdot f}{2 \cdot r \cdot K_{cc}} \right)^2 \quad (2.17)$$

Mărimea d exprimă grosimea geometrică a secțiunii tubulare.

2.2.2. Rezultate de calcul asupra efectului pelicular

Pentru a pune în evidență o comparație cantitativă a modalităților de considerare a efectului pelicular s-a întocmit programul de calcul nr.1 urmărindu-se variația cu frecvența a coeficienților K_F , K_{ES} , K_{EF} , K_{IT} pentru rezistența conductorului și K_L , K_{LS} pentru inductivitatea acestuia.

Rezultatele calculului sînt date în fig.2.1. mărimile de intrare ale programului sînt următoarele: $s_c = 450/75 \text{ mm}^2$,

$= 29,4 \cdot 10^{-9} \Omega \text{m}$, $2r = 29,25 \text{ mm}$, $n = 27$, $2r_1 = 3 \text{ mm}$ și corespund conducto-

rului activ OL-Al pentru o linie de 400 kV.



Fig.2.1. Variatia cu frecventa a influentei efectului pelicular asupra rezistentei K_R și inductivității K_L

de aceeași mărime ca în cazul considerării conductorului masiv K_R
d) asupra inductivității lineice, modul de calcul simplificat a efectului pelicular, în expresia lui K_{LS} dă erori mari sub 500 Hz. Peste această frecvență există o apropiere pronunțată față de valorile calculate prin expresiile exacte K_L .

2.3. Efectul solului asupra parametrilor lineici tranzitorii

Efectul solului, ca și cale de conducție în timpul fenomenelor tranzitorii, este reprezentat prin corecții aplicate matricilor parametrilor lineici. Pentru prima oară, Carson /1/, oferă relații de calcul pentru aceste corecții sub forma unor serii infinite obținute prin dezvoltări în serie a funcțiilor Bessel și Struve care

Programul folosește 8 subrutine pentru calculul părților reale, imaginare a funcțiilor Bessel și a derivatelor acestora. Din rezultatele obținute se pot concluziona următoarele:

a) la frecvențe peste 10^2 Hz este obligatorie luarea în considerare a efectului pelicular atât la rezistența lineică, cât și la calculul inductivității lineice.

b) considerarea conductorului de OL-Al ca unul tubular duce la valori eronate în calculul lui K_{RT} la frecvențe peste 10^3 Hz.

c) construcția multifilă în straturi a conductorului de OL-Al duce la valorile de creștere a rezistenței electrice K_{RF} .

apar în soluția ecuațiilor de propagare.

Termenii de corecție pentru matricile $[R_p]$ și $[X_p]$ cu semnificația dată în (2.1) sînt calculați de Carson astfel:

$$\Delta F_{p1j} = \omega \mu_0 \cdot \frac{1}{\pi} \cdot P_{1j} \quad \text{și} \quad \Delta X_{p1j} = \omega \mu_0 \frac{1}{\pi} Q_{1j} \quad (2.18)$$

unde P_{1j} și Q_{1j} se calculează cu expresii depinzînd de argumentul :

$$R_{1j} = \left(\frac{\omega \cdot \mu_0}{\rho_p} \right)^{1/2} \cdot S_{1j} = 5,62 \cdot 10^{-3} \cdot \frac{S_{1j}}{2} \left(\frac{f}{\rho_p} \right)^{1/2} \quad (2.19)$$

ρ_p fiind rezistivitatea pămîntului, iar S_{1j} avînd semnificația din fig.2.2.

Pentru $R_{1j} \leq 5$, deci în domeniul frecvențelor scăzute, în partea a doua de desfășurare a fenomenului tranzitoriu, Carson obține următoarele expresii de calcul date în /1/ și /10/ :

Fig.2.2. Evidențierea coronamentului liniei

$$P_{1j} = \frac{\pi}{8} (1 - S_4) + \frac{S_2}{2} \cdot \ln \frac{2}{\gamma \cdot R_{1j}} + \frac{1}{2} Q_{1j} \cdot S_2' = \frac{\sigma_1}{\sqrt{2}} + \frac{\sigma_2}{2} + \frac{\sigma_3}{\sqrt{2}} \quad (2.20)$$

$$Q_{1j} = \frac{1}{4} + \frac{1 - S_4}{2} \ln \frac{2}{\gamma \cdot R_{1j}} - Q_{1j} S_4' + \frac{\sigma_1}{\sqrt{2}} - \frac{\pi S_2}{8} + \frac{\sigma_3}{\sqrt{2}} - \frac{\sigma_4}{2} \quad (2.21)$$

Cu γ s-a notat constanta Euler de valoare $\gamma = 1,781$, iar restul notațiilor nou introduse sînt serii infinite calculabile prin relații de recurență:

$$S_2 = \sum_0^{\infty} a_n \cdot \cos(4n+2)\theta \quad \text{cu} \quad a_n = \frac{-a_{n-1}}{2n(2n+1)^2(2n+2)} \left(\frac{R_{1j}}{2} \right)^4 \quad \text{și}$$

$$a_0 = \frac{R_{1j}^2}{8}$$

$$S_2' = \sum_0^{\infty} a_n \cdot \sin(4n+2)\theta$$

$$S_4 = \sum_0^{\infty} c_n \cdot \cos(4n+4)\theta \quad \text{cu} \quad c_n = \frac{-c_{n-1}}{(2n+1)(2n+2)^2(2n+3)} \left(\frac{R_{1j}}{2} \right)^4 \quad \text{și}$$

$$c_0 = \frac{(R_{1j})^4}{192}$$

$$S_4' = \sum_{n=0}^{\infty} c_n \cdot \sin(4n+4)\theta \quad (2.22)$$

$$G_1 = \sum_{n=0}^{\infty} e_n \cos(4n+1)\theta$$

$$e_n = \frac{-e_{n-1}}{(4n-1)(4n+1)^2(4n+3)} \cdot R_{1j}^4 \quad \text{și} \quad e_0 = \frac{R_{1j}}{3}$$

$$G_2 = \sum_{n=0}^{\infty} g_n (S_2)_n, \quad g_n = g_{n-1} + \frac{1}{4n} + \frac{1}{2n+1} + \frac{1}{2n+2} - \frac{1}{4n+4} \quad \text{și} \quad g_0 = \frac{5}{4}$$

$$G_3 = \sum_{n=0}^{\infty} f_n \cdot \cos(4n+3)\theta$$

$$f_n = \frac{-f_{n-1}}{(4n+1)(4n+3)^2(4n+5)} \cdot R_{1j}^4 \quad \text{și} \quad f_0 = \frac{R_{1j}^3}{45}$$

$$G_4 = \sum_{n=0}^{\infty} h_n (S_4)_n$$

$$h_n = h_{n-1} + \frac{1}{4n+2} + \frac{1}{2n+2} + \frac{1}{2n+3} - \frac{1}{4n+6} \quad \text{și} \quad h_0 = \frac{5}{3}$$

Pentru domeniul frecvențelor mari, când $R_{1j} \gg 5$ corecțiile se calculează mai simplu:

$$P_{1j} = \frac{\cos\theta_{1j}}{\sqrt{2} \cdot R_{1j}} - \frac{\cos 2\theta_{1j}}{R_{1j}^2} + \frac{\cos 3\theta_{1j}}{\sqrt{2} \cdot R_{1j}^3} + \frac{3\cos 5\theta_{1j}}{\sqrt{2} \cdot R_{1j}^5} + \dots \quad (2.23)$$

$$Q_{1j} = \frac{\cos\theta_{1j}}{\sqrt{2} \cdot R_{1j}} - \frac{\cos 3\theta_{1j}}{\sqrt{2} \cdot R_{1j}^3} + \frac{3\cos 5\theta_{1j}}{\sqrt{2} \cdot R_{1j}^5} + \dots$$

Acest mod de calcul este considerat complet, dar greu manevrabil fiind neapărat nevoie de intervenția calculatorului. În [11] se încearcă obținerea unor expresii simplificate pentru rezolvarea aceleiași probleme. Pentru expresia impedanțelor l_1 - neice în transformată Laplace pentru contribuția pământului relația finală este :

$$Z_{11P} = \frac{\mu_0}{\pi} p \left\{ \frac{\pi}{2 \cdot z_2} [H_1(z_2) - Y_1(z_2)] - \frac{1}{z_2^2} \right\} \quad (2.24)$$

iar pentru termenii corespunzători cuplajelor :

$$Z_{1jP} = \frac{\mu_0}{\pi} p \cdot \text{Re} \left\{ \frac{1}{2s} [H_1(s) - Y_1(s)] - \frac{1}{s^2} \right\} \quad (2.25)$$

Semnificația mărimilor nou introduse cu referire și la fig. 2.2 este:

p - operatorul linear Laplace

$H_1(z_2)$ - funcția Struve de ordinul întâi

$Y_1(z_2)$ - funcția Bessel de ordinul întâi și speța a doua

$$z_2 = 2 \cdot h_1 (\mu_0 \cdot \sigma_2 \cdot p + \mu_0 \cdot \epsilon_0 \cdot p^2)^{1/2} \approx 2 \cdot h_1 (\mu_0 \sigma_2 \cdot p)^{1/2}$$

$$s = (h_t + jy) (\mu_0 \cdot \sigma_2 \cdot p)^{1/2}$$

$$h_t = h_1 + h_j$$

$$\sigma_2 = \frac{1}{\rho_p}$$

y - este distanța pe orizontală dintre conductorul 1 și j.

Prin dezvoltarea în serie a funcțiilor Struve și Bessel se obțin expresii considerate echivalente celor lui Carson. Pentru obținerea de expresii ușor folosibile se apelează la simplificări prin dezvoltări asimptotice /11/ obținându-se pentru impedanța lineică tranzitorie totală expresii de forma (2.12).

Influența permeabilității și permitivității solului asupra mărimii corecției parametrilor lineici este tratată de Wise în 1934 și reluată recent, /15/. După dezvoltări asimptotice se obțin următoarele relații finale de calcul /16/, valabile în domeniul frecvențelor mari $R_{1j} \gg 5$:

$$P_{1j} = \frac{1}{2} \frac{\cos \theta_{1j}}{\sqrt{2} \cdot R_{1j}} \left(\mu + \frac{\cos \eta + \sin \eta}{\xi} \right) - \frac{1}{2} \frac{\cos 2\theta_{1j}}{R_{1j}^2} \left(\mu^2 + \frac{\cos 2\eta}{\xi^2} \right) + \frac{1}{2\sqrt{2}} \frac{\cos 3\theta_{1j}}{R_{1j}^3} \left[\mu(2\mu^2 - 1) + \frac{\cos 3\eta - \sin 3\eta}{\xi^3} \right] \quad (2.26)$$

$$G_{1j} = \frac{1}{2} \frac{\cos \theta_{1j}}{\sqrt{2} \cdot R_{1j}} \left(\mu + \frac{\cos \eta - \sin \eta}{\xi} \right) + \frac{\cos 2\theta_{1j}}{R_{1j}^2} \cdot \frac{\sin 2\eta}{\xi^2} - \frac{1}{2} \frac{\cos 3\theta_{1j}}{\sqrt{2} \cdot R_{1j}^3} \left[\mu^2(2\mu^2 - 1) + \frac{\cos 3\eta + \sin 3\eta}{\xi^3} \right] \quad (2.27)$$

Notațiile din (2.26) și (2.27) au semnificația:

μ, ϵ - permeabilitatea și permitivitatea relativă a pământului iar η și ξ sînt în următoarea legătură:

$$\xi e^{j\eta} = \sqrt{1 + j \frac{(\epsilon - 1) \rho_p \cdot f}{2 \cdot 9 \cdot 10^6}} = \sqrt{1 + jc} \quad (2.28)$$

După rezolvarea lui (28) se obține:

$$\xi = \sqrt[4]{1+c^2} ; \eta = \arcsin \frac{\sqrt{1+c^2}-1}{\sqrt{2} \sqrt[4]{1+c^2}} \quad (2.29)$$

Pentru aprecierea cantitativă a corecțiilor parametrilor lineici datorită solului s-a întocmit programul de calcul nr.2, denumit de autor PAIAL, cu ordinograma dată în anexa 1.

Mărimile de intrare pentru programul de calcul au fost alese astfel:

Pentru linia trifazătă de 400 kV având secțiunea 450/75 OL-Al, doi conductori de fază cu $2r=29,25$ mm; $\rho=29,4 \cdot 10^{-9} \Omega m$, doi conductori de gardă din OL cu secțiunea 150 mm². Coronamentul geometric al liniei este dat de stîlpul PASS-400.

Pentru linia de 750 kV elementele constructive conform /57/ sînt:

- cinci conductori activi de OL/AL cu $s_{AL}=305,4$ mm², $s_{OL}=69$ mm², $2r=25,15$ mm
- doi conductori de protecția OL/AL cu $s_{AL}=160$ mm² și $s_{OL}=95$ mm², $2r=12,6$ mm.

Coronamentul liniei este conform stîlpului PAS 750101-53SB.

Lungimea totală a lanțului de izolatoare cuprinzînd și armăturile este de 8300 mm.

Cu semnificația din fig.2.2, mărimea de intrare corespunzătoare programului de calcul PAIAL sînt următoarele:

Pentru linia de 400 kV

$$[s] = \begin{bmatrix} 27,9 & 29,99 & 35,53 & 35,8 & 39,87 \\ 29,99 & 27,9 & 29,99 & 36,26 & 36,26 \\ 35,53 & 29,99 & 27,9 & 39,87 & 35,8 \\ 35,8 & 36,26 & 39,87 & 43,26 & 45,46 \\ 39,87 & 36,26 & 35,8 & 45,46 & 43,26 \end{bmatrix} \quad /m/$$

$$[s] = \begin{bmatrix} 0,067 & 11 & 22 & 8,66 & 19,56 \\ 11 & 0,067 & 11 & 10,39 & 10,39 \\ 22 & 11 & 0,067 & 19,56 & 8,66 \\ 8,66 & 10,39 & 19,56 & 0,0086 & 14 \\ 19,56 & 10,39 & 8,66 & 14 & 0,086 \end{bmatrix} \quad /m/$$

$$[\theta] = \begin{bmatrix} 0 & 0,375 & 0,669 & 0,111 & 0,468 \\ 0,375 & 0 & 0,375 & 0,245 & 0,245 \\ 0,669 & 0,375 & 0 & 0,468 & 0,111 \\ 0,111 & 0,245 & 0,468 & 0 & 0,312 \\ 0,468 & 0,245 & 0,111 & 0,312 & 0 \end{bmatrix} \quad /rad/$$

Pentru linia de 750 kV :

$$[s] = \begin{bmatrix} 35,2 & 39,31 & 49,639 & 50,568 & 58,464 \\ 39,31 & 35,2 & 39,31 & 51,782 & 31,782 \\ 49,639 & 39,31 & 35,2 & 58,464 & 50,568 \\ 50,568 & 51,782 & 58,464 & 65,4 & 69,873 \\ 58,464 & 51,782 & 50,568 & 69,873 & 65,4 \end{bmatrix} \quad /m/$$

$$[g] = \begin{bmatrix} 0 & 17,5 & 35 & 15,97 & 33,407 \\ 17,5 & 0 & 17,5 & 19,475 & 19,475 \\ 35 & 17,5 & 0 & 33,407 & 15,97 \\ 33,407 & 19,475 & 15,97 & 24,6 & 0 \end{bmatrix} \quad /m/$$

$$[\theta] = \begin{bmatrix} 0 & 1,744 & 78,215 & 10,296 & 53,45 \\ 1,744 & 0 & 1,744 & 23,97 & 23,97 \\ 78,215 & 46,113 & 0 & 53,457 & 10,296 \\ 10,296 & 23,97 & 53,45 & 0 & 35,959 \\ 53,457 & 23,97 & 10,296 & 36,06 & 0 \end{bmatrix} \quad \cdot 10^2 \quad /rad/$$

Domeniul de variație a frecvenței a fost ales de la 50 Hz la 10^6 Hz, rezistivitatea solului variază de la 50 la 200 Ωm , permeabilitatea magnetică relativă a solului ia valori de la 1 la 8, iar permitivitatea relativă de la 1 la 60.

2.3.1. Rezultate de calcul și concluzii asupra efectului solului

Mărimile corecțiilor rezistenței lineice datorită solului ΔR_p și inductivității ΔL_p sînt reprezentate în fig.2.3-2.5 în condițiile considerării pentru sol a proprietăților electrice și magnetice ale vidului.

Modificarea acestor corecții funcție de frecvență este redată în fig.2.6 pentru valorile extreme ale rezistivității solului maxime de 200 Ωm și minime de 50 Ωm .

Considerarea permeabilității magnetice și a permitivității solului în modificarea corecțiilor ΔR_p și ΔL_p sînt redată în fig.2.6-2.9 pentru frecvențele de 10^6 și 10^5 Hz și rezistivitățile solului de 50 și 100 Ωm .

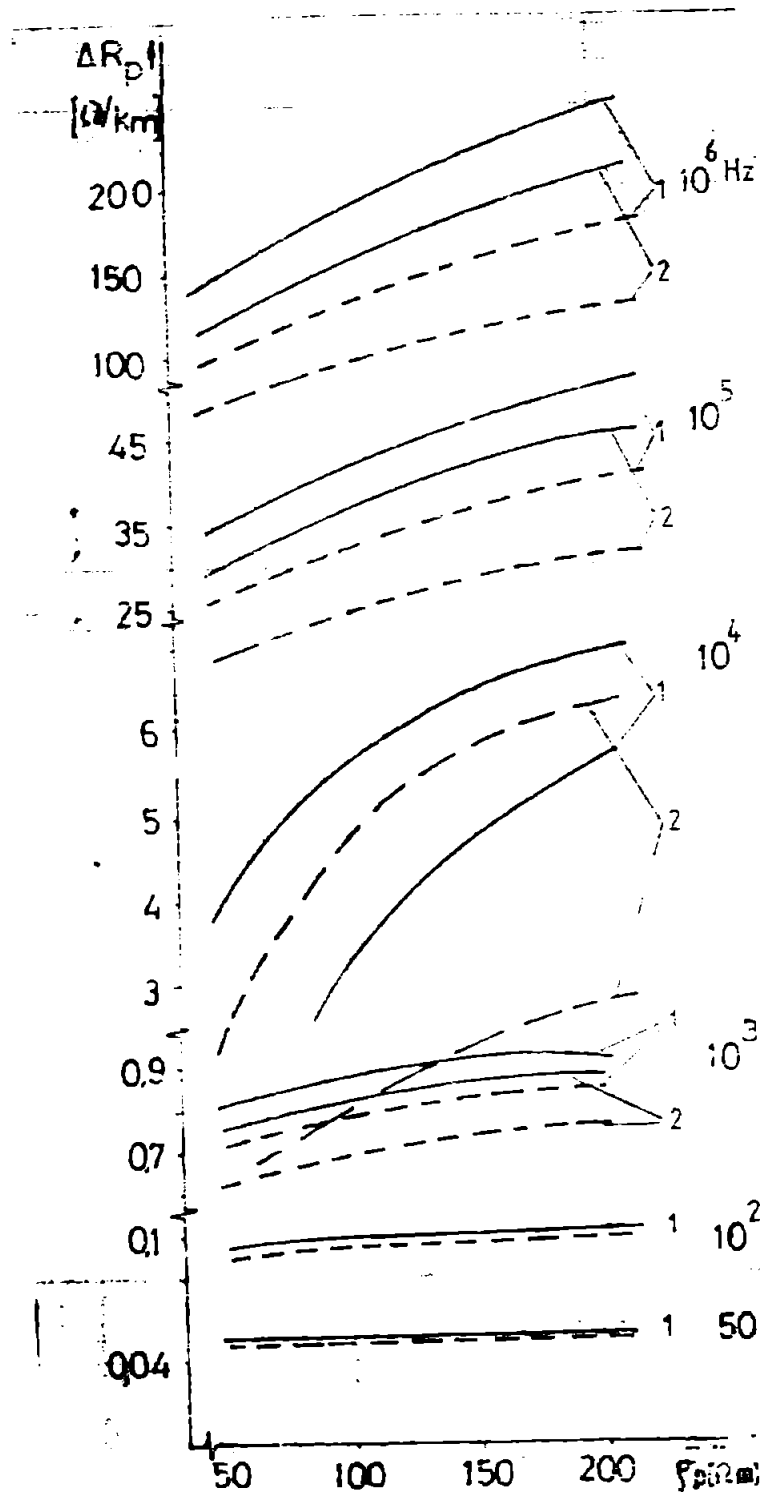


Fig.2.3. Variația cu rezistivitatea solului a corecției ΔR_p :

- conductorul activ
- - - conductorul de gardă
- 1 - LEA de 400 kV
- 2 - LEA de 750 kV

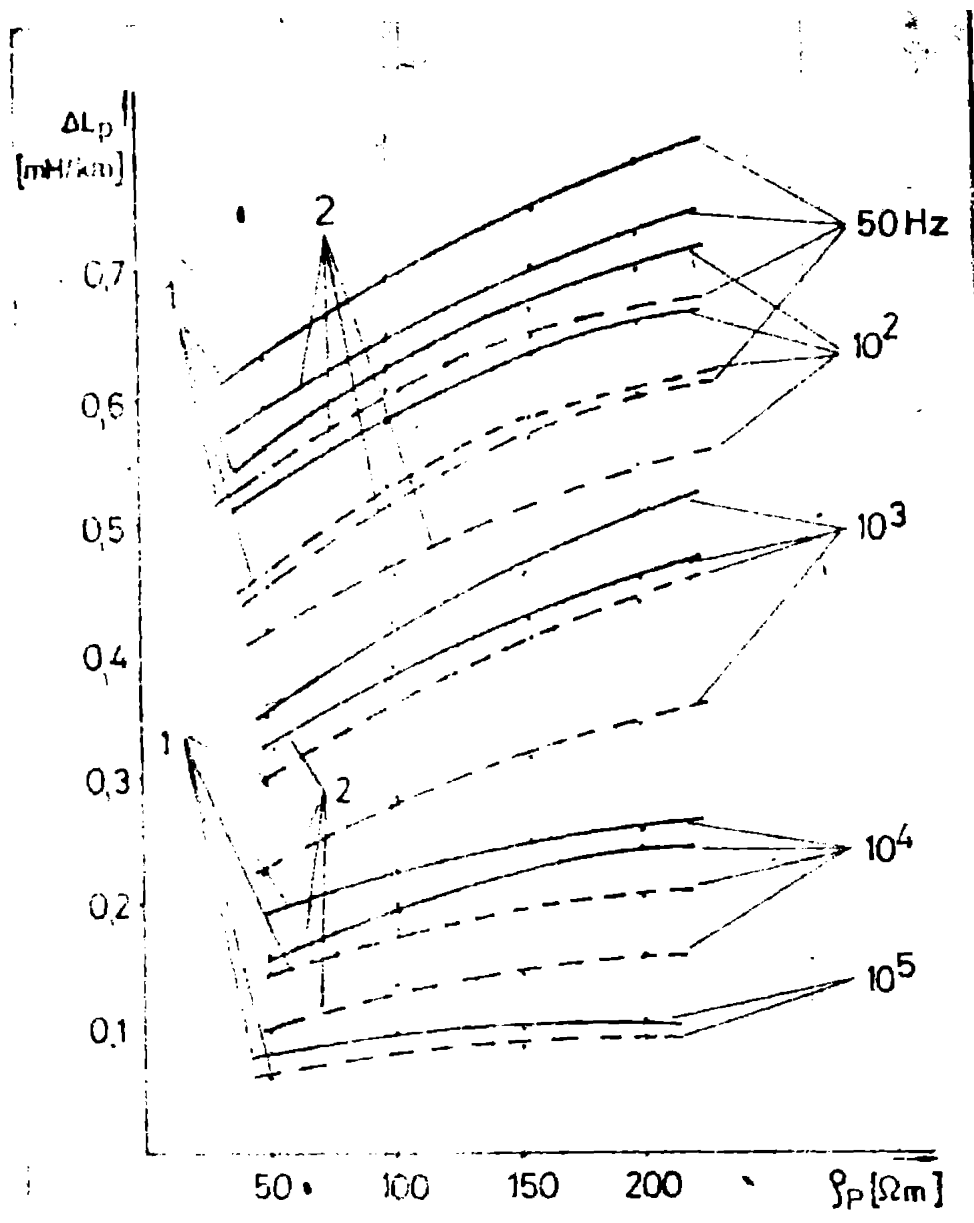


Fig.2.4. Variația cu resistivitatea solului a corecției ΔL_p
— conductorul activ
- - - conductorul de gardă
1 LEA de 400 kV
2 LEA de 750 kV

Pentru urmărirea mai clară a influențelor solului asupra parametrilor liniei, rezultatele de calcul au fost reprezentate atât pentru conductoarele active ale liniei, cât și pentru cele de gardă. Se evidențiază astfel influența secțiunii acestora și poziția lor față de sol asupra corecțiilor parametrilor liniei. Modificările au fost redată funcție de frecvență, respectiv resistivitatea solului.

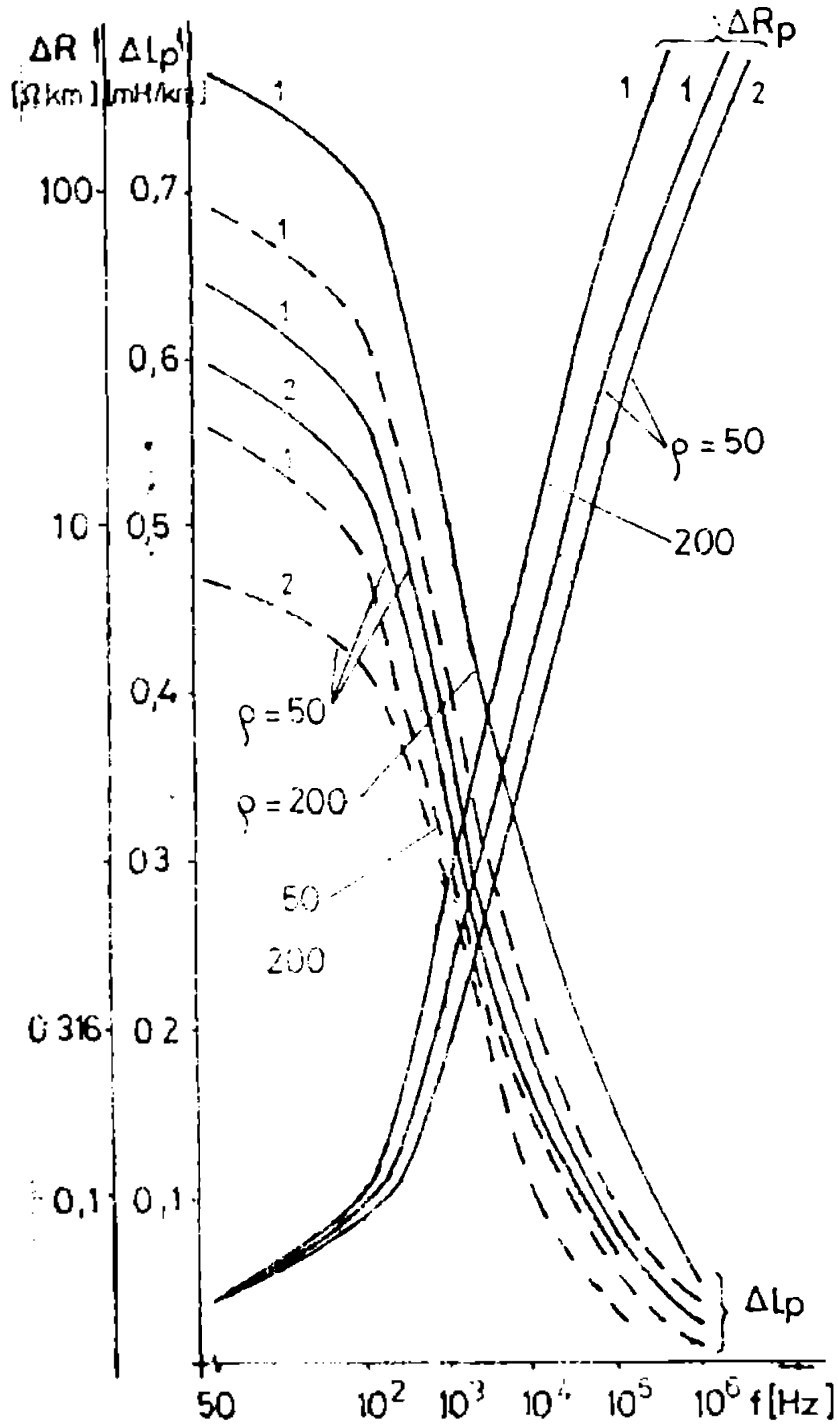


Fig.2.5. Variația corecțiilor ΔR_p și ΔL_p cu frecvența conductorului activ
— conductorul de gardă
1 - LEA de 400 kV
2 - LEA de 750 kV



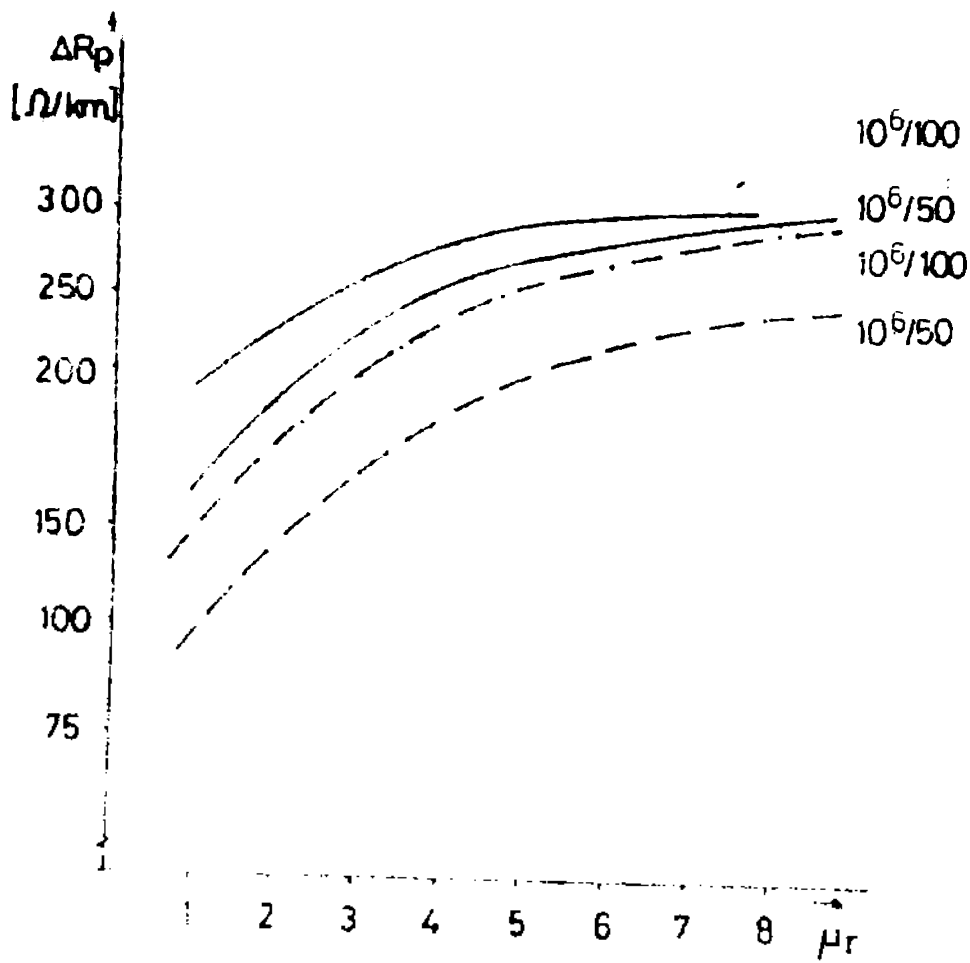


Fig.2.6. Variația corecției ΔR_p cu permeabilitatea relativă a solului conductorul activ conductorul de gardă

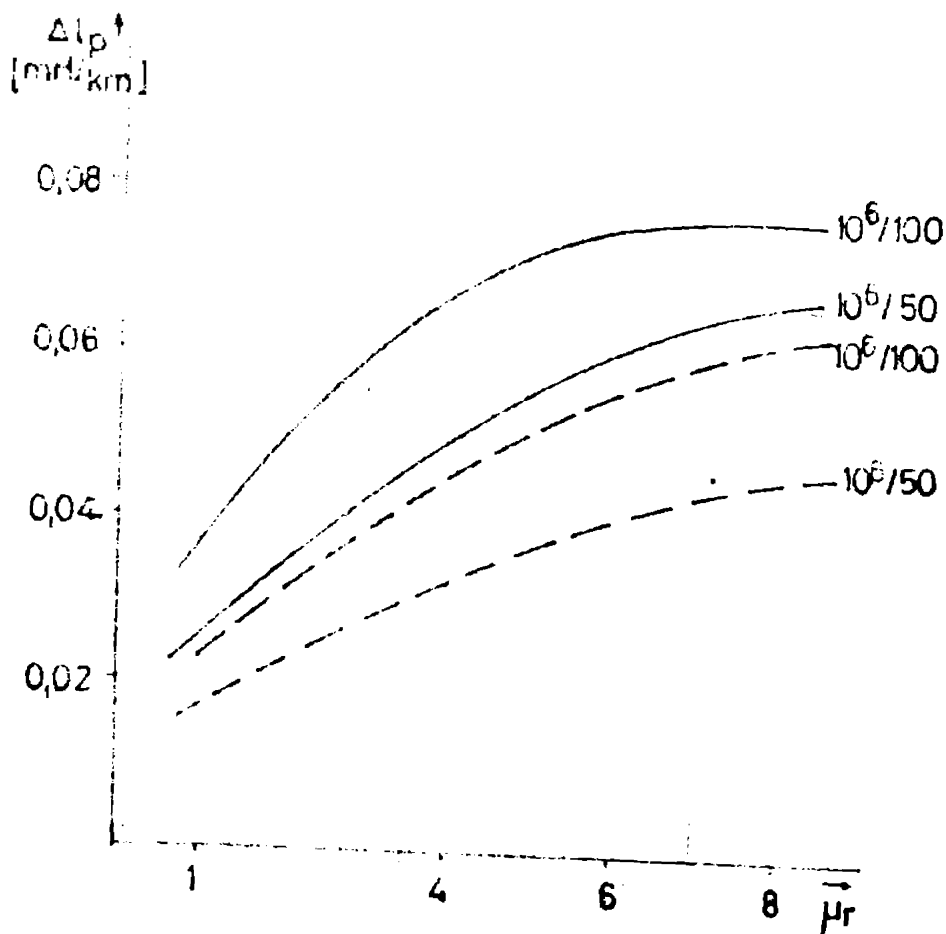


Fig.2.7. Variația corecției ΔI_p cu permeabilitatea relativă a solului conductorul activ conductorul de gardă

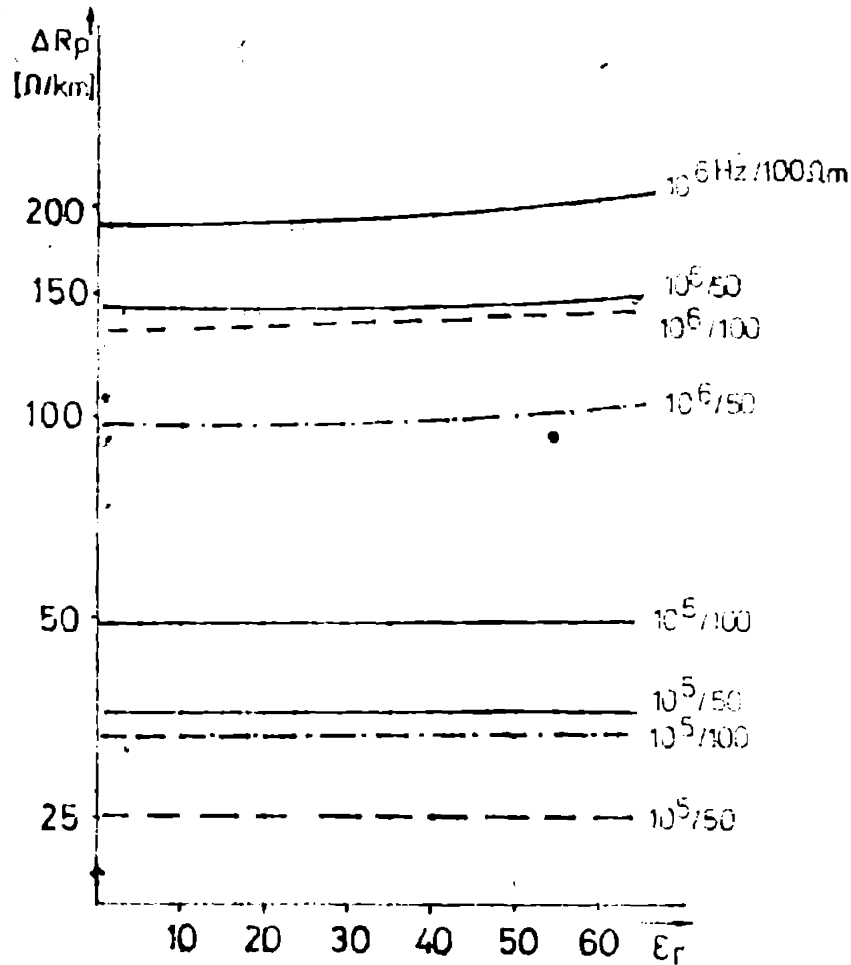


Fig.2.8. Variația corecției ΔR_p cu permitivitatea relativă a solului

———— conductorul activ
- - - - - conductorul de gardă

Sînt puține date concrete cunoscute cu privire la domeniul de variație a permitivității, respectiv permeabilității relative a solului. În ceea ce privește permitivitatea relativă, aceasta nu are influențe notabile asupra corecțiilor inductivității liniice ci doar o mică influență, sub 2% , asupra rezistenței liniice și numai la frecvențe mai mari de 10^5 Hz.

În ceea ce privește valorile permeabilității relative s-a considerat ca valori rezonabile ale acestora sîntuate sub 10. În acest caz modificările sînt sensibile atît asupra corecțiilor rezistenței cit și inductivității. Se exprimă totuși părerea că este puțin posibil ca traseul liniei să străbată pe porțiuni lun-

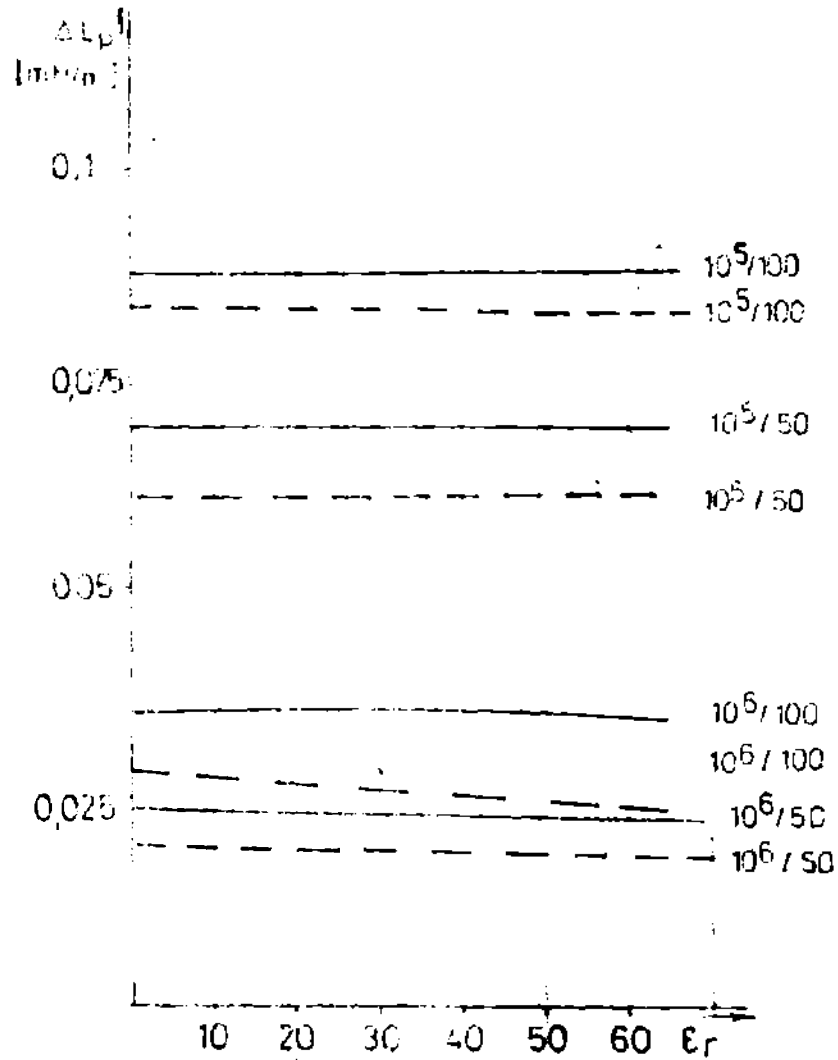


Fig.2.9. Variația corecției ΔL_p cu permittivitatea relativă a solului
 ——— conductorul activ
 - - - conductorul de gardă

gi astfel de țesături cu proprietăți magnetice. Este de înțeles atunci faptul că în literatură nu apar cazuri de folosire corectă în calculele parametrilor liniei a proprietăților magnetice ale solului diferite de cele ale vidului.

În legătură cu rezultatele obținute a corecțiilor pământului asupra parametrilor lineici se trag următoarele concluzii:

- corecția rezistenței este pronunțată cu efecte determinante asupra mărimii totale a rezistenței lineice la frecvențe ce depășesc 10^3 Hz,
- creșterea rezistivității solului nu are efecte notabile la frecvențe cuprinse între 10^2 și 50 Hz,
- creșterea înălțimii la care este plasat conductorul deasupra solului micșorează efectul acestuia asupra mărimii corecției parametrilor lineici longitudinali,
- corecția inductivității la frecvențe peste 10^5 Hz este puțin influențată de creșterea rezistivității solului,
- plasarea la înălțimi diferite a conductoarelor față de sol are efecte pronunțate asupra corecției inductivității la frecvențele din banda 50- 10^4 Hz
- la o valoare dată a rezistivității solului mărimea corecțiilor ΔR_p și ΔL_p este aproape lineară cu frecvența sub valoare de 10^2 Hz și crește rapid, în cazul lui ΔR_p , sau scade accelerat, cazul ΔL_p , în domeniul frecvențelor mari.
- considerarea permeabilității magnetice diferite față de a vidului are influențe la frecvențe mari, astfel la 10^6 Hz și $\rho_p = 100 \Omega m$ pentru $\mu_r = 4$ creșterea lui ΔR_p este de cca 65%, iar pentru L_p de cca 80%. Pentru valori mai mari a permeabilității relative apare o atenuare a mărimii corecțiilor
- considerarea valorilor permittivității electrice a solului diferită de cea a vidului are influențe aproape neglijabile sub $\epsilon_r = 40$ și $f = 10^5$ Hz. Pentru $f = 10^6$ Hz, $\epsilon_r = 60$ și $\rho_p = 100 \Omega m$ creșterea relativă a lui ΔR_p este de cca 20%, iar scăderea lui ΔL_p de cca 3% față de valorile $\mu_r = 1$ și $\epsilon_r = 1$
- din punct de vedere al calculului seriilor infinite pentru determinarea corecțiilor solului, din rularea programului de calcul s-a constatat că a fost suficientă reținerea a cîte 10 termeni din aceste serii. O rulare cu considerarea a 20 de termeni din aceste serii infinite nu a dus la modificări sesizabile.
- este interesant de urmărit modificarea cu frecvența ponderii în mărimea totală a valorii parametrilor lineici a efectului pelicular și a participării solului ca și cale de întoarcere. Acest lucru este reprezentat în tabelul 2.1. pentru două valori

a rezistivității solului : 50 și 200Ωm, atât pentru conductorul Tabelul 2.1. Ponderea efectului pelicular și al solului în parametrii lineici

	F /Hz/	$\Delta R_{pelic\%}$		$\Delta R_p\%$		$\Delta L_{pelic\%}$		$\Delta L_p\%$	
		$\rho_p=50$	200	50	200	50	200	50	200
Parametrii fazei	50	1,65	1,01	57,73	58,3	0,05	0,05	33,87	38,64
	10 ²	3,82	3,7	70,76	71,7	0,11	0,1	31,66	36,58
	10 ³	7,11	6,45	89,2	90,1	1	0,9	23,0	28,64
	10 ⁴	6,25	3,5	92,87	96,14	1,57	1,47	13,65	19,32
Parametrii conductoru- lui de pro- tecție	50	0,41	0,4	13,38	13,9	0,01	0,01	23,8	27,8
	10 ²	1,03	1,02	22,82	27,43	0,05	0,05	21,6	26,5
	10 ³	15,85	13,9	56,24	60,95	0,92	0,88	14,2	19,1
	10 ⁴	18,49	13,24	67,2	77,37	2,13	2,07	9,27	11,5

activ al fazei cât și pentru cel de protecție. Se remarcă influența covârșitoare a solului peste 10³ Hz în modificarea rezistenței și cu precădere la conductorul de secțiune mai mare. Influența efectului pelicular este relevantă peste 10² Hz în mărirea rezistenței și fără semnificații notabile în întreaga bandă a frecvenței asupra mării inductivității atât pentru conductorul fazei cât și pentru cel de protecție.

2.4. Influența conductoarelor de protecție asupra parametrilor lineici în mărimi de fază

Pentru cazul liniei de 400 kV echipată cu două conductoare de protecție de OL-AL de secțiune de 150 mm² și așezate după coronamentul prezentat în fig.2.2 programul de calcul elaborat „PAPAM” consideră cazul real al legării conductoarelor de protecție la fiecare stâlp al liniei.

Pentru cazul general se consideră p conductoare active și q conductoare de protecție rezultând matricea impedanței longitudinale $[Z]$, pătrată de ordinul p+q.

În ipoteza legării rigide a celor q conductoarelor de protecție la pământ și considerând potențialul acestora egal cu zero, în relația matricială (2.30), partiționând matricea $[Z]$

$$[Z] \cdot [I] = [U] \quad (2.30)$$

pentru cele p conductoare active și q de gardă se vor explicita

curenții din conductoarele de protecție(2.32) :

$$\begin{bmatrix} \underline{Z}_{p,p} & \underline{Z}_{pq} \\ \underline{Z}_{q,p} & \underline{Z}_{qq} \end{bmatrix} \begin{bmatrix} \underline{I}_p \\ \underline{I}_q \end{bmatrix} = \begin{bmatrix} \underline{U}_p \\ 0 \end{bmatrix} \quad (2.31)$$

$$[\underline{Z}_{q,p}] [\underline{I}_p] + [\underline{Z}_{qq}] [\underline{I}_q] = [0] \text{ sau } [\underline{I}_q] = -[\underline{Z}_{qq}]^{-1} \cdot [\underline{Z}_{qp}] [\underline{I}_p] \quad (2.32)$$

Înlocuind (2.32) în ecuația tensiunilor conductoarelor active se obține matricea parametrilor de fază redusă la ordinul p care va cuprinde influența conductoarelor de protecție. Se obține :

$$[\underline{Z}_{pp}]' = [\underline{Z}_{pp}] - [\underline{Z}_{pq}] \cdot [\underline{Z}_{qq}]^{-1} [\underline{Z}_{qp}] \quad (2.33)$$

Pentru a evidenția modificarea matricei de admitanță se va aplica același procedeu matricei [Y] rezultînd:

$$[\underline{Y}_{pp}]' = [\underline{Y}_{pp}] - [\underline{Y}_{pq}] [\underline{Y}_{qq}]^{-1} \cdot [\underline{Y}_{qp}] \quad (2.34)$$

Matricea $[\underline{Z}_{pp}]'$ va avea forma generală (2.35)

$$[\underline{Z}_{pp}]' = \begin{bmatrix} \underline{A} & \underline{B} & \underline{C} \\ \underline{B} & \underline{D} & \underline{B} \\ \underline{C} & \underline{B} & \underline{A} \end{bmatrix} \quad (2.35)$$

de aceeași formă fiind și $[\underline{Y}_{pp}]'$.

Examinînd rezultatele de calcul, se observă o micșorare a valorilor parametrilor lineici longitudinali ai fazelor, cu precădere ai fazei centrale.

Notînd :

$$\xi_R = \frac{R'}{R} \cdot 100 \% \text{ respectiv } \xi_L = \frac{L'}{L} \cdot 100\%, \text{ unde cu ' s-au}$$

notat valorile parametrilor lineici în mărimi de fază după considerarea influenței conductoarelor de protecție, în fig.2.10 se reprezintă modificările enunțate.

Se observă că asupra rezistenței lineice efectul prezenței conductoarelor de protecție este puternic în banda $10^2 - 10^4$ Hz cînd valorile rezistenței fazei se înjumătățesc.

Micșorarea acestei influențe în domeniul frecvențelor mari, $10^4 - 10^6$ Hz se explică prin creșterea ponderii efectului pelicular în mărimea totală a rezistenței electrice.

Prezența conductoarelor de protecție în modificarea valorilor parametrilor lineici se exercită prin intermediul parametrilor electrici, rezistență și inductivitate, ai solului.

Fig.2.10. Micșorarea procentuală a parametrilor lineici datorită conductoarelor de protecție

- 1 LEA de 400 kV ;
- 2 LEA de 750kV

Asupra inductivității lineici a fazei prezența conductoarelor de protecție are o influență mai mică, îndeosebi la frecvențe peste 10^4 Hz când modificarea valorii inductivității este de 8-5 %.

2.5. Compararea corecției parametrilor lineici tranzițorii calculați și aproximați

Expresia impedanței lineice propuse în /11/ și redată în relația (2.12) prezintă avantajul simplității și a unor erori acceptabile în ceea ce privește corecția inductivității datorită prezenței solului imperfect. Dezavantajul mare constă în aproximarea eronată a corecției rezistenței datorită solului, acceptarea formei (2.12) în calcule analitice denaturând desfășurarea fenomenului.

Se propune adăugarea la (2.12) a unui termen de forma:

$\frac{b}{p^{1/2} + c}$ avînd în vedere că la frecvențe înalte corecția rezistenței datorită solului este invers proporțională cu $f^{1/2}$ (2.22).

În consecință forma impedanței lineice în transformată Laplace va fi:

$$Z_{11}(p) = L_{11}p + d_{11} \cdot p^{1/2} + a_{11} + \frac{b}{p^{1/2} + c} \quad (2.37)$$

În /11/ coeficienții constanți L_{11} , d_{11} , a_{11} sînt determinați într-o formă simplificată după dezvoltarea expresiei (2.23).

Valorile coeficienților b și c din (2.37) autorul își propune a le determina empiric prin compararea cu valorile exac-

te ale impedanței calculate prin relațiile complete ale lui Carson.

Transformând (2.37) în domeniul frecvenței și separând partea reală și imaginară se obține :

$$Z_{ii}(\omega) = d_{ii} \left(\frac{\omega}{2}\right)^{1/2} + a_{ii} + b \frac{c + \left(\frac{\omega}{2}\right)^{1/2}}{\left[c + \left(\frac{\omega}{2}\right)^{1/2} \right]^2 + \frac{\omega}{2}} + j \left[\omega L_{ii} + d_{ii} \left(\frac{\omega}{2}\right)^{1/2} - \frac{b \left(\frac{\omega}{2}\right)^{1/2}}{\left[c + \left(\frac{\omega}{2}\right)^{1/2} \right]^2 + \frac{\omega}{2}} \right] \quad (2.38)$$

Notînd cu ' valorile coeficienților d_{ii} , a_{ii} și L_{ii} dezvoltate în /11/ pentru frecvențe mai mari de 10^4 Hz și cu '' pentru $f < 10^4$ Hz se obțin expresiile generale ale reactanței și a rezistenței proprii și mutuale ($i=1,2,3$; $j=1,2,3$; $i \neq j$)

$$X'_{ii} = \omega \cdot \frac{\mu_0}{2\pi} \ln \frac{s_{ii}}{r_c} + \frac{(\mu_0 \omega \rho)^{1/2}}{2^{3/2} \pi \cdot r_c} + \frac{(\mu_0 \rho_p \omega)^{1/2}}{2^{3/2} \pi h_1} \quad (2.39)$$

$$R'_{ii} = \frac{\rho}{4\pi r_c^2} + \frac{(\mu_0 \omega \rho)^{1/2}}{2^{3/2} \cdot \pi r_c} + \frac{(\mu_0 \omega \rho_p)^{1/2}}{2^{3/2} \cdot \pi \cdot h_1} - \frac{1}{4\pi} \frac{\rho_p}{h_1^2} \quad (2.40)$$

$$X'_{ik} = \omega \cdot \frac{\mu_0}{2\pi} \ln \frac{s_{ik}}{s_{ik}} + \frac{h_t (\mu_0 \rho_p \omega)^{1/2}}{2^{1/2} \cdot \pi (h_t^2 + y^2)} \quad (2.41)$$

$$R'_{ik} = \frac{h_t (\mu_0 \rho_p \omega)^{1/2}}{2^{1/2} \cdot \pi (h_t^2 + y^2)} - \frac{\rho_p (h_t^2 - y^2)}{\pi (h_t^2 + y^2)^2} \quad (2.42)$$

$$X''_{ii} = \frac{\mu_0}{2\pi} \ln \frac{s_{ii}}{r_c} + \frac{(\omega \mu_0 \rho)^{1/2}}{2^{3/2} \cdot \pi r_c} + \frac{\omega \mu_0}{\pi} \left(\frac{A_1}{2} - 0,0386 \right) + \frac{A_2 (\omega \mu_0 \rho_p)^{1/2}}{2^{3/2} \cdot \pi \cdot h_1} \quad (2.43)$$

$$R''_{ii} = \frac{\rho}{4\pi r_c^2} + \frac{(\omega \mu_0 \rho)^{1/2}}{2^{3/2} \pi r_c} + \frac{A_2 (\omega \mu_0 \rho_p)^{1/2}}{2^{3/2} \cdot \pi \cdot h_1} \quad (2.44)$$

$$X''_{ik} = \frac{\omega \mu_0}{2\pi} \ln \frac{s_{ik}}{s_{ik}} + \frac{\omega \mu_0}{\pi} \left(\frac{A_1}{2} - 0,0386 \right) + \frac{(\omega \mu_0 \rho_p)^{1/2} A_2}{2^{1/2} (h_t^2 + y^2)^{1/2}} \quad (2.45)$$

$$R''_{ik} = \frac{(\omega \mu_0 \rho_p)^{1/2} \cdot A_2}{(h_t^2 + y^2)^{1/2}} \quad (2.46)$$

Mărimile nou introduse în (2.39)-(2.46) au următoarea semnificație :

$h_t = h_1 + h_k$, suma înălțimilor celor două conductoare

y - este distanța pe orizontală între cele două conductoare

Constantele A_1 și A_2 au fost determinate /11/ cu următoarele valori : $A_1 = 1,06$ și $A_2 = 0,121$.

Asupra expresiilor (2.39)-(2.46) se pot face următoarele observații:

a) termenii exprimând efectul pelicular din (2.39), (2.40) și (2.43), (2.44) sînt de formele (2.13) și (2.14) verificate anterior în 2.2 și găsite că dau o bună aproximație față de calculul complet al considerării efectului pelicular.

b) termenii exprimând participarea solului la determinarea parametrilor tranzitorii au forme simplificate și în consecință vor prezenta erori mari față de modul complet de considerare a solului (2.17)-(2.22).

Valoarea coeficienților b și c corespunzător termenului nou introdus în (2.37) se va determina astfel încît să se compenseze cît mai mult posibil erorile față de calculul exact dat de (2.17)-(2.22).

În tabelul 2.2 se prezintă calculate valorile simplificate ale corecțiilor parametrilor datorită solului imperfect, cît și erorile față de valorile exacte. Comparațiile corespund valorilor caracterizînd linia de 400 kV studiată anterior, și folosind rezultatele programului propriu de calcul "Param".

Notațiile din tabelul 2.2 au semnificația următoare:

$$1. X'_{iip} = 22,664 \cdot 10^{-2} \cdot f^{1/2} \Omega/\text{km} \quad (2.47)$$

reprezintă contribuția pămîntului asupra reactanței proprii a conductorului separată din relația (239) pentru frecvențe înalte,

$$2. X''_{iip} = 12,34 \cdot 10^{-4} \cdot f + 27,43 \cdot 10^{-3} \cdot f^{1/2} \Omega/\text{km} \quad (2.48)$$

are semnificația lui X'_{iip} însă pentru frecvențe joase și evidențiată din (43),

$$3. X'_{ikp} = 6,989 \cdot 10^{-2} \cdot f^{1/2} \Omega/\text{km} \quad (2.49)$$

este valabilă la frecvențe înalte pentru reactanța mutuală cauzată de prezența pămîntului dedusă din (2.41),

$$4. X''_{ikp} = 12,34 \cdot 10^{-4} \cdot f + 27,43 \cdot 10^{-3} \cdot f^{1/2} \Omega/\text{km} \quad (2.50)$$

este separată din (45) pentru frecvențe joase.

Pentru rezistența electrică a fazelor datorată pămîntului cu aceleași semnificații ca cele enunțate anterior din (2.40), (2.42), (2.44) și (2.46) se obține :

$$5. R_{iip}^i = 22,657 \cdot f^{1/2} - 49,09 \quad \Omega/\text{km} \quad (2.51)$$

$$6. R_{iip}^n = 2,745 \cdot 10^{-2} \cdot f^{1/2} \quad \Omega/\text{km} \quad (2.52)$$

7. $Cu\Delta X_p$, respectiv ΔR_p s-au notat valorile obținute prin calculul detaliat din programul "Param" folosind (17)-(22).

8. ε_R , respectiv ε_X sînt valorile procentuale ale diferențelor valorilor parametrilor lineici calculați și aproximați, calculate astfel:

$$\varepsilon_R\% = \frac{R_{iip} - R_p}{R_p} \cdot 100 \quad \text{respectiv} \quad \varepsilon_L\% = \frac{X_{up} - X_p}{X_p} \cdot 100 \quad (2.53)$$

Asupra rezultatelor cuprinse în tabelul 2.2 se poate concluziona:

- valorile rezistenței lineice datorate pămîntului, obținute cu expresia (2.12) pot fi acceptate în domeniul de frecvență $10^6 - 5 \cdot 10^5$ Hz, respectiv $10^3 - 5 \cdot 10^2$ Hz, deci într-o bandă îngustă de frecvență,
- în cazul studierii fenomenelor tranzitorii de comutație pe liniile electrice lungi folosirea expresiei (2.12) ar conduce la atenuări puternice în ultima parte a desfășurării fenomenelor datorită valorii mari a rezistenței pămîntului la frecvențe joase. Eroarea față de valorile calculate exact este de 191,4% pentru $f = 10^2$ Hz,
- inductivitatea lineică datorită pămîntului se calculează cu (2.12) în condiții de eroare acceptabilă doar la valori apropiate de 10^6 Hz, respectiv 10^2 Hz
- în ceea ce privește valorile parametrilor lineici mutuali acestea diferă față de cele calculate exact cu erori destul de mari, de la 50,2% la 6,8 % pentru inductivitate, respectiv 204,4% la 1,2% pentru rezistență.

Cum de interes major sînt valorile parametrilor lineici în componente modale, se va interveni cu modificarea lui (2.12) la forma (2.37) după obținerea parametrilor modali.

2.6. Parametrii lineici în componente modale

Transformarea parametrilor lineici din mărimi de fază în mărimi modale, naturale sau de secvență apare ca o necesitate impusă de imperativul decuplării fazelor în ecuațiile telegrafistilor în vederea rezolvării acestora.

Teoria dezvoltată în literatură /18/-/26/, numită și analiză modală, determină componența și tipul matricilor de transformare modale funcție de configurația geometrică a amplasării reci-

Tabelul 2.2. Compararea corecției parametrilor lineici datorată solului
calculată și aproximată

a) Parametrii proprii ai fazelor

$\rho_p = 100 \Omega m$ f Hz	X_{11p} Ω/km	ΔX_p Ω/km	R_{11p} Ω/km	ΔR_p	ϵ_L %	ϵ_R %
10^6	226,64	222,31	185,4	189,3	1,3	- 2,06
10^5	71,65	59,97	30,73	42,43	19,4	-27,5
10^4	22,66	14,82	-18,25	5,73	52,9	-418,5

	X_{11p}''	ΔX_p	R_{11p}''	ΔR_p	ϵ_L %	ϵ_R %
10^4	15,01	14,82	2,745	5,73	1,28	- 52,1
10^3	2,101	2,66	0,868	0,854	-21,01	1,6
10^2	0,3977	0,4017	0,2745	0,0942	-0,72	191,4
50	0,2556	0,2219	0,1941	0,0477	15,2	306,9

b) Parametrii mutuali $i=1, k=3$

	X'_{1kp} Ω/km	X_{1kp} Ω/km	R'_{1kp} Ω/km	R_{1kp} Ω/km	$\epsilon_L \%$	$\epsilon_R \%$
10^6	69,84	140,3	69,14	132,59	- 50,2	- 48
10^5	22,1	46,5	21,35	35,9	- 52,4	- 40,5
10^4	6,989	11,92	6,24	6,17	- 41,3	- 1,2

	X''_{1kp}	X_{1kp}	R''_{1kp}	R_{1kp}	L	R
10^4	13,78	12,9	2,037	6,01	6,82	66,1
10^3	0,169	2,46	0,644	0,854	-93,1	24,5
10^2	0,267	0,381	0,203	0,0941	-29,9	115,7
50	0,163	0,212	0,144	0,0473	-26,1	204,4

proce a conductoarelor fazelor liniei electrice pe stîlpul liniei. Această teorie se bazează pe determinarea vectorilor proprii a matricilor care urmează a fi diagonalizate.

În această privință, datorită poziției orizontale de amplasare a conductoarelor, fazelor liniilor de 400 kV din R.S.R. și considerînd linia simetrizată prin transpuneri de-a lungul traseului, s-a optat pentru matricea de transformare Clark, în componente $\alpha, \beta, 0$, ea avînd termenii reali /27/. Forma ei normală este :

$$|T| = \begin{bmatrix} -\frac{1}{\sqrt{6}} & \frac{1}{\sqrt{2}} & \frac{1}{\sqrt{3}} \\ \sqrt{\frac{2}{3}} & 0 & \frac{1}{\sqrt{3}} \\ -\frac{1}{\sqrt{6}} & -\frac{1}{\sqrt{2}} & \frac{1}{\sqrt{3}} \end{bmatrix} |T|^{-1} = \begin{bmatrix} -\frac{1}{\sqrt{6}} & \sqrt{\frac{2}{3}} & -\frac{1}{\sqrt{6}} \\ \frac{1}{\sqrt{2}} & 0 & -\frac{1}{\sqrt{2}} \\ \frac{1}{\sqrt{3}} & \frac{1}{\sqrt{3}} & \frac{1}{\sqrt{3}} \end{bmatrix} \quad (2.54)$$

În componente $\alpha, \beta, 0$ matricile diagonale ale parametrilor lineici se calculează astfel:

- matricea impedanței longitudinale a liniei :

$$[Z]_{\alpha, \beta, 0} = [T] [Z] [T]^{-1} = [R]_{\alpha, \beta, 0} + j [X]_{\alpha, \beta, 0} \quad (2.55)$$

- matricea admitanței liniei :

$$[Y]_{\alpha, \beta, 0} = [T]^{-1} [Y] [T] = [G]_{\alpha, \beta, 0} + j [B]_{\alpha, \beta, 0} \quad (2.56)$$

- matricea impedanței de undă:

$$[Z_U]_{\alpha, \beta, 0} = \left[Z_{\alpha, \beta, 0} Y_{\alpha, \beta, 0}^{-1} \right]^{1/2} = \text{Re} [Z_U]_{\alpha, \beta, 0} + j \text{Im} [Z_U]_{\alpha, \beta, 0}$$

- matricea constantelor de propagare :

$$[g]_{\alpha, \beta, 0} = \left\{ [Z]_{\alpha, \beta, 0} \cdot [Y]_{\alpha, \beta, 0} \right\}^{1/2} = [a]_{\alpha, \beta, 0} + j [b]_{\alpha, \beta, 0} \quad (2.57)$$

unde [a] este matricea constantelor de atenuare, iar

[b] matricea constantelor de defazare.

2.6.1. Rezultate de calcul

Programul de calcul "Param" pe baza relațiilor (2.55)-(2.57) rezolvă în continuare necesitatea enunțată. Pentru că volumul datelor obținute cu privire la valorile parametrilor lineici $[Z]_{\alpha, \beta, 0}$ este extins, se preferă oferirea în continuare a parametrilor care vor interveni direct în calculele analitice insistîndu-se asupra parametrilor caracteristici ai liniei, deri-

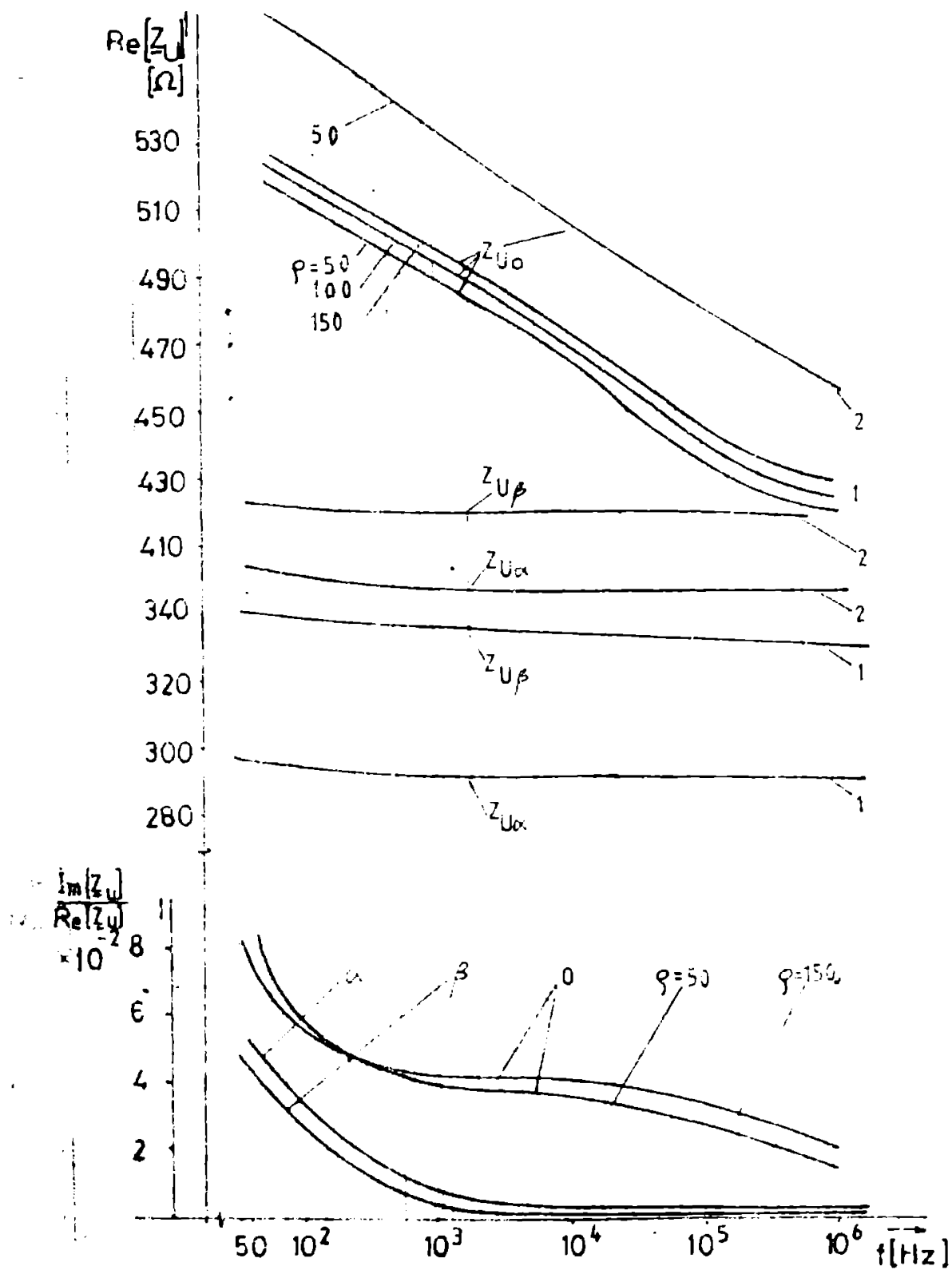
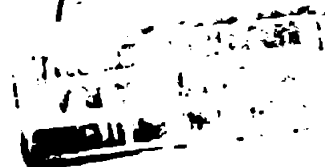


Fig.2.11. Variația cu frecvența a impedanței de undă în componente $\alpha, \beta, 0$

1 LEA de 400 kV
2 LEA de 750 kV



vați din $|Z|$ și $|Y|$, care au o determinare directă în rezultatele calitative și cantitative asupra propagării undelor de-a lungul liniilor electrice seriene.

Calcululele sînt obținute în ipoteza neglijarii conductanței liniei.

2.6.1.1. Impedanța de undă

Impedanța de undă în componente Clarke are termenii diagonali de forma:

$$Z_{U\alpha,\beta,0} = \left(\frac{X_{\alpha,\beta,0}}{B_{\alpha,\beta,0}} \right)^{1/2} - j \frac{R_{\alpha,\beta,0}}{2X_{\alpha,\beta,0}} \left(\frac{X_{\alpha,\beta,0}}{B_{\alpha,\beta,0}} \right)^{1/2} \quad (2.58)$$

Rezultatele de calcul obținute sînt redade în fig.2.11. Este de interes a urmări și evoluția raportului părții imaginare la cea reală a componentelor matricii impedanței de undă.

Se pot trage concluziile următoare :

- impedanța de undă în toate cele trei componente are partea reală determinantă față de cea imaginară. Acest raport scade cu creșterea frecvenței ajungînd la valori de sub 10^{-3} peste 10^3 Hz pentru componentele α și β . Pentru același domeniu de frecvență în componenta "0" raportul scade sub 0,04. Deci în studiul fenomenelor tranzitorii se poate accepta reprezentarea impedanței de undă numai prin partea ei reală rezistivă.
- impedanța de undă în componente α și β este foarte puțin influențată de mărimea frecvenței,
- în componentă 0, impedanța scade cu creșterea frecvenței, scăderea fiind mai pronunțată pe domeniul $50-10^4$ Hz cu cca 11%.

2.6.1.2. Constanta de propagare

Asupra calității propagării undelor de-a lungul liniilor electrice o importanță deosebită o are constanta de atenuare. Din fig.2.12 se observă că modul α și β au o atenuare mai mică pînă la 10^3 Hz, după care urmează o creștere pronunțată, modul β depășindu-l pe α . Pentru componenta "0", corespunzătoare pămîntului atenuarea este pronunțată, gradientul creșterii acesteia fiind aproape constant pe întreg domeniul frecvenței.

Constanta de defazare a liniei pentru o lungime a acesteia de 100 km este redată în tabelul 2.3.

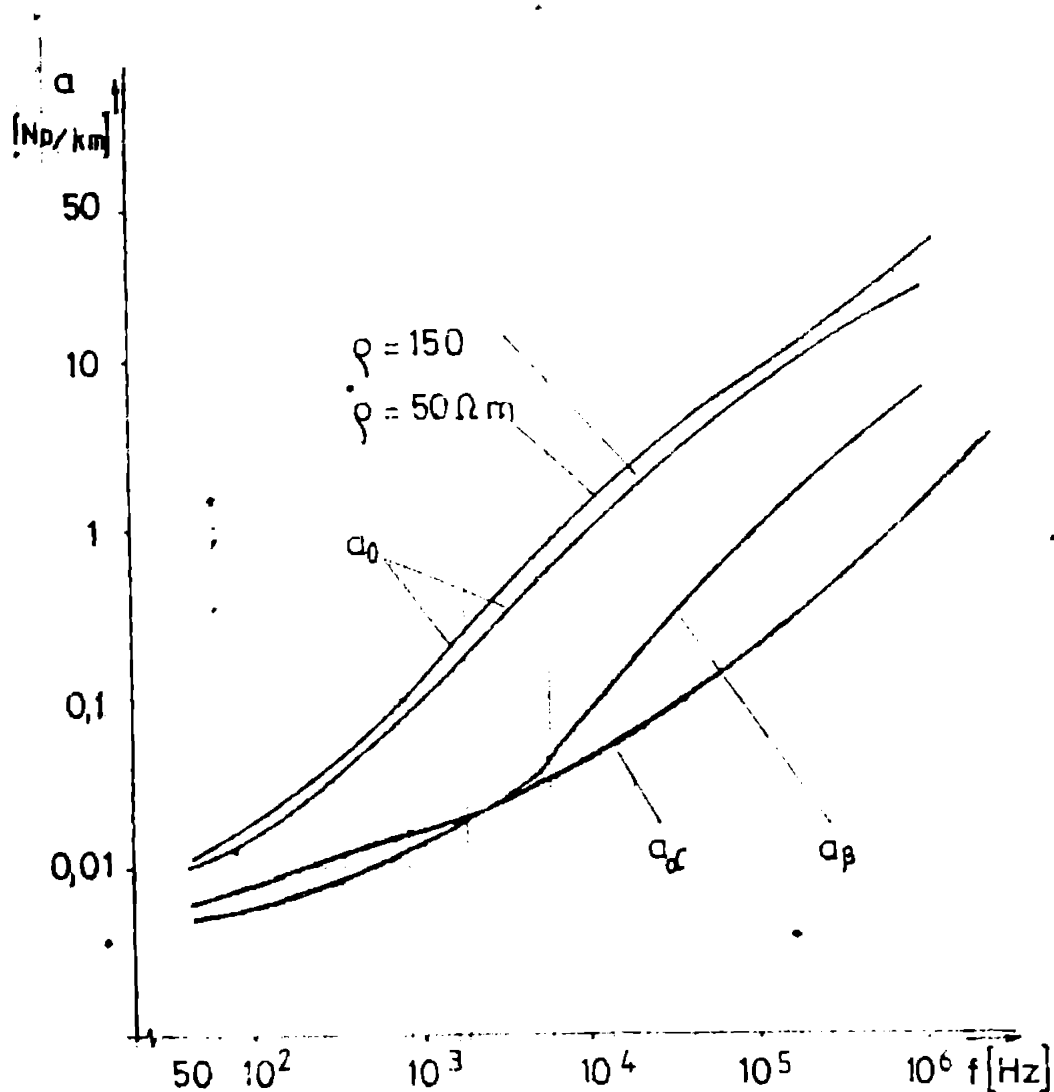


Fig.2.12. Variația cu frecvență a constantei de propagare

Tabelul 2.3. Valorile constantei de defasare b / rad/100 km/

$\frac{b}{f}$ Hz	50	10^2	10^3	10^4	10^5	10^6
$\rho_p = 150$ b_α	0,1061	0,212	2,106	21	209	2090
b_β	0,1079	0,215	2,142	21,5	211	2101
b_0	0,132	0,26	2,5	24,5	218	2130

2.6.1.3. Constanta de timp a liniei

Variația cu frecvența a constantei de timp a liniei definită ca $\tau = \frac{1}{\alpha}$ a fost calculată atât pe baza rezultatelor de calcul ale programului "Param" cit și pe separarea inductivității și a rezistenței din expresia de aproximare (2.12),

Rezultatele sînt redată în fig.2.13.

Se observă influența directă a aproximației prin adăugarea rezistenței datorate pământului, în cazul expresiei (2.12) și relevată în cap.2.2, asupra măririi constantei de timp. Se poate conchide încă de acum faptul că folosind o aproximație de formă (2.12) calculele analitice ale propagării undelor pe liniile electrice seriene vor obține atenuări mai mari ale supra-tensiunilor față de cazul analitic de calcul extins al parametrilor liniei.

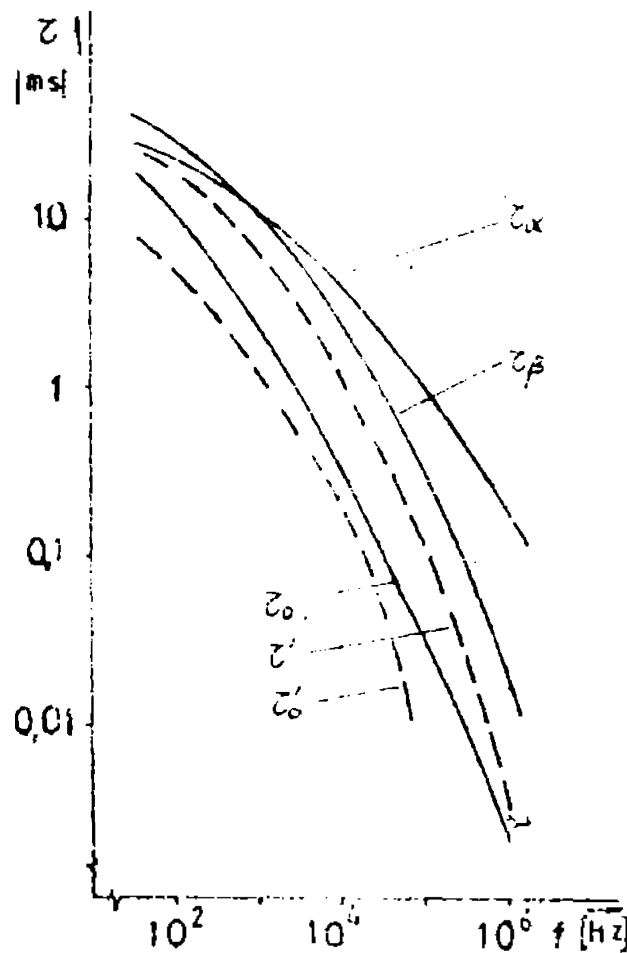


Fig.2.13. Variația cu frecvența a constantei modale de timp a liniei de 400 kV
 - valori exacte
 - - - valori aproximative

2.6.1.4. Viteza de propagare a undelor de-a lungul liniilor electrice seriene

Având la dispoziție valorile parametrilor liniei de secvență se poate urmări modificarea cu frecvența și rezistivitatea pământului a vitezelor de propagare în componente α, β, θ definite astfel:

$$v_{\alpha, \beta, \theta} = \frac{1}{(L_{\alpha, \beta, \theta} \cdot C_{\alpha, \beta, \theta})^{1/2}} \quad (2.58)$$

Rezultatele de calcul sînt reprezentate în fig.2.15.

Ca și concluzii se observă variația pronunțată a vitezei componentei "e" cu frecvența și rezistivitatea solului, influențe atenuate pentru componenta "β", iar propagarea componentei "α" este aproape independentă de frecvența și rezistivitatea solului.

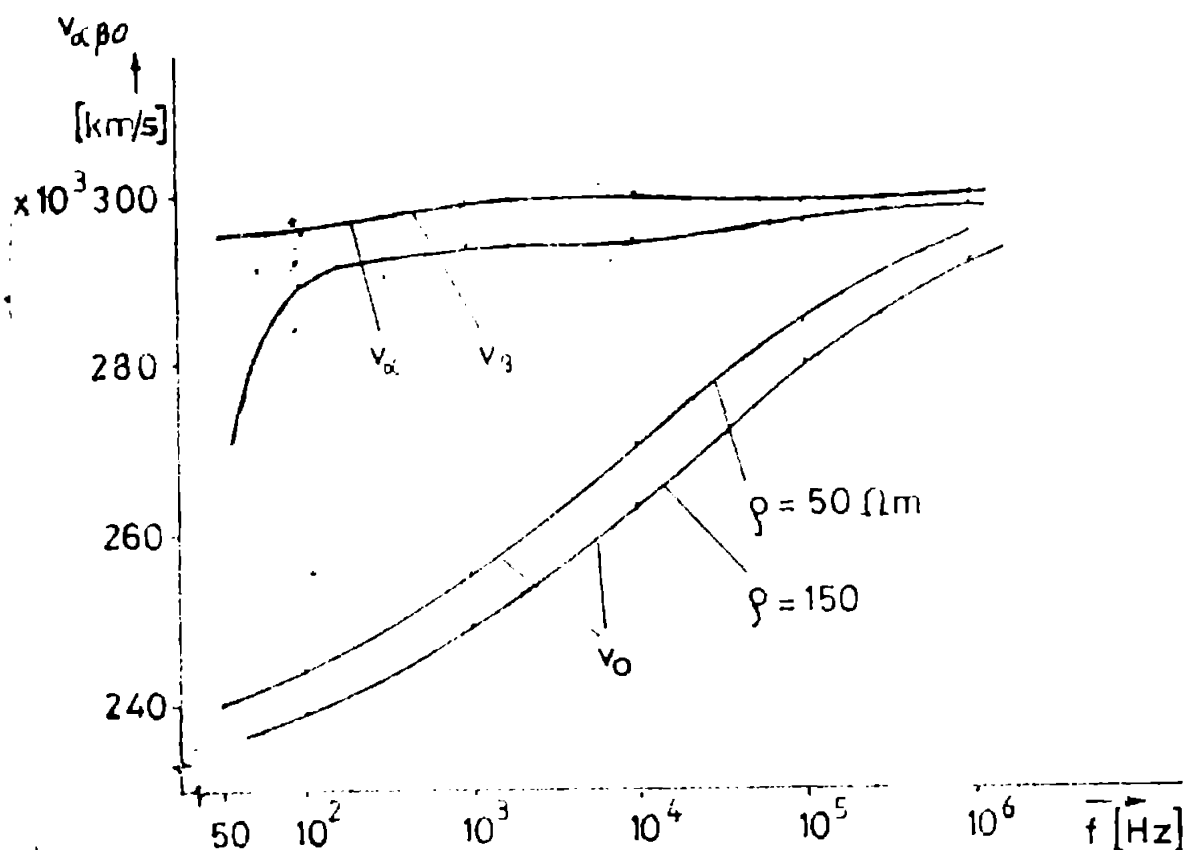


Fig.2.14. Modificarea cu frecvența și rezistivitatea solului a viteselor de propagare

2.7. Obținerea unei expresii îmbunătățite a impedanței lineice transitorii

După calculul, considerat de referință, a contribuției solului la valoarea parametrilor lineici (2.39)-(2.46), s-a constatat anterior în 2.5, că o expresie de forma (2.12) pentru impedanța lineică, introduce erori mari prezentate în tabelul 2.2.

În consecință, la expresia de forma (2.38) scrisă pentru componenta "o", coeficienții b și c se vor determina empiric din condiția egalității impedanței transitorii de formă îmbunătățită la frecvențele usuale ale proceselor transitorii de comutație, 10^3 - 10^4 Hz, cu valorile impedanței lineice obținute din (2.39)-(2.46).

Valoarea de modificare a rezistenței componentei "o" este

dată de (2.59) , iar a inductivității de (2.50)

$$\Delta R_0 = b \frac{c + (\frac{\omega}{2})^{1/2}}{[c + (\frac{\omega}{2})^{1/2}]^2 + \frac{\omega}{2}} \quad (2.59)$$

$$\Delta L_0 = - \frac{b}{\sqrt{2}\omega [c + (\frac{\omega}{2})^{1/2}]^2 + \frac{\omega}{2}} \quad (2.60)$$

Valoarea coeficientului c se obține observind că în jurul frecvenței de $8 \cdot 10^3$ Hz valorile rezistenței lineice obținute din (2.12) și (2.38) sînt aproximativ egale.

Valoarea coeficientului b se va determina astfel cu valorile pentru rezistența lineică obținute cu aceleași relații (2.12) și (2.38) să fie cît mai mici.

În aceste condiții au rezultat valorile : $b = 180 \text{ rad}^{1/2} \cdot \text{s}^{-1/2}$ și $c = -150 \text{ rad}^{1/2} \cdot \text{s}^{-1/2}$, care pentru componenta "0" a impedanței lineice dau valorile din tabelul 2.4.

Tabelul 2.4. Compararea valorilor impedanței lineice

f	Z_0 calculat	Z_0 aproximat	Z_0 îmbunătățit	$\epsilon_R\%$	$\epsilon_L\%$
10^4	$9,1 + j 109,84$	$7,63 + j138,7$	$7,8 + j136,8$	-14,2	24,5
10^3	$0,962 + j12,34$	$2,41 + j15,53$	$1 + j13,06$	3,8	5,8

3. CALCULUL REGIMULUI TRANZITORIU PENTRU LINIA TRIFAZATA IN GOL, CONSIDERIND DEPENDENTA DE FRECVENTA A PARAMETRILOR LINEICI

3.1. Mod de abordare și ipoteze de calcul

Funcția de răspuns tranzitoriu (FRT) reprezintă tensiunea la capătul terminal al liniei atunci când la începutul acesteia se aplică o tensiune treaptă unitate.

Prezentul capitol prezintă un model matematic și un program de calcul corespunzător pentru calculul FRT pentru o linie electrică aeriană (LEA), cât și determinarea tensiunilor terminale ale liniei atunci când la începutul ei se aplică un sistem trifazat simetric de tensiuni în ipoteza următoarelor considerații:

- se calculează dependența de frecvență a impedanței lineice după expresia analitică (2.38) cu coeficienții determinați în 2.6;
- admitanța lineică se aproximează prin susceptanța sa;
- constanta de propagare a liniei se consideră printr-o expresie matematică dezvoltată care permite o soluție matematică cât mai exactă,
- se obțin expresii matematice originale pentru FRT diferite pentru componentele α, β și respectiv "o" datorită unei analize etente a valorilor comparative diferite a coeficienților care apar în expresiile impedanței lineice și a constantei de propagare;
- se separă influența efectului pelicular și a solului atât cantitativ cât și calitativ în valoarea FRT;
- se aplică integrala Duhamel pentru considerarea unui sistem de alimentare al liniei trifazat simetric considerând și nesimultaneitatea conectării fazelor acestuia.

Atenția acordată de autor determinării cât mai exacte a expresiilor matematice a FRT într-un regim de funcționare a LEA relativ mai rar întâlnit, acela de mers în gol, se explică prin faptul că aceste expresii vor sta la baza expresiilor matematice pentru regimuri de funcționare mai complexe din punctul de vedere al condițiilor terminale.

Modelul matematic pentru exprimarea FRT prezintă următoarea succesiune :

- trecerea ecuațiilor de propagare de-a lungul liniei exprimate

în transformată Laplace din mărimi de fază în componente $\alpha, \beta, 0$ cu ajutorul matricilor de transformare de tip Clarke /13/ considerînd LSA simetrizată printr-o transpunere completă. Matricile $[T]$ și $[T]^{-1}$ au fost redată în 2.5. relația (54). În consecință se obține decuplarea fazelor astfel:

$$\frac{d^2 [U(p)]_{\alpha, \beta, 0}}{dx^2} = [T]^{-1} [Z(p)] [Y(p)] [T] [U(p)]_{\alpha, \beta, 0} \quad (3.1)$$

unde

$[U(p)]$ este matricea coloană a tensiunilor în transformată Laplace, p fiind operatorul Laplace

$[Z(p)], [Y(p)]$ sînt matricile patrate de ordinul 3 în transformată Laplace corespunzătoare mărimilor de fază pentru impedanța lineică, respectiv pentru admitanța lineică.

Constanta de propagare în componente $\alpha, \beta, 0$ va fi o matrice de ordinul 3 diagonală de forma :

$$[Y(p)]_{\alpha, \beta, 0}^2 = [T]^{-1} [Y(p)]^2 [T] \quad (3.2)$$

- se determină matricea $[FRT]$ în componente $\alpha, \beta, 0$ care va fi diagonală de forma:

$$[FRT(p, 0)]_{\alpha, \beta, 0} = \begin{bmatrix} FRT_{\alpha}(p) & 0 & 0 \\ 0 & FRT_{\beta}(p) & 0 \\ 0 & 0 & FRT_0(p) \end{bmatrix} \quad (3.3)$$

- se determină originalele lui $[FRT(p)]$ printr-o transformată Laplace inversă /8/, /18/, argumentele funcțiilor fiind distanța măsurată de la capătul terminal al liniei și timpul,

- se revine la mărimile de fază cu ajutorul matricilor $[T]$ și $[T]^{-1}$ obținînd $[FRT(x, t)]$, matrice simetrică de ordinul 3 astfel:

$$FRT(x, t) = \begin{bmatrix} FRT_{11}(x, t) & FRT_{12}(x, t) & FRT_{13}(x, t) \\ FRT_{21}(x, t) & FRT_{22}(x, t) & FRT_{23}(x, t) \\ FRT_{31}(x, t) & FRT_{32}(x, t) & FRT_{33}(x, t) \end{bmatrix} =$$

$$= [T] \begin{bmatrix} FRT(x, t) & 0 & 0 \\ 0 & FRT(x, t) & 0 \\ 0 & 0 & FRT_0(x, t) \end{bmatrix} T^{-1} \quad (3.4)$$

Datorită simetriei liniei, cu conductoarele fazei așezate pe orizontală și cu practicarea transpunerii fazelor pentru simetrizare vor exista relațiile :

$FRT_{11}(x,t) = FRT(x,t)$ cu $i = 1,2,3$ reprezentând răspunsul propriu al liniei pentru o fază și

$FRT_{ij}(x,t) = FRT'(x,t)$ cu $i=1,2,3; j=1,2,3$ și $i \neq j$ reprezentând răspunsul mutual al liniei față de o tensiune aplicată constantă.

Efectuând calculele exprimate de (3.4) cu simetriile prezentate se obține:

$$FRT(x,t) = \frac{2FRT_{\alpha}(x,t) + FRT_0(x,t)}{3} \quad (3.5)$$

$$FRT'(x,t) = \frac{FRT_0(x,t) - FRT_{\alpha}(x,t)}{3} \quad (3.6)$$

Matricea $[FRT(x,t)]$ astfel obținută va permite prin aplicarea integralei Duhamel determinarea tensiunilor la capătul terminal al liniei când la începutul ei se aplică un sistem trifazat simetric de tensiuni.

Din cele patru forme de exprimare a integralei Duhamel se alege forma (3.7) pentru ușurința determinării derivatei tensiunii de intrare :

$$[\mu_2(t)] = [FRT(t,0)][\mu_1(0)] + \int_0^t [FRT(\theta,0)][\mu_1'(t-\theta)] d\theta \quad (3.7)$$

unde: $[\mu_2(t)]$ este matricea coloană a tensiunilor de la capătul terminal al liniei,

$[\mu_1'(t)]$ este matricea coloană a derivatei în raport cu timpul a tensiunilor aplicate capătului de alimentare a liniei.

3.2. Calculul constantei de propagare a liniei în componente $\alpha, \beta, 0$

Pentru determinarea constantei de propagare, se folosește (3.2) și (2.38), obținând în scrierea matricială pentru componentele $\alpha, \beta, 0$ for următoare :

$$\gamma_{\alpha, \beta, 0}^2(p) = LC \cdot p^2 \left(1 + \frac{d}{L \cdot p^{1/2}} + \frac{a}{pL} + \frac{b}{pL(p^{1/2} + c)} \right) \quad (3.8)$$

unde: L este inductivitatea conductorului fazei în componente $\alpha, \beta, 0$ calculată fără considerarea efectului pelicular și prezenței solului /11/, /14/.

C este capacitatea conductorului liniei exprimată tot în componente $\alpha, \beta, 0$.

Pe baza considerentelor dezvoltate în cap.2.6 se menționează că ultimul termen din (3.8) apare doar în componenta "0",

din dorința exprimată de a îmbunătăți modul de considerare a soluției în parametrii de secvență.

Se obține succesiv, folosind /17/, următoarea formă finală pentru constanta de propagare :

$$\gamma_{\alpha, \beta, 0}^2(p) = LCp^2 \left[\left(1 + \frac{d}{2Lp^{1/2}} + \frac{a}{2Lp} - \frac{d^2}{8L^2p} \right)^2 - 2 \frac{d}{2L} \left(\frac{a}{2L} - \frac{d^2}{8L^2} \right) \cdot \frac{1}{p^{3/2}} + \frac{b}{Lp(p^{1/2}+c)} - \left(\frac{a}{2L} - \frac{d^2}{8L^2} \right)^2 \frac{1}{p^2} \right] \quad (3.9)$$

Cu notațiile (3.10) și după o dezvoltare în serie Taylor de tipul (3.11) se va obține forma finală a constantei de propagare (3.12).

$$B_1 = \frac{d}{2L}, \quad B_2 = \frac{a}{2L} - \frac{d^2}{8L^2}, \quad B_3 = \frac{b}{L} \quad (3.10)$$

$$(u^2+v)^{1/2} = u \left(1 + \frac{v}{2u^2} + \frac{v^2}{8u^4} + \dots \right) \text{ cu } \left| \frac{v}{u^2} \right| < 1 \quad (3.11)$$

$$\gamma_{\alpha, \beta, 0}(p) = p(LC)^{1/2} \left[\left(1 + \frac{B_1}{p^{1/2}} + \frac{B_2}{p} \right) + \frac{1}{p+B_1p^{1/2}+B_2} \left(-\frac{B_1B_2}{p^{1/2}} + \frac{B_3}{2(p^{1/2}+c)} - \frac{B_2^2}{2p} \right) \right] \quad (3.12)$$

3.3. Determinarea funcției de răspuns tranzitoriu în componente $\alpha, \beta, 0$

În dezvoltările următoare, având în vedere importanța regimului de mers în gol pentru dimensionarea nivelului de izolație al liniei, cât și din perspectiva exprimării și a altor regimuri de funcționare a liniei funcție de cel de mers în gol, autorul acordă o atenție deosebită calculului FRT pentru acest regim de funcționare.

Pentru mersul în gol al liniei soluția ecuației (31) se obține simplu atunci când tensiunea aplicată liniei de lungime l este constantă. Ea va avea forma (3.13)

$$FRT_{\alpha, \beta, 0}(p, 0) = \frac{2}{p} \sum_{n=0}^{\infty} (-1)^n \cdot \exp[-(2n+1)l \cdot \gamma_{\alpha, \beta, 0}(p)] \quad (3.13)$$

Adoptând acum pentru constanta de propagare forma discutată anterior (3.12) se obține :

$$FRT_{\alpha, \beta, 0}(p, 0) = \frac{2}{p} \sum_{n=0}^{\infty} (-1)^n \exp[-(2n+1)(LC)^{1/2} \cdot l \cdot p]$$

$$\left. \begin{aligned} & \cdot \exp[-B_1(2n+1)(LC)^{1/2} \cdot 1 \cdot p^{1/2}] \cdot \exp[-(2n+1)(LC)^{1/2} \cdot 1(B_2 - \\ & \frac{B_1 \cdot B_2 \cdot p^{1/2}}{p+B_1 p^{1/2}+B_2} + \frac{B_3 \cdot p}{2(p^{1/2}+c)(p+B_1 \cdot p^{1/2}+B_2)} - \frac{B_2^2}{2(p+B_1 \cdot p^{1/2}+B_2)} \end{aligned} \right) \quad (3.14)$$

O analiză a expresiei (3.14) se impune pe baza determinării corelațiilor dintre constantele B_1 , B_2 și B_3 , diferite pentru fiecare din componentele α , β , σ . Astfel pentru componenta α și β , calculând valorile parametrilor, se observă că:

$$B_2 = \frac{a}{2L} - \frac{d^2}{8L^2} > 0 \text{ și } 1 < B_2 < 2 \text{ și } B_2 \geq B_1 \quad (3.15)$$

Pentru componenta " σ " prin calcul s-a constatat :

$$B_2 < 0 \text{ și } 2\sigma < |B_2| < 6\sigma \quad (3.16)$$

În aceste condiții, în (3.14) nu este posibilă factorizarea în domeniul real al expresiei $p+B_1 \cdot p^{1/2}+B_2$, dar pe baza lui (3.15) se poate neglija $|B_2|$ față de $|p+B_1 \cdot p^{1/2}|$.

În consecință, dezvoltând în serie (3.14) cu aproximația anterioară și cu specificația că pentru componentele α și β va exista $B_3=c=0$ conform cap.2.6, va rezulta următoarea formă finală pentru funcția de răspuns tranzitoriu :

$$\begin{aligned} \text{FRT}_{\alpha, \beta}(p, \sigma) = & 2 \sum_{n=0}^{\infty} \exp(-p \cdot \tau_n) \cdot \exp(-B_2 \tau_n) \cdot (-1)^n \left\{ \left(1 - \frac{\tau_n \cdot B_2}{2} \right) \cdot \right. \\ & \cdot \frac{\exp(-B_1 \tau_n \cdot p^{1/2})}{p} + \tau_n \cdot \frac{B_1}{2} \cdot \frac{\exp(-B_1 \tau_n \cdot p^{1/2})}{p^{1/2}} - \frac{\tau_n B_1}{2} \cdot \\ & \cdot \frac{p^{1/2}}{p+B_1 \cdot p^{1/2}+B_2} \cdot \exp(-B_1 \tau_n \cdot p^{1/2}) - \tau_n \frac{B_1+B_2}{2} \cdot \frac{1}{p+B_1 \cdot p^{1/2}+B_2} \cdot \\ & \left. \cdot \exp(-B_1 \tau_n \cdot p^{1/2}) \right\} \quad (3.17) \end{aligned}$$

unde $\tau_n = (2n+1)(LC)^{1/2}$ corespunzător timpului $\tau = (LC)^{1/2}$ necesar undei pentru a parcurge linia.

În conformitate cu (3.15) aplicând în (3.17) condiția $|B_2| \ll |p+B_1 p^{1/2}|$ rezultă forma finală :

$$\begin{aligned} \text{FRT}_{\alpha, \beta}(p, \sigma) = & 2 \sum_{n=0}^{\infty} (-1)^n \cdot \exp(-p \tau_n) \cdot \exp(-B_2 \tau_n) \left\{ \left(1 - \frac{\tau_n \cdot B_2}{2} \right) \cdot \right. \\ & \cdot \frac{\exp(-B_1 \tau_n \cdot p^{1/2})}{p} + \tau_n \cdot \frac{B_1}{2} \cdot \frac{\exp(-B_1 \tau_n \cdot p^{1/2})}{p^{1/2}} - \frac{\tau_n B_1}{2} \cdot \\ & \left. \cdot \frac{\exp(-B_1 \tau_n \cdot p^{1/2})}{p^{1/2}+B_1} - \tau_n \frac{B_1+B_2}{2} \cdot \frac{\exp(-B_1 \tau_n \cdot p^{1/2})}{p^{1/2}(p^{1/2}+B_1)} \right\} \quad (3.18) \end{aligned}$$

Expresia (3.17) pune în evidență, prin factorul $\exp(-B_2 \tau_n)$,

fenomenul de atenuare a undei în propagarea ei de-a lungul liniei, iar factorul $\exp(-p\tau_n)$, prin aplicarea teoremei translației, va evidenția fenomenul fizic de parcurgere a lungimei liniei și reflecția undei la capătul terminal.

Examinînd (3.17) prin prisma teoremei valorilor finale și inițiale, se observă că pentru $p \rightarrow 0$, corespunzînd lui $t \rightarrow \infty$, expresia $p \cdot \text{FRT}(p)$ va tinde spre o valoare constantă: $\lim_{p \rightarrow 0} 2 \sum_{n=0}^{\infty} (-1)^n \cdot \exp[-(2n+1)(LC)^{1/2} \cdot 1 \cdot B_2] \cdot \left[1 - \frac{(2n+1)(LC)^{1/2} \cdot 1 \cdot B_2}{2} \right] = \text{const.}$

În consecință, originalul lui (3.17) va avea o evoluție în timp ducînd spre o valoare bine determinată.

Calculînd componenta "o", pentru corecția suplimentară acceptată din cap.2.6, va rezulta $B_3 \neq 0$, $c \neq 0$, iar calculul parametrilor lineici conduc la $B_2 < 0$.

În aceste condiții, aproximația anterioară introdusă pentru componentele α, β nu mai poate fi acceptată.

În consecință se va proceda la descompuneri de sume cu factori liniari în raport cu $p^{1/2}$. Forma finală a lui (3.14) în aceste considerente va fi:

$$\begin{aligned} \text{FRT}_0(p,0) = & 2 \sum_{n=0}^{\infty} (-1)^n \left\{ \left(1 - \tau_n \cdot \frac{B_2}{2} \right) \frac{\exp(-B_1 \tau_n \cdot p^{1/2})}{p} + \tau_n \cdot \frac{B_1}{2} \right. \\ & \cdot \frac{\exp(-B_1 \tau_n \cdot p^{1/2})}{p^{1/2}} + \frac{\tau_n}{K_1 - K_2} \left[\frac{B_1 B_2}{K_1} - \frac{B_2^2}{2K_1^2} - \frac{B_3}{2(K_1 - c)} \right] \frac{\exp(-B_1 \tau_n \cdot p^{1/2})}{p^{1/2} + K_1} + \\ & + \frac{\tau_n}{K_1 - K_2} \left[- \frac{B_1 B_2}{K_2} + \frac{B_2^2}{2 \cdot K_2^2} + \frac{B_3}{2(K_2 - c)} \right] \cdot \frac{\exp(-B_1 \tau_n \cdot p^{1/2})}{p^{1/2} + K_2} \\ & \left. - \frac{\tau_n \cdot B_2}{(K_1 - c)(K_2 - c)} \cdot \frac{\exp(-B_1 \tau_n \cdot p^{1/2})}{p^{1/2} + c} \right\} \exp(-\tau_n \cdot p) \end{aligned} \quad (3.19)$$

unde K_1 și K_2 sînt rădăcinile reale ale ecuației $K^2 + B_1 K + B_2 = 0$, deci $K_{1,2} = \frac{B_1}{2} \pm \left(\frac{B_1^2}{4} - B_2 \right)^{1/2}$.

Verificînd (3.19) din punct de vedere a amortizării în timp a funcției original se constată ușor că

$$\lim_{\substack{p \rightarrow 0 \\ (t \rightarrow \infty)}} p \cdot \text{FRT}_0(p,0) = \text{const.} \quad (3.20)$$

De semnalat că în /17/ dezvoltîndu-se pentru componenta "o" o expresie similară lui (3.19) se preferă simplificarea inițială cu $B_2 = 0$.

Pentru a compara cantitativ și calitativ situația liniei

reale cu cea ideală, caracterizată prin rezistența linsică nulă, se prezintă și dezvoltările matematice pentru acest caz. Pentru această situație, coeficienții expresiei matematice a constantei de propagare (3.12) iau valori particulare, $B_2 < 0$ și $|B_1|$ și $|B_2|$ de valori mici, care permit aceleași dezvoltări pentru toate componentele α, β, o .

În consecință (3.12) se particularizează de forma (3.21):

$$\gamma_{\alpha, \beta, o}(p) = p(LC)^{1/2} \left(1 + \frac{B_2}{p} + \frac{-B_1 B_2 + \frac{B_3}{2}}{p^{3/2}} \right) \quad (3.21)$$

Cu (3.21) funcția de răspuns tranzitoriu va avea forma:

$$\begin{aligned} FRT_{\alpha, \beta, o}(p, o) &= \frac{2}{p} \sum_{n=0}^{\infty} (-1)^n \cdot \exp[-(2n+1)l \cdot \gamma_{\alpha, \beta, o}(p)] = \\ &= 2 \sum_{n=0}^{\infty} \exp[-(2n+1)l \cdot p(LC)^{1/2}] \cdot \exp[-(2n+1)l \cdot B_2(LC)^{1/2}] \cdot \\ &\cdot \frac{\exp[-(2n+1)l B_1(LC)^{1/2} \cdot p^{1/2}]}{p} \cdot \exp[-(2n+1)l(-B_1 B_2 + \frac{B_3}{2})(LC)^{1/2} \cdot p^{-1/2}] \end{aligned} \quad (3.22)$$

Determinarea originalului lui (3.22) presupune aplicarea teoremei translației corespunzător primului factor și teorema produsului de convoluție pentru ultimii doi factori.

3.4. Calculul FRT în domeniul timpului

Pentru găsirea originalului expresiei (3.18) corespunzătoare componentelor α și β se folosește transformata inversă Laplace cât și teorema translației corespunzătoare operatorului p .

După câteva transformări simple constând din descompunerea în sume de factori corespunzători produselor din (3.18) și folosind tabelele din /18/ pentru aflarea unor originale de funcții se obține în final:

$$\begin{aligned} FRT_{\alpha, \beta}(t'_n, o) &= 2 \sum_{n=0}^{\infty} (-1)^n \left\{ \left(1 - \frac{\tau_n \cdot B_2}{2} \right) \operatorname{erfc} \frac{B_1 \cdot \tau_n}{2(t - \tau_n)^{1/2}} - \right. \\ &\left. - \tau_n \frac{B_2}{2} \cdot \exp(B_1^2 t) \cdot \operatorname{erfc} \left[\frac{B_1 \tau_n}{2(t - \tau_n)^{1/2}} + B_1(t - \tau_n)^{1/2} \exp(-\tau_n B_2) \right] \right\} \end{aligned} \quad (3.23)$$

unde s-a notat $t'_n = t - \tau_n = t - (2n+1)l(LC)^{1/2}$

În (3.23) prin $\operatorname{erfc} x$ s-a notat funcția integrală complementară a erorilor definită în forma generală (3.24)

Pentru găsirea originalului funcției de răspuns tranzitoriu corespunzătoare expresiei (3.19) pentru componenta "o", se impune găsirea originalelor pentru funcțiile transformate Laplace de forma:

$$\frac{1}{p^{1/2}-b} \text{ și } \frac{\exp(-ap^{1/2})}{p^{1/2}} \text{ cu } a > 0, b > 0 \quad (3.25)$$

În literatura consultată /8/, /18/, /19/ se găsesc originale pentru funcții Laplace de forma :

$$\mathcal{L}^{-1} \left[\frac{\exp(-ap^{1/2})}{p^{1/2}+b} \right] = \frac{\exp(-\frac{a^2}{4t})}{(\pi t)^{1/2}} - b \exp[b(a+bt)] \cdot \operatorname{erfc} \left(\frac{a}{2t^{1/2}} + bt^{1/2} \right) \quad (3.26)$$

Pentru găsirea originalului lui (3.25) se propune dezvoltare bazată pe descompunerea evidentă :

$$\frac{1}{p^{1/2}-b} = \frac{2b}{p-b^2} + \frac{1}{p^{1/2}+b}$$

Se amplifică termenii de mai sus cu $\exp(-ap^{1/2})$ și se aplică teorema Borel pentru produsele rezultate folosind și (3.26). Se obține în final forma :

$$\mathcal{L}^{-1} \left[\frac{\exp(-ap^{1/2})}{p^{1/2}-b} \right] = 2b \int_0^t \frac{a}{2(\pi \tau^3)^{1/2}} \exp[b^2(t-\tau) - \frac{a^2}{4\tau}] d\tau + (\pi t)^{-1/2} \exp(-\frac{a^2}{4t}) - b \exp[b(a+bt)] \cdot \operatorname{erfc} \left(\frac{a}{2t^{1/2}} + bt^{1/2} \right) \quad (3.27)$$

Notînd integrala din prima parte a lui (3.27) și substituind $\tau^{1/2} = u$ se obține :

$$I = ab \int_0^t \frac{1}{(\pi \tau^3)^{1/2}} \exp[b^2(t-\tau) - \frac{a^2}{4\tau}] d\tau = 2ab(\pi)^{-1/2} \exp[-b(a-bt)] \cdot \int_0^{t^{1/2}} \frac{\exp[-b^2(\frac{a}{2bu} - u)^2]}{u^2} du \quad (3.28)$$

Adoptînd în (3.28) schimbarea de variabilă u cu $-\frac{a}{2bu}$ se obține :

$$I = \frac{4b^2}{(\pi)^{1/2}} \exp[-b(a-bt)] \cdot \int_{-\infty}^{-\frac{a}{2bt^{1/2}}} \exp[-b^2(-u + \frac{a}{2bu})^2] du \quad (3.29)$$

Adunînd (3.28) cu (3.29) în rezultatul obținut se face

o nouă schimbare de variabilă $v = b(\frac{a}{2bu} - u)$ rezultând după câteva operații:

$$2I = \frac{2b}{(\pi)^{1/2}} \exp[-b(a-b \cdot t)] \int_{\frac{a}{2t^{1/2}} - bt^{1/2}}^{\infty} \cdot e^{-v^2} \cdot dv = b \exp[-b(a-bt)] \operatorname{erfc}_c \cdot \frac{a}{2t^{1/2}} - bt^{1/2} \quad (3.30)$$

Înlocuind (3.30) în (3.27) se găsește în final transformata Laplace inversă căutată de forma :

$$\mathcal{L}^{-1} \left[\frac{\exp(-ap^{1/2})}{p^{1/2} - b} \right] = \frac{1}{(\pi \cdot t)^{1/2}} \exp\left(-\frac{a^2}{4t}\right) + b \left\{ \exp[-b(a-bt)] \operatorname{erfc}_c \cdot \left(\frac{a}{2t^{1/2}} - bt^{1/2} \right) - \exp[b(a+bt)] \operatorname{erfc}_c \left(\frac{a}{2t^{1/2}} + bt^{1/2} \right) \right\} \quad (3.31)$$

Ținând cont de (3.31) și particularizând pentru condițiile concrete din (3.19) se obține originalul în domeniul timpului pentru $\text{FIT}(p)_0$ de forma (3.32), în prealabil observând prin calcul, pentru LEA de 400 kV, că $K_1 < 0$ și $K_2 > 0$.

$$\begin{aligned} \text{FIT}_0(t, 0) &= 2 \sum_{n=0}^{\infty} (-1)^n \left\{ \left(1 - \frac{z_n - B_2}{2} \right) \operatorname{erfc}_c \frac{B_1 z_n}{2(t-z_n)^{1/2}} + \right. \\ &+ \frac{z_n \cdot |K_1|}{K_1 - K_2} \left(\frac{B_1 B_2}{K_1} - \frac{B_2^2}{2K_1^2} - \frac{B_3}{2(K_1 - c)} \right) \left[\exp[-|K_1| (B_1 z_n - |K_1| (t-z_n))] \right] \cdot \\ &\cdot \operatorname{erfc}_c \left(\frac{B_1 z_n}{2(t-z_n)^{1/2}} - |K_1| (t-z_n)^{1/2} \right) - \exp[|K_1| (B_1 z_n + |K_1| (t-z_n))] \cdot \\ &\operatorname{erfc}_c \left(\frac{B_1 z_n}{2(t-z_n)^{1/2}} + |K_1| (t-z_n)^{1/2} \right) \left. + \frac{z_n K_2}{K_1 - K_2} \left(\frac{B_1 B_2}{K_2} - \frac{B_2^2}{2K_2^2} - \frac{B_3}{2(K_2 - c)} \right) \right. \\ &\cdot \exp[K_2 (B_1 z_n + K_2 (t-z_n))] \cdot \operatorname{erfc}_c \left(\frac{B_1 z_n}{2(t-z_n)^{1/2}} + K_2 (t-z_n)^{1/2} \right) + \\ &\left. + \frac{z_n \cdot B_3 \cdot c}{2(K_1 - c)(K_2 - c)} \exp[c(B_1 z_n + c(t-z_n))] \cdot \operatorname{erfc}_c \left(\frac{B_1 z_n}{2(t-z_n)^{1/2}} + c(t-z_n)^{1/2} \right) \right\} \quad (3.32) \end{aligned}$$

Pentru cazul liniei ideale, originalul în domeniul timp-

pului pentru (3.22), se propune a fi determinat astfel:

- se dezvoltă în serie expresia $\exp[-(2n+1)l(-B_1B_2 + \frac{B_3}{2})(LC)^{1/2} \cdot p^{-1/2}]$

- se aplică teorema Borel produsului ultimilor doi factori din (3.22), iar primul factor din (3.22) va fi pus în evidență în funcția original cu ajutorul teoremei translației.

Se poate deci scrie

$$\Psi_1(p) = \frac{\exp[-(2n+1)l(LC)^{1/2} \cdot p^{-1/2}]}{p} = \frac{\exp[-\lambda p^{-1/2}]}{p} \quad (3.33)$$

$$\begin{aligned} \Psi_2(p) &= \exp[-(2n+1)l \cdot B' \cdot (LC)^{1/2} \cdot p^{-1/2}] = \exp[-\beta \cdot p^{-1/2}] = \\ &= (1 + \frac{\beta^2}{2!} \cdot \frac{1}{p} + \frac{\beta^4}{4!} \cdot \frac{1}{p^2} + \dots) \cdot p^{-1/2} (\frac{\beta}{1!} + \frac{\beta^3}{3!} \cdot \frac{1}{p} + \frac{\beta^5}{5!} \cdot \frac{1}{p^2} + \\ &+ \dots) = 1 + \sum_{n=1}^{\infty} \frac{\beta^{2n}}{(2n)!} \cdot \frac{1}{p^n} - p^{-1/2} \sum_{n=1}^{\infty} \frac{\beta^{2n-1}}{(2n-1)!} \cdot \frac{1}{p^{n-1}} \end{aligned} \quad (3.34)$$

$$\begin{aligned} \text{unde } \lambda_n &= (2n+1)l(LC)^{1/2} \\ \beta_n &= (2n+1)lB'(LC)^{1/2} \\ B' &= -B_1B_2 + \frac{B_3}{2} \end{aligned}$$

$$(3.35)$$

Originalele în domeniul timpului pentru $\Psi_1(p)$ și $\Psi_2(p)$ se obțin după cum urmează:

$$\Psi_1(t) = \mathcal{L}^{-1} \left[\frac{\exp(-p^{-1/2})}{p} \right] = \text{erfc} \frac{\lambda}{2t^{1/2}}$$

$$\Psi_2(t) = \delta(t) + \sum_{n=1}^{\infty} \frac{\beta^{2n}}{(2n)!(n-1)!} t^{n-1} \sum_{n=1}^{\infty} \frac{\beta^{2n-1}}{(2n-1)!^{1/2}} \frac{2^{2n-1} t^{2n-\frac{3}{2}}}{1 \cdot 3 \cdot 5 \dots (2n-1)} \quad (3.36)$$

Folosind acum (3.31)-(3.35) originalul lui (3.18) va fi:

$$\text{FIT}(t_n^+, 0)_{\alpha, \beta, 0} = 2 \sum_{n=0}^{\infty} (-1)^n \exp(-Z_n \cdot B_2) \int_0^{t-Z_n} \Psi_2(\theta) \cdot \Psi_1(t-Z_n-\theta) d\theta \quad (3.37)$$

În concluzie, deși cazul liniei ideale pare mai simplu, considerând inductivitatea liniei dependentă de frecvență calculul FIT presupune deja folosirea unei integrale de convoluție la care se va mai adăuga și cea corespunzătoare integralei Duhamel la considerarea alimentării liniei cu un sistem trifazat de tensiuni.

Se observă că termenii care intervin în (3.23) și (3.32) au formele generale (3.38), fiecare tinzând spre o valoare constantă sau spre zero odată cu creșterea timpului :

$$\lim_{t \rightarrow \infty} \operatorname{erf}_c \frac{a}{t^{1/2}} = 1,,$$

$$\lim_{t \rightarrow \infty} \exp[a(b+at)] \cdot \operatorname{erf}_c \left(\frac{b}{2t^{1/2}} + at^{1/2} \right) =$$

$$= \lim_{t \rightarrow \infty} \exp[a(b+at)] \cdot \frac{\exp - \left(\frac{b}{2t^{1/2}} + at^{1/2} \right)^2}{\left(\frac{a}{2t^{1/2}} + bt^{1/2} \right)^{1/2}} \left[1 - \frac{1}{2 \left(\frac{b}{2t^{1/2}} + at^{1/2} \right)^2} + \dots \right.$$

$$\left. + (-1)^n \frac{1 \cdot 3 \cdot 5 \dots (2n-3)}{2^{n-1} \left(\frac{a}{2t^{1/2}} + bt^{1/2} \right)^{2n-2}} \right] =$$

$$= \lim_{t \rightarrow \infty} \frac{2t^{1/2} \cdot \exp \left(- \frac{b^2}{4t} \right)}{a+2bt} \left[1 - \frac{1}{2 \left(\frac{b}{2t^{1/2}} + at^{1/2} \right)^2} + \dots (-1)^2 \cdot \right.$$

$$\left. \frac{1 \cdot 3 \cdot 5 \dots (2n-3)}{2^{n-1} \left(\frac{b}{2t^{1/2}} + at^{1/2} \right)^{2n-2}} \right] = 0 \quad (3.38)$$

Pentru funcția $\operatorname{erf}_c(x)$ s-a adoptat dezvoltarea dată în /8/ de forma:

$$\operatorname{erf}_c x = \frac{\exp(-x^2)}{x(\pi)^{1/2}} \left(1 - \frac{1}{2x^2} + \frac{1 \cdot 3}{2^2 \cdot x^4} - \dots (-1)^{n-1} \frac{1 \cdot 3 \dots (2n-1)}{2^{n-1} \cdot x^{2n-2}} \right) \quad (3.39)$$

Relația 3.38 dovedește caracterul de stabilizare în timp a fenomenului tranzitoriu, adică relațiile deduse descriu corect caracterul fenomenului.

Având acum disponibile expresiile (3.23), (3.32), (3.37) cu ajutorul lui (3.4) se obține matricea simetrică $[FIT(x,t)]$ în componente de fază.

3.5. Considerarea alimentării LEA cu un sistem trifazat de tensiuni

Considerând sursa de alimentare ca un sistem trifazat de putere infinită și deci impedanță interioară nulă, aplicarea integralei Duhamel (3.7) folosește următoarele matrici definite

$$u_1(t) = \begin{bmatrix} u_{1\max} \sin(\omega(t - \Delta t_1)) \\ u_{2\max} \sin[\omega(t - \Delta t_2) - \frac{2\pi}{3}] \\ u_{3\max} \sin[\omega(t - \Delta t_3) - \frac{4\pi}{3}] \end{bmatrix} \quad (3.40)$$

unde Δt_i , $i = 1, 2, 3$ reprezintă întârzierile închiderii contactelor întrerupătorului de anclanșare a sursei. Atîta cît valoarea curentă a timpului de investigație este mai mică decît Δt_1 tensiunea este nulă pe fază i a sursei.

Derivata matricii tensiunilor de alimentare este:

$$[u_1'(t-0)] = \begin{bmatrix} u_{1\max} \cos \omega(t - \Delta t_1) \\ u_{2\max} \cos[\omega(t - \Delta t_2) - \frac{2\pi}{3}] \\ u_{3\max} \cos[\omega(t - \Delta t_3) - \frac{4\pi}{3}] \end{bmatrix} \quad (3.41)$$

Matricea funcției de răspuns tranzitoriu este :

$$[FRT(t,0)] = \begin{bmatrix} FRT(t,0) & FRT'(t,0) & FRT'' \\ FRT' & FRT & FRT'' \\ FRT'' & FRT' & FRT \end{bmatrix} \quad (3.42)$$

3.6. Rezultate de calcul

3.6.1. Alegerea pasului de timp pentru calcul

Pentru rezolvarea regimului tranzitoriu pentru linia în gol s-a întocmit programul de calcul nr.4 numit "L GOL" a cărui organigramă este prezentată în anexa A.1.

Programul principal folosește o subrutină FRT pentru determinarea funcției de răspuns tranzitoriu și zece subrutine pentru calculul termenilor specifici din relațiile (3.19)-(3.36).

Pentru calculul regimului simetric trifazat integrala Duhamel este rezolvată prin metoda trapezelor, pasul de integrare a fost ales după multe tatonări, la valoarea $PINT = \tau_1/15$ unde τ_1 este timpul de parcurs al liniei. Această valoare, egală cu 89,33 μs la o linie lungă de 400 km, a fost determinată de considerentele următoare:

- pentru precizia efectuării integralei se dorește un pas de integrare cît mai mic
- pasul de timp pentru investigarea desfășurării globale a fenomenului tranzitoriu se poate alege de valoare superioară lui PINT. Dar pentru fiecare moment de investigație se efectuează de cel puțin trei ori integrala Duhamel, acest lucru ducînd

la valori exagerate ale timpului necesar rulării programului de calcul.

În consecință s-a preferat alegerea aceleiași valori pentru pasul de timp al integrării cât și pentru cel al investigării fenomenului, dar cu reținerea în memorie a fiecărei valori calculate anterior pentru funcția de răspuns tranzitoriu. În consecință, la efectuarea integralei Duhamel pentru valoarea corespunzătoare a timpului, se determină indicele de cod al FFT din tabloul memorat, de unde se extrage această valoare fără a mai fi necesar calculul ei. Există în programul de calcul 6 astfel de tablouri, pentru fiecare fază a liniei fiind necesară stocarea funcției de răspuns proprie și mutuală. Pentru o extindere de 350 de unități pentru fiecare tablou, a rezultat o perioadă de investigație de durată $350 \cdot T_{INT} = 31,26 \text{ ms} = 23T_1$.

Se consideră că această durată este suficient de mare pentru relevarea fenomenului studiat, cu observația că în cazul liniei în gol această durată se poate extinde fără probleme din punctul de vedere al memoriei calculatorului Felix C256.

Pe baza alegerii aceleiași valori a pașilor de timp enumerați mai sus s-a redus timpul de calcul de aproximativ 3 ori. Pentru o variantă obișnuită de calcul timpul necesar a ajuns la 6 minute. Excepție face cazul liniei ideale, unde intervin încă trei integrale datorită produselor de convoluție, lucru care necesită pentru aceeași perioadă de investigație un timp de 35 minute pentru rularea programului.

3.6.2. Calculul funcției complementare a erorilor

Calculul funcției complementare a erorilor, notată

$$\text{erf}_c x = \frac{2}{\sqrt{\pi}} \int_x^{\infty} e^{-t^2} dt, \text{ care apare frecvent, poate fi rezolvat astfel:}$$

- fie prin memorarea valorilor tabelate și calculul curent prin interpolare,
- fie prin dezvoltarea în serie dată în (8) de forma:

$$\text{erf}_c x = \frac{\exp(-x^2)}{x \cdot \sqrt{\pi/2}} \left[1 - \frac{1}{2x^2} + \frac{1 \cdot 3}{2^2 \cdot x^4} \dots + (-1)^n \frac{1 \cdot 3 \cdot 5 \dots (2n-3)}{2^{n-1} \cdot x^{2n-2}} + \dots \right] \quad (3.41)$$

- folosirea unor expresii de polinoame algebrice de aproximare de felul :

$$\operatorname{erf}_c x = \frac{1}{(1 + 0,27893 \cdot x + 0,230389 \cdot x^2 + 9,72 \cdot 10^{-4} x^3 + 0,078108 x^4)^4} \quad (3.42)$$

Pentru simplitatea s-a ales ultima variantă, erorile față de mărimea tabelate în (8) sînt redete în tabelul 3.1.

Tabelul 3.1. Erorile valorilor calculate pentru $\operatorname{erf}_c x$

x	0,05	0,1	0,2	0,3	0,5
Valori tabelate	0,94363	0,88754	0,7773	0,67138	0,5205
Valori calculate	0,943958	0,88777	0,77693	0,672005	0,52088
ξ%	-0,5	0,02	0,04	0,09	0,07

0,8	1	1,5	1,7	1,9	2
0,2579	0,1573	0,03339	0,01621	$7,21 \cdot 10^{-3}$	$4,68 \cdot 10^{-3}$
0,258027	0,157094	0,033612	0,016335	$7,6054 \cdot 10^{-3}$	$5,127 \cdot 10^{-3}$
0,049	0,13	0,66	0,7	5,4	9,5

Pentru valoarea argumentului funcției $\operatorname{erf}_c x$ mai mică decît 1,8 erorile față de valorile tabelate sînt sub 1%, dar pentru $x > 1,8$ erorile cresc rapid. Pentru această ultimă situație se apelează la calculul seriei (3.41). Se observă că valoarea raportului a doi termeni consecutivi este $\frac{2n-1}{2x^2}$, de unde se deduce că numărul de termeni necesari a fi considerați din serie trebuie să fie apropiat lui x^2 cînd $\lim_{n \rightarrow x^2} \frac{2n-1}{2x^2} \rightarrow 1$.

3.6.3. Considerarea momentului conectării fazelor și a decalajelor dintre ele

Mărimea supratensiunilor este decisiv influențată de momentul considerat pentru conectarea celor trei faze. Cum întreprătorul de linie nu este ideal, conectarea celor trei faze are un caracter aleatoriu. Valoarea supratensiunilor de comutație, pentru un caz concret, pentru care se dimensionează aparatul electric se determină pe baza prelucrării statistice a datelor de calcul sau măsurate în sistem.

Programul de calcul elaborat este condus să abordeze în două moduri stabilirea momentelor de conectare a celor trei

faze:

- a) conectare controlată
- b) conectare aleatoare

a) În primul caz s-au ales momentele de conectare a primei faze la trecerea tensiunii acesteia prin zero sau prin valoarea maximă, $FI_1 = 0$ sau $FI_2 = \frac{\pi}{2}$. Pentru celelalte faze s-a considerat cazul conectării simultane sau conectarea fazelor la trecerea tensiunilor prin primul maxim, deci cu întârzieri în timp DEL2, respectiv DEL3.

Rezultă expresia celor trei tensiuni ale sursei :

$$u_1 = u_{1max} \sin(\omega t + FI) \quad u_1 = 0 \text{ pentru } t < DEL1$$

$$u_2 = u_{2max} \sin(\omega t + FI - 2\pi/3), \text{ cu } u_2 = 0 \text{ pentru } t < DEL2$$

$$u_3 = u_{3max} \sin(\omega t + FI - 4\pi/3), \quad u_3 = 0 \text{ pentru } t < DEL3.$$

Situațiile considerate în calcul sînt cele din tabelul

3.2.

Tabelul 3.2. Momentele conectării celor trei faze

Faza	Defaza- zajul	1	2	3
		DEL1	DEL2	DEL3
FI = 0		0	0	0
		0	6,66 ms	3,33 ms
FI = $\pi/2$		0	0	0
		0	6,66 ms	3,33 ms

b) Alegerea unui moment aleatoriu de conectare a fazei s-a rezolvat în cadrul programului de calcul prin apelarea la subprogramul ALBA1 al bibliotecii matematice, care furnizează numere aleatorii uniform distribuite pe intervalul [0,1]. Cu o transformare lineară, aceste numere sînt translate de pe [0,1] pe [0,2 π], avînd astfel posibilitatea de a considera cu probabilitate egală orice moment al conectării fazei.

Funcție de tipul constructiv al întrerupătorului se poate aprecia valoarea medie probabilă a întârzierii la închiderea contactelor față de momentul comandării acestui proces. Apoi - fiindcă ca realistă legea de repartizare a valorilor timpilor reali de anclagare în jurul valorii medii ca fiind de tip normală, Gauss-Laplace, se vor determina momentele de întârziere a anclagării prin apelarea la subprogramul NORM din biblioteca matema -

tică a calculatorului. Față de o medie a timpului M și de o abatere standard σ acest subprogram oferă variabile aleatorii $\beta(n)$ repartizate după o lege de densitate de probabilitate normală astfel:

$$\beta(n) = M + \sqrt{\frac{n}{12}} \sum_{i=1}^n \left(\alpha_i - \frac{1}{2}\right) \quad (3.43)$$

În (3.43) α_i sînt variabile aleatorii echiprobabile pe intervale egale în cadrul intervalului $[0,1]$, media lor fiind o variabilă aleatorie repartizată normal cu media $\frac{1}{2}$ și abaterea standard $\sqrt{\frac{1}{12}}$. Suma din (3.43) a fost aleasă din 12 termeni $n = 12$, deci 12 variabile aleatoare uniform distribuite generează o variabilă aleatoare $\beta(n)$, distribuită după o lege cu o densitate de probabilitate normală Gauss-Laplace.

3.6.4. Calculul parametrilor lineicii tranzitorii

Pentru a urmări influența efectului pelicular și a solului asupra propagării undelor tensiunilor de comutație de-a lungul liniei s-au considerat cazurile următoare :

- linia cu parametrii lineicii constanți neglijînd efectul pelicular și prezența solului real;
- linia cu parametrii dependenți de frecvență, dar numai cu considerarea efectului pelicular;
- linia cu parametrii dependenți de frecvență cu considerarea efectului pelicular și a solului real.

Pentru cele trei cazuri, folosind cap.2.5 cu relațiile (2.44)-(2.46) și cu considerațiile din cap.2.6, au rezultat valorile parametrilor tranzitorii cele din tabelul 3.3.

Tabelul 3.3. Valorile parametrilor lineicii tranzitorii

A. Linia de 400 kV

Cazul considerat	Parametru	Cazul a/	Cazul b/
Z(p) Ω/km	α, β	$1,059 \cdot 10^{-3} p + 3,5 \cdot 10^{-2}$	$1,059 \cdot 10^{-3} p + 1,046 \cdot 10^{-3} p^{1/2} + 5,46 \cdot 10^{-3}$
	0	$1,059 \cdot 10^{-3} p + 3,5 \cdot 10^{-2}$	$1,059 \cdot 10^{-3} p + 1,046 \cdot 10^{-3} p^{1/2} + 5,46 \cdot 10^{-3}$
Y(p) S/km	α, β	$1,059 \cdot 10^{-9} p$	$1,059 \cdot 10^{-9} p$
	0	$8,72 \cdot 10^{-9} p$	$8,72 \cdot 10^{-9} p$

cazul c/		
Z(p)	α, β	$1,059 \cdot 10^{-3} p + 3,25 \cdot 10^{-3} p^{1/2} + 5,46 \cdot 10^{-3}$
	o	$2,089 \cdot 10^{-3} p + 43,06 \cdot 10^{-3} p^{1/2} + 5,46 \cdot 10^{-3} + \frac{180}{p^{1/2} - 150}$
Y(p)	α, β	$10,59 \cdot 10^{-9} p$
	o	$8,72 \cdot 10^{-9} p$

B. Linia de 750 kV

Z(p)	α, β	$1,426 \cdot 10^{-3} p + 2,49 \cdot 10^{-3} p^{1/2} + 2,96 \cdot 10^{-3}$
	o	$2,224 \cdot 10^{-3} p + 33,27 \cdot 10^{-3} p^{1/2} + 2,96 \cdot 10^{-3}$
Y(p)	α, β	$12,3 \cdot 10^{-9} p$
	o	$8,6 \cdot 10^{-9} p$

3.6.5. Exemple de calcul și concluzii

În fig.3.1 și fig.3.2 sînt redată comparativ funcțiile de răspuns tranzitoriu în componente și în mărimi de fază pentru linia de 400 kV cu lungimile de 400 km, respectiv de 200 km în ipoteza neglijării efectului pelicular în conductoarele liniei și considerarea solului perfect conductor.

Se remarcă atenuările reduse în fenomenul de propagare pentru ambele cazuri prezentate.

Considerînd acum efectul pelicular și neglijînd în continuare participarea solului, cu parametrii lineici prezentați în tabelul 3.3 cazul b, în fig.3.3 se reprezintă aceleași funcții de răspuns tranzitoriu. Se remarcă atenuarea uncelor de supratensiune cu o accentuare a acestui fenomen pentru componentele α și β . Forma funcțiilor de răspuns tranzitoriu pentru componente de fază FRT, cea proprie, și FRT', cea mutuală, suferă modificări esențiale și calitative.

Luînd în calcul și participarea solului la efectul de conducție al curentului, cu o valoare medie a rezistivității $\rho_{sol} = 100 \Omega m$, în fig.3.4 se evidențiază atenuarea puternică a componentei "o", fig.3.4,b, care ajunge la valoarea staționară după aproximativ 17 parcurșuri ale liniei. Modificarea pantei componentei FRT_o duce la o variație în timp fără salturi deosebite pentru FRT, fig.3.4 c, putîndu-se afirma că după aproximativ 45 de parcurșuri ale liniei funcțiile de răspuns tranzitoriu

se stabilizează la valoarea unitară pentru FRT, respectiv nulă pentru FRT'. Deci pentru acest caz fenomenul tranzitoriu ar dura $45 \cdot \tau_1 = 45 \cdot 1,34 = 60,3$ ms.

Urmărind valorile maxime ale FRT în fig.3.1.c se observă cum pot fi ele influențate ca succesiune, mărime și durată de către valorile comparative ale parametrilor lineici.

Astfel pentru o linie la care parcursurile de undă în componente sînt într-un raport relativ astfel ca $9\tau_1 < 7 \cdot \tau_0$ modul de variație al FRT se modifică esențial.

Acest caz este redat în fig.3.5.c avînd $\tau_1 = 1,35$ ms și $\tau_0 = 1,87$ ms, caz care corespunde unei linii avînd inductivitatea lineică pentru secvența "o" de 2,5 mH/km, respectiv capacitatea lineică de secvență "o" de $8,78 \cdot 10^{-9}$ F/km.

Modificarea lui FRT se explică prin modificarea succesiunii sosirii undelor la capătul terminal al liniei pentru componente, cît și modificării duratei dintre două sosiri consecutive.

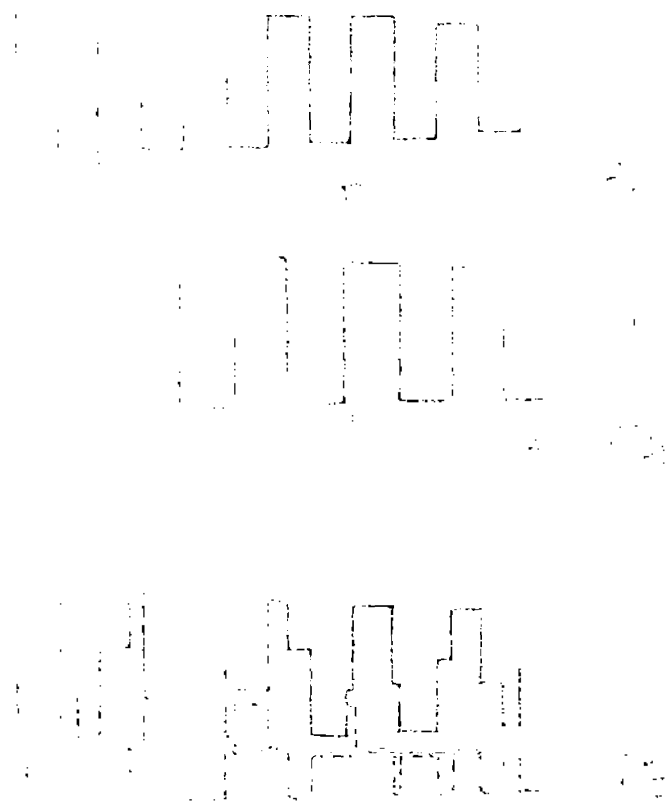


Fig.3.1. Funcțiile de răspuns tranzitoriu pentru linia cu parametrii constanți
a - componenta α , b - componenta "o",
c - componente de fază l = 400 km,
 $\tau_1 = 1,34$ ms $\tau_0 = 1,71$ ms $\varphi_{sol} = 0$. $U_n = 400$ kV

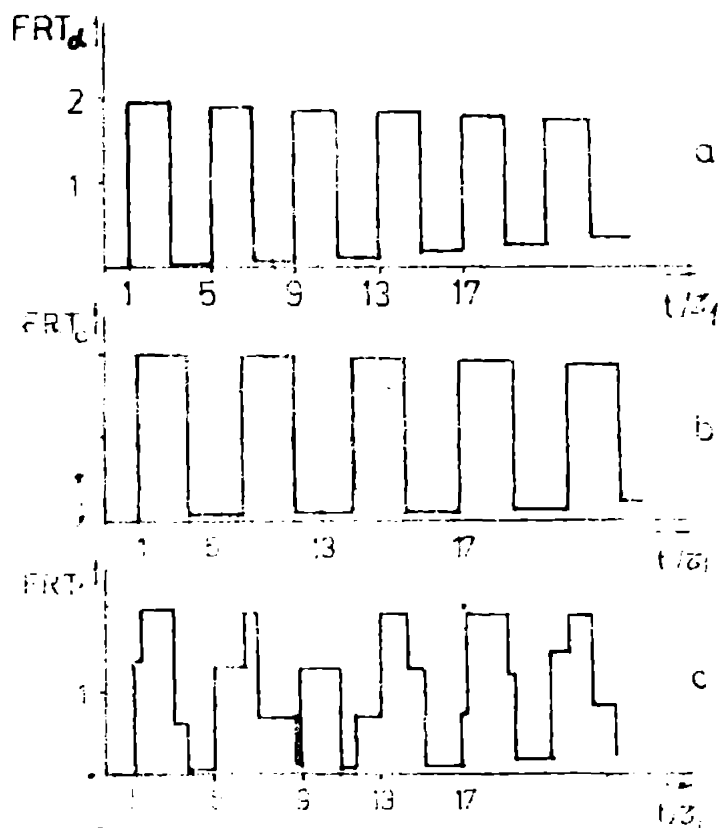


Fig.3.2. Funcția de răspuns tranzitoriu pentru
 a - componenta α , b - componenta "o", c - în
 măriri de fază $l = 200$ km, $\tau_1 = 0,67$ ms
 $\tau_0 = 0,855$ ms; $\varphi_{sol} = 0$, $U_n = 400$ kV

Pentru a calcula tensiunea la capătul terminal al liniei în considerarea conectării nesimultane și controlată a unui sistem de tensiuni simetrice sinusoidale la capătul dinșpre sursă s-a aplicat integrala Duhamel în condițiile din cap.3.1.

Pentru linia fără considerarea efectului pelicular și al solului, alegând momentele conectării fazelor la trecerea lor prin valorile maxime, în succesiunea din fig.3.5.b, s-au obținut răspunsurile tranzitorii retardate conform cu fig.3.5.c,d,e. Pentru fiecare fază, tensiunile terminale, considerându-le cele de intrare sinusoidale, sînt reprezentate în fig.3.5 f,g,h. Reprezentînd la aceeași scară a timpului mărimile din fig.3.5 c-h, se poate verifica corectitudinea subrutinelor de integrare în efectuarea integralei Duhamel, în sensul că fiecărui salt în variația funcțiilor de răspuns tranzitoriu retardate pe cele trei faze, fig.3.5 c,d,e, trebuie să-i corespundă cite un salt în tensiunile fazelor; fig.3.5 f,g,h.

Considerarea efectului pelicular și a solului, pentru aceleași condiții de conectare a fazelor ca în cazul precedent, este

ilustrată în rezultatele din fig.3.6. De remarcat atenuarea pronunțată a vîrfurilor supratensiunilor, lucru de așteptat, cît și modificarea relativă ca mărime a vîrfurilor supratensiunilor pentru aceeași fază.

Pentru conectarea dirijată, simultană a celor trei faze, la trecerea prin maxim a fazei R, s-au obținut rezultatele din fig.3.7. În ipoteza fixării momentului conectării la trecerea prin zero a fazei de referință rezultatele de calcul sînt redată în fig.3.8.

Se remarcă o micșorare a supratensiunilor pentru faza de referință R și o rotire într-o combinație circulară a tensiunilor de pe celelalte faze. Acest ultim aspect pune încă o dată în evidență corectitudinea subrutinelor de integrare din cadrul programului principal.

Fazele interpretate ca fiind rotite sînt R și T din fig.3.7 cu respectiv T și S din fig.3.8, modificările ușoare ca amplitudine fiind cauzate de valorile diferite pentru momentele inițiale ale conectării $\pi/2$, respectiv 0.

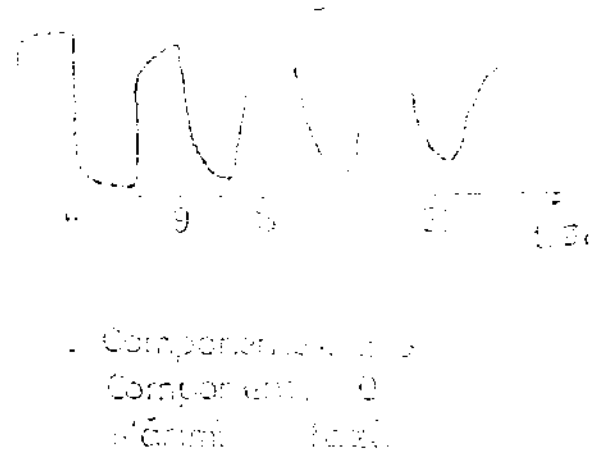


Fig.3.3. Funcțiile de răspuns tranzitoriu considerînd numai efectul pelicular, $\rho_{sol}=0$ $l=400$ km
 $\tau_1=1,34$ ms, $\tau_0=1,71$ ms, $U_n=400$ kV

Păstrînd același decalaj al conectării fazelor ca cel din cazul din fig.3.6 și 3.8, dar considerînd momentul de referință al conectării la trecerea prin zero a fazei de referință R, se obțin rezultatele din fig.3.9.

Se remarcă acum variația mai "liniștită" a tensiunilor pe cele trei faze în comparație cu cele din fig.3.6 și 3.8, explicația constînd din valorile mici ale tensiunilor sursei la momentele conectării.

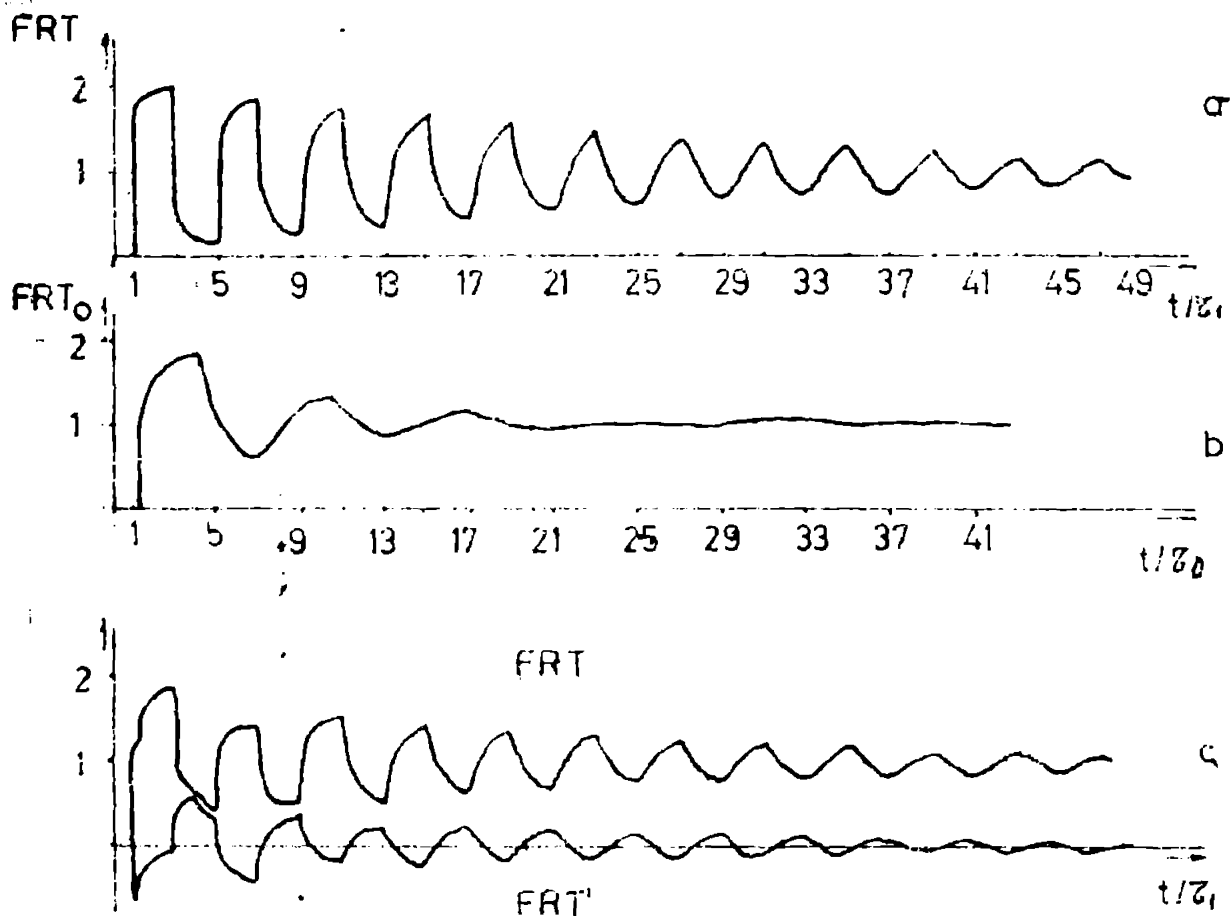


Fig.3.4. Funcțiile de răspuns tranzitoriu considerând și efectul pelicular și prezența solului
 a - componentele α, β ; b - componenta "o"; c - mărimi de fază $l=400$ km, $\tau_1=1,34$ ms $\tau_0=1,71$ ms
 $\rho_{sol}=100 \Omega m$, $U_n = 400$ kV

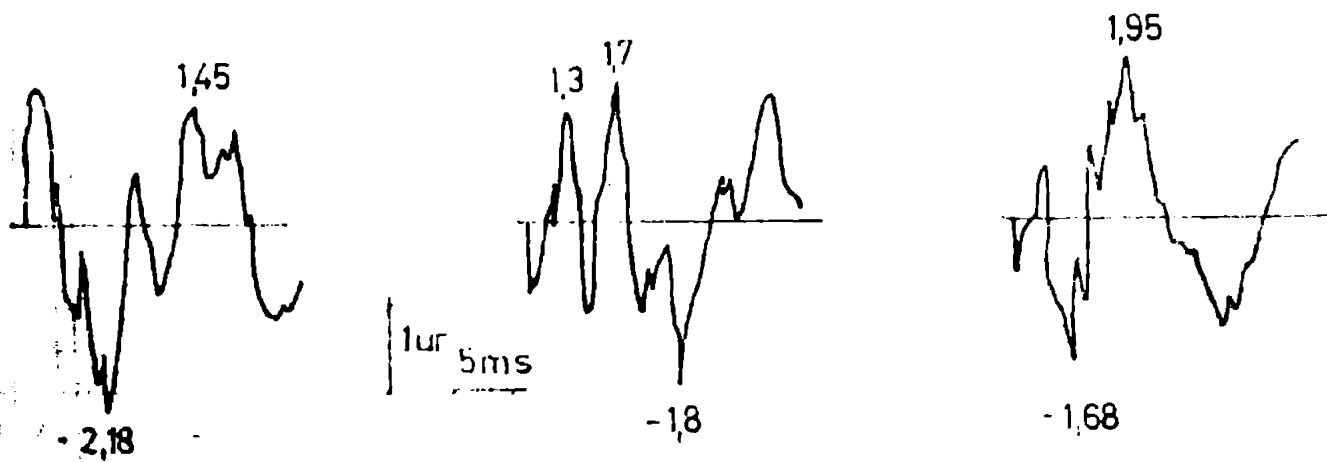
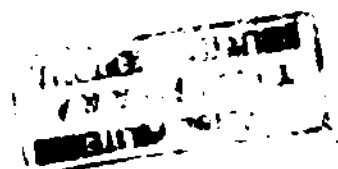


Fig.3.6. Tensiunile la capătul terminal și la liniei pentru unghiul inițial de conectare $\Phi_1=\pi/2$, conectare nesimultană: $DEL_1=0$, $DEL_2=6,66$ ms, $DEL_3=3,33$ ms, $l = 400$ km, $\tau_1=1,35$ ms, $\tau_0=1,67$ ms, $\rho_2=100 \Omega m$, $U_n = 400$ kV



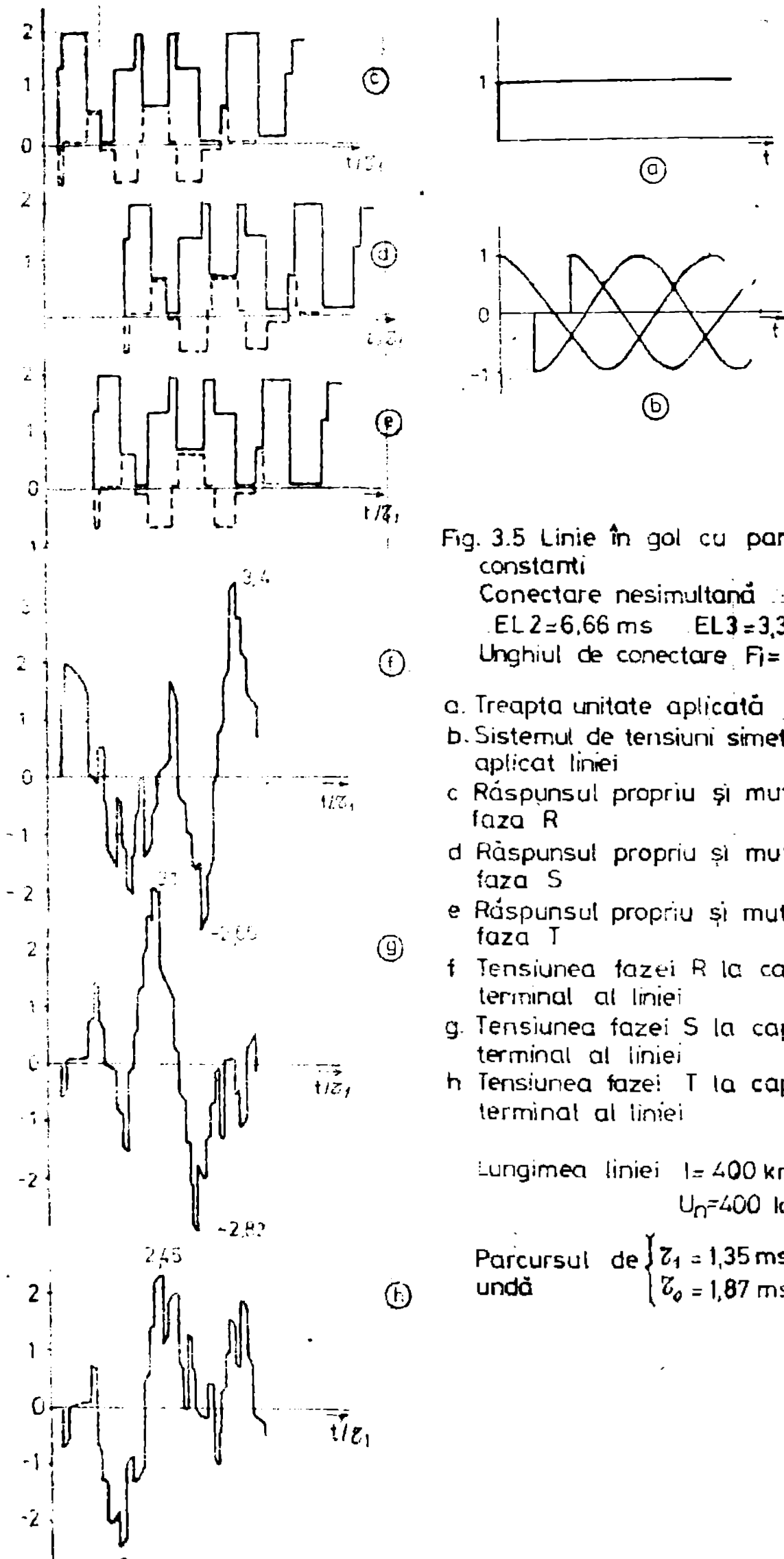


Fig. 3.5 Linie în gol cu parametrii constanți

Conectare nesimultană $\Delta EL1 = 0$

$\Delta EL2 = 6,66 \text{ ms}$ $\Delta EL3 = 3,33 \text{ ms}$

Unghiul de conectare $F_i = \pi/2$

- a. Treapta unitate aplicată
- b. Sistemul de tensiuni simetrice aplicat liniei
- c. Răspunsul propriu și mutual pe faza R
- d. Răspunsul propriu și mutual pe faza S
- e. Răspunsul propriu și mutual pe faza T
- f. Tensiunea fazei R la capatul terminal al liniei
- g. Tensiunea fazei S la capatul terminal al liniei
- h. Tensiunea fazei T la capatul terminal al liniei

Lungimea liniei $l = 400 \text{ km}$

$U_n = 400 \text{ kV}$

Parcursul de undă $\left\{ \begin{array}{l} \tau_1 = 1,35 \text{ ms} \\ \tau_0 = 1,87 \text{ ms} \end{array} \right.$



Fig.3.7. Tensiunile la capătul terminal al liniei pentru unghiul inițial de conectare $\varphi I = \pi/2$, conectare simultană $l=400$ km, $\tau_1=1,35$ ms, $\tau_0=1,67$ ms, $\rho_{sol}=100\Omega m$, $U_n=400$ kV

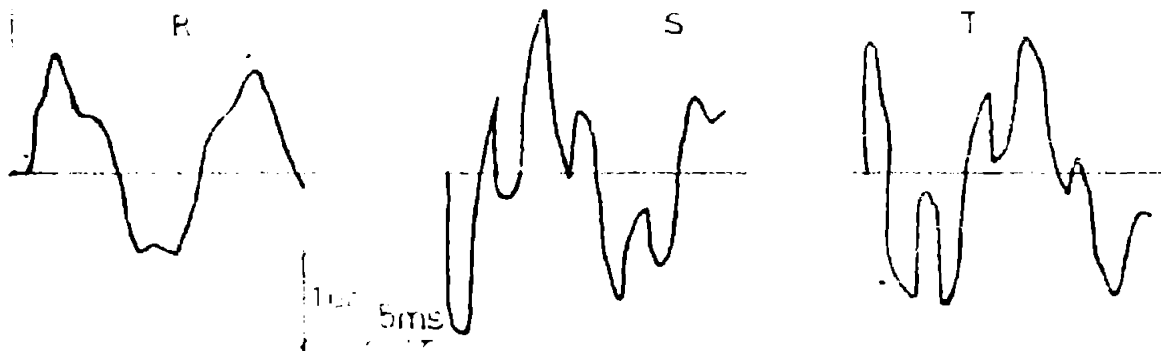


Fig.3.8. Tensiunile la capătul terminal al liniei pentru unghiul inițial de conectare $\varphi I = 0$, conectare simultană, $l=400$ km, $\tau_1=1,35$ ms, $\tau_0=1,67$ ms, $\rho_{sol}=100\Omega m$, $U_n=400$ kV

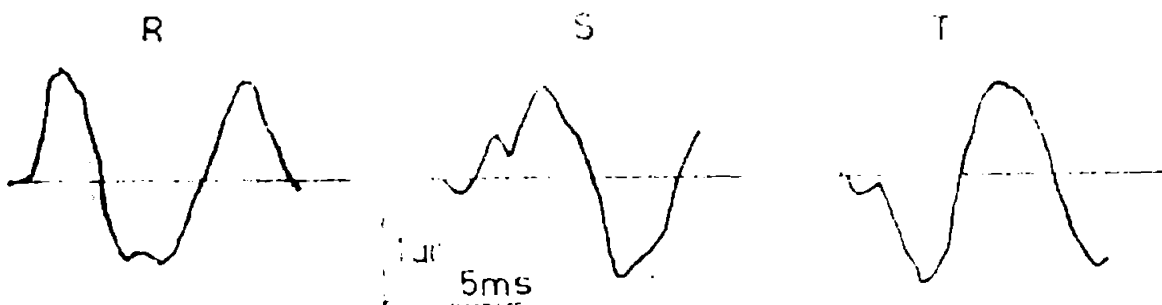


Fig.3.9. Tensiunile la capătul terminal al liniei pentru unghiul inițial de conectare $\varphi I = 0$, conectare nesimultană $D\delta L_1=0$, $D\delta L_2=6,66$ ms, $D\delta L_3=3,33$ ms, $l=400$ km, $\tau_1=1,35$ ms, $\tau_0=1,67$ ms, $\rho_{sol}=100\Omega m$, $U_n=400$ kV

O conectare aleatorie a fazelor este reprezentată în rezultatele din fig.3.10. În acest caz variațiile tensiunilor terminale sînt diferite calitativ și cantitativ de cazurile anterioare.

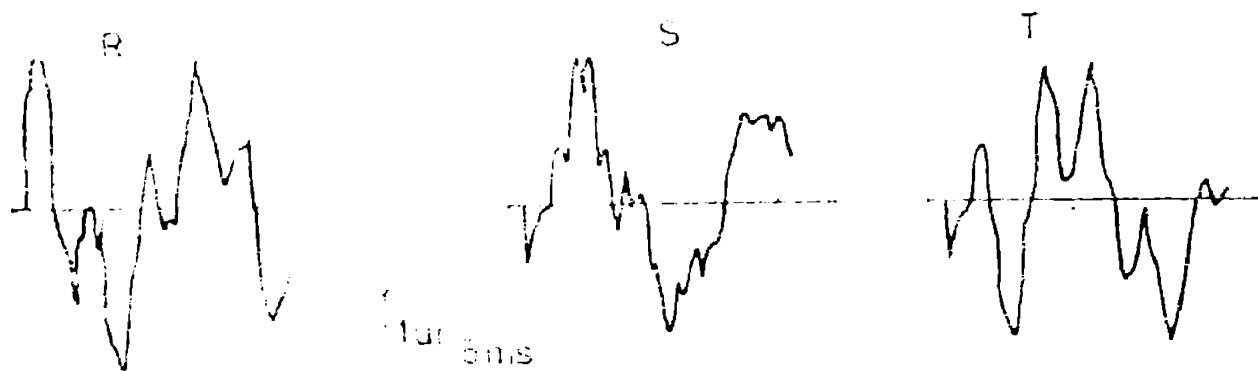


Fig.3.10. Tensiunile la capătul terminal al liniei pentru o conectare aleatorie, Unghiul inițial de conectare este $\varphi_1 = 1,53$ rad, $DEL_1 = 0$, $DEL_2 = 4,59$ ms, $DEL_3 = 6,3$ ms
 $l = 400$ km, $\tau_1 = 1,35$ ms, $\tau_0 = 1,67$ ms, $\rho_{sol} = 100 \Omega$,
 $U_n = 400$ kV

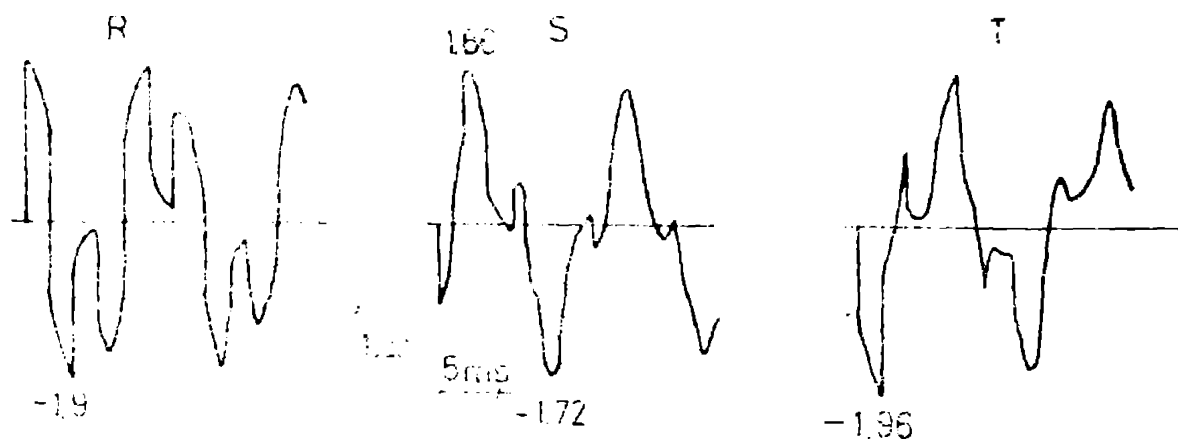


Fig.3.11. Tensiunile la capătul terminal al liniei pentru unghiul inițial de conectare $\varphi_1 = \pi/2$, conectare simultană, $l = 400$ km, $\tau_1 = 1,68$ ms, $\tau_0 = 1,75$ ms, $\rho_{sol} = 100 \Omega$, $U_n = 750$ kV

Este de interes a cunoaște și tensiunile dintre cele trei faze în regimul transitoriu al conectării liniei în gol, Pentru linia de 400 kV, fără considerarea solului și a efectului pelicular, rezultatele sînt redată în fig.3.13, iar considerarea acestor efecte duc la rezultatele din fig.3.14.

Se poate conchiziiona influența deosebită asupra mărimilor supratensiunilor pentru conectarea liniei în gol a următoarelor cauze :

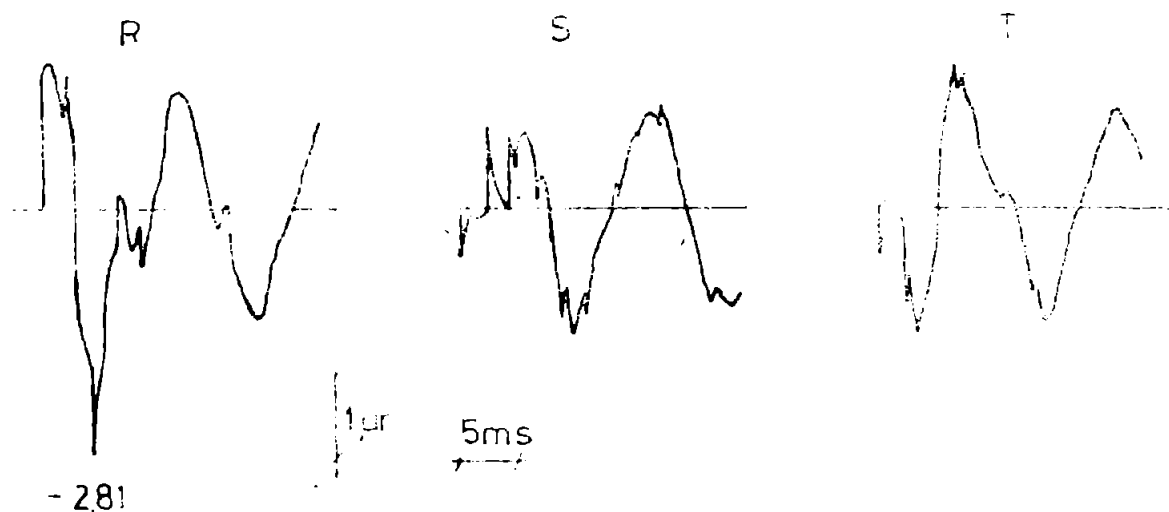


Fig.3.12. Tensiunile la capătul terminal al liniei pentru $\Phi_1 = \pi/2$, conectare nesimultană, $DEL_1 = 0$, $DEL_2 = 6,66$ ms, $DEL_3 = 3,33$ ms, $l = 400$ km, $\tau_1 = 1,68$ ms, $\tau_2 = 1,75$ ms, $\rho_{sol} = 100 \Omega$, $U_n = 750$ kV

- modul de considerare a parametrilor lineici
- succesiunea de conectare a fazelor
- valoarea tensiunilor la momentul conectării
- raporturile relative ale parametrilor lineici de secvență in-

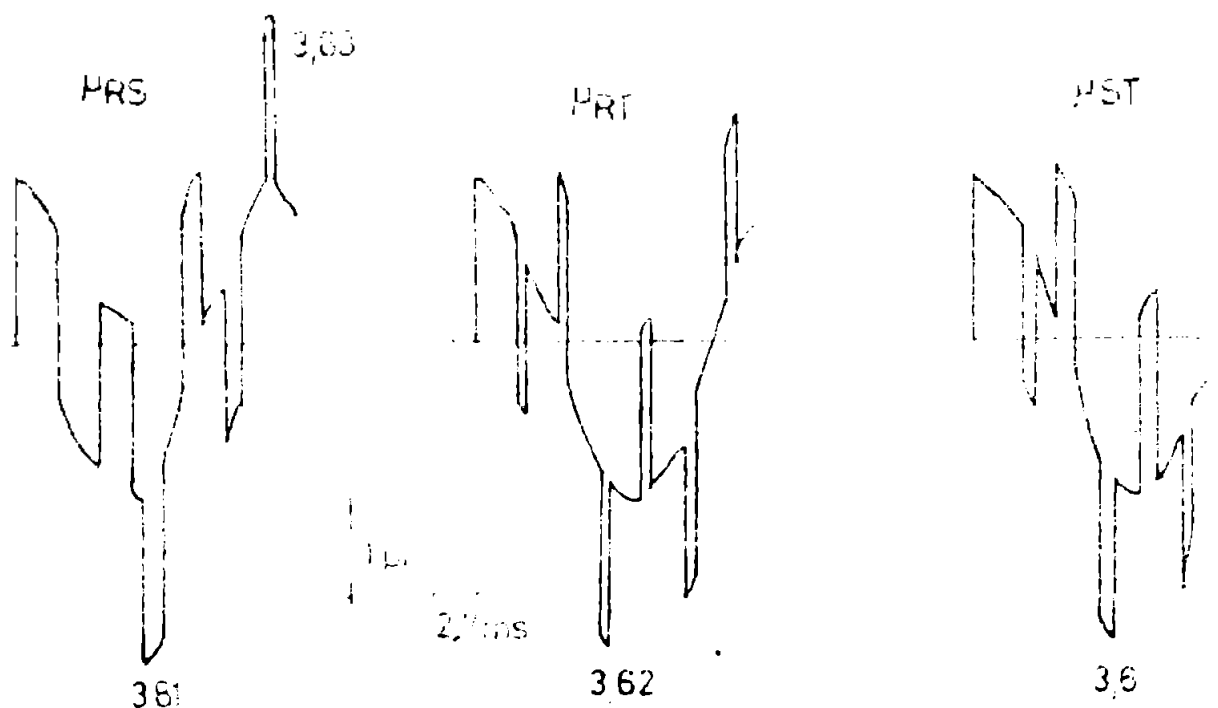


Fig.3.13. Tensiunile între faze, calculate la capătul liniei pentru linia cu parametri constanți
Unghiul inițial de conectare: $\Phi_1 = \pi/2$. red,
conectare nesimultană, controlată: $DEL_1 = 0$,
 $DEL_2 = 6,66$ ms, $DEL_3 = 3,33$ ms, $l = 400$ km,
 $\tau_1 = 1,35$ ms, $\tau_0 = 1,87$ ms, $\rho_{sol} = 0$

fluente de parametrii electrici ai solului și de configurația geometrică a liniei.

Dimensionarea izolației liniilor prin determinarea statistică a factorilor de supratensiune pentru o multitudine de cazuri



Fig.3.14. Tensiunile între faze, calculate la capătul terminal pentru linia cu pierderi, conectare controlată
Unghiul inițial de conectare $\Phi_1 = \pi/2$ rad., $DEL_1 = 0$,
 $DEL_2 = 6,66$ ms, $DEL_3 = 3,33$ ms $l = 400$ km, $\tau_1 = 1,35$ ms,
 $\tau_0 = 1,87$ ms, $\rho_{sol} = 100 \Omega$

ri considerate în rețeaua reală sau modelată, poate fi înlocuită prin determinarea valorilor maxime ale supratensiunilor pentru cazuri restrinse rezolvate analitic, dar alegând corespunzător condițiile inițiale cele mai defavorabile.

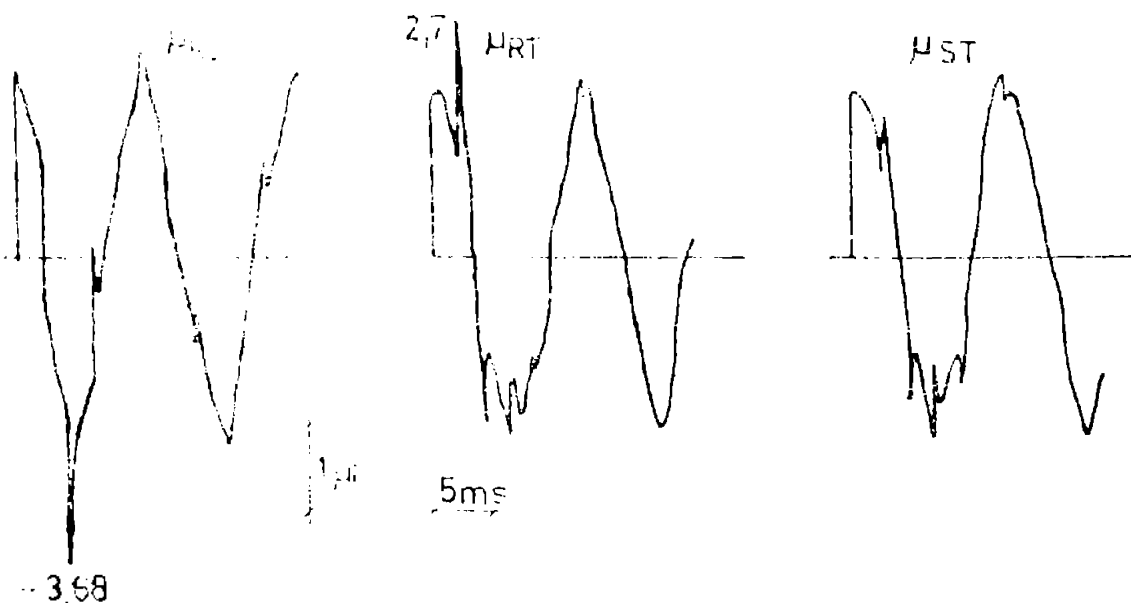


Fig.3.15. Tensiunile între faze, calculate la capătul terminal pentru linia de 750 kV, parametrii lineici dependenți de frecvență, $\Phi_1 = \pi/2$, $DEL_1 = 0$, $DEL_2 = 6,66$ ms, $DEL_3 = 3,33$ ms, $l = 400$ km

Se evidențiază astfel rezolvarea dimensionării izolației din considerente economice mult reduse.

4. CALCULUL REGIMULUI TRANZITORIU PENTRU LINIA TRIFAZATA CONECTATA PESTE O REZISTENTA ELEC- TIICA CONSIDERIND DEPENDENTA DE FRECVENTA A PARAMETRIILOR LINEICI

4.1. Considerente de calcul

Folosind rezultatele analitice deduse pentru regimul de mers în gol din cap.3 se dezvoltă în continuare calculul regimu- lui tranzitoriu de conectare a unei LEA la o sursă de putere in- finită, linia avînd drept consumator un rezistor.

Si acest regim de funcționare este folosit de către au- tor tot ca o etapă intermediară pentru abordarea unei condiții terminale complexe a liniei de tip reactor transversal cu pier- deri sau transformator de pierderi. Din aceste motive s-a acor- dat o atenție mărită pentru obținerea unor rezultate de calcul cît mai exacte.

Sucesiunea modelului matematic este aceeași ca și cel folosit pentru linia în gol.

4.2. Calculul F.T. în componente α, β, o

Soluția ecuațiilor telegrafigților scrisă în transfor- mată Laplace pentru tensiuni, în cazul cînd LEA de lungime l se închide peste o rezistență, după aplicarea matricilor de de- couplare a fazelor și după exprimarea funcțiilor hiperbolice $sh\gamma l$ și $ch\gamma l$, are forma:

$$U_2(p, x)_{\alpha, \beta, o} = U_1(p, l) \frac{\exp[-\gamma(p)_{\alpha, \beta, o}(1-x)] - \exp[-\gamma(p)_{\alpha, \beta, o}(1+x)]}{1 - \delta \exp[-2\gamma(p)_{\alpha, \beta, o}l]} \quad (4.1)$$

unde:

$$\delta = \frac{1 - \frac{R_2}{Z_u(p)_{\alpha, \beta, o}}}{1 + \frac{R_2}{Z_u(p)_{\alpha, \beta, o}}} \quad (4.2)$$

R_2 fiind rezistența terminală și $Z_u(p)$ impedanța de undă a liniei

Dacă tensiunea de intrare este de tipul treptei unitate $U_1(p) = \frac{1}{p}$, atunci în (4.1) $U_2(p, x)$ devine funcția de răspuns tranzitoriu pentru o tensiune de intrare treaptă unitate.

Folosind pentru impedanța lineică în transformată La- place forma cercetată (2.38), iar pentru admitanță neglijînd pier- derile active și cu dezvoltări de calcul similar folosite la de-

ducerea expresiei constantei de propagare (3.12), se va obține pentru impedanța de undă forma:

$$Z_u(p) = \left(\frac{Z(p)}{Y(p)}\right)^{1/2} = \left(\frac{L}{C}\right)^{1/2} \left(1 + \frac{B_2}{2} \cdot \frac{1}{p} + \frac{B_1}{2} \frac{1}{p^{1/2}} + \frac{A}{p^{1/2+K_1}} + \frac{B}{p^{1/2+K_2}} + \frac{C}{p^{1/2+c}}\right)$$

unde B_1, B_2, B_3, K_1, K_2 și c au aceeași semnificație anterior prezentată (3.10), (3.16), în plus s-a notat :

$$\begin{aligned} A &= \frac{1}{K_1 - K_2} \left(-\frac{B_1 B_2}{K_1} + \frac{B_2^2}{2K_2^2} + \frac{B_3}{2(K_1 - c)} \right) \\ B &= \frac{1}{K_1 - K_2} \left(\frac{B_1 B_2}{K_2} - \frac{B_2^2}{2(K_2 - c)} - \frac{B_3}{2(K_2 - c)} \right) \\ C &= \frac{B_3}{2(K_1 - c)(K_2 - c)} \end{aligned} \quad (4.4)$$

cu relația de legătură $A + B + C = \frac{B_1}{2}$

În (4.1) după dezvoltarea în serie de forma (4.5) și

$$\frac{1}{1 - \int \exp[-2\gamma(p) \cdot l]} = \sum_{n=0}^{\infty} \int^n \cdot \exp[-2n \cdot \gamma(p) \cdot l] \quad (4.5)$$

considerînd tensiunea de intrare treaptă unitate se obține:

$$\begin{aligned} \text{FRT}(p, 0)_{\alpha, \beta, 0} &= \frac{1}{p} \left\{ \sum_{n=0}^{\infty} \int^n \exp[-(2n+1) \gamma(p)_{\alpha, \beta, 0} \cdot l] - \right. \\ &\quad \left. - \sum_{n=0}^{\infty} \int^{n+1} \exp[-(2n+1) \gamma(p)_{\alpha, \beta, 0} \cdot l] \right\} \end{aligned} \quad (4.6)$$

Dezvoltînd (4.2) ținînd cont de (4.3) rezultă:

$$\int = P_1 + P_2 \frac{\psi_1(p^{1/2})}{\psi_2(p^{1/2})} \quad \text{cu } P_1 + P_2 = 1 \quad (4.7)$$

și

$$P_1 = \frac{1 - R_2 \left(\frac{C}{L}\right)^{1/2}}{1 + R_2 \left(\frac{C}{L}\right)^{1/2}} \quad , \quad P_2 = \frac{2 R_2 \left(\frac{C}{L}\right)^{1/2}}{1 + R_2 \left(\frac{C}{L}\right)^{1/2}}$$

$$\varphi_1(p^{1/2}) = B_1 p^{1/2} + (B_1^2 + B_2) p + (B_1 B_2 + \frac{B_3}{2}) \cdot p^{1/2} + \frac{B_2^2}{2} \quad (4.8)$$

$$\begin{aligned} \varphi_2(p^{1/2}) = & [1 + R_2(\frac{C}{L})^{1/2}] p^2 + [2B_1 + B_1 R_2(\frac{C}{L})^{1/2}] p^{3/2} + [2B_2 + B_1^2 + \\ & + B_2 R_2(\frac{C}{L})^{1/2}] p + (B_1 B_2 + \frac{B_3}{2}) p^{1/2} + \frac{B_2^2}{2} \end{aligned}$$

$$\text{Notînd acum } \phi_n = \frac{1}{p} \int^n \quad (4.9)$$

cu (4.8) rezultă relația de recurență (4.10)

$$\phi_{n+1} = P_1 \cdot \phi_n + P_2 \cdot \frac{\varphi_1(p^{1/2})}{\varphi_2(p^{1/2})} \phi_n \quad (4.10)$$

Înlocuind (4.10) în (4.6) pe baza lui (4.9) se obține forma generală a funcției de răspuns tranzitoriu :

$$\begin{aligned} \text{FRT}(p, o)_{\alpha, \beta, o} = & \frac{1}{p} \sum_{n=0}^{\infty} \left\{ (P_1 + P_2 \frac{\varphi_1}{\varphi_2})^n \cdot \exp[-(2n+1) f(p)_{\alpha, \beta, o} \cdot 1] - \right. \\ & \left. - (P_1 + P_2 \frac{\varphi_1}{\varphi_2})^{n+1} \cdot \exp[-(2n+1) f(p)_{\alpha, \beta, o} \cdot 1] \right\} \quad (4.11) \end{aligned}$$

Dezvoltînd în (4.11) binomul după formula Newton și reținînd numai primii trei termeni forma finală va fi:

$$\begin{aligned} \text{FRT}(p, o)_{\alpha, \beta, o} = & P_2 \sum_{n=0}^{\infty} \left[P_1^n + P_1^{n-1} (nP_2 - P_1) \frac{\varphi_1(p^{1/2})}{\varphi_2(p^{1/2})} - nP_1^{n-2} \cdot P_2 \cdot \right. \\ & \left. \cdot (\frac{n-1}{2} - P_1) \cdot (\frac{\varphi_1(p^{1/2})}{\varphi_2(p^{1/2})})^2 \right] \cdot \frac{\exp[-(2n+1) f(p)_{\alpha, \beta, o} \cdot 1]}{p} \quad (4.12) \end{aligned}$$

Comparînd (4.12) cu (3.13) se poate exprima următoarea relație între ele după adoptarea notației

$$\varphi(p^{1/2}) = \frac{\varphi_1(p^{1/2})}{\varphi_2(p^{1/2})} \text{ și } \text{FRT}_R(p, o) \text{ reprezentînd cazul analizat}$$

$$\begin{aligned} \text{FRT}_R(p, o)_{\alpha, \beta, o} = & \frac{P_2}{2} \sum_{n=0}^{\infty} \left[(-P_1)^n \cdot 2(-1)^n \frac{\exp[-(2n+1) f(p)_{\alpha, \beta, o} \cdot 1]}{p} + \right. \\ & + (-1)^n \cdot P_1^{n-1} (nP_2 - P_1) \varphi(p^{1/2}) \cdot (-1)^n \cdot 2 \cdot \frac{\exp[-(2n+1) f(p)_{\alpha, \beta, o} \cdot 1]}{p} - \\ & \left. - (-1)^n \cdot nP_1^{n-2} \cdot P_2 (\frac{n-1}{2} P_2 - P_1) \cdot \varphi^2(p^{1/2}) \cdot (-1)^n \cdot 2 \cdot \right. \end{aligned}$$

$$\frac{\exp\{-(2n+1)l(p)\alpha,\beta,o\}}{p} = \frac{P_2}{2} \sum_{n=0}^{\infty} [(-P_1)^n \cdot \text{FRT}_g(p,o)\alpha,\beta,o^+ + (-1)^n \cdot P_1^{n-1} (nP_2 - P_1) \psi(p^{1/2}) \cdot \text{FRT}_g(p,o)\alpha,\beta,o^- - (-1)^n \cdot nP_1^{n-2} \cdot P_2 \left(\frac{n-1}{2} P_2 - P_1\right) \psi^2(p^{1/2}) \cdot \text{FRT}_g(p,o)\alpha,\beta,o] \quad (4.13)$$

unde prin $\text{FRT}_g(p,o)$ s-a notat funcția de răspuns tranzitoriu pentru LEA funcționând în gol a cărei expresie a fost găsită în domeniul timpului în cap.3.

Deci se poate exprima regimul de funcționare rezistiv în funcție de regimul de mers în gol:

4.3. Calculul FRT_F în domeniul timpului

Determinarea originalului (4.13) pe baza teoremei produsului de convoluție presupune determinarea prealabilă a originalului funcției $\psi(p^{1/2})$. Se poate scrie în aceste condiții pentru originalul lui (2.13) :

$$\text{FRT}_F(t'_n, o) = \frac{P_2}{2} \sum_{n=0}^{\infty} [(-P_1)^n \cdot \text{FRT}_g(t'_n, o) + (-1)^n \cdot P_1^{n-1} (nP_2 - P_1) \int_0^{t'_n} \psi(t'_n - \theta) \cdot \text{FRT}_g(\theta, o) d\theta - (-1)^n nP_1^{n-2} \cdot P_2 \left(\frac{n-1}{2} P_2 - P_1\right) \int_0^{t'_n} \left[\int_0^{t'_n - \theta} \psi(\theta_1) \cdot \psi(t'_n - \theta_1) d\theta_1 \right] \cdot \text{FRT}_g(\theta) d\theta] \quad (4.14)$$

unde $t'_n = t - (2n+1)l(LC)^{1/2}$

Relația (4.14) este accesibilă pentru calcul mai ales prim primii doi termeni, fiind necesară o examinare atentă a erorilor introduse prin neglijarea ultimului termen.

Pentru calculul originalului lui $\psi(p^{1/2})$ se propune următorul procedeu:

- se determină pe baza formulei dezvoltării a lui Heaviside /18/ originalul lui $\psi(p)$, lucru care presupune determinarea poliilor lui $\psi(p)$ și aplicarea relațiilor cunoscute ;

- cu originalul cunoscut pentru $\psi(p)$ se determină originalul lui $\psi(p^{1/2})$ după relația generală /8/ :

$$\mathcal{L}^{-1} \left[\frac{\varphi_1(p^{1/2})}{\varphi_2(p^{1/2})} \right] = \frac{1}{(\pi t)^{1/2}} \int_0^{\infty} \frac{\tau}{2t} \cdot \exp\left(-\frac{\tau^2}{4t}\right) \cdot h(\tau) d\tau \quad (4.15)$$

unde $h(\tau) = \mathcal{L}^{-1} \left[\frac{\varphi_1(p)}{\varphi_2(p)} \right]$

Se observă din (4.8) că $\varphi_2(p)$ este de gradul patru și fie rădăcinile acestuia

$$p_i = a_i + jb_i \quad i = 1, \dots, 4 \quad (4.16)$$

Cînd toate rădăcinile sînt complexe, acestea vor fi conjugate două cîte două și dezvoltarea următoare se construiește pentru acest caz. Dacă rădăcinile vor fi reale se prezintă în continuare o tratare corespunzătoare.

4.3.1. Cazul valorilor complexe pentru polii lui $\varphi(p)$

Cînd polii $\varphi(p)$ au valori complexe originalul căutat pentru $h(\tau)$ va fi de forma :

$$h(t) = \sum_{i=1}^n \frac{\varphi_1(p_i)}{\varphi_2'(p_i)} \cdot \exp(a_i + jb_i t) + \frac{\varphi_1}{\varphi_2'} \exp(a_i - jb_i t) \quad (4.17)$$

unde : n este numărul perechilor de rădăcini complexe conjugate ale lui $\varphi_2(p) = 0$ cu $n_{\max} = 2$

$\varphi_2'(p_i)$ este derivata în raport cu operatorul Laplace p .

Dezvoltînd în (4.17) exponențialele după Euler și făcînd calculele necesare se obține în final:

$$h(t) = \sum_{i=1}^n [A_i \cos b_i t - B_i \sin b_i t] \exp(a_i t) \quad (4.18)$$

unde

$$A_i = \frac{2 \{ \operatorname{Re}[\varphi_1(p_i)] \cdot \operatorname{Re}[\varphi_2'(p_i)] + \operatorname{Im}[\varphi_1(p_i)] \cdot \operatorname{Im}[\varphi_2'(p_i)] \}}{\operatorname{Re}^2[\varphi_2'(p_i)] + \operatorname{Im}^2[\varphi_2'(p_i)]} \quad (4.19)$$

$$B_i = \frac{2 \{ \operatorname{Re}[\varphi_2'(p_i)] \cdot \operatorname{Im}[\varphi_1(p_i)] - \operatorname{Re}[\varphi_1(p_i)] \cdot \operatorname{Im}[\varphi_2'(p_i)] \}}{\operatorname{Re}^2[\varphi_2'(p_i)] + \operatorname{Im}^2[\varphi_2'(p_i)]} \quad (4.20)$$

Folosind acum (4.18) în (4.15) rezultă:

$$\varphi(t) = \mathcal{L}^{-1} \left[\frac{\varphi_1(p^{1/2})}{\varphi_2(p^{1/2})} \right] = \frac{1}{(\pi t)^{1/2}} \int_0^{\infty} \frac{\tau}{2t} \exp\left(-\frac{\tau^2}{4t}\right) \cdot \sum_{i=1}^n (A_i \cos b_i \tau -$$

$$- B_1 \sin b_1 z) \cdot \exp(a_1 z) \cdot dz = \frac{1}{(\pi t)^{1/2}} \sum_{i=1}^n \left[A_i \int_0^{\infty} \frac{z}{2t} \cdot \exp\left(-\frac{z^2}{4t} + a_1 z\right) \cos b_1 z dz + B_i \int_0^{\infty} \frac{z}{2t} \cdot \exp\left(-\frac{z^2}{4t} + a_1 z\right) \sin b_1 z dz \right] \quad (4.21)$$

Pentru calculul integralelor din (4.21) se propun două soluții :

- i) după o schimbare de variabile se procedează la dezvoltări în serie sub semnul integralei, apoi cu relații de recurență se obține soluția exprimată funcție de polinoamele Hermite;
- ii) Se rezolvă directă integrala avînd ca soluție o exprimată cu funcțiile Weber-Hermite de argument imaginar, soluția finală fiind reprezentată de sume de produse dintre funcții trigonometrice de timp ponderate cu puteri ale variabilei timp

- 1) Notînd în (4.21) schimbarea de variabilă $u = \frac{z}{2t^{1/2}} - at^{1/2}$ se obține pentru rezolvarea separată a integralărilor următoarele expresii, după o integrare prealabilă prin părți:

$$I_1 = \sum_{i=1}^n \int_0^{\infty} \frac{z}{2t} \exp\left(-\frac{z^2}{4t} + a_1 z\right) \cdot \cos b_1 z dz =$$

$$= 2 \sum_{i=1}^n \exp(a_1^2 t) \int_{-a_1 t^{1/2}}^{\infty} u \exp(-u^2) \cos[2b_1 t^{1/2}(u+a_1 t^{1/2})] du +$$

$$+ a_1 t^{1/2} \int_{-a_1 t^{1/2}}^{\infty} \exp(-u^2) \cdot \cos[2b_1 t^{1/2}(u+a_1 t^{1/2})] du \quad (4.22)$$

$$I_2 = \sum_{i=1}^n \int_0^{\infty} \frac{z}{2t} \exp\left(-\frac{z^2}{4t} + a_1 z\right) \sin b_1 z dz =$$

$$= 2 \sum_{i=1}^n \exp(a_1^2 t) \left[\int_{-a_1 t^{1/2}}^{\infty} u \cdot \exp(-u^2) \sin[2b_1 t^{1/2}(u+a_1 t^{1/2})] du + \right.$$

$$\left. + a_1 t^{1/2} \int_{-a_1 t^{1/2}}^{\infty} \exp(-u^2) \sin[2b_1 t^{1/2}(u+a_1 t^{1/2})] du \right] \quad (4.23)$$

Primele două integrale din (4.22) ,respectiv (4.23) se exprimă ușor, după o integrare prin părți astfel:

$$I_1^i = \int_{-at^{1/2}}^{\infty} u \cdot \exp(-u^2) \cos[2b_1 t^{1/2}(u+a_1 t^{1/2})] du =$$

$$\begin{aligned}
 &= -\frac{1}{2} \int_{-at^{1/2}}^{\infty} \cos[2b_1 t^{1/2}(u+a_1 t^{1/2})] d[\exp(-u^2)] = -\frac{1}{2} (\exp(-a_1^2 t) - \\
 &- b_1 t^{1/2} \int_{-a_1 t^{1/2}}^{\infty} \exp(-u^2) \cdot \sin[2b_1 t^{1/2}(u+a_1 t^{1/2})] du = \\
 &= -\frac{1}{2} \exp(-a_1^2 t) - b_1 t^{1/2} I_2'' \quad (4.24)
 \end{aligned}$$

respectiv

$$\begin{aligned}
 I_2' &= \int_{-a_1 t^{1/2}}^{\infty} u \cdot \exp(-u^2) \sin 2b_1 t^{1/2}(u+a_1 t^{1/2}) du = 2b_1 t^{1/2} \int_{-a_1 t^{1/2}}^{\infty} \exp \\
 &\cdot (-u^2) \cos[2b_1 t^{1/2}(u+a_1 t^{1/2})] du = 2b_1 t^{1/2} \cdot I_1'' \quad (4.25)
 \end{aligned}$$

In consecință, integralele (4.22) și (4.23) după folosirea lui (4.24) și (4.25) devin:

$$I_1 = 2 \sum_{i=1}^n \exp(a_i^2 t) \left[-\frac{1}{2} \exp(-a_i^2 t) - b_1 t^{1/2} \cdot I_2'' + a_i t^{1/2} \cdot I_1'' \right] \quad (4.26)$$

$$I_2 = 2 \sum_{i=1}^n \exp(a_i^2 t) \left[2b_1 t^{1/2} \cdot I_1'' + a_i t^{1/2} \cdot I_2'' \right] \quad (4.27)$$

Pentru rezolvarea integralelor I_1'' și I_2'' se procedează la dezvoltarea în serie de felul (4.28) și la relația de recurență de tipul general (4.29) /2o/ după ce în prealabil s-au dezvoltat funcțiile trigonometrice ale sumelor

$$\exp(-u^2) = \sum_{k=0}^{\infty} (-1)^k \frac{u^{2k}}{k!} \quad (4.28)$$

$$\int x^m \exp(-x^2) dx = -\frac{x^{m-1} \cdot \exp(-x^2)}{2} + \frac{m-1}{2} \int x^{m-2} \cdot \exp(-x^2) dx \quad (4.29)$$

Se obține în final:

$$\begin{aligned}
 I_1'' &= \int_{-a_1 t^{1/2}}^{\infty} \exp(-u^2) \cos 2b_1 t^{1/2}(u+a_1 t^{1/2}) du = \\
 &= \left[\sin [2b_1 t^{1/2}(u+a_1 t^{1/2})] \sum_{r=0}^{\infty} (-1)^r \left(\frac{1}{2bt^{1/2}}\right)^{2r+1} \frac{d^{2r}}{du^{2r}} \cdot \exp(-u^2) \right] + \\
 &+ \cos [2b_1 t^{1/2}(u+a_1 t^{1/2})] \sum_{r=0}^{\infty} (-1)^r \left(\frac{1}{2bt^{1/2}}\right)^{2r+2} \frac{d^{2r+1}}{du^{2r+1}} \cdot \exp(-u^2) \Big|_{-a_1 t^{1/2}}^{\infty} = \\
 &= -\exp(-a_1^2 t) \sum_{r=0}^{\infty} \left(\frac{1}{2b_1}\right)^{2r+2} \cdot t^{-(r+1)} \cdot H_{2r+1}(-a_1 t^{1/2}) \quad (4.30)
 \end{aligned}$$

Prin $H_{2i+1}(-a_1 t^{1/2})$ s-au notat polinoamele Hermite introduse prin relația generală (4.31) /21/ :

$$\exp(-x^2) \cdot H_n(x) = (-1)^n \cdot \frac{d^n}{dx^n} \exp(-x^2) \quad (4.31)$$

$$\begin{aligned} I_2'' &= \int_{-a_1 t^{1/2}}^{\infty} \exp(-u^2) \cdot \sin[2b_1 t^{1/2}(u+a_1 t^{1/2})] du = \\ &= \left| \sum_{r=0}^{\infty} (-1)^{r+1} \left(\frac{1}{2b_1}\right)^{2r+1} \cdot t^{-\frac{2r+1}{2}} \cdot \frac{d^{2r}}{du^{2r}} \exp[-u^2] \cos[2b_1 t^{1/2} \cdot \right. \\ &\quad \left. \cdot (u+a_1 t^{1/2}) \right] + \sum_{r=0}^{\infty} (-1)^r \left(\frac{1}{2b_1}\right)^{2r+2} \cdot t^{-(r+1)} \cdot \sin[2b_1 t^{1/2}(u+a_1 t^{1/2})] \cdot \\ &\quad \left. \frac{d^{2r+1}}{du^{2r+1}} \exp(-u^2) \right|_{-a_1 t^{1/2}}^{\infty} = - \sum_{r=0}^{\infty} \left(\frac{1}{2b_1}\right)^{2r+1} \cdot t^{-\frac{2r+1}{2}} \exp(-a_1^2 t) \cdot H_{2r} \cdot \\ &\quad \cdot (-a_1 t^{1/2}) \end{aligned} \quad (4.32)$$

Folosind acum (4.31) și (4.32) în (4.26) și (4.27) se obține în final originalul funcției căutate (4.21) de forma :

$$\begin{aligned} \varphi(t) &= \frac{1}{(\pi)^{1/2}} \sum_{i=1}^n \left\{ -A_i \left[\frac{1}{t^{1/2}} + 2b_1 \sum_{r=0}^{\infty} \left(\frac{1}{2b_1}\right)^{2r+2} \cdot t^{-\frac{2r+1}{2}} \cdot H_{2r}(-a_1 t^{1/2}) \right. \right. \\ &\quad \left. \left. - 2a_1 \sum_{r=0}^{\infty} \left(\frac{1}{2b_1}\right)^{2r+2} \cdot t^{-(r+1)} \cdot H_{2r+1}(-a_1 t^{1/2}) \right] + \right. \\ &\quad \left. + B_i \left[4b_1 \cdot t^{1/2} \sum_{r=0}^{\infty} \left(\frac{1}{2b_1}\right)^{2r+2} \cdot t^{-(r+1)} \cdot H_{2r+1}(-a_1 t^{1/2}) + \right. \right. \\ &\quad \left. \left. + 2a_1 t^{1/2} \sum_{r=0}^{\infty} \left(\frac{1}{2b_1}\right)^{2r+1} \cdot t^{-\frac{2r+1}{2}} \cdot H_{2r}(-a_1 t^{1/2}) \right] \right\} \quad (4.33) \end{aligned}$$

Pentru calculul sumelor polinoamelor Hermite se folosește relația de recurență /21/ :

$$H_{n+1}(x) - 2x \cdot H_n(x) + 2n \cdot H_{n-1}(x) = 0 \quad (4.34)$$

ii) Pentru integralele (4.22) și (4.23) în /9/ se găsește o soluție generală pe baza integrării prin cuadratura Gauss-Hermite astfel :

$$\begin{aligned}
 I_1 &= \sum_{i=1}^n \int_0^{\infty} \frac{z}{2t} \cdot \exp(a_i z - \frac{z^2}{4t}) \cos b_i z \cdot dz = \\
 &= \frac{\Gamma(2)}{2} \sum_{i=1}^n \exp(\frac{a_i^2 - b_i^2}{2} t) \left\{ \exp(j a_i b_i t) \cdot D_{-2}[-(2t)^{1/2} (a_i + j b_i)] + \right. \\
 &\quad \left. + \exp(-j a_i b_i t) \cdot D_{-2}[-(2t)^{1/2} (a_i - j b_i)] \right\} \quad (4.35)
 \end{aligned}$$

$$\begin{aligned}
 I_2 &= \sum_{i=1}^n \int_0^{\infty} \frac{z}{2t} \cdot \exp(a_i z - \frac{z^2}{4t}) \sin b_i z \cdot dz = \\
 &= j \frac{\Gamma(2)}{2} \sum_{i=1}^n \exp(\frac{a_i^2 - b_i^2}{2} t) \left\{ \exp(-j a_i b_i t) D_{-2}[-(2t)^{1/2} (a_i - j b_i)] - \right. \\
 &\quad \left. - \exp(j a_i b_i t) \cdot D_{-2}[-(2t)^{1/2} (a_i + j b_i)] \right\} \quad (4.36)
 \end{aligned}$$

unde: $D_\nu(z)$ este funcția Weber-Hermite /8/ de ordinul ν și argument z , iar $\Gamma(n+1) = n!$ este funcția factorială Euler.

Funcțiile Weber-Hermite se pot transforma succesiv pînă la o formă finală accesibilă de abordat în calcule practice astfel /19/ :

$$D_\nu(x) = 2^{1/4 + \nu/2} \cdot x^{-1/2} W_{\frac{1}{4} + \frac{\nu}{2}, \pm \frac{1}{4}} \left(\frac{x^2}{2} \right) \quad (4.37)$$

unde funcțiile Weight au dezvoltarea finală (4.36) :

$$\begin{aligned}
 W_{\mu, \varepsilon}(x) &= \frac{\Gamma(-2\varepsilon)}{\Gamma(\frac{1}{2} - \mu - \varepsilon)} \cdot x^{\varepsilon + \frac{1}{2}} \cdot \exp(-\frac{x}{2}) \cdot {}_1F_1(\frac{1}{2} + \varepsilon - \mu; 2\varepsilon + 1; x) + \\
 &+ \frac{\Gamma(2\varepsilon)}{\Gamma(\frac{1}{2} \mu + \varepsilon)} \cdot x^{-\varepsilon + \frac{1}{2}} \cdot \exp(-\frac{x}{2}) \cdot {}_1F_1(\frac{1}{2} - \varepsilon + \mu; \varepsilon - 2 + 1; x)
 \end{aligned}$$

În (4.38) funcția hipergeometrică degenerată /21/ are forma generală /19/ :

$${}_pF_q(d_1, d_2, \dots, d_p, \beta_1; \beta_2, \dots, \beta_q; x) = \sum_{k=0}^{\infty} \frac{(d_1, k)(d_2, k) \dots (d_p, k)}{(\beta_1, k)(\beta_2, k) \dots (\beta_q, k)} \cdot \frac{x^k}{k!} \quad (4.39)$$

unde s-a notat $(\alpha_p, k) = \frac{\Gamma(\alpha_p + k)}{\Gamma(\alpha_p)}$

Particularisind în (4.35) și (4.36) $\nu=2$ și dezvoltînd (4.37) - (4.39) se obține:

$$\begin{aligned}
 I_1 = & \frac{\Gamma(2)}{2} \sum_{i=1}^n \left\{ [-t^{1/2}(a_i + jb_i)] \frac{\Gamma(-\frac{1}{2})}{\Gamma(1)} \sum_{k=0}^{\infty} \frac{[-t^{1/2}(a_i + jb_i)]^{2k}}{K!} + \right. \\
 & + [-t^{1/2}(a_i - jb_i)] \frac{\Gamma(-\frac{1}{2})}{\Gamma(1)} \sum_{k=0}^{\infty} \frac{[-t^{1/2}(a_i - jb_i)]^{2k}}{K!} + \\
 & + \frac{\Gamma(\frac{1}{2})}{\Gamma(\frac{3}{2})} \left[\sum_{k=0}^{\infty} \frac{\Gamma(1+k) \cdot \Gamma(\frac{1}{2})}{\Gamma(1) \cdot \Gamma(\frac{1}{2} + k)} \frac{[-t^{1/2}(a_i + jb_i)]^{2k}}{K!} + \right. \\
 & \left. + \sum_{k=0}^{\infty} \frac{\Gamma(1+k) \cdot \Gamma(\frac{1}{2})}{\Gamma(1) \cdot \Gamma(\frac{1}{2} + k)} \frac{[-t^{1/2}(a_i - jb_i)]^{2k}}{K!} \right\} \quad (4.40)
 \end{aligned}$$

$$\begin{aligned}
 I_2 = & j \frac{\Gamma(2)}{2} \sum_{i=1}^n \left\{ \frac{\Gamma(-\frac{1}{2})}{\Gamma(1)} [-t^{1/2}(a_i - jb_i)] \sum_{k=0}^{\infty} \frac{[-t^{1/2}(a_i - jb_i)]^{2k}}{K!} + \right. \\
 & + \frac{\Gamma(\frac{1}{2}) \cdot \Gamma(\frac{1}{2})}{\Gamma(\frac{3}{2}) \Gamma(1)} \cdot \sum_{k=0}^{\infty} \frac{\Gamma(k+1)}{\Gamma(k + \frac{1}{2})} \cdot \frac{[-t^{1/2}(a_i - jb_i)]^{2k}}{K!} - \\
 & - \frac{\Gamma(-\frac{1}{2})}{\Gamma(1)} [-t^{1/2}(a_i + jb_i)] \cdot \sum_{k=0}^{\infty} \frac{[-t^{1/2}(a_i + jb_i)]^{2k}}{K!} - \\
 & \left. - \frac{\Gamma(\frac{1}{2}) \cdot \Gamma(\frac{1}{2})}{\Gamma(\frac{3}{2}) \Gamma(1)} \cdot \sum_{k=0}^{\infty} \frac{\Gamma(k+1)}{\Gamma(k + \frac{1}{2})} \frac{[-t^{1/2}(a_i + jb_i)]^{2k}}{K!} \right\} \quad (4.41)
 \end{aligned}$$

Folosind relațiile de dezvoltare prin recurență cunoscute /8/ pentru funcția Euler factorială de forma:

$$\begin{aligned}
 \Gamma(n + \frac{1}{2}) &= \frac{1 \cdot 3 \dots (2n-1)}{2^n} \pi^{1/2}; \quad \Gamma(-n + \frac{1}{2}) = \frac{(-2)^n}{1 \cdot 3 \dots (2n-1)} \pi^{1/2} \\
 \Gamma(1) &= 1, \quad \Gamma(n+1) = n!, \quad \Gamma(\frac{1}{2}) = \pi^{1/2}, \quad \Gamma(-\frac{1}{2}) = -2\pi^{1/2}, \quad \Gamma(\frac{3}{2}) = \frac{\pi^{1/2}}{2} \quad (4.42)
 \end{aligned}$$

Punând în evidență în (4.40) și (4.41) seriile (4.42) se poate scrie :

$$\begin{aligned}
 \sum_{k=0}^{\infty} \frac{[-t^{1/2}(a_i + jb_i)]^{2k}}{K!} &= \exp[-t^{1/2}(a_i + jb_i)]^2 = \\
 &= \exp[(a_i^2 - b_i^2)t] \cdot (\cos 2a_i b_i t + j \sin 2a_i b_i t) \quad (4.43)
 \end{aligned}$$

$$\sum_{k=0}^{\infty} \frac{[-t^{1/2} (a_1 - jb_1)]^{2k}}{K-} = \exp[-t^{1/2} (a_1 - jb_1)]^2 =$$

$$= \exp[(a_1^2 - b_1^2)t] (\cos 2a_1 b_1 t - j \sin 2a_1 b_1 t)$$

și forma finală, după câteva calcule simple, pentru integralele căutate.

$$I_1 = 2(\pi t)^{1/2} \sum_{i=1}^n \left\{ \exp[(a_1^2 - b_1^2)t] \cdot a_1 \cdot \frac{\cos(2a_1 b_1 t + \alpha_1)}{\cos \alpha_1} + \right.$$

$$\left. + \frac{1}{(\pi t)^{1/2}} \sum_{k=0}^{\infty} \frac{2^k}{1 \cdot 3 \dots (2k+1)} [t(a_1^2 + b_1^2)]^k \cdot \cos 2k\alpha_1 \right\} \quad (4.44)$$

$$I_2 = 2(\pi t)^{1/2} \sum_{i=1}^n \left\{ \exp[(a_1^2 - b_1^2)t] \cdot a_1 \cdot \frac{\sin(2a_1 b_1 t + \alpha_1)}{\cos \alpha_1} + \right.$$

$$\left. + \frac{1}{(\pi t)^{1/2}} \sum_{k=0}^{\infty} \frac{(2)^k}{1 \cdot 3 \dots (2k-1)} [t(a_1^2 + b_1^2)]^k \cdot \sin 2k\alpha_1 \right\} \quad (4.45)$$

unde $\alpha_1 = \arctg \frac{b_1}{a_1}$.

Înlocuind (4.44) și (4.45) în (4.21) se obține originalul funcției căutate de forma :

$$\varphi(t) = 2 \sum_{i=1}^n \left\{ a_1 \exp[(a_1^2 - b_1^2)t] \left[A_1 \frac{\cos(2a_1 b_1 t + \alpha_1)}{\cos \alpha_1} - B_1 \frac{\sin(2a_1 b_1 t + \alpha_1)}{\cos \alpha_1} \right. \right.$$

$$+ \frac{1}{(\pi t)^{1/2}} \left[A_1 \sum_{k=0}^{\infty} \frac{2^k [t(a_1^2 + b_1^2)]^k}{1 \cdot 3 \dots (2k-1)} \cos 2k\alpha_1 - B_1 \sum_{k=0}^{\infty} \frac{2^k [t(a_1^2 + b_1^2)]^k}{1 \cdot 3 \dots (2k-1)} \cdot \right.$$

$$\left. \left. \cdot \sin 2k\alpha_1 \right] \right\} \quad (4.46)$$

unde n este numărul de perechi de rădăcini imaginare conjugate ale lui $\varphi_2(p^{1/2}) = 0$ din (4.8).

În acest fel (4.14) este calculabilă, toate funcțiile fiind determinate.

4.3.2. Cazul existenței valorilor reale pentru poli
lui $\varphi(p)$

În acest caz (4.16) va avea forma particulară :

$$p_i = a_i \quad \text{cu } i = 1, \dots, 4 \quad (4.47)$$

și originalul lui $\varphi(t)$ se obține direct astfel:

$$\varphi(t) = \frac{1}{(\pi t)^{1/2}} \sum_{i=1}^4 \int_0^{\infty} \frac{z}{2t} \exp\left(-\frac{z^2}{4t} + a_i z\right) \cdot \frac{\varphi_1(a_i)}{\varphi_2'(a_i)} \cdot dz \quad (4.48)$$

În (4.48) se pune acum în evidență diferențiala exponențialei obținînd :

$$\begin{aligned} \varphi(t) = & -\frac{1}{(\pi t)^{1/2}} \sum_{i=1}^4 \left[\int_0^{\infty} A_i \cdot d \exp\left(-\frac{z^2}{4t} + a_i z\right) + A_i \cdot a_i \int_0^{\infty} \exp\left(-\frac{z^2}{4t} + \right. \right. \\ & \left. \left. + a_i \cdot z\right) dz \right] = \frac{1}{(\pi t)^{1/2}} \sum_{i=1}^4 \left[A_i + A_i \cdot a_i \exp(a_i^2 t) \int_0^{\infty} \exp\left(-\left(\frac{z}{2t^{1/2}} - a_i t^{1/2}\right)^2\right) \right. \\ & \left. \cdot dz \right] \quad (4.49) \end{aligned}$$

În integrala rămasă de efectuat în (4.49) se face schimbarea de variabilă $u = \frac{z}{2t^{1/2}} - a_i t^{1/2}$ rezultînd

$$\begin{aligned} \varphi(t) = & \frac{1}{(\pi t)^{1/2}} \sum_{i=1}^4 A_i \left[1 + a_i \exp(a_i^2 t) \cdot 2t^{1/2} \int_{-at^{1/2}}^{\infty} \exp(-u^2) du \right] = \\ & = \sum_{i=1}^4 A_i \left[\frac{1}{(\pi t)^{1/2}} + a_i \exp(a_i^2 t) \cdot \text{erfc}(-a_i t^{1/2}) \right] \quad (4.50) \end{aligned}$$

Expresia (4.50) obținută prin integrare directă, certifică corectitudinea lui (4.46) în care particularizînd cazul rădăcinilor reale prin (4.51) și pe baza dezvoltării în seria a

$$b_i = B_i = \alpha_i = 0 \quad (4.51)$$

funcției erorilor (4.52) /8/ se obține (4.50)

$$1 - \text{erf}\left(\frac{x}{2}\right) = \sum_{k=0}^{\infty} \frac{(-1)^k}{k! \Gamma\left(1 - \frac{k}{2}\right)} \frac{x^k}{2^k} \quad (4.52)$$

Concluzionînd asupra modelului matematic anterior dezvoltat pentru calculul FRT a liniei cu condiție terminală pur rezistivă, cît și calculul tensiunii terminale cînd tensiunea de intrare este simetrică și trifazată, rezultă următoarea succesiune de calcul:

1. se determină FRT_g pentru linia în regim de mers în gol în componente α, β, o conform cu cap.3.;
2. pe baza parametrilor lineici determinați în cap.2 se determină coeficienții polinoamelor $\varphi_1(p)$ și $\varphi_2(p)$ (4.8) ;
3. se calculează cu metode numerice folosind biblioteca matematică a calculatorului rădăcinile ecuației algebrice lineare de gradul IV $\varphi_2(p) = 0$;
4. se calculează funcția original în componente α, β, o $h(t)$, (4.18) și se stochează în trei tablouri unidimensionale corespunzător celor trei faze ;
5. se calculează funcția original , în componente α, β, o , pentru $\varphi(t)$, relația (4.31) sau (4.44) ;
6. cu (4.14) se determină în componente α, β, o funcția FRT_h , scriind un subprogram de calcul pentru efectuarea produselor de convoluție ;
7. se revine la mărimi de fază cu (3.40) din cap.3 determinînd FRT și FRT^* ;
8. se aplică integrala Duhamel cu (3.7) obținînd tensiunea terminală pentru alimentarea liniei cu un sistem simetric trifazat.

4.4. Exemple de calcul

În primă fază se dorește a determina pe domenii de valori ale rezistenței terminale ponderea, și deci importanța termenului al doilea din (4.14) în calculul funcției de răspuns tranzitoriu FRT_h .

Acest termen a fost determinat de forma :

$$\frac{P_2}{2} \sum_{n=0}^{\infty} (-1)^n \cdot P_1^{n-1} (n \cdot P_2 - P_1) \int_0^{t-\tau_n} \varphi(t-\tau_n-\theta) \cdot FRT_g(\theta) d\theta \quad (4.53)$$

unde P_1 și P_2 sînt constantele date de (4.8),

$\varphi(t)$ este originalul funcțiilor φ_1 și φ_2 din (4.8),

FRT_g este funcția de răspuns tranzitoriu pentru linia în gol,
 $\tau_n = (2n+1)(LC)^{1/2}$ este multiplul parcursului de undă.

În determinarea funcției $\varphi(t)$, este necesar calculul poliilor lui $\varphi_2(p)$ din (4.8). Acest lucru a fost rezolvat scriind pro-

graul de calcul nr.5, cu ordinograma prezentată în anexa. S-a apelat la subprogramul FORAB din biblioteca matematică a calculatorului care rezolvă numeric ecuațiile algebrice lineare.

De remarcă că în cazurile luate în calcul, cu valori ale rezistenței terminale de ordinul sutelor de ohmi până la seci de $k\Omega$, pentru componentele α, β polii au întotdeauna formă complexă, iar pentru componenta "o" au valori reale.

Pentru cazul liniei cu pierderi și cu influența efectului pelicular și a solului, cu parametrii liniei dați în tabelul 3.3., cazul c, originalul funcției $\psi(t)$ este redat în fig.4.1. Pentru rezistența terminală s-au considerat valori corespunzătoare pierderilor active pentru elementele de sistem terminale de tipul reactorului transversal de compensare sau autotransformatorului terminal.

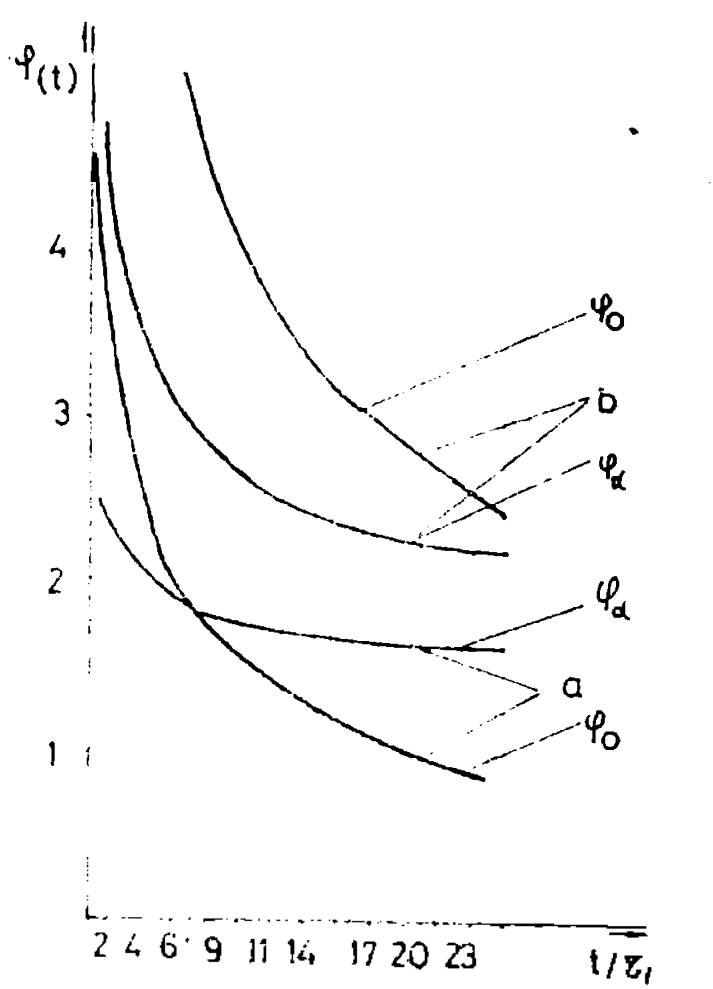


Fig.4.1. Modificarea funcției $\psi(t)$ în componente α, β respectiv "o"
 Casul a) $R = 15 k\Omega$
 b) $R = 5 k\Omega$

Din figura 4.1 se concluzionează ponderea mai mare a lui $\psi(t)$ pentru componenta "o" corespunzătoare pământului, cât și necesitatea considerării termenului (4.52) pentru cazuri cu rezistențe terminale mai mici de $1 k\Omega$. Această valoare este apreciată pe baza observației că în produsul de convoluție din (4.52) valoarea

rezistenței terminale influențează numai factorul $\varphi(t-\theta)$ și valoarea acestui produs a fost semnificativă numai pentru valori ale rezistenței terminale sub $1 \text{ M}\Omega$. Pragul de semnificație a fost considerat de 10% față de valoarea primului termen din (4.14).

Pentru un reactor de compensare dimensionat pentru o compensare de 100% a liniei de 400 kV și 400 km valoarea rezistenței este de 12560Ω pentru un raport R/x acceptat egal cu $0,1$, (vezi cap.5), variația tensiunilor terminale este redată în fig.4.2 și fig.4.3.

Aceste rezultate au fost obținute cu ajutorul programului de calcul nr.5 FRT_R , prezentat în anexă și scris pe baza concluziilor de la finele cap.4.3.2.

Se observă, comparând rezultatele din fig.4.2 - 4.3 cu cele corespunzătoare regimului de mers în gol din cap.3, fig.3.7, o ușoară atenuare a tensiunilor datorate prezenței rezistenței terminale, calitativ fenomenul nu suferă modificări.

Calculul tensiunilor terminale neconsiderând termenul al doilea din (4.53) duce la modificări ale amplitudinii sub $2-3\%$.

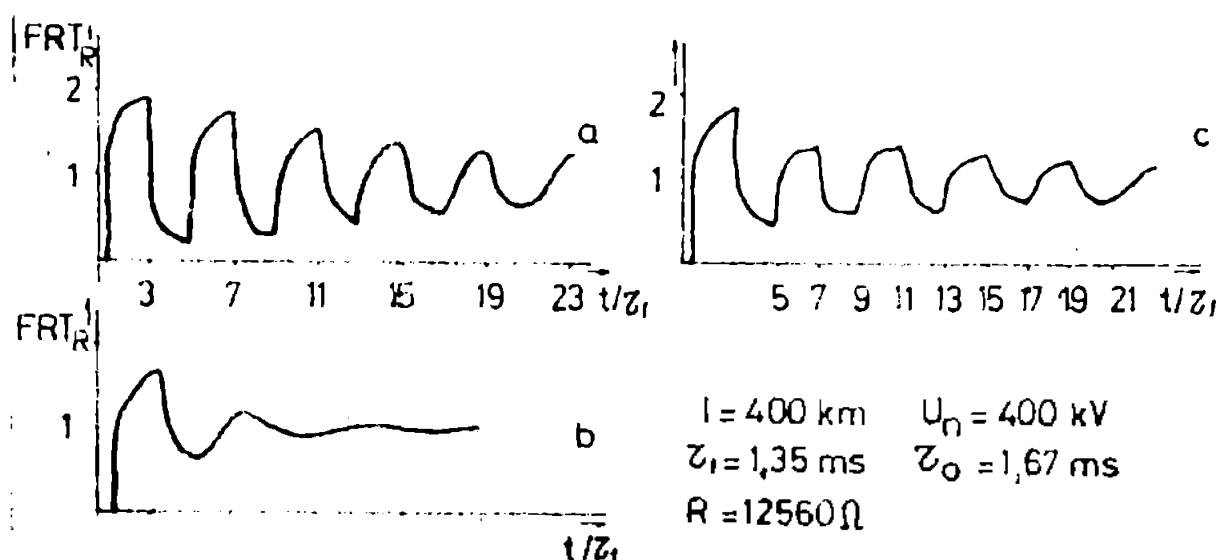


Fig.4.2. Funcțiile de răspuns tranzitoriu în componente a,b și în mărimi de fază c.

Se concluzionează că în cazul considerării de elemente terminale de tip descărcătoarelor cu rezistență variabilă, caracterizate cu rezistențe mici în timpul amorsării, se impune calculul FRT_R considerând și termenul (4.53).

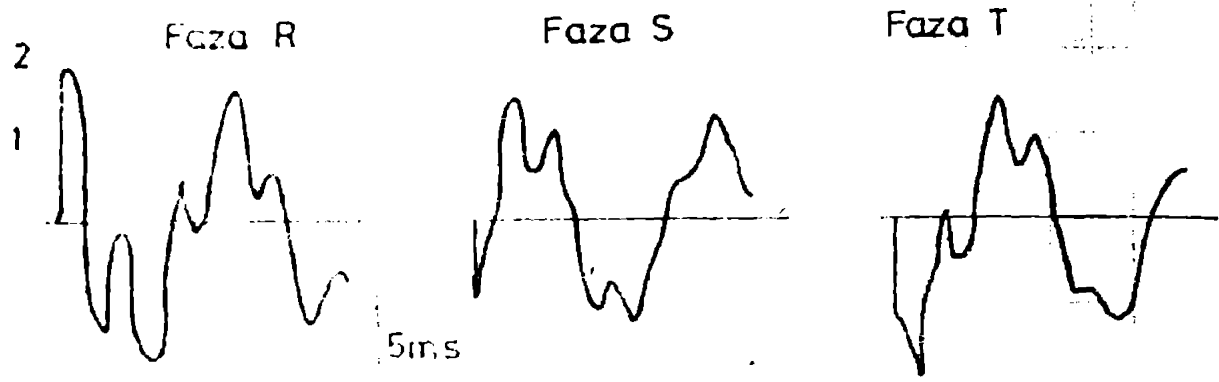


Fig.4.3. Tensiunile trifazate terminale pentru $R=13560\Omega$ unghi inițial de conectare $\varphi_1=\pi/2$, conectare simultană, $l=400$ km, $\tau_1=1,35$ ms, $\tau_0=1,67$ ms, $\rho_{sol}=100\Omega$, $U_n=400$ kV

4.5. Considerarea unor neliniarități de tip rezistiv în propagarea undelor de supratensiune

În funcționarea liniilor electrice lungi apar cazuri când parametrii rezistivi sînt neliniari, corespunzător unor elemente introduse în mod artificial în componența fizică a liniei sau datorită unor fenomene de propagare care se caracterizează prin parametrii rezistivi neliniari.

Primul caz apare atunci cînd din imperativul micșorării supratensiunilor la conectarea liniilor, sursa se conectează prin intermediul unor elemente rezistive neliniare /27/. Valoarea rezistenței electrice a șuntului rezistiv de inserție este scurtcircuitată în trepte de timp, de obicei două, astfel ca la finele regimului transitoriu sursa să fie conectată direct la linie.

Cazul al doilea menționat se referă la apariția fenomenului Corona caracterizat prin pierderi de putere activă depinzînd neliniar de rezistență sau prin prevederea, din motive de protecție, la sfîrșitul liniei, de elemente rezistive neliniare. În cadrul acestei categorii intră descărcătoarele cu rezistență neliniară, descărcătoare tubulare, descărcători cu oxizi metalici și eclatoare de protecție /23/, /24/. Aceste elemente, prin caracteristica lor tensiune-curent neliniară, limitează tensiunea la bornele lor la valoarea tensiunii numite "reziduală". În etapele cînd tensiunea la bornele lor este sub valoarea tensiunii de amorsare aceste elemente de sistem intervin cu o rezistență teoretic infinită. Curentul nominal al descărcătorului I_n se definește pe porțiunea plată a caracteristicii $u=f(i)$ după amorsare,

Iar tensiunea reziduală este corespunzătoare acestui curent și rezistenței variabile a descărcătorului.

Studiul analitic al propagării tensiunii în circuite cu elemente rezistive neliniare impune evidențierea cât mai precisă a expresiilor analitice a legăturii tensiune-curent la bornele elementului nelinier

În acest capitol autorul consideră spre rezolvare circuitele electrice corespunzătoare prezenței unor descărcătoare montate la capătul terminal al liniei în cazul fenomenelor de comutație sau a propagării supratensiunilor atmosferice. Aceste cazuri sînt prezentate cu și fără considerarea apariției descărcărilor de tip Corona.

4.5.1. Propagarea undelor de supratensiune în circuite conținînd descărcătoare cu rezistență variabilă

Descărcătoarele cu rezistență variabilă sînt conectate la capătul terminal al liniilor oferind aparatajului electric din stații protecție împotriva supratensiunilor periculoase.

Caracteristica $u=f(i)$ pentru aceste elemente are un caracter nelinier prezentînd creșteri importante ale curentului la depășirea tensiunii de amorsare. În /23/ - /26/ sînt redate cîteva tipuri de astfel de caracteristici prezentate și în fig.4.4. Din punct de vedere analitic curba tensiune-curent poate fi descrisă de o dependență de forma (4.54) - /14/, /23/

$$u = k \cdot i^\alpha \quad \text{unde } \alpha = \begin{cases} 0,2 - 0,33 & \text{în domeniul tensiunilor joase} \\ 0,022 - 0,03 & \text{în domeniul tensiunii reziduale} \\ & \text{a descărcătorului} \end{cases}$$

$$k \text{ pune în evidență tipul constructiv al descărcătorului} \quad (4.54)$$

Din punctul de vedere al tratării analitice a unor astfel de elemente rezistive neliniare autorul își propune să adopteze metodologia și programul de calcul prezentate în cap. 4-2-4.4. În aceste condiții este necesară cunoașterea valorii rezistenței electrice a descărcătorului pe diferite domenii de mărime a tensiunii de la bornele lui. În momentul cînd tensiunea aplicată va depăși valoarea tensiunii de amorsare, valoarea scăzută a rezistenței electrice motivează calculul termenului (4.52) conform dezvoltărilor analitice din cap.4.3.

Pentru a pune în evidență condițiile de aplicare a pro-

grafului de calcul nr.5 FRT_R autorul preferă dependența tensiune-curent a descărcătorului dată prin liniarizarea pe domeniul de tensiune. Acest lucru se poate obține din cunoașterea caracteristicii $u=f(i)$ obținută experimental sau aproximată analitic căruia i se aplică metode de interpolare sau metoda celor mai mici pătrate sau se înlocuiește caracteristica dată

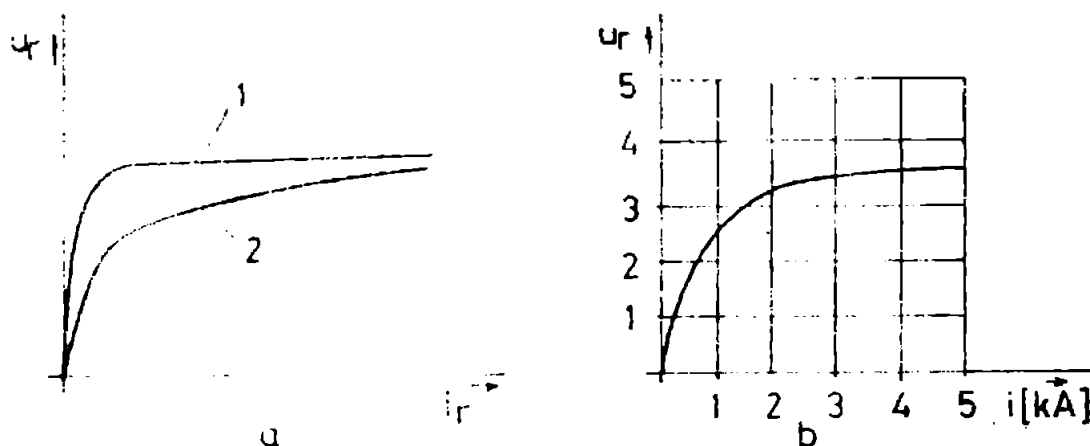


Fig.4.4. Dependenta tensiune-curent pentru descărcătoare cu rezistență variabilă

- a - 1. descărcătoare Siemens din metaloxid /24/
- 2. descărcătoare pe bază de siliciu /23/
- b - descărcător sovietic din carbură de siliciu /23/

prin segmente de dreaptă cum se ilustrează în fig.4.5.

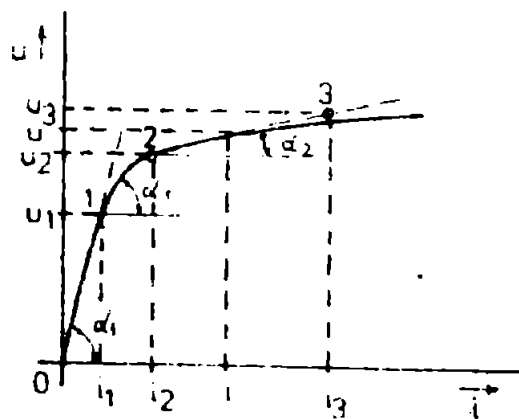


Fig.4.5. Liniarizarea caracteristicii tensiune-curent

În aceste condiții, pe porțiunile liniarizate, rezistența electrică a descărcătorului R_D este dată de valoarea rezistenței electrice dinamice, k fiind constanta de scară

$$R_{D1} = \left. \frac{du}{di} \right|_1 = k \cdot \operatorname{tg} \alpha_1 \quad (4.55)$$

Orientativ, se poate aprecia valoarea rezistenței electrice cu care intervine descărcătorul în momentul când el este străbătut de un curent de 5 kA după diagrama din fig.4.6 /23/.

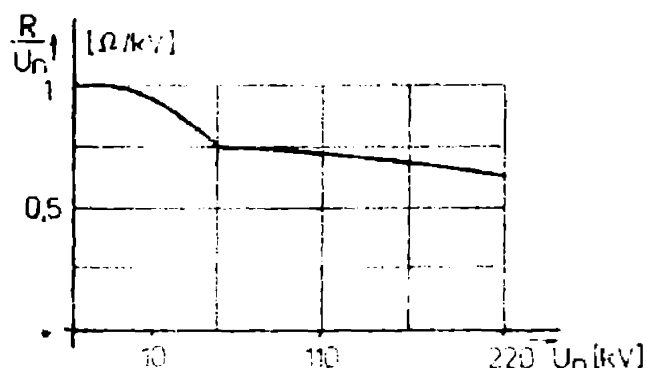


Fig.4.6. Rezistența descărcătoarelor de diverse tensiuni nominale pentru un curent de 5 kA (construcție sovietică)

Astfel pentru $U_n = 220$ kV rezultă $R_D = 0,62 \cdot 220 = 136,4 \Omega$

Extrapolind, pentru o tensiune de 400 kV se poate obține o valoare orientativă de $R_D = 0,5 \cdot 400 = 200 \Omega$.

În calculele concrete se poate utiliza o dependență tensiune curent de tipul celei date în fig.4.4 b avînd ordonata exprimată în unități relative, tensiunea raportîndu-se la valoarea maximă a undei de tensiune incidentă.

Unda de tensiune incidentă poate fi una treaptă unitate sau o undă de tensiune standard 1,2/50 us conformă cu recomandările Comitetului Electrotehnic Internațional și standardizată în RSF pentru forma supratensiunilor atmosferice. Forma analitică pentru această supratensiune atmosferică este /44/ :

$$u(t) = A(\exp(-t/T_1) - \exp(-t/T_2)) \quad (4.56)$$

cu constantele de timp $T_1 \gg T_2$.

Determinarea analitică a tensiunii la bornele descărcătorului de rezistență variabilă se rezolvă de autor în următoarea metodologie :

1. se adoptă o schemă electrică echivalentă pentru linia electrică terminală cu un descărcător de rezistență variabilă de felul celei din fig.4.7, unde R reprezintă valoarea rezistenței electrice corespunzătoare pierderilor datorită imperfecțiunii izolației liniei, iar R_D valoarea rezistenței DSV-ului după amorsare. Linia electrică de lungimea corespunzătoare distanței dintre locul de apariție a loviturii de trăsnet și locul de montare a DSV este considerată cu parametrii liniei calcu-

lați pentru domeniile de frecvență înaltă 10^4-10^6 Hz, conform cu cap.2.5;

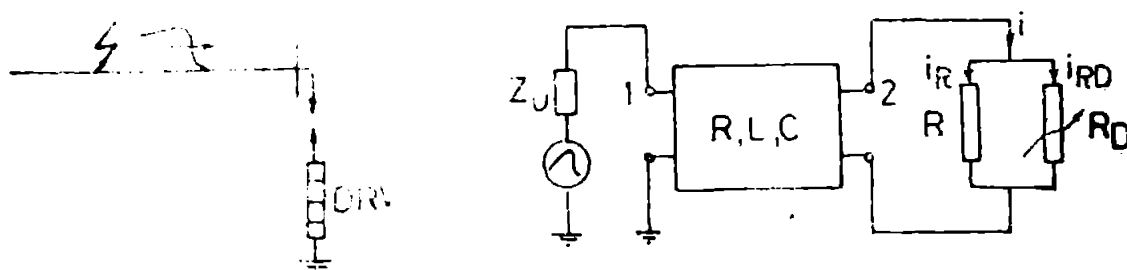


Fig.4.7. Circuitul electric echivalent liniei cu DRV

2. se consideră decuplarea fazelor cu o transformată Clark, $\alpha, \beta, 0$ de tipul prezentat în cap.3.3. Avînd în vedere că descărcătoarele de rezistență variabilă sînt realizate în construcție independentă și la distanțe suficient de mare unul de celălalt se poate adopta aceeași dependență tensiune-curent și pentru componenta "0" ;
3. față de o tensiune de intrare treaptă unitate, considerînd linia cu o condiție terminală rezistivă de valoare R corespunzătoare domeniului oînd DRV-ul nu este amorțat, se calculează funcția de răspuns tranzitoriu FRT_R conform cu cap.4.2-4.4.
4. dacă valoarea tensiunii calculate nu depășește valoarea tensiunii de amorțare a DRV-ului, atunci această valoare este corectă, considerînd deci valoarea lui R_D din fig.4.7 de mărime foarte mare, Cazul corespunde condițiilor dezvoltate în cap. 4.2-4.4 și se rezolvă în conformitate cu cele prezentate;
5. dacă tensiunea calculată depășește valoarea tensiunii de amorțare trebuie pusă în evidență amorțarea DRV-ului și modificarea parametrilor electrici cu care acesta intervine în circuit. În consecință pentru circuitele corespunzătoare secvențelor $\alpha, \beta, 0$ în transformată Laplace, se scrie teorema Thévenin de forma (4.57) pentru o anumită porțiune linearizată a caracteristicii $\mu=f(i)$:

$$I_{RD}(p) = \frac{U_{2R}(p)}{R_e + R_D} \quad (4.57)$$

sau $U_2(p) = U_{2R}(p) - I_{RD}(p) \cdot R_e$

unde $U_{2R}(p)$ este tensiunea terminală în absența lui R_D , deci înaintea fenomenului de amorțare a DRV-ului

R_e este rezistența echivalentă liniei considerată prin im-

pedanța sa de undă Z_u pusă în paralel cu rezistența R .
 I_{RD} este curentul prin D.I.V.-ul care intervine cu R_D .

Originalul lui (4.57) considerînd impedanța de undă a liniei rezistivă, lucru realist în conformitate cu cap.2.6.1.1, se obține ușor de forma :

$$i_{RD}(t) = \frac{u_{2R}(t)}{R_e + R_D} \text{ sau } u_2(t) = u_{2R}(t) - i_{RD}(t) \cdot R_e \quad (4.58)$$

Trebuie acum determinată valoarea lui R_D pentru a putea aplica (4.58).

6. determinarea punctului de funcționare pe caracteristica tensiune-curent prezentată în fig.4.5 se propune a fi stabilită observînd că pentru un punct curent de pe o porțiune liniarizată se poate scrie :

$$u_2 = u_I + \frac{u_{I+1} - u_I}{i_{I+1} - i_I} (i - i_I) \quad (4.59)$$

Relația (4.59) a fost scrisă pentru o porțiune liniarizată limitată de punctele I și I+1 din fig.4.5, tensiunea u_2 fiind deci originalul lui $U_2(p)$ din (4.56) obținută la capătul terminal 2 al liniei din fig.4.7.

Se rezolvă în raport cu i relațiile (4.59) și (4.58), ultima scrisă în a doua sa variantă. Se obține:

$$i(t) = \frac{u_{2R}(t) - \frac{u_I \cdot i_{I+1} - u_{I+1} \cdot i_I}{i_{I+1} - i_I}}{R_e + \frac{u_{I+1} - u_I}{i_{I+1} - i_I}} \quad (4.60)$$

În consecință se va obține punctul de funcționare prin încercări în următorul mod:

- se presupune funcționarea pe o porțiune liniarizată, de exemplu porțiunea 1-2 din fig.4.5, deci $i=1$, $i+1=2$
- se calculează $i(t)$ cu (4.59) cu tensiunea $u_{2R}(t)$ anterior calculată. Dacă $i_1 < i(t) < i_2$ se calculează imediat $u_2(t)$ cu (4.60)
- dacă $i(t) > i_2$ se trece pe porțiunea liniarizată 2-3 și se reîncepe calculul anterior.

Pe aceste raționamente s-a scris programul de calcul nr.6 avînd subrutina TENS elaborată pe raționamentul anterior consi-

derivind și alternanțele negative ale tensiunii momentane;
7. pentru a obține o soluție cât mai exactă, avînd în vedere prezența simultană în procesul de amorsare a lui R și R_D, se consideră dependența tensiune curent al elementului neliniar de forma

$$i_2(t) = f^{-1}(u_2) - \frac{u_2(t)}{R} \quad (4.61)$$

unde f^{-1} este funcția inversă a dependenței $u_2 = f(i_2)$. Dar cum R are o valoare foarte mare, valoarea de corecție din (4.60) este nesemnificativă în raport cu valoarea curentului de conducție al DRV-ului;

8. se urmărește calculul în continuare ca în cap.4.2-4.4 obținîndu-se funcția de răspuns proprie și mutuală efectuîndu-se trecerea din domeniul componentelor la mărimile de fază ;
9. se aplică integrala Duhamel și se obține tensiunea terminală la bornele DRV-ului pentru o supratensiune atmosferică standard de forma (4.56).

Intregul raționament și deci și programul de calcul, se aplică fără nici o restricție și asupra cazurilor cînd se consideră funcționarea descărcătoarelor cu rezistență variabilă de construcție specială, față de supratensiunile de comutație.

4.6. Considerarea descărcării corona în propagarea undelor de supratensiune

Apariția descărcării corona în jurul conductorului activ în timpul proceselor tranzitorii de propagare a supratensiunilor de-a lungul liniilor electrice influențează atît calitativ cît și cantitativ forma undei.

Aceste fenomene au fost deja abordate de la începutul secolului, dar complexitatea aspectelor fizice care caracterizează fenomenul corona cu implicații directe în conceperea modelelor experimentale sau de calcul oferă și în prezent cîmp deschis cercetării acestui domeniu.

În prezenta lucrare autorul nu urmărește dezvoltarea prezentării modalității de abordare și rezultatele obținute și publicate în literatură decît sub strictul aspect al integrării fenomenului corona în modelul matematic propriu elaborat pentru calculul supratensiunilor pe liniile electrice.

Ecuatiile lui Maxwell ale câmpului electromagnetic scrise pentru ϵ și μ constante sînt:

$$\text{rot } \vec{H} = \vec{J} + \epsilon \frac{\partial \vec{E}}{\partial t} \quad (4.62)$$

$$\text{rot } \vec{E} = -\mu \frac{\partial \vec{H}}{\partial t}$$

unde \vec{J} este densitatea curentului de conducție și \vec{E} , \vec{H} sînt intensitățile câmpului electric, respectiv magnetic, se pot particulariza pentru cazul apariției unei descărcări autonome de tip corona.

Se poate neglija curentul de deplasare în conductoarele metalice și în pămînt chiar la frecvențele mari la care se desfășoară fenomenele tranzitorii corespunzătoare frontului undei de supratensiune și apreciate la (10^2-10^3) kHz. În /5/ se apreciază frecvențele critice care definesc regimul cvasistaționar la care se poate neglija curentul de deplasare la valorile :

$3 \cdot 10^{17}$ Hz pentru mediul conductor

$2 \cdot 10^6$ Hz pentru pămînt (4.63)

$10-10^{-6}$ Hz pentru dielectric

În consecință, notînd i_x și q_x curentul longitudinal, respectiv sarcina lineică a conductorului, din legea conservării sarcinii și a fluxului electric, pentru mediul dielectric din jurul conductorului în prezența unui curent transversal de conducibilitate corona i_r :

$$-\frac{\partial i_x}{\partial x} = i_r + \frac{\partial q_x}{\partial t} \quad (4.64)$$

În prezența efectului corona, dependența $q=f(t)$ are o formă specifică, fiind influențată pe lîngă caracteristicile geometrice ale conductorului și de mărimea tensiunii, cît și de viteza de variație a acesteia. În aceste condiții s-a acordat o atenție deosebită obținerii pe cale experimentală a dependenței $q=f(u)$. În literatură /28/, /31/, /33-35/, /38-40/, /143/ se oferă ca rezultate experimentale formele dependenței amintite, care calitativ arată ca în fig.4.8.

Ciclurile sarcină electrică-tensiune se obțin fie prin aplicarea unor impulsuri de tensiune înaltă liniei reale și oscilografiera în diverse puncte ale acesteia a supratensiunii

care rezultă, fie realizarea aceluiași lucru în laboratoare special echipate folosind egantioane de conductor. Se determină /143/ forme analitice pentru $q=f(u)$ avînd coeficienții determinați funcție de dimensiunea și numărul conductoarelor cit și de

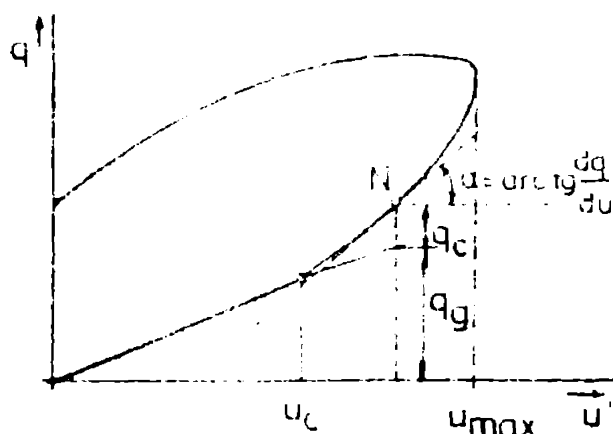


Fig.4.8. Dependenta ciclică sarcină-tensiune

polaritatea impulsului aplicat.

Se definesc, cu referire la dependența $q=f(u)$, mai multe mărimi de calcul ca și:

- capacitatea geometrică:

$$C_g = \frac{q}{u} \text{ pentru } u \leq u_c$$

- capacitatea statică:

$$C_s = \frac{q}{u} \text{ pentru } u_c < u < u_{max}$$

- capacitatea dinamică:

$$C_d = \frac{\partial q}{\partial u} \text{ pentru } u_c < u < u_{max}$$

Pe domeniul tensiunii sub valoarea critică a emersării fenomenului corona u_c , sarcina electrică este datorată în exclusivitate capacității electrice determinată de geometria conductorului deasupra solului și față de celelalte conductoare. Pe acest domeniu se poate scrie :

$$q_x = q_g = C_g \cdot u \quad (4.65)$$

Peste valoarea lui u_c apare o sarcină suplimentară datorită descărcării corona, notată q_c și se poate scrie:

$$q = q_g + q_c = C_g \cdot u + q_c \quad (4.66)$$

După depășirea tensiunii maxime: u_{max} , valoarea sarcinii electrice scade, dependența $q = f(u)$ avînd o variație ciclică.

Suprafața acestui ciclu reprezintă disiparea de energie în timpul descărcării spațiale a sarcinilor electrice.

Cu (4.66), /31/, /143/, se poate introduce legătura dintre capacitatea dinamică C_d a conductorului și cea geometrică

$$C_d = \frac{\partial q}{\partial u} = C_g + \frac{\partial q_c}{\partial u} \quad (4.67)$$

Valoarea maximă a tensiunii aplicată este de $(4-5) \cdot u_c$, unde pentru u_c se dau în literatură expresii analitice obținute

însă în general empiric pe baza prelucrării numeroaselor date experimentale.

Creșterea capacității electrice a conductorului în timpul descărcării corona duce la modificarea vitezei de propagare a undei de supratensiune cu consecințe în apariția unei deformări suplimentare a formei undei, deformare care se adaugă celei produse de atenuarea cauzată de pierderile de putere activă specifice descărcării corona.

Pentru capacitatea electrică a conductorului în timpul descărcării corona s-au obținut expresii analitice care diferă mult de la autor la autor. Astfel în /23/ se dau expresiile:

- pentru undele cu impuls pozitiv

$$C_d = C_g \left[1 + 0,6 \operatorname{ch} \left(\frac{r}{24,1} \right)^{1,1} \right] \quad (4.68)$$

- pentru undele cu impuls negativ

$$C_d = C_g [1,32 + 0,008 \cdot r]$$

În cazul cînd linia este construită din mai multe conductoare pe aceeași fază, raza r a conductorului se înlocuiește cu o echivalare corona de tipul /23/ :

$$r_c = r \frac{1 + (n-1) \frac{r}{R}}{1 - (n-1) \frac{r}{R}} \quad (4.69)$$

unde R este raza cercului pe care sînt plasate cele n conductoare ale fazei.

În /143/ se analizează în detaliu raportul $\frac{C_d}{C_g}$ pentru diverse domenii ale tensiunii și se evidențiază expresii analitice și pentru impedanța caracteristică a liniei în prezența descărcării corona, cît și pentru viteza de propagare a supratensiunii.

Modificarea curentului i_x din (4.64) poate fi pusă în evidență prin intermediul lui C_d înglobînd membrul drept al lui (4.64), în totalitate, în termenul $\frac{\partial q}{\partial t} = \frac{\partial q}{\partial u} \cdot \frac{\partial u}{\partial t} = C_d \frac{\partial u}{\partial t}$, unde q corespunde dependenței $q = f(u)$ dată în fig.4.8. Avînd însă în vedere posibilitatea măsurării pierderilor de putere reactivă în timpul fenomenului corona, pe baza unor măsurători concrete, la configurații ale liniei date /27/, /29/, /30/, /37/, termenul i_x din (4.64) poate fi evidențiat ca fiind corespondent unei capacități neliniare C_c conectată liniei. Pentru forma lui C_c în /27/ se dă:

$$C_c = 2K_c \left(1 - \frac{u_c}{u}\right) \quad (4.70)$$

unde u_c este tensiunea de amorțare a descărcării corona, u este tensiunea conductorului măsurată față de pământ, iar constanta K_c are forma:

$$K_c = \sigma_c \left(\frac{r}{2h}\right) \cdot 10^{-11} \quad \text{F/m} \quad (4.71)$$

Pentru conductorul de rază r aflat la înălțimea h deasupra pământului, corespunzător pierderilor de putere măsurate se determină constanta σ_c specifică descărcării corona.

În aceste condiții, termenul drept din (4.64) se scrie:

$$\frac{dq}{dt} = 2K_c \left(1 - \frac{u_c}{u}\right) \frac{du}{dt} + C_g \frac{du}{dt} \quad (4.72)$$

Adoptînd expresii de tipul (4.68) se observă că nu se pune în evidență modificarea pantei curbelor $q=f(u)$ în domeniul descărcării corona. Din acest motiv se adoptă din considerente experimentale /27/, /29/, /30/, expresii pentru capacitatea electrică de forma (4.70), care exprimă în esență creșterea capacității prin apariția descărcării corona.

Descărcarea corona este caracterizată și prin pierderi de putere activă în spațiul dielectric din jurul conductorului, pierderi reprezentate în (4.64) prin curentul i_r .

Pierderile de putere activă corona au fost determinate experimental pe modele, cât și pe linii reale.

În cazul cînd încărcarea liniilor electrice nu este prea mare, pierderile corona pot ajunge de ordinul de mărime a celor prin efect Joule. Astfel în 1978 pierderile de energie prin efectul Joule pe liniile de 400 kV din ISK au fost de 20,38 GWh, iar cele datorate descărcării corona de 25,32 GWh /31/.

Asupra calculului pierderilor corona în literatură /29/ se acceptă încă și în prezent calculul pierderilor active propuse de Peek la începutul secolului de forma :

$$p = \frac{241}{2} (f+25) \left(r + \frac{6}{s} + 0,04 \cdot \frac{1}{s^{1/2}}\right) (u-u_c)^2 \cdot 10^{-5} \quad \text{kW/km} \quad (4.73)$$

unde f este frecvența

r - raza conductorului în cm

s - distanța dintre centrele conductoarelor în cm

Relația lui Peek nu este unica. Ryan în 1924 și Heuline în 1911 au propus pe bază prelucrării rezultatelor de laborator o relație de forma (4.74) unde C este capacitatea conductorului față de pământ.

$$p = 4 \cdot f \cdot C(u^2 - u \cdot u_c) \quad \text{W/m} \quad (4.74)$$

În /27/ relația de forma (4.73) este dată astfel:

$$p = K_R (u - u_c)^2 = u \cdot i_{ra} \quad (4.75)$$

unde $K_R = \sigma_G \left(\frac{r}{2h} \right)^{1/2} \cdot 10^{-11} \quad \text{mS/m}$

σ_G este o constantă a pierderilor active corona
h - înălțimea conductorului deasupra pământului.

Folosind (4.75) se poate scrie forma curentului de conducție i_r și cu (4.72) relația (4.64) devine:

$$-\frac{\partial i_x}{\partial x} = K_R \frac{(u - u_c)^2}{u} + C_g \frac{\partial u}{\partial t} + 2 K_c \left(1 - \frac{u_c}{u} \right) \frac{\partial u}{\partial t} \quad (4.75)$$

$$-\frac{\partial u_x}{\partial x} = R i_x + L \frac{\partial i_x}{\partial t}$$

la care s-a adăugat și ecuația diferențială a modificării tensiunii conductorului de-a lungul axei sale longitudinale datorită circulației longitudinale de putere pe parametrii lineici R și L.

Pentru realizarea de modele fizice care să illustreze apariția și desfășurarea fenomenului corona se imaginează /29/ circuite echivalente ca cel din fig.4.9., unde C_g este capacitatea electrică a liniei în absența descărcării corona, C_{c1} și C_{c2} sînt

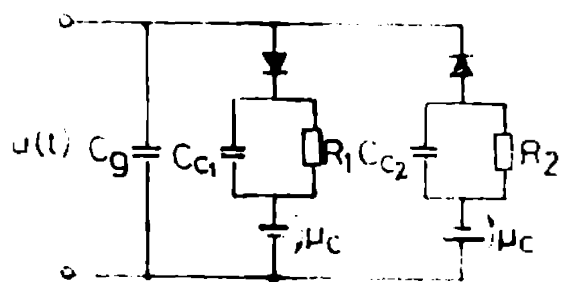


Fig.4.9. Model neliniar al liniei pentru ilustrarea efectului corona

capacitățile electrice suplimentare datorate descărcării corona și R_1 și R_2 pun în evidență pierderile active suplimentare.

Modelarea apariției efectului corona direct cît și cel invers este asigurat prin cele două diode alimentate de la baterii realizînd conducția funcție de polaritatea impulsului.

Pentru a rezolva ecuațiile (4.76) autorul consideră de

mare interes două posibilități :

a) se aplică metoda compensației, adică se determină valoarea mărimii de interes, de obicei tensiune, în lipsa elementelor neliniare specifice descărcării corona u_0 și apoi valoarea tensiunii considerînd prezența acestor elemente prin generatoare echivalente de curent. Acest lucru este ilustrat de (4.77) unde i este suma curenților datorăți

$$u = u_0 - K \cdot i \quad (4.77)$$

celor două aspecte ale descărcării corona, efectul capacitiv ilustrat de C_c și efectului rezistiv ilustrat prin i_{r_c} în (4.75), iar K are semnificația impedanței echivalente a rețelei pasivizate și reduse la bornele de conectare a elementelor neliniare. Pentru determinarea lui u_0 în general nu se ridică probleme deosebite. Mai este nevoie de a trece relația (4.17) printr-o rezolvare secvențială, adică de a obține pe $u(t+\Delta t)$ în funcție de $u(t)$, adică problema constă în a găsi variațiile curentului i pentru o perioadă scurtă de timp Δt .

În /27/, pe baza cunoașterii dependenței $u=f(i_r)$ de forma (4.77) prin aplicarea regulei trapezelor se obține:

$$u(t+\Delta t) = i_r(t+\Delta t) \cdot E_r + u(t) - i_r(t) \cdot E_r \quad (4.78)$$

unde mărimea E reprezintă valoarea cunoscută la momentul anterior t a vitezei de variație a tensiunii în raport cu valoarea curentului $E = \left. \frac{du}{di} \right|_t$.

Modificarea tensiunii datorită curentului capacitiv, scris în (4.76) de forma $i_{r_c} = 2 \cdot K_c \left(1 - \frac{u_c}{u}\right) \frac{du}{dt}$, este trecută în

/27/ într-o formă secvențială în timp după exprimarea derivatei $\frac{du}{dt} = \frac{u - u_c}{2 \cdot K_c (u - u_c)}$ dintr-o dezvoltare în serie Taylor pentru funcție implicită de două variabile de forma:

$$f(u, i) \Big|_{t+\Delta t} = f(u, i) \Big|_t + \left. \frac{\partial f}{\partial u} \right|_t [u(t+\Delta t) - u(t)] + \left. \frac{\partial f}{\partial i} \right|_t [i(t+\Delta t) - i(t)] \quad (4.79)$$

Forma finală pentru modificarea tensiunii după intervalul Δt este (4.80), unde E_c și $u_1(t)$ sînt cunoscute.

$$u(t+\Delta t) = i_{r_c}(t+\Delta t) \cdot E_c + u_1(t) \quad (4.80)$$

pentru momentul t după expresii calculabile.

Cum cele două ramuri, rezistivă și capacitivă, reprezen-

tind efectul corona nelinier sînt în paralel mai rămîine pe $i_r(t+\Delta t)$ și $i_c(t+\Delta t)$ din (4.77), respectiv (4.79) și de a înlocui suma lor în (4.77).

Dezavantajul unei astfel de metode constă doar în necesitatea de a stoca continuu mărimile tensiunii și curentului pentru etapa trecută de calcul pentru a le putea obține pe cele curente. De asemeni calculul lui $u_o(t)$ din (4.16) direct în mărimi de fază presupune considerarea parametrilor lineici constanți și neglijarea caracterului trifazat al liniei.

b) se poate aplica metoda diferențelor finite pentru a integra ecuațiile de forma (4.75) considerînd linia formată din înlanțuirea a n elemente omogene reprezentînd o lungime x ca în fig.4.3.

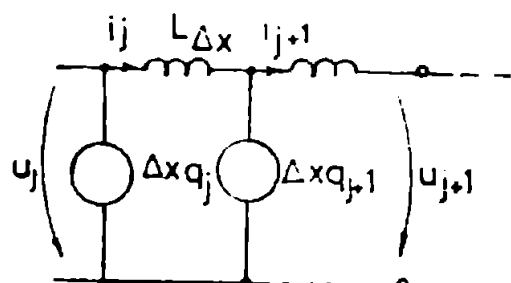


Fig.4.10. Modelarea liniei electrice

Trecînd în diferențe finite și neglijînd pierderile longitudinale datorate rezistenței liniei, cît și pierderile active transversale datorate efectului corona, relațiile (4.75) devin:

$$u_{j+1}(t) = u_j(t) + \frac{L \cdot \Delta x}{\Delta t} [i_j(t+\Delta t) - i_j(t)]$$

$$i_j(t+\Delta t) = i_j(t) - \frac{\Delta x}{\Delta t} [q_{j+1}(t) - q_{j+1}(t+\Delta t)] \quad (4.81)$$

Se ivesc două probleme constînd din alegerea cît mai adecvată a mărimilor de discretizare Δx și Δt , dar mai ales cea a considerării relației neliniare corona a dependentei sarcinii electrice funcție de tensiune pentru specificul metodei pusă sub forma:

$$q_j = q_j(u_j, u_j, \dots, u_j) \quad (4.82)$$

Metoda generalizată pune greu în evidență pierderile longitudinale pe linie și deloc variația cu frecvența a parametrilor lineici, lucru deosebit de relevant pentru desfășurarea fenomenelor transitorii.

4.6.1. Model analitic pentru considerarea efectului corona

Față de considerentele teoretice prezentate în 4.3.1 și țînînd cont de modelul matematic dezvoltat în 4.1 și 4.2 auto-

rul propune o dezvoltare a acestui ultim model matematic pentru a putea considera și efectul corona.

În acest scop, se precizează că elementele neliniare rezistiv și capacitiv corespunzătoare descărcării corona sînt în general acceptate ca fiind uniform distribuite de-a lungul liniei. Avînd însă în vedere că valoarea acestor parametri depinde de tensiune și de viteza de variație a acesteia și cum există o modificare sesizabilă a tensiunii de-a lungul liniei, se poate concluziona că se păstrează caracterul de repartizare a acestor parametri dar nu și omogenitatea lor. A doua observație constă din faptul că valoarea pierderilor active corona este destul de mică, ea fiind măsurată pentru liniile electrice de 400 kV din țară /31/ la valori cuprinse între 20-150 kW/km, valori influențate de tipul conductorului activ și de condițiile meteorologice ale mediului ambiant. În aceste condiții, pentru deschideri ale liniei de lungimi mici, de ordinul unităților de kilometri, se poate considera elementul rezistiv neliniar care localizează aceste pierderi, ca fiind concentrat, ca o condiție terminală pentru linia considerată. Din acest punct de vedere se poate asimila situația prezenței rezistenței neliniare corona cu cea a descărcătorului din rezistență neliniară, situație tratată în cap.4.2.

A treia observație se bazează pe faptul că forma undei de supratensiune este influențată destul de mult de apariția unei capacități electrice neliniare, deci este imperios necesar ca modelul matematic să păstreze caracterul de parametru electric distribuit al acestei capacități neliniare.

De remarcat faptul că modelul de calcul trebuie să analizeze permanent dacă tensiunea a depășit sau nu valoarea tensiunii de amorsare a descărcării corona și să introducă sau nu acești parametri neliniari.

În consecință, pentru porțiunea crescătoare a dependenței $q=f(u)$ prezentată în fig.4.8, pentru $u > u_c$ se poate accepta una sau două liniarizări ale curbei și deci se poate adopta una sau două valori constante ale derivatei $\frac{dq}{du}$ și în consecință se adoptă valorile capacității dinamice introdusă de (4.66) și prezentate ca o concluzie numerică în (4.67).

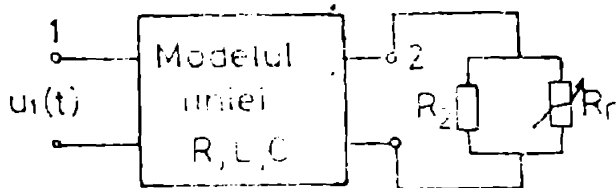
Pentru a studia și cazul cînd sînt atinse de lovitura de trăsnet mai mult decît o fază a liniei, sau pentru a urmări ten-

siunile induse în celelalte faze cînd numai una a fost atinsă, va fi păstrat caracterul trifazat al modelului matematic.

În consecință modelul matematic adoptat va rezolva următoarele etape:

a) se realizează trecerea de la mărimi de fază la mărimi de secvență, se decuplează fazele cu o transformată de tip Clarke prezentată în cap.3.

b) pentru a putea aplica ulterior teorema Thévenin față de bornele terminale ale liniei, se consideră linia cu o condiție terminală rezistivă R_2 . Valoarea lui R_2 este aleasă suficient



de mare, de ordinul $M\Omega$, pentru a nu fi necesar calculul tensiunii terminale pentru acest caz decît cu un singur termen corespunzător relației (4.13).

Fig.4.11. Schema electrică echivalentă

Se obține în transformată Laplace tensiunea $U_{20}(p)$

și apoi valoarea corespunzătoare în domeniul timpului.

Dacă această valoare depășește valoarea de amorțire a fenomenului corona se va recalcula tensiunea terminală considerînd și prezența elementului rezistiv neliniar;

c) pentru această din urmă situație este necesar a recalcula chiar și tensiunea $U_{20}(p)$ avînd în vedere că se modifică capacitatea electrică a liniei prin creșterea ei datorită efectului corona, modificîndu-se și viteza de propagare a undei. Cunoscînd $U_{20}(p)$ se calculează tensiunea în prezența rezistenței neliniare R_r .

Aceasta este introdusă prin dependența neliniară cunoscută $i_r = K_r \left(1 - \frac{u_r}{u}\right)^2$ ilustrată de (4.76). Această dependență neliniară este construită grafic și aproximată prin segmente liniare pe porțiuni conform cu cele prezentate în cap.4.2. Găsirea punctului de funcționare constă în rezolvarea simultană a relației corespunzătoare teoremei Thévenin (4.83), care pentru Z_u real are forma (4.84), cit și a

$$U_2(p) = U_{20}(p) - Z_u \cdot I_2(p) \quad (4.83)$$

$$u_2(t) = u_{20}(t) - Z_u \cdot i_2(p) \quad (4.84)$$

dependenței liniarizate pe porțiuni $u_2(t) = f(i_2)$. Acest ultim

aspect a fost abordat și rezolvat prin algoritmul de găsimă prin încercări a punctului de funcționare prezentat în cap.4.2. Pentru a ține cont de prezența rezistenței R_2 introduse, fig.4.4, caracteristica liniarizată $u_2 = f(i_2)$ corespunzătoare descărcării coroanei va fi translatată inferior cu mărimea u_2/R_2 . Alegerea lui R_2 de o valoare mare micșorează importanța practică a acestei translatații.

Mărimea Z_u introdusă în (4.21) are semnificația impedanței de undă cercetată în cap.2.5, caracterul ei pronunțat rezistiv fiind dovedit.

d) pentru calculul lui $u_{20}(t)$ în condițiile considerării dependenței de frecvență a parametrilor lineici este de dorit o expresie analitică mai simplă pentru tensiunea de intrare.

Din acest motiv se consideră tensiunea de intrare de forma treptei unitare. În aceste condiții, pentru $u_{20}(t)$ se vor folosi expresiile analitice deduse în cap.4.2, dar parametrii lineici se vor calcula pentru domeniul frecvențelor înalte. Regimul tranzitoriu al supratensiunilor atmosferice se desfășoară la frecvențe de 10^2 kHz - 10^3 kHz [26/, /31/.

Modul de calcul al parametrilor lineici pentru frecvențe înalte a fost prezentat în cap.2 adoptându-se deci aceste relații de calcul. Mărimea B_2 introdusă în cap.3.2, pentru valorile frecvențelor înalte este negativă, în consecință secvențele de propagare α și β conform transformatei Clarke, pentru tensiunea $U_{20}(p)$, vor fi calculate identic cu dezvoltările pentru secvența "o" și prezentate în cap.3.3.

e) pentru a considera tensiunea incidentă a loviturii de trăsnet de o formă mai apropiată realității, se va adopta această tensiune de o formă dublu exponențială (4.85), tensiunea $u_2(t)$ fiind atunci determinată prin aplicarea integralei Duhamel prezentată în cap.3.1 și aplicată deja în programul de calcul pentru regimul de mers în gol "Lgol".

$$u_1(t) = A [\exp(-t/T_1) - \exp(-t/T_2)] \quad (4.85)$$

Tensiunea de intrare reprezentată de lovitura de trăsnet va fi considerată printr-un generator de tensiune adaptat la valoarea impedanței de undă, deci nu apar reflexii la locul de considerare a acestuia.

Parametrii care intervin în (4.85) sînt determinabili pen-

tru forma generală a undei redată în fig.4.12. Forma undei nor-

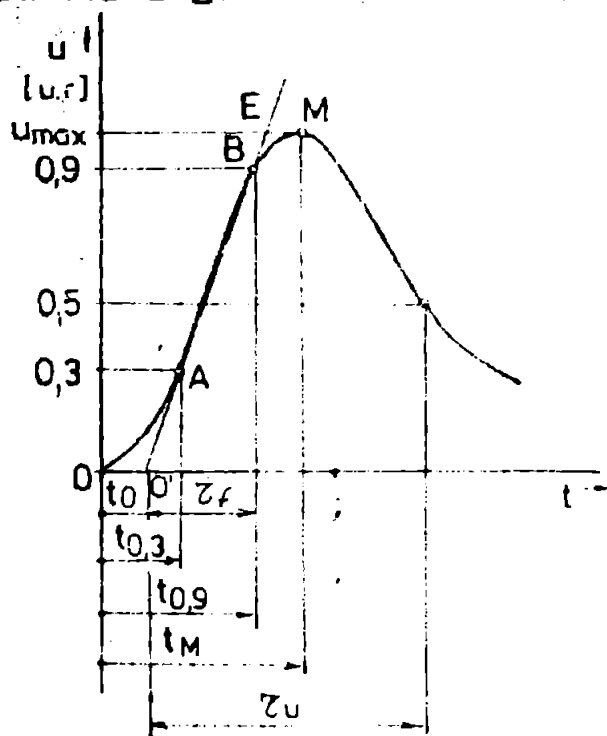


Fig.4.12. Caracterizarea undei de impuls

malizată pentru supratensiuni atmosferice este caracterizată prin $z_p/z_u=1,2/50 \mu s$ și $z_p=1,66 \cdot t_{AB}$ /23/

În consecință parametrii pentru $u_1(t)$ din (4.85) pot fi determinați rezolvînd sistemul de ecuații neliniare (4.86) scis pentru condițiile rezultate din fig.4.12.

Avantajele modelului matematic astfel conceput față de cele prezentate în literatură /25/, /27/, /29/, /33-34/ sînt următoarele :

- pune în evidență dependen-

ța de frecvență a parametrilor lineici, lucru esențial pentru domeniul frecvențelor înalte ;

$$1 = A \left[\exp\left(-\frac{t_M}{T_1}\right) - \exp\left(-\frac{t_M}{T_2}\right) \right]$$

$$0,9 = A \left[\exp\left(-\frac{t_{0,9}}{T_1}\right) - \exp\left(-\frac{t_{0,9}}{T_2}\right) \right]$$

$$0,3 = A \left[\exp\left(-\frac{t_{0,3}}{T_1}\right) - \exp\left(-\frac{t_{0,3}}{T_2}\right) \right]$$

$$t_M = \frac{\ln T_2/T_1}{\frac{1}{T_1} - \frac{1}{T_2}} \quad (4.86)$$

$$0,5 = A \left[\exp\left(-\frac{z_U}{T_1}\right) - \exp\left(-\frac{z_U}{T_2}\right) \right]$$

$$T_1 = z_U - t_0$$

$$T_2 = 1,66(t_{0,9} - t_{0,3})$$

- redă caracterul trifazat al construcției liniei ;
- poate considera orice formă analitică a tensiunii incidente;
- elimină necesitatea stocării datelor pentru pasul de timp anterior în calculul mărimilor electrice curente.

Acest considerent ar fi dus în cazul liniei trifazate la

o extindere considerabilă a memoriei alocată pentru executarea programului de calcul.

Ca dezavantaje se semnalează extinderea mare a programului pe calculator datorită necesității efectuării de produse de convoluție, cât și a integralei Duhamel pentru fiecare fază a liniei. Calitativ se poate pune în discuție următorul aspect fizic :

mărimea tensiunii de amorsare a efectului corona este influențată de tipul undei de supratensiune, iar în modelul analitic elaborat, prin aplicarea integralei Duhamel se folosește răspunsul tranzitoriu al liniei față de tensiunea de intrare de forma treptei unitate.

Pentru a depăși acest considerent, se propune calculul tensiunii terminale, la capătul liniei, în mod direct, din considerarea tensiunii de intrare de forma (4.85). În acest caz nu se va mai folosi integrala Duhamel, se va păstra dependența de frecvență a parametrilor lineici, dar nu se va mai evidenția caracterul trifazat al liniei.

Modelul matematic propus pornește de la forma tensiunii la capătul terminal scrisă în transformată Laplace de forma (4.85) și folosită parțial în cap.4.2.

$$U_2(p) = U_1(p) \left\{ \sum_{n=0}^{\infty} \delta^n \cdot \exp[-\gamma(p)l] - \sum_{n=0}^{\infty} \delta^{n+1} \cdot \exp[-\gamma(p)l] \right\} \quad (4.87)$$

Păstrînd notațiile din cap.4.2 mărimile din (4.87) sînt

$$\delta = c_1 + c_2 \frac{\psi_1(p^{1/2})}{\psi_2(p^{1/2})} \quad (4.88)$$

$$\text{iar } U_1(p) = \left(\frac{T_1}{pT_1+1} - \frac{T_2}{pT_2+1} \right) A \quad (4.89)$$

este transformata Laplace a funcției de intrare (4.85).

Înlocuind (4.88), (4.89) în (4.87) și folosind dezvoltarea expresiei operaționale a constantei de propagare dezvoltate în cap.3.2, iar din dezvoltările binomiale ale lui δ reținînd termenii pînă la cei de gradul doi se obține succesiv :

$$U_2(p) = A \sum_{k=1}^2 (-1)^{k+1} \frac{T_k}{pT_k+1} \cdot \sum_{n=0}^{\infty} \left\{ c_2 \cdot c_1^n \cdot \exp[-\gamma(p)l] + c_2 \cdot c_1^{n-1} \cdot \right. \\ \left. \cdot (nc_2 - c_1) \frac{\psi_1(p^{1/2})}{\psi_2(p^{1/2})} \exp - [\gamma(p)l] \right\} \quad (4.90)$$

$$\text{iar } \exp[-\gamma(p)] = \exp(-z_n \cdot p) \cdot \exp(-B_1 z_n p^{1/2}) \left\{ 1 - z_n \cdot B_2 + \frac{z_n \cdot B_1 B_2 p^{1/2}}{p + B_1 \cdot p + B_2} - \frac{z_n \cdot B_3 \cdot p^{1/2}}{2(p + c)(p + B_1 p + B_2)} + \frac{z_n \cdot B_2^2}{2(p + B_1 p + B_2)} \right\} \quad (4.91)$$

Expresia (4.91) păstrează notațiile din cap.3.2 și a fost obținută din dezvoltarea în serie Taylor. Factorizînd numitorii în forme liniare în raport cu $p^{1/2}$ și renunțînd la corecția dată de termenul B_3 și c și prezentată în cap.2.6, după calcule algebrice se obține pentru (4.90) forma finală :

$$U_2(p) = A \sum_{k=1}^2 (-1)^{k+1} \cdot \frac{\gamma_k}{p^{\gamma_{k+1}}} \left\{ \sum_{n=0}^{\infty} \exp(-z_n \cdot p) \cdot C_2 \cdot C_1^n \cdot \left[\left(1 - \frac{z_n B_2}{2} \right) + z_n \cdot B_2 \sum_{i=1}^2 \frac{(-1)^{i+1}}{k_i - k_{i+1}} \left(B_1 \cdot k_i^2 - \frac{B_2}{2} \right) \frac{1}{p^{1/2 + k_i}} \right] \cdot \exp(-B_1 \cdot z_n \cdot p^{1/2}) \right\} \quad (4.92)$$

Constantele B_1, B_2 influențate de valoarea parametrilor lineici au semnificația introdusă în cap.3.2.

Originalul lui (4.92) va fi o sumă de produse de convoluție în care un factor este de formă exponențială corespunzător termenilor sumei în raport cu k din (4.92), al doilea factor corespunzînd originalelor termenilor sumei în raport cu n din (4.92), translatat în domeniul timpului cu mărimea z_n .

Analizînd originalele termenilor din (4.9) se observă că pentru termenii afectați de sume în raport cu i forma acestor originale este dată /18/ de :

$$\mathcal{L}^{-1} \left\{ \frac{1}{p^{1/2 + k_1}} \cdot \exp(-B_1 z_n p^{1/2}) \right\} = \frac{1}{(\sqrt{\pi} t)^{1/2}} \cdot \exp \left[-\frac{(B_1 \cdot z_n)^2}{4 \cdot t} - K_1 \cdot \exp K_1 (B_1 z_n + K_1 t) \cdot \text{erfc} \left(\frac{B_1 z_n}{2 t^{1/2}} + K_1 \cdot t^{1/2} \right) \right] \quad (4.93)$$

Fenomenele tranzitorii datorate supra-tensiunilor atmosferice avînd o durată extrem de scîzută, de ordinul unităților de μs , sînt mărimea argumentului funcției erfc , cît și valoarea expresiei $\exp(-\frac{B_1 z_n)^2}{4 t})$ asigură acestui original valori foarte mici. Deci este de interes să găsim originalul primei părți a lui (4.92).

În domeniul timpului funcția căutată este cea din (4.92)

$$\begin{aligned}
 u_2(t) &= \mathcal{L}^{-1} \left\{ A \sum_{k=1}^2 (-1)^{k+1} \frac{T_k}{p T_{k+1}} \cdot \sum_{n=0}^{\infty} C_2 \cdot C_1^n \left(1 - \frac{\tau_n B_2}{2}\right) \exp(-\tau_n \cdot p) \right\} \\
 &\cdot \exp(-B_1 \tau_n \cdot p^{1/2}) \Big\} = \mathcal{L}^{-1} \left\{ A \sum_{k=1}^2 (-1)^{k+1} \left(1 - \frac{1}{p T_{k+1}}\right) \cdot \sum_{n=0}^{\infty} C_2 C_1^n \left(1 - \tau_n \cdot \frac{B_2}{2}\right) \right. \\
 &\cdot \left. \exp(-\tau_n p) \cdot \frac{\exp(-B_1 \tau_n p^{1/2})}{p} \right\} = A \sum_{k=1}^2 (-1)^{k+1} \sum_{n=0}^{\infty} C_2 C_1^n \left(1 - \frac{\tau_n B_2}{2}\right) \cdot \\
 &\left[\operatorname{erfc} \left(\frac{B_1 \tau_n}{2(t - \tau_n)^{1/2}} \right) - \exp\left(-\frac{t}{T_k}\right) \int_0^t \exp \frac{\theta}{T_k} \cdot \operatorname{erfc} \left(\frac{B_1 \tau_n}{2(\theta - \tau_n)^{1/2}} \right) \cdot d\theta \right]
 \end{aligned}$$

(4.94)

Se observă că tensiunea la capătul terminal al liniei se obține din tensiunea terminală corespunzătoare tensiunii de intrare de forma treaptă unitate din care se scade un produs de convoluție reprezentând contribuția tensiunii de intrare de formă dublă exponențială.

4.3.2. Linie cu element terminal de tip descărcător cu rezistență variabilă în condițiile considerării fenomenului corona

În cazul liniilor electrice de lungime mică, de mărimea câtorva deschideri, s-a acceptat anterior, cap.4.3.2, posibilitatea concentrării ca și condiție terminală, a rezistenței neliniare datorită pierderilor de putere prin efect corona.

Dacă linia este prevăzută cu un descărcător de rezistență, variabilă în ipoteza considerării și a efectului corona, va rezulta ca și condiție terminală, existența simultană a două rezistențe neliniare. Aceste rezistențe neliniare, date fiecare prin dependența lor $u=f(i)$, vor fi echivalate pe baza legării lor în paralel. Dependența tensiune curent astfel obținută va fi liniară - zată pe porțiuni ale curbei.

Programul de calcul va urmări succesiunea operațiilor prezentate în cap.4.3.2 cu specificarea necesității controlului continuu a mărimii tensiunii de calcul față de valoarea tensiunii de amorsare a descărcării corona și de amorsare a funcționării descărcătorului cu rezistență variabilă.

Cum valoarea tensiunii de amorsare a fenomenului corona

este mai mică decât cea a descărcătorului, succesiunea de modificare a rezistenței neliniare este următoarea :

- dacă tensiunea calculată este mai mică decât cea de amorțire a fenomenului corona, condiția terminală este rezistivă și liniară, de valoare R_2 , fig.4.4, prezența acesteia fiind motivată de asigurarea condițiilor de aplicare ulterioară a teoremei compensației;

- dacă tensiunea calculată este mai mare decât cea corona, dar mai mică decât cea amorțirii descărcătorului, condiția terminală este rezistivă și neliniară, caz prezentat și rezolvat în cap.4.3.2;

- dacă tensiunea calculată depășește pe cea necesară amorțirii descărcătorului , condiția terminală rezistivă și neliniară va fi cea echivalentă efectului corona și a descărcătorului;

- după amorțirea descărcătorului, dacă tensiunea scade sub cea a efectului corona, caracteristica terminală va corespunde numai celei a descărcătorului.

În concluzie, acest caz se rezolvă de fapt prin considerarea unei singure condiții terminale neliniare, dar variabilă în timp funcție de fenomenele care se succed.

4.6.3. Rezultate de calcul

Aplicarea practică a prezentărilor teoretice de la cap. 4.2-4.3 urmărește determinarea calitativă și cantitativă a supratensiunilor într-un punct al liniei, cu precădere la capătul terminal, funcție de următorii factori:

- forma undei de supratensiune incidentă
- distanța de la capătul terminal al liniei până la locul loviturii de truznet,
- influența solului prin componenta "o" asupra funcției de răspuns tranzitoriu propriu și mutual,
- modul de modificare a propagării undei de supratensiune funcție de felul considerării efectului corona,
- intervenția descărcătoarelor de rezistență variabilă funcție de caracteristica lor neliniară,
- alegerea pragului de timp în investigarea procesului tranzitoriu și implicațiile lui asupra rezultatelor de calcul.

Forma undei incidente a fost aleasă de trei tipuri:

A - tensiune treaptă unitate

B - tensiune incidentă exprinsă prin două funcții exponențiale cu front incident lent și spatele undei cu variație len-

tă de tip 1,2/50 μ s

C-tensiune incidentă cu frontul undei cu variație rapidă și spațele undei de variație moderată de tip 0,8/20 μ s.

Cu notațiile din (4.23) valorile parametrilor undei incidente sînt redați în tabelul 4.1.

Tabelul 4.1. Parametrii undei incidente

	T_1 μ s	T_2 μ s	A
B	35	0,6	1,09
C	15	0,25	1,09

Distanțele de la capătul terminal al liniei pînă la locul loviturii de trăsnet au fost considerate în domeniul 0,2-2 km.

Parametrii lineici tranzitorii pentru linia de 400 kV au fost calculați pentru domeniul frecvențelor înalte pe baza considerentelor expuse în cap.2.6 și au valorile :

$$\begin{aligned}
 Z_{\alpha, \beta}(p) &= 1,05 \cdot 10^{-3} p + 34,2 \cdot 10^{-3} \cdot p^{1/2} - 31,4 \text{ } \Omega/\text{km} \\
 Z_0(p) &= 1,5 \cdot 10^{-3} p + 318 \cdot 10^{-3} \cdot p^{1/2} - 59,9 \text{ } \Omega/\text{km} \\
 Y_{\alpha, \beta}(p) &= 10,69 \cdot 10^{-9} \cdot p \text{ } \text{s}/\text{km} \\
 Y_0(p) &= 8,78 \cdot 10^{-9} p \text{ } \text{s}/\text{km}
 \end{aligned}
 \tag{4.95}$$

Pasul de calcul al investigației în timp a fost ales în prima fază constant, indiferent de mărimea timpului de parcurs al undei de la locul loviturii pînă la capătul terminal. În faza a doua a calculelor, pasul de calcul a fost micșorat pe măsura creșterii lungimii liniei.

Au s-a insistat pe o durată îndelungată a studiului fenomenului tranzitoriu avînd în vedere intervenția descărcătoarelor de rezistență variabilă. Această durată a fost limitată la 10-12 μ s, timp pentru care în cazul loviturilor de trăsnet apărute la o distanță mai mică de 1 km de capătul terminal, apare și a doua reflexie a undei incidente.

Durata parcursului undei de supratensiune pînă la prima reflexie este redată funcție de lungime în tabelul 4.2.

Tabelul 4.2. Valorile parcursului liniei în us funcție de l km

l	0,2	0,4	0,6	0,8	1	2
$Z_{\alpha, \beta}$	0,67	1,34	2,01	2,68	3,36	6,72
Z_0	0,726	1,552	2,18	3,104	3,63	7,26

Pentru considerentele teoretice expuse în cap.4.2 și 4.3 s-a întocmit programul de calcul nr.6 T&Z cu ordinograma redată în Anexa 1.

În fig.4.13 se redă funcția de răspuns tranzitoriu în componenta "o" pentru pasul de calcul $\Delta t = \tau/15$.

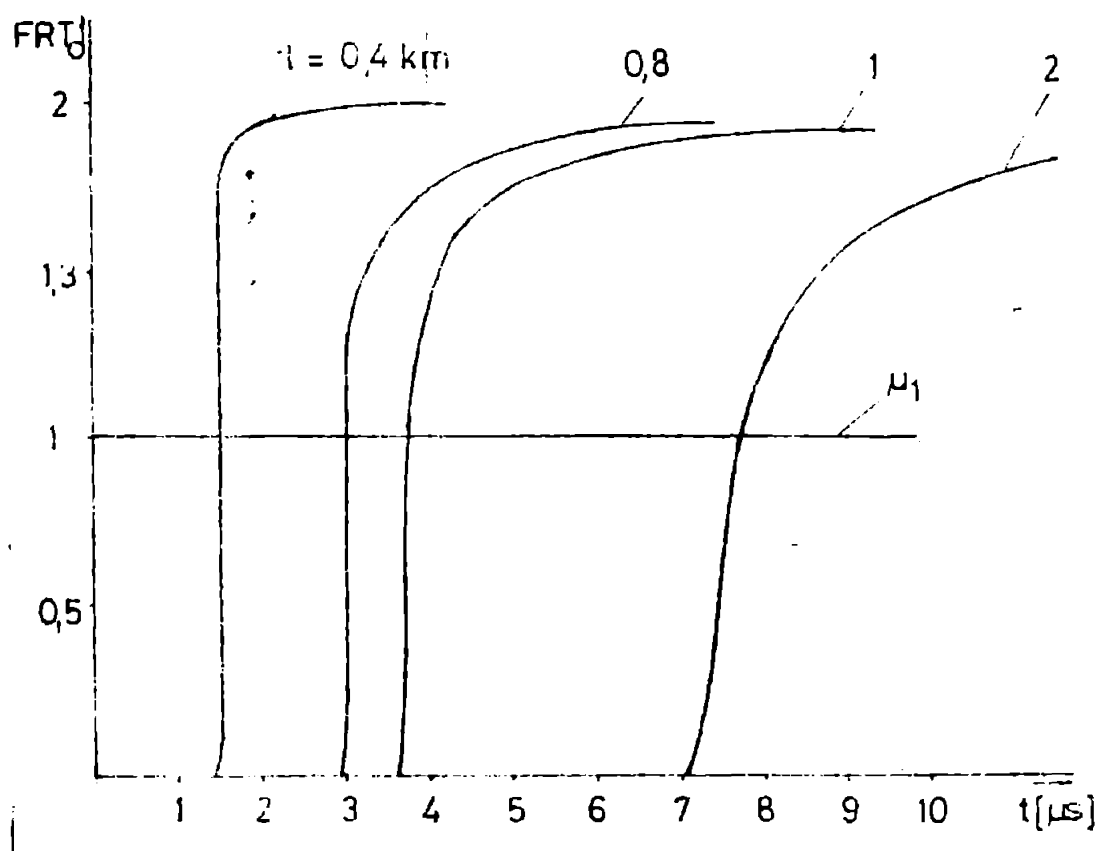


Fig.4.13. Funcția de răspuns în componentă "o" pentru tensiunea de intrare treaptă unitate la linia de 400 kV

Amortizările undei în componentă "o", determinate de proprietățile electrice ale solului, nu apar în componentele α, β ale FT având în vedere rezistența electrică scăzută la lungimile de linie mici considerate. Acest ultim aspect nu a mai fost redat în fig.4.13. prima reflexie în componentea β , ducând la dublarea tensiunii incidente.

În figura 4.14 sînt redată funcțiile de răspuns tranzitoriu pentru faza atinsă de lovitura directă de trăsnet, cît și pentru tensiunile induse în fazele alăturate FT:

Considerînd tensiunea incidente de tipul B, tabelul 4.1, supratensiunile la capătul terminal al liniei pentru pasul de calcul $\Delta t = \tau/15$ sînt redată în fig.4.15. Se observă valorile scăzute ale tensiunilor induse pînă la o doua reflexie a undei incidente.

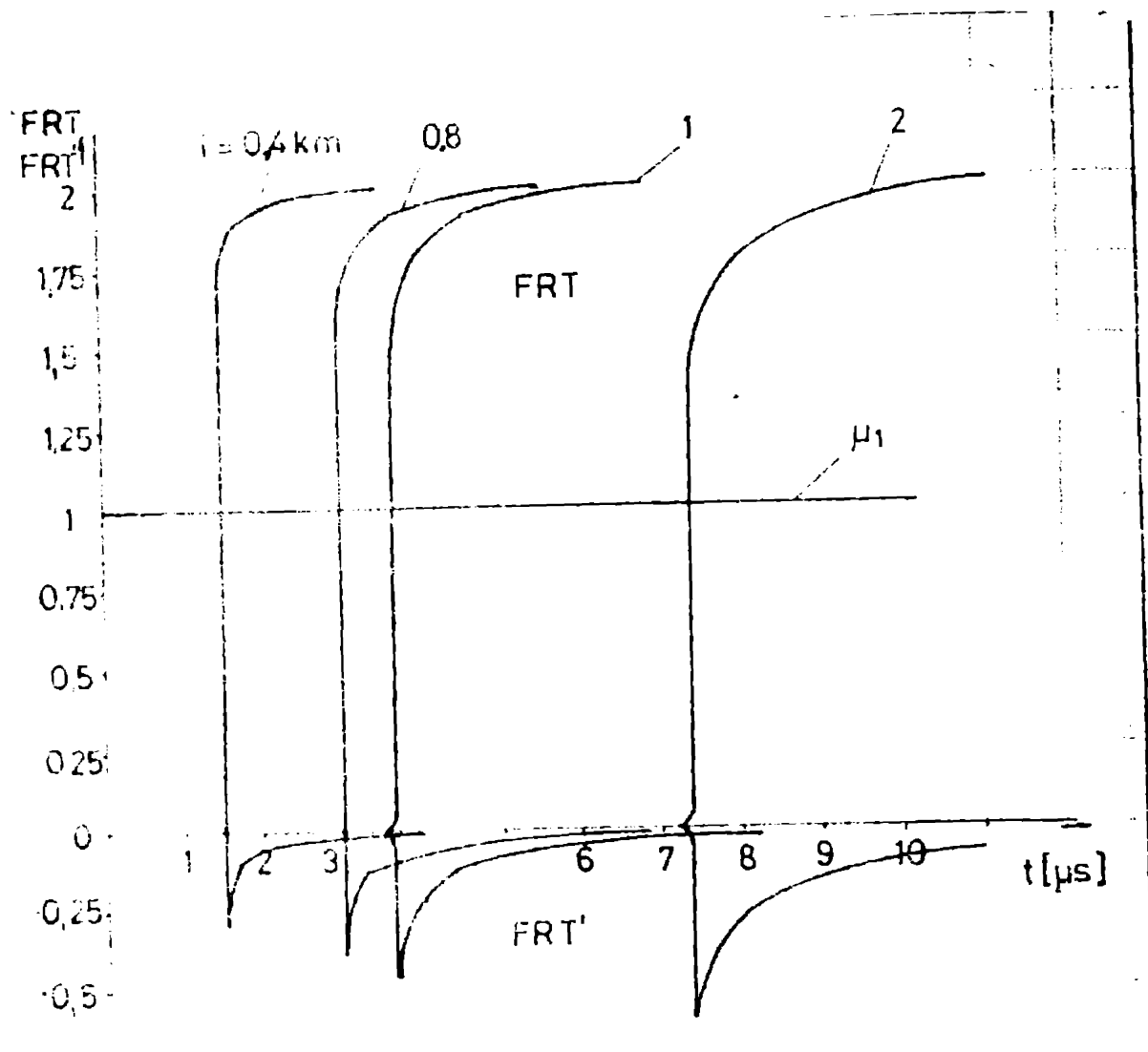


Fig.4.14. Supratensiunile proprii și induse pentru tensiune incidentă treaptă unitate pentru linia de 400 kV

Pentru unda incidentă de tip C se observă din fig.4.16 o atenuare mai rapidă a spetelui undei de la capătul terminal al liniei, cit și o micșorare față de cazul B, a maximumului supratensiunii terminale.

Pentru a pune în evidență efectul descărcării corona, programul de calcul elaborat liniarizează pe porțiuni caracteristice $\varphi=f(u)$, fig.4.17, în prima aproximație prin două liniarizări, iar într-o aproximație mai precisă prin patru liniarizări.

Tensiunea de amorsare a descărcării corona a fost aleasă de 0,5 u.r., raportată la maximumul undei incidente, valoare care corespunde unui maxim de 1000 kV.

Porțiunea a doua de liniarizare a fost aleasă între 0,5 și 0,8 u.r., a treia până la atingerea tensiunii maxime, iar ultima liniarizare a fost făcută pentru porțiunea descendentă a variației tensiunii. Folosind /39/, pentru linia de 400 kV, creșterile capacității neliniare determină modificări ale parcursu-

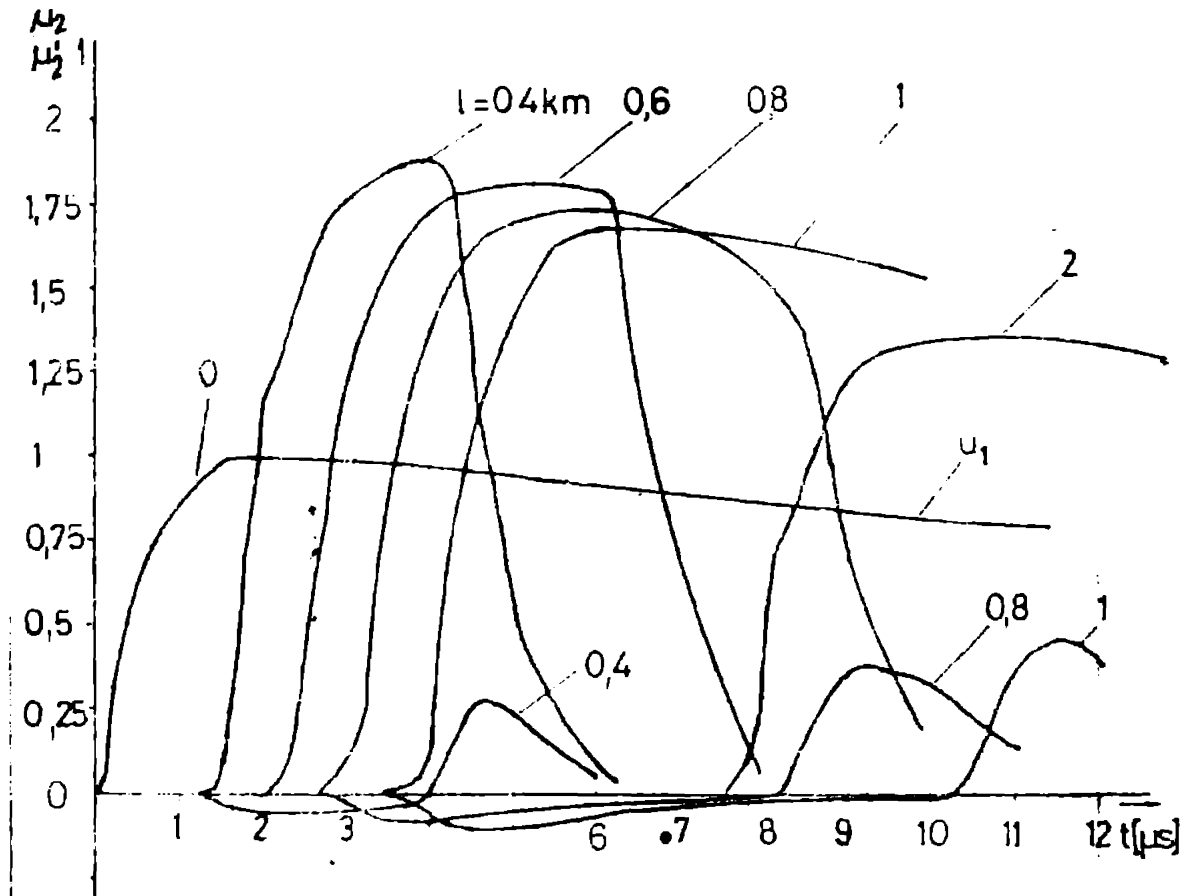


Fig.4.15. Supratensiunile proprii și induse pentru undă incidentă de tip B la linia de 400 kV

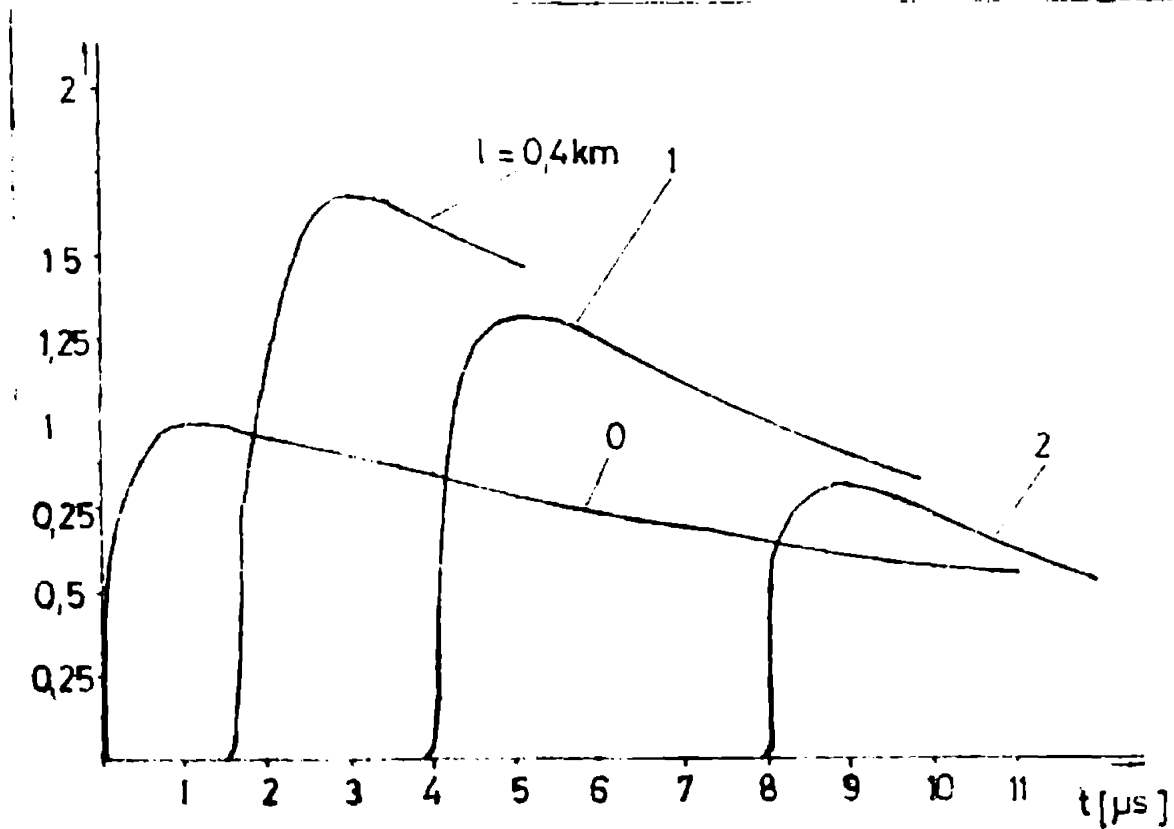


Fig.4.16. Supratensiunile la capătul terminal pentru o undă incidentă de tipul C

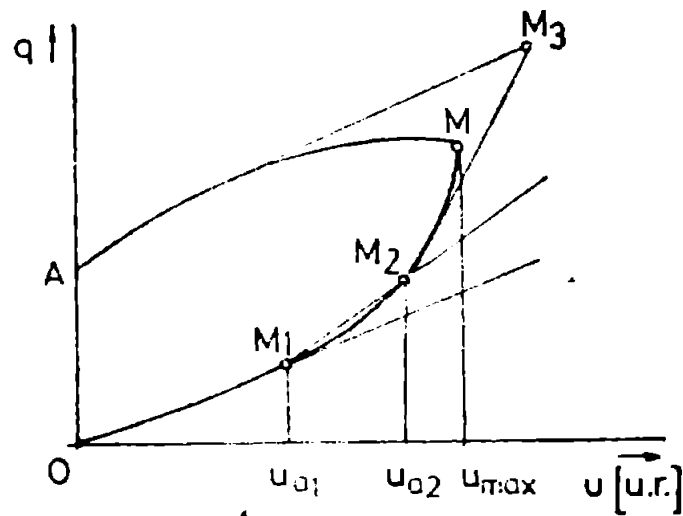


Fig.4.17. Liniarizarea pe porțiuni a caracteristicii $q=f(u)$ pentru efectul corona

lui liniei de :

$$\begin{aligned} \tau_{M_1 M_2} &= 1,18 \tau & 0,5 < u < 0,8 \\ \tau_{M_2 M} &= 1,3 \tau & 0,8 < u < u_{\max} \\ \tau_{M_3 A} &= \tau & \frac{du}{dt} < 0 \end{aligned} \quad (4.96)$$

Folosind același pas de calcul constant $\Delta t = \tau/15$ și aproximarea prin două liniarizări a caracteristicii $u=f(q)$ influența efectului corona este redată în fig.4.18.

Se observă două aspecte :

- scăderea supratensiunii la apariția descărcării corona mai sensibilă la lungimi mai mari ale liniei;
- programul de calcul redă descărcarea corona începînd de la valori mai mari ale supratensiunii față de valoarea determinată a amorșării acestui fenomen. Acest aspect este explicat prin pasul de calcul în timp prea mare ales, în consecință s-a micșorat acest pas la valoarea $\Delta t = \tau/20$ și s-au considerat linia rizarile pentru $q=f(u)$ cele calculate (4.96), lucru redat în fig.4.17.

Comparînd rezultatele din fig.4.18 cu cele din fig.4.19 rezultate redade pentru două cazuri în fig.4.20, se poate observa apropierea tensiunii la care apare efectul corona față de cea impusă în calculul $u_g = 0,5$, cît și micșorarea efectului corona asupra tensiunii reflectate. Această micșorare este înțeleasă în sensul că mărind numărul de liniarizări ale caracteristicii

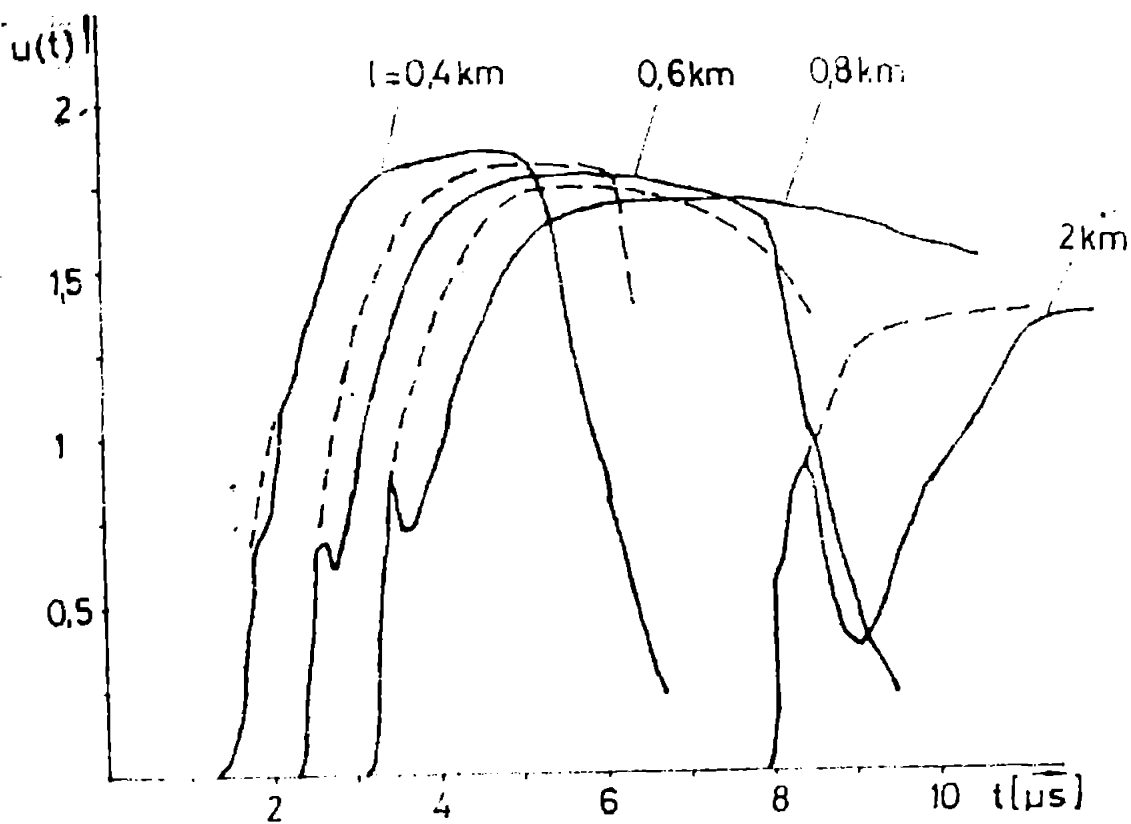


Fig.4.18. Supratensiunile terminale pentru unda incidentă de tip B considerînd efectul corona $u_a = 0,5$, $\Delta t = \tau/15$

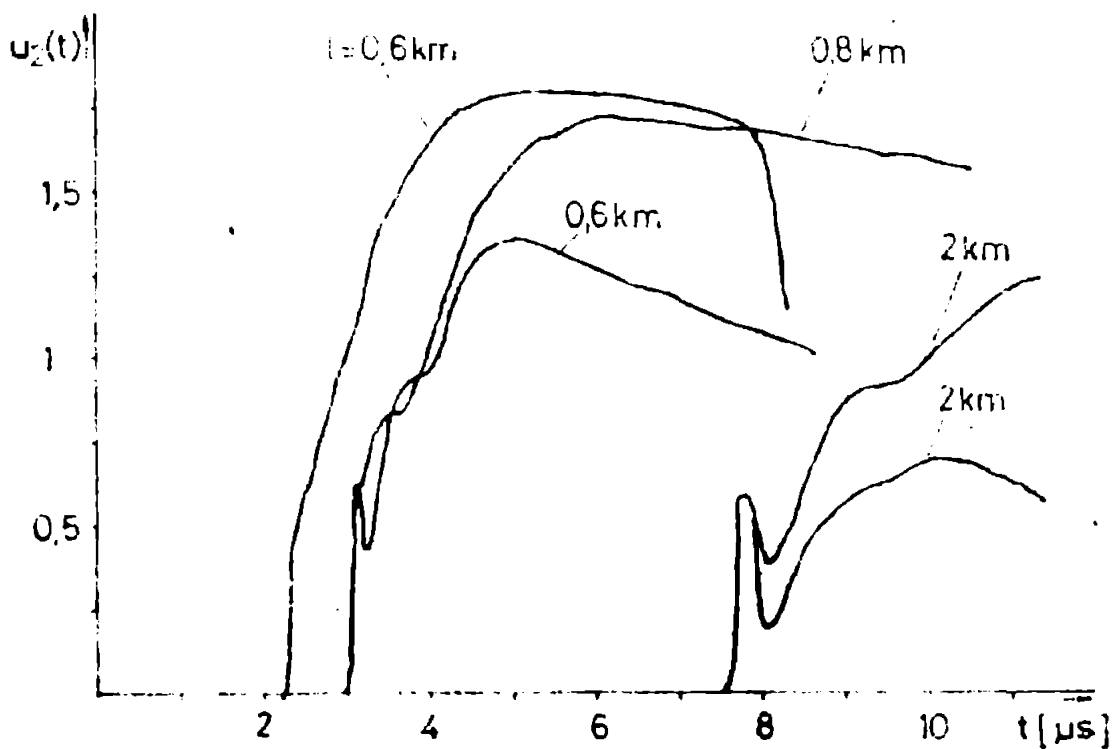
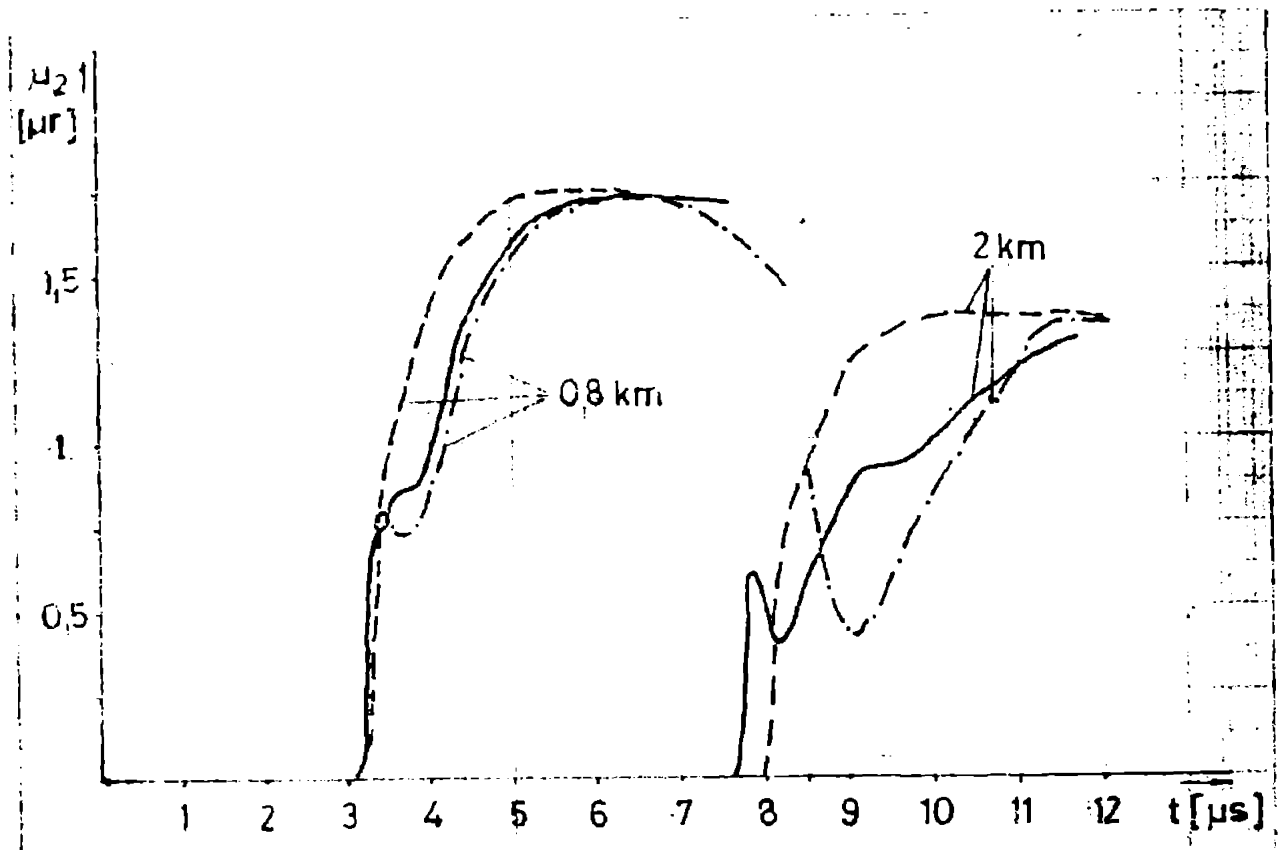


Fig.4.19. Supratensiunile terminale pentru unda incidentă de tip B și C considerînd descărcarea corona, $u_a = 0,5$, $\Delta t = \tau/20$

$q=f(u)$ incidența descărcării corona este redată treptat. De asemenea se desprinde importanța alegerii mărimii pasului de calcul Δt asupra rezultatelor atât calitativ, cât și cantita-



➤ Fig.4.20. Supratensiunile terminale pentru unda incidentă
 - de tip B comparative pentru: - - - fără efect corona și $\Delta t = \tau/15$, - . - cu efect corona și $\Delta t = \tau/15$
 - cu efect corona și $\Delta t = \tau/40$

tiv. Se recomandă această valoare la limita admisă de extinderea în timp a rulării programului de calcul. Pentru programul de calcul rulat, considerarea lui $\Delta t = \tau/15$ a necesitat 3,1 minute pentru o variantă de calcul investigând o durată de $100 \cdot \tau/15$, respectiv 4,2 minute, cu pasul $\Delta t = \tau/40$ și investigând o durată de $100 \cdot \tau/20$. Din figura 4.8 se mai remarcă importanța mai mare a pasului de calcul pentru lungimile mai mari ale liniei. Acest lucru se înțelege în sensul că păstrind constantă relația $\Delta t = \tau/20$, la lungimi mai mari ale liniei τ crește și deci și Δt .

4.6.4. Influența descărcătoarelor neliniare asupra undelor de supratensiune

Caracteristicile neliniare ale descărcătoarelor sînt date de obicei sub forma $u_x = f(i)$ /39/, /41-43/ unde u_x este tensiunea la bornele descărcătorului raportată la tensiunea no-

minală a acestuia. Caracteristicile nominale ale descărcătoarelor cu rezistență variabilă, DRV, folosite în țară sînt redacte în /23-24/, datele de interes pentru programul de calcul fiind redacte în tabelul 4.3.

Tabelul 4.3. Caracteristicile DRV folosite în RSF.

Tipul DRV	Proveniența	$U_{\text{nom}} / \text{kV}_{\text{ef}}$	Tens. de amorsare / $\text{kV}_{\text{ef.max}}$	Tens. reziduală / kV_{max}	Curent max. la sc.c. kA
HkFp361 420 kV	Brown Boveri	342	720-906	905	2,51
VA 390 420 kV	R.D. Germană	390	620	1020	2,62
H421-300 420 kV	Siemens	360	540-600	1010	2,59

La toate aceste DRV-uri se remarcă o caracteristică comună, constînd din faptul că tensiunea reziduală depășește pe cea de amorsare.

Pentru calculul tensiunii la bornele DRV-urilor, conform (4.84) s-a scris:

$$u_2(t) = u_{20}(t) - i(t) \cdot Z_u \quad (4.97)$$

Cum tensiunea $u_{20}(t)$ se calculează în unități raportate la maximul tensiunii incidente, este necesară trecerea lui (4.97) în unități relative :

$$\frac{u_2(t)}{u_{\text{max}}} = u_{20r}(t) - i(t) \cdot \frac{Z_u}{u_{\text{max}}} \quad (4.98)$$

În consecință, tuturor formelor undelor incidente B sau C din fig.4.15 și fig.4.16, care au valoarea maximă unitară, li se vor atribui valorile maxime uzuale pentru tensiunile atmosferice situate între 800-1200 kV. În consecință și tensiunile de amorsare a efectului corona, cît și de amorsare a DRV-ului, exprimate în valori relative vor avea diferite valori funcție de mărimea maximelor undelor incidente.

Forme ale neliniarității $u = f(i)$ pentru DRV luate în considerare în programul de calcul sînt redacte în fig.4.9 date pentru $u_{\text{max}} = 1000 \text{ kV}$.

De reținut un aspect fenomenologic constând din faptul că punctele de funcționare corespunzătoare primei linearizări a caracteristicii $u = f(i)$, când DRV are o valoare foarte mare a rezistenței electrice, nu apar în calcule, această porțiune fiind determinată de tensiuni sub valoarea celei de amorsare. DRV-ul fiind conectat la linia electrică prin eclatoare, el va interveni în circuit la depășirea tensiunii de amorsare a acestora, lucru care va trebui să se reflecte printr-o scădere bruscă a tensiunii incidente la momentul amorsării.

Subrutina de calcul care pune în evidență intervenția DRV-ului numită în programul de calcul TEN3, va rezolva căutarea succesivă a punctului de funcționare pe neliniaritatea $u = f(i)$ și ea este apelată în programul de calcul nr.6 "TR2".

Caracteristica $u=f(i)$ a fost luată în considerare de tipurile I și II notate în fig.4.21. Tipul I corespunde DRV-urilor utilizate în țară pentru liniile de 400 kV. În /41/, /49/ sînt redate caracteristicile $u=f(i)$ pentru descărcătoare construite din elemente de oxid de zinc, caracteristică notată cu II în fig. 4.21.

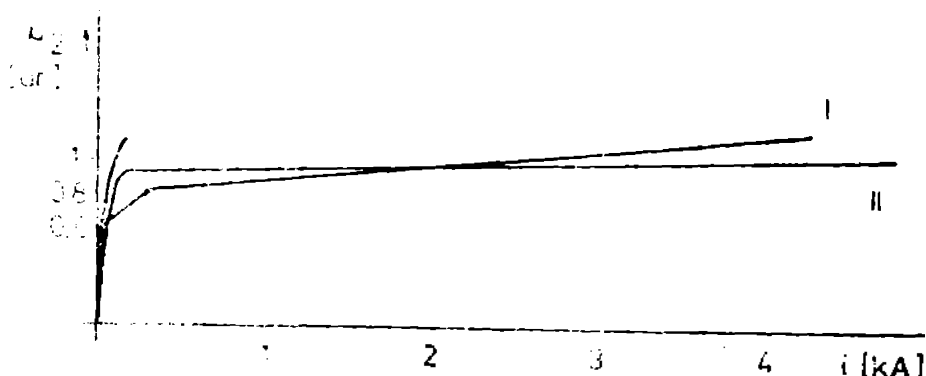


Fig.4.21. Tipuri de neliniarități considerate în calcul pentru descărcătoare

Pentru caracteristica efectului neliniar rezistiv al descărcării corona cu (4.74) s-a construit și reprezentat în fig.4.21 și dependența $u_r = f(i_r)$ notată cu III.

În funcție de tipul tensiunii incidente de valoarea maximă a acesteia, de valoarea tensiunii de apariție a efectului corona pentru prima și a doua linearizare a caracteristicii $u=f(u)$ etc și pentru tipul de caracteristică a descărcătorului, rezultatele

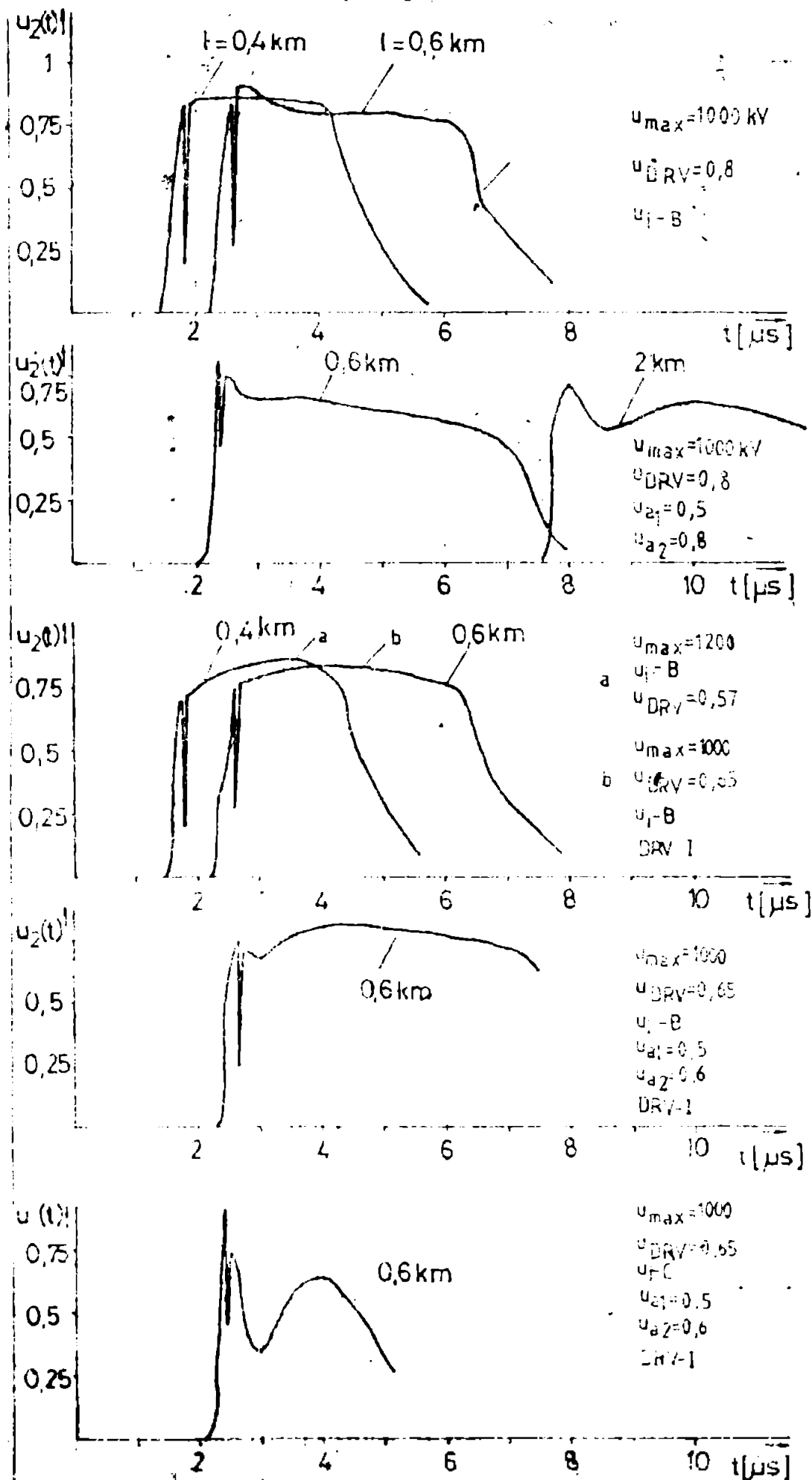


Fig.4.22. Tensiunea la bornele descărcătorului cu și fără efect corona pentru diverse unde incidente u_1 apărute la distanțele l .

de calcul se execută pentru variantele prezentate în tabelul 4.2.

Tabelul 4.2. Variantele de calcul rezolvate

Varianta de calcul	Val. maximă a undei incidente și tipul ei /kV/	Tensiunea de amorțire		Efectul corona rezistiv	Caracteristica descărcăt.
		treapta 1-a	treapta 2-a		
1	1000, B	-	-	-	I
2	1000, C	-	-	-	II
3	1000, B	500	800	-	II
4	1000, C	500	800	-	II
5	1000, B	500	600	da	I
6	1200, B	500	600	da	I

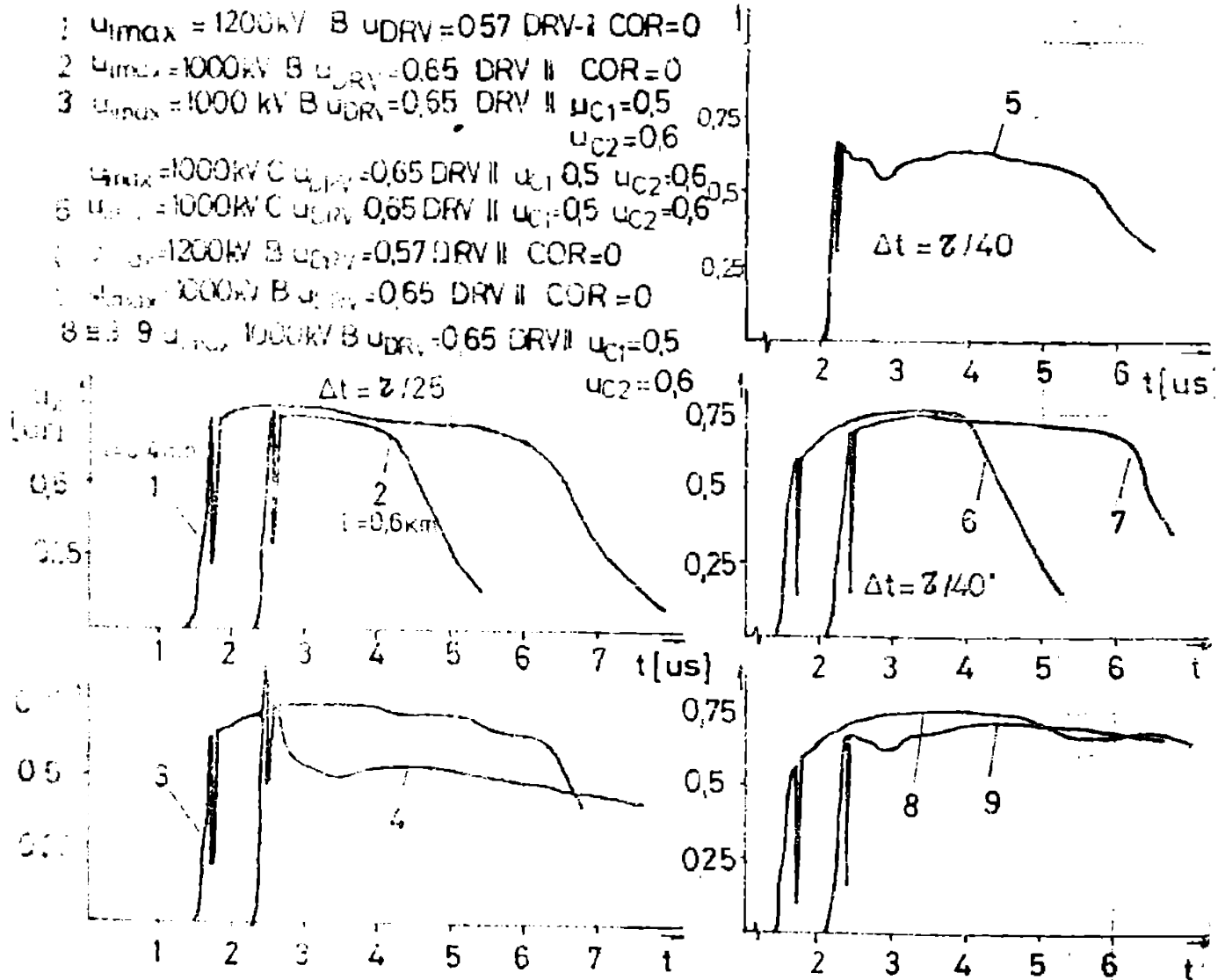


Fig.4.23). Tensiunea la bornele DRV-ului funcție de tipul tensiunii u_1 , a DRV-ului și a efectului corona

Considerarea simultană a efectului corona rezistiv și a descărcătorului se rezolvă prin echivalarea celor două caracteristici neliniare corespunzător legării în paralel a celor două elemente.

Rezultatele de calcul sînt redată în fig.4.22-4.23), în ultima reducîndu-se și valoarea pasului de calcul.

5. LINIE ELECTRICA AVIND CONECTAT LA CAPATUL TERMINAL REACTOR SUNT SI AUTOTRANSFORMA- TOR SUPUSA SUPRATENSIUNILOR INTERNE SAU EXTERNE

5.1. Introducere

In capitolul prezent autorul arată, în prima parte, posibilitățile de considerare prin scheme electrice echivalente a reactoarelor de compensare, numite și reactoare șunt, cât și a transformatoarelor și autotransformatoarelor. Se evidențiază și modalitățile de considerare a fenomenelor ce au loc în miezul feromagnetic ca saturație magnetică cât și pierderile prin curenți turbionari.

In partea a doua se prezintă un model matematic de calcul pentru determinarea supratensiunilor la capătul terminal al liniei când aici se află conectat un reactor șunt sau un autotransformator. Se deduc relații matematice de calcul pentru diferite tipuri de supratensiuni, externe sau interne, în condiții generale cu privire la dependența de frecvență a parametrilor lineici și caracteristici, cât și în condițiile unor aproximări acceptabile și enunțate în capitolele precedente.

In cazul supratensiunilor atmosferice se prezintă și cazul când la capătul terminal al liniei se află un descărcător de rezistență variabilă în paralel cu reactorul șunt sau cu autotransformatorul.

Ultima parte a capitolului este destinată rezultatelor de calcul concrete obținute.

5.2. Prezentarea schemelor electrice echivalente

5.2.1. Scheme electrice echivalente pentru reactoare de compensare

Reactorul transversal de compensare sau reactorul șunt are drept rol funcțional evitarea regimurilor de funcționare constând din slaba încărcare a liniilor electrice, cu urmări dezavantajoase asupra încărcării capacitive a generatoarelor electrice și asupra nivelului mărit al tensiunii pe linii. Locul lor de montare diferă ca poziție de-a lungul liniei, conectarea lor realizându-se direct la tensiunea liniei sau prin intermediul unor transformatoare. Puterea reactoarelor este de ordinul zecilor și sutelor de MVar depinzând de lungimea liniei electrice și de gradul de compensare dorit. Se realizează pe plan mon-

dial /53-55/ reactoare comandate funcționând în regim inductiv sau capacitiv funcție de încărcarea liniei, cât și reactoare cu saturația miezului magnetic.

Din punct de vedere al reducerii nivelului de tensiune de-a lungul liniilor electrice eficiența maximă se obține la montarea reactoarelor șunt la capătul liniei în gol.

Dimensionarea reactorului șunt se realizează din soluția ecuațiilor telegrafistilor punând condiția terminală corespunzătoare prezentei acestuia de putere Q_r , în forma:

$$\frac{U_2}{U_1} = \frac{1}{\cos \beta l} \frac{1}{1 + Z_u \cdot B_r \cdot \operatorname{tg} \beta l} \quad (5.1)$$

unde: l - este lungimea liniei

Z_u - impedanța de undă

β - constanta de defazare a liniei

B_r - susceptanța reactorului

Relația (5.1) a fost dedusă pentru cazul liniei fără pierderi considerând regimul permanent de funcționare.

Evidențind în (5.1) raportul tensiunilor în regimul fără compensare se poate scrie :

$$\frac{U_2}{U_1} = \left(\frac{U_2}{U_1 \text{ gol}} \right) \frac{1}{1 + Z_u \cdot B_r \cdot \operatorname{tg} \beta l} = k \quad (5.2)$$

unde prin k s-a notat gradul de compensare dorit.

Susceptanța reactorului va fi :

$$B_r = \frac{1}{Z_u} \frac{1 - k \cos \beta l}{k \sin \beta l} \quad (5.3)$$

Pentru $k=1$ se obține

$$B_r = \frac{1}{Z_u} \cdot \operatorname{tg} \frac{\beta l}{2} \text{ sau } Q_r = \frac{U_2^2}{Z_u} \operatorname{tg} \frac{\beta l}{2} \quad (5.4)$$

Gradele de compensare uzual folosite determină pentru k domeniul 0,8-1,2.

Realizarea practică a reactoarelor șunt cauzează prezența în schemele electrice echivalente și a unei rezistențe electrice corespunzătoare raportului $\frac{X_r}{R_r} = 5-10$.

Rezultă posibilitatea modelării reactorului șunt printr-o impedanță serie corespunzător valorilor calculate sau approximate a lui X_r și R_r /124/, /132/.

În prezenta lucrare autorul consideră mai adecvată repre-

zentarea reactorului șunt printr-o schemă electrică echivalentă cu cele două elemente conectate în paralel din următoarele motive:

- se poate realiza o separare distinctă a pierderilor active din miezul magnetic putând trata rezistența electrică corespunzătoare și ca un element dependent de frecvență,
- având conectată inductivitatea reactorului șunt la tensiunea de fază în schema electrică echivalentă se poate modela în calcule și fenomenul de saturație magnetică,
- modelul matematic prezentat în cap.4 poate fi extins pentru prima schemă echivalentă cu două elemente în paralel prin posibilitatea aplicării teoremelor compensației și superpoziției.

Pentru considerarea fenomenului de saturație magnetică se consideră schema electrică echivalentă din fig.5.1.

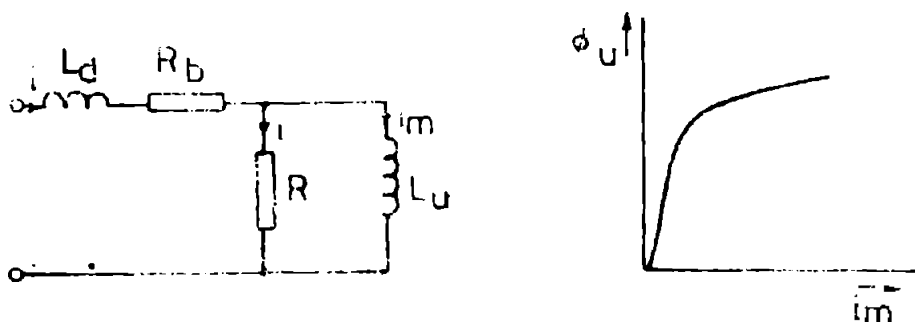


Fig.5.1. Schema electrică echivalentă reactorului șunt

Corespunzător fluxului de dispersie se separă inductivitatea de dispersie L_d , iar corespunzător fluxului util se evidențiază inductivitatea neliniară L_u . Dependența $\phi_u = f(i_m)$ se poate obține experimental, poziția punctului de funcționare pe această caracteristică determinând valoarea lui L_u .

Modelul matematic de calcul va considera reactorul șunt avind inductivitatea egală cu $L_r = L_d + L_u$, modificarea acesteia prin micșorarea lui L_u făcându-se în funcție de poziția punctului de funcționare pe caracteristica $\phi_u = f(i_m)$.

Rezistența electrică a bobinajului R_b poate fi neglijată în raport cu inductivitatea L_u , la fel și L_d . Rezistența electrică R corespunzătoare pierderilor active din miezul feromagnetic nu apare în calcule atunci când se neglijează aceste pierderi.

5.2.2. Scheme electrice echivalente pentru transforma- toare și autotransformatoare

Schemele electrice echivalente pentru transformatoare și autotransformatoare pun în evidență tipul constructiv al acestora, numărul de înfășurări și conexiunile electrice. Complexitatea schemelor este dictată și de tipul fenomenelor tranzitorii studiate cât și pretențiile ridicate față de precizia modelării fenomenelor.

Se disting modele fizice construite pe baza legilor similitudinii aplicate construcției unităților reale, modele ce vor fi folosite în metodele de analiză analogice de tipul analizoarelor tranzitorii de rețea /78-81/. Modelele numite geometrice reprezintă transformatorul real pe baza ecuațiilor lui Maxwell. Realizarea constructivă pe acest criteriu necesită materiale de conducibilitate electrică de 5-10 ori mai mare decât cele reale. În consecință modelele construite vor renunța la unele din criteriile similitudine care nu influențează direct tipul problemei studiate. Modelul electromagnetic reprezintă un circuit electric echivalent transformatorului real. Modelarea directă nu poate păstra convenabilă scara timpului. Pentru a putea totuși urmări fenomenele pe schema echivalentă se introduc capacități suplimentare, obținându-se astfel modelul electromagnetic combinat.

Se prezintă în acest paragraf principalele modele de calcul cuprinse în programe de calcul extinse asupra fenomenelor tranzitorii ce au loc în părțile componente ale sistemului electric având transformatoare și autotransformatoare.

O primă distincție între aceste reprezentări este aceea de a considera transformatorul printr-o schemă electrică echivalentă cu parametri concentrați sau cu parametri distribuiți. Aceasta din urmă variantă se adoptă în cazul studierii fenomenelor tranzitorii cu variație rapidă, când se dorește cunoașterea repartizării tensiunii pe spirele înfășurării în primele momente ale fenomenului /23/, /26/, /50/, /100-101/.

O a doua deosebire între modelele de calcul constă în considerarea sau nu a fenomenelor din miezul feromagnetic cu referire la curenții turbionari, fenomenul de histerezis și saturația magnetică.

Aceste din urmă considerente duc la modele de calcul complexe cu implicații deosebite asupra dezvoltărilor analitice de rezolvare /50/, /51/, /92/-/94/, /98/, /104/, /145-147/.

O schemă electrică de principiu pentru un autotransformator cu 3 înfășurări în secvență directă și homopolară cu înfășurarea terțiară în triunghi este redată în fig.5.2.

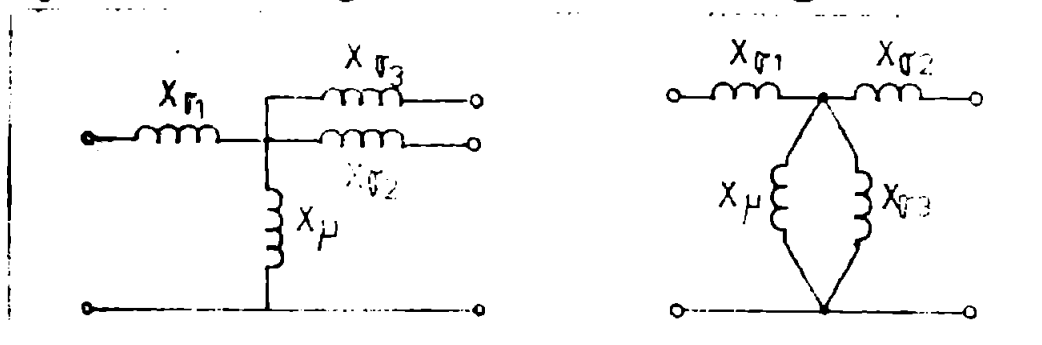


Fig.5.2. Schema electrică echivalentă pentru un autotransformator cu 3 înfășurări, a - secvența directă ; b - secvența homopolară

Schemele electrice echivalente din fig.5.2 pot fi completate cu o conductanță conectată la bornele de intrare de înaltă tensiune care va localiza pierderile active de putere din miezul feromagnetic și care va fi calculată din mărimile nominale ale autotransformatorului determinate la mersul în gol.

În cazul supertensiunilor de natură exterioară care pătrund în transformator, de-a lungul înfășurărilor acestuia se creează un proces de propagare oscilant, periculos pentru izolația dintre spirele înfășurării, cât și dintre spire și părțile metalice ale construcției ansamblului transformatoric. De asemenea este posibilă inducerea unui fenomen tranzitoriu și în celelalte înfășurări care nu au venit în contact direct cu sursa fenomenului tranzitoriu. Pentru a evidenția aceste fenomene transformatorul se va considera cu parametri repartizați după o schemă echivalentă ca în fig.5.3. /14/, /23/, /50/.

Semnificația parametrilor electrici din schema din fig.5.3

a, este

L_{sp} - inductivitatea unei spire

C_{sp} - capacitatea longitudinală între două spire alăturate

C'_p - capacitatea unei spire față de pământ

Dacă înfășurarea are n_{sp} parametri întregii înfășurări vor fi $L_{sp} = n_{sp} \cdot L_{sp}$, $C_p = n_{sp} \cdot C'_p$ și $K = \frac{C_{sp}}{n_{sp}}$.

Considerând un element de lungime Δx a înfășurării, de lungime l , fig.5.3.b, se pot scrie ecuațiile de propagare de tipul telegrafistilor după definirea parametrilor liniici /23/:

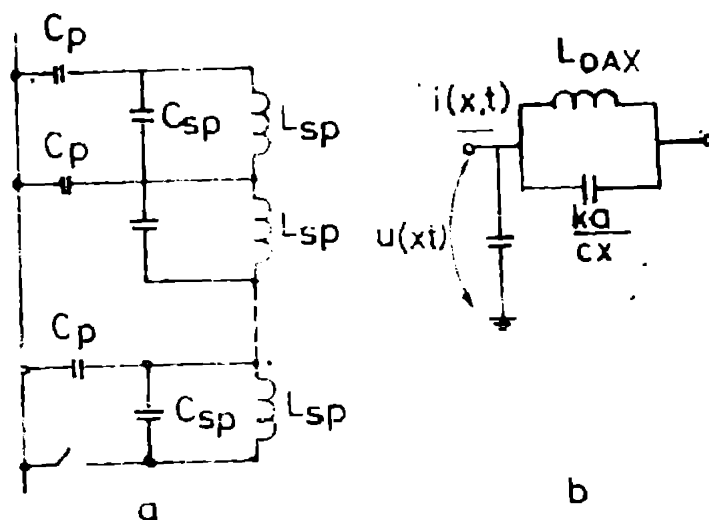


Fig. 5.3. Scheme echivalente de calcul monofazate

$$C_{Po} = \frac{C_{sp} \cdot n_{sp}}{1} = \frac{C_p}{1} \quad /F/m/ \quad (5.5)$$

$$K_o = \frac{1 \cdot K_{sp}}{n_{sp}} = K \cdot l \quad /V.m/$$

$$L_o = \frac{L_{sp} \cdot n_{sp}}{1} \quad /H/m/$$

Ecuația propagării tensiunii este o ecuație diferențială cu derivate parțiale liniară, de ordinul patru /23/./124/.

$$K_o \frac{\partial^4 u}{\partial x \partial t^2} + \frac{1}{L_o} \frac{\partial^2 u}{\partial x^2} = C_{Po} \frac{\partial^2 u}{\partial t^2} \quad (5.6)$$

Rezolvarea lui (5.6), trecută în operațional, îi corespunde pentru situația cu neutrul izolat soluția cunoscută:

$$U(x,p) = U_o(x,p) \frac{\text{ch } \gamma(p)x}{\text{ch } \gamma(p) \cdot l} \quad (5.7)$$

în care $\gamma^2(p) = \frac{L_o C_{Po} p^2}{1 + L_o K_o p^2}$

Se pot obține expresii echivalente și pentru valoarea curentului și în consecință există și posibilitatea reprezentării transformatorului printr-o impedanță operațională față de bornele de intrare.

Este posibilă reprezentarea transformatorului printr-o capacitate echivalentă, de intrare față de bornele înfășurării atunci când nu se urmărește desfășurarea fenomenului de propagare în interiorul transformatorului. Aceasta se calculează

/14/, /23/, /26/ :

$$C_{intr} = \sqrt{C_{p0} \cdot K_0} = \sqrt{C_p \cdot K} \quad (5.8)$$

Valorile acestei capacități sînt date funcție de puterea și tensiunea transformatoarelor și sînt cuprinse între 1500 pF și 3000 pF la tensiuni de 110 kV și 220 kV /14 /, /23/.

În calculele analitice din cap.5.3-5.6 , în schemele cu parametri concentrați, parametrii terminali liniei notați R_2 , L_2 , C_2 vor reprezenta valorile pentru reactoarele șunt sau autotransformatoare.

5.2.3. Considerarea caracteristicii de magnetizare a reactoarelor și autotransformatoarelor și a pierderilor în fier

Calculul supratensiunilor pe LEA avînd conectate la capătul terminal reactoare și autotransformatoare trebuie să țină cont și de fenomenele din miezul magnetic al acestor elemente. Rezultatele de calcul, confruntate cu cele experimentale, arată că fenomenul de hysterezis și pierderile active de putere din miezul magnetic nu au influențe notabile asupra mărimii supratensiunilor interne sau externe /93/-/94/, /98/, /105/.

Este însă de interes a urmări influența neliniarității caracteristicii de magnetizare asupra mărimii supratensiunilor.

În acest paragraf autorul își propune însă evidențierea posibilităților de considerare a modificării inductivității L_2 de la capătul terminal al liniei funcție de saturația caracteristicii de magnetizare. Micșorarea lui L_2 , în domeniul de saturație față de domeniul liniar al caracteristicii de magnetizare este determinată în /93/ pînă la 0,32 pentru cazurile materialelor feromagnetice uzuale la autotransformatoarele de forță. De aici rezultă și importanța cunoașterii dependenței inductivității funcție de curent sau a caracteristicii de magnetizare în valori instantanee $\psi=f(i)$. Avînd în vedere că dependența $\psi=f(i)$ nu determină univoc o dependență $u=f(i)$, u fiind tensiunea de la bornele inductivității, problema nu mai poate fi abordată ca în cazul rezistenței electrice neliniare prezentată în cap.4.5.

Sînt necesare următoarele etape de rezolvat :

1. determinarea curbei de saturație corecte, adică dependența dintre mărimile instantanee $\psi=f(i_m)$. Această precizare este necesară avînd în vedere că în unele articole de specialitate se lucrează cu valorile efective ale tensiunii de la bornele

inductivității funcție de curentul prin această inductivitate.

Dependența căutată $\psi = f(i_m)$ este cea corespunzătoare curbei medii a ciclurilor de hysterezis.

Pentru calcule analitice este de dorit obținerea unei dependențe de forma :

$$i = c_1 \cdot \psi + c_3 \psi^3 + c_5 \psi^5 + \dots \quad (5.9)$$

În /93/ pentru transformatoarele de forță se determină o aproximare satisfăcătoare de forma :

$$i = \psi + 4\psi^5 \quad (5.10)$$

Constantele c_1 și c_5 din (5.9) se determină prin scrierea condițiilor de aproximare prin puncte a curbei de magnetizare experimentale. În /103/ se prezintă o dependență a neliniarității astfel: $\psi = a \arctg \frac{i}{b}$. (5.11)

În /94/ și /98/ sînt redată două metode recursive de a obține o conversie a funcției $U=f(I)$ într-o dependență $\phi=f(i)$

Metoda este bazată pe generarea punct cu punct a lui $\phi=f(i)$ pentru puncte consecutive de pe $U=f(I)$ pentru care interpolarea liniară este acceptată. Caracterul particular al metodei constă în presupunerea formei sinusoidale a fluxului pe porțiunile liniarizate ale lui $U=f(I)$, U și I , fiind valorile efective corespunzătoare fundamentalelor tensiunii, respectiv curentului.

2. Etapa a doua constă în determinarea unei scheme electrice echivalente pentru inductivitatea neliniară funcție de forma acceptată a lui $\phi=f(i)$. Dependența general acceptată a lui $\phi=f(i)$ /92/-/94/ este redată în fig.5.4.

În fig.5.5 sînt redată scheme electrice echivalente pentru a pune în evidență neliniaritățile menționate pentru un model de transformator cu trei înfășurări.

Problema care se pune este de a determina cea mai adecvată conectare a impedanței neliniare de magnetizare față de înfășurările fazei. În literatură /94/, /98/, /101/, /104/ părerile sînt împărțite cu privire la modelul transformatorului care oglindește cel mai fidel apariția fenomenului de saturație. În lipsa cunoașterii unor detalii constructive ale transformatorului se recomandă /98/ de a distribui reactanța de magnetizare în mod egal față de capetele terminale ale înfășurărilor pentru transformatorul cu două înfășurări. Valoarea acestei reac-

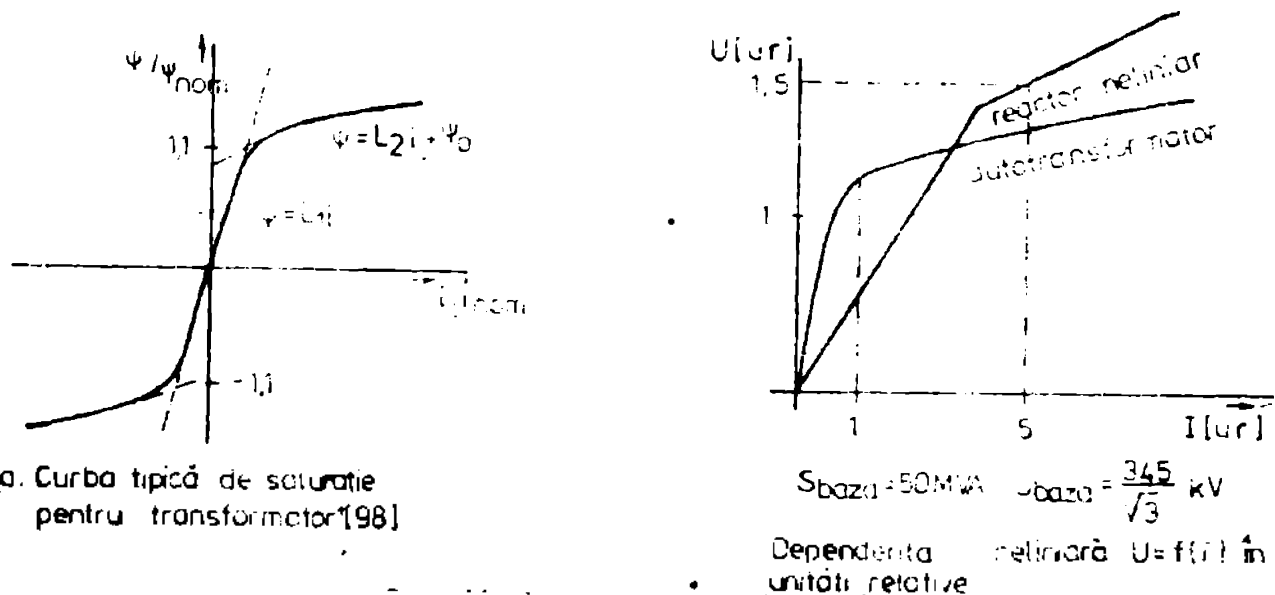


Fig.5.4. Modalități uzuale pentru considerarea saturației circuitului magnetic

tanțe determinată sub forma unei admitanțe este :

$$Y_{m1} = Y_{m2} = \frac{1}{2} \frac{S_0}{U^2} \quad (5.11)$$

unde S_0 este puterea la mersul în gol al transformatorului

$$S_0 = p_{Fe} - j \frac{I_0}{I_n} \cdot S \quad (5.12)$$

iar p_{Fe} sînt pierderile în fier, S puterea nominală, I_0 și I_n curentul la mers în gol, respectiv în sarcină nominală.

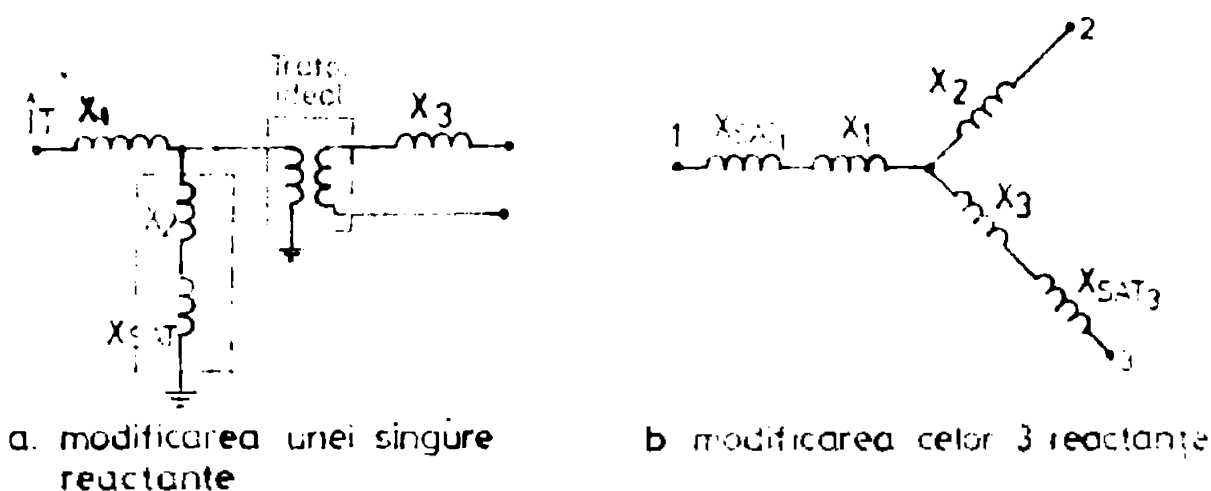


Fig.5.5. Modele pentru includerea saturației transformatoarelor

Cel puțin pentru autotransformatoare cu înfășurare terțiară se recomandă inserierea reactanței neliniare la înfășurarea cea mai apropiată de miezul transformatorului pe motiv că

pentru această înfășurare tensiunea de-a lungul înfășurării este proporțională cu fluxul prin miezul magnetic.

Este cazul din fig.5.5.a /94/. Inserirea unei reactanțe neliniare și la înfășurarea de înaltă tensiune, fig.5.5,b /98/ duce la apropieri mai mari față de rezultatele experimentale. Valorile X_1 sînt reactanțele înfășurărilor determinate din tensiunea de scurtcircuit, iar X_{sat} au valori negative determinate astfel ca să se pună în evidență neliniaritatea $\Phi=f(i)$ în regiunea saturației.

În /104/ sînt redată atît scheme echivalente, cît și valorile reactanțelor înfășurărilor unui transformator de 25 MVA, scheme echivalente incluzînd și fenomenul saturației prin reactan-

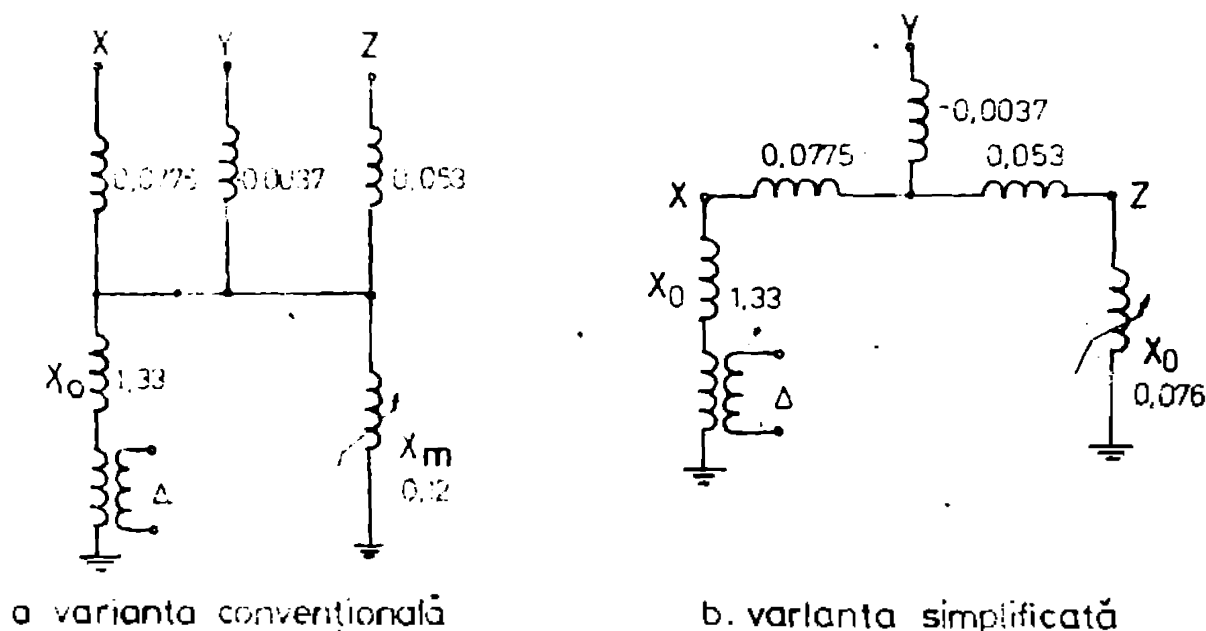


Fig.5.6. Scheme electrice echivalente pentru un transformator de 25 MVA

ța de magnetizare X_m , fig.5.6. Reactanțele înfășurării primare legate în stea sînt calculate din tensiunile de scurtcircuit, măsurate. Reactanța de magnetizare X_m a fost aleasă conform curbei de magnetizare $\Phi=f(i)$ ridicată experimental. Reactanța de secvență homopolară a fost determinată din caracteristica de magnetizare ridicată pentru regimul homopolar.

Schemele electrice echivalente prezentate în fig.5.5-5.6 corespund concluziilor bazate pe teoria circuitelor electrice cu corecții aduse de experimentările din sistemele fizice naturale. În /141/ este prezentat un model echivalent de calcul pentru transformarea electrică dedus direct din ecuațiile câmpului electromagnetic în regim evastacionar. Pără a insista în prezența metodei, amintind doar contribuția românească /142/ în

demonstrarea unor proprietăți de unicitate a vectorului potențial în exprimarea densității curentului electric prin miezul magnetic, concluzia demonstrației teoretice este ilustrată prin posibilitatea prezentării unui circuit electric echivalent care să illustreze fenomenele din miez.

Rezolvarea ecuațiilor diferențiale de pătrundere a câmpului magnetic, respectiv electric, de forma treptei unitate, aplicat unei tole laminate a miezului, permit definirea unei impedanțe, respectiv admitanțe a acestuia /141/ :

$$Z(p) = \frac{2}{\mu^2 \cdot \tau} \sum_{n=1}^{\infty} \frac{p \cdot L_{dc}}{p + \frac{(2n-1)^2}{4\tau}} \quad (5.13)$$

$$Y(p) = \frac{1}{pL_{dc}} + \sum_{n=1}^{\infty} \frac{\frac{2}{L_{dc}}}{p + \frac{n^2}{\tau}} \quad (5.14)$$

În expresiile scrise în transformată Laplace apar următoarele mărimi:

$$L_{dc} = \frac{\mu \cdot N^2 \cdot A \cdot B_m}{l} \quad \text{este inductivitatea pentru frecvențele joase}$$

$$\tau = \frac{\mu \sigma d^2}{4\pi^2} \quad \text{este constanta de timp}$$

unde: N este numărul de spire a înfășurării
 l este lungimea circuitului magnetic
 d este lățimea tolei laminate

A_{Fe} reprezintă aria transversală a miezului feromagnetic.

Relațiilor (5.13), (5.14) le corespund scheme electrice echivalente pentru transformator de tip serie, respectiv paralel. Pentru cel de al doilea caz reprezentarea este dată în fig.5.7.

Din (5.14) parametrii schemei echivalente sînt:

$$L_o = L_{dc} \cdot R_k = \frac{K^2 L_{dc}}{2\tau} \quad , \quad L_k = \frac{L_{dc}}{2} \quad , \quad L_o = L_{dc} \quad (5.15)$$

Din punctul de vedere al curenților turbionari, circuitul electric echivalent pune în evidență două aspecte:

- pierderile active de putere prin intermediul lui R_k . La frecvențe joase, rezistențele R_k depășesc ca valoarea reac-

tanțele, iar neglijându-le pe acestea din urmă în raport cu R_k rezultă posibilitatea reprezentării circuitului echivalent doar printr-o rezistență de valecare:

$$R_e = \frac{12 N^2 \cdot A R_k}{G \cdot d^2 \cdot l} \quad (5.16)$$

- limitarea pătrunderii fluxului variabil în miezul feromagnetic prin prezența inductivităților L_k . La frecvențe înalte rezultă posibilitatea neglijării rezistențelor R_k față de reactanțe.

Pentru a evidenția și saturația miezului feromagnetic, modelul din fig.5.7 poate considera neliniere toate inductivitățile, cu aproximația atribuirii aceleiași tip de caracteristică de saturație fiecărei inductivități.

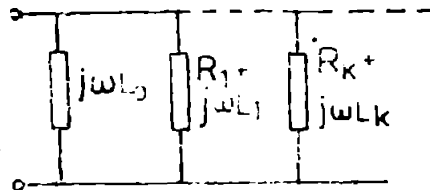


Fig.5.7. Schema electrică paralel pentru transformator

5.3. Calculul FKT pentru LEA cu condiție terminală inductiv -rezistivă. Soluția directă

5.3.1. Calculul în transformată Laplace

Pentru determinarea prin calcul a funcției de răspuns tranșitoriu FKT în cazul condiției terminale inductiv-rezistivă, autorul dezvoltă pentru această nouă condiție modelul matematic din cap.4.2 și 4.3. Pentru parametrii electrici terminali R_2 și L_2 , considerați conform unei scheme electrice echivalente în paralel, impedanța echivalentă va fi scrisă în transformată Laplace de forma:

$$Z_2(p) = \frac{R_2 \cdot L_2 p}{R_2 + pL_2} \quad (5.17)$$

Pentru tensiunea de intrare tip treaptă unitate, tensiunea terminală, conform cu relația (4.6) din cap.4.2 se rescrie astfel:

$$\text{FRT}(p) = \frac{1}{p} \left\{ \sum_{n=0}^{\infty} \delta^n \cdot \exp[-\gamma(p)(2n+1)l] - \sum_{n=0}^{\infty} \delta^{n+1} \cdot \exp[-\gamma(p)(2n+1)l] \right\} \quad (5.18)$$

$$\text{unde: } \delta = \frac{1 - \frac{Z_2(p)}{Z_u(p)}}{1 + \frac{Z_2(p)}{Z_u(p)}} = 1 - 2 \frac{Z_2(p)}{Z_u(p) + Z_2(p)} \quad (5.19)$$

Pentru impedanța de undă se adoptă forma (5.20), discutată în cap.2. :

$$Z_u(p) = \left(\frac{L}{C}\right)^{1/2} \left[1 + B_1 \cdot p^{-1/2} + B_2 \cdot p^{-1} - \frac{B_1 \cdot B_2}{p^{1/2}(p + B_1 \cdot p^{1/2} + B_2)} + \frac{B_3}{2(p + B_1 \cdot p^{1/2} + B_2)(p^{1/2} + c)} - \frac{B_2^2}{2p(p + B_1 \cdot p^{1/2} + B_2)} \right] \quad (5.20)$$

Forma (5.20) se va trata în calcule în mod distinct pentru componentele α, β, σ . Coeficienții B_1, B_2, B_3 și c au aceeași semnificație cu cea introdusă în cap.3. iar L și C sînt inductivitatea lineică, respectiv capacitatea lineică pentru linia electrică.

Introducînd (5.17) și (5.20) în (5.19) se obține :

$$\delta = 1 - 2 \frac{N_1 \cdot p^{7/2} + N_2 p^3 + N_3 p^{5/2} + N_4 \cdot p^2}{M_1 \cdot p^{7/2} + M_2 \cdot p^3 + M_3 p^{5/2} + M_4 p^2 + M_5 \cdot p^{3/2} + M_6 \cdot p + M_7 p^{1/2} + M_8} \quad (5.21)$$

Coeficienții polinomiali N_1 și M_1 din (5.21) au următoarele valori:

$$N_1 = F_2 \cdot L_2 \cdot L^{-1/2} \cdot C^{1/2}, \quad N_2 = F_2 L_2 (B_1 + c) L^{-1/2} \cdot C^{1/2}, \quad N_3 = F_2 L_2 (B_1 c + B_2) \cdot$$

$$L^{-1/2} \cdot C^{1/2},$$

$$N_4 = F_2 L_2 B_2 \cdot c \cdot L^{-1/2} \cdot C^{1/2}$$

$$M_1 = L_2 (1 + F_2 \cdot L^{-1/2} \cdot C^{1/2}), \quad M_2 = L_2 [B_1 + (B_1 + c) (1 + F_2 L^{-1/2} \cdot C^{1/2})]$$

$$M_3 = L_2 [B_2 + (B_1 c + B_2) (1 + F_2 L^{-1/2} \cdot C^{1/2}) + B_1 (B_1 + c)] + F_2$$

(5.22)

$$M_4 = L_2 \left[2B_2 c + B_1 (B_1 c + B_2) + F_2 B_2 c \cdot L^{-1/2} \cdot c^{1/2} + \frac{B_3}{2} \right] + 2F_2 B_1 + F_2 c$$

$$M_5 = L_2 \left(B_1 B_2 c + \frac{B_2^2}{2} \right) + 2F_2 (B_1 c + B_2) + B_1^2 \cdot F_2 ;$$

$$M_6 = L_2 \cdot \frac{B_2^2 c}{2} + B_1 F_2 (B_1 c + B_2) + 2F_2 B_2 c + F_2 \frac{B_3}{2} ;$$

$$M_7 = \frac{F_2 B_2^2}{2} ; M_8 = \frac{F_2 B_2^2 c}{2}$$

Cum expresia rațională a termenului al doilea din (5.21) poate fi adusă la o formă mai simplă prin împărțire, se obține în final :

$$\begin{aligned} d = & 1 - 2 \frac{F_2 \cdot L_2 \cdot L^{-1/2} \cdot c^{1/2}}{L_2 + F_2 L_2 \cdot L^{-1/2} \cdot c^{1/2}} - 2 \frac{(N_2 - \frac{N_1}{M_1} \cdot M_2) \cdot p^3 + (N_3 - \frac{N_1}{M_1} \cdot M_3) \cdot p^{5/2} +}{M_1 \cdot p^{7/2} + M_2 \cdot p^3 + M_3 \cdot p^{5/2} + M_4 \cdot p^2 + M_5 p^{3/2} +} \\ & + \frac{(N_4 - \frac{N_1}{M_1} \cdot M_4) \cdot p^2 - \frac{N_1}{M_1} \cdot M_5 \cdot p^{3/2} - \frac{N_1}{M_1} \cdot M_6 \cdot p - \frac{N_1}{M_1} \cdot M_7 \cdot p^{1/2} - \frac{N_1}{M_1} \cdot M_8}{M_6 \cdot p + M_7 \cdot p^{1/2} + M_8} \\ = & \frac{1 - F_2 \cdot L^{-1/2} \cdot c^{1/2}}{1 + F_2 \cdot L^{-1/2} \cdot c^{1/2}} - \frac{2}{L_2 (1 + F_2 \cdot L^{-1/2} \cdot c^{1/2})} \cdot \frac{(M_1 N_2 - N_1 M_2) p^3 +}{\sum_{i=1}^8 M_i \cdot p^{\frac{8-i}{2}}} \\ & \frac{(M_1 \cdot N_3 - N_1 M_3) p^{5/2} + (M_1 \cdot N_4 - N_1 M_4) p^2 - N_1 \cdot M_5 \cdot p^{3/2} - N_1 M_6 p - N_1 M_7 \cdot p^{1/2} - N_1 M_8}{(5.23)} \end{aligned}$$

Pentru că în (5.23), termenul al doilea are la numărător coeficienții polinomiali exprimați toți funcție de $N_1 - N_4$ și cum acestea, conform lui (5.22), îl conțin toți pe L_2 se poate obține în final expresia :

$$\begin{aligned} d = & P_1 - P_2 \frac{\sum_{i=1}^3 (M_i \cdot N_{i+1} - N_i \cdot M_{i+1}) \cdot p^{\frac{7-i}{2}} - N_i \sum_{i=4}^7 M_{i+1} \cdot p^{\frac{7-i}{2}}}{\sum_{i=1}^8 M_i \cdot p^{\frac{8-i}{2}}} \\ = & P_1 + F_2 \frac{\varphi_1(p^{1/2})}{\varphi_2(p^{1/2})} \end{aligned} \quad (5.24)$$

unde:

$$P_1 = \frac{1 - R_2 \cdot L^{-1/2} \cdot C^{1/2}}{1 + R_2 \cdot L^{-1/2} \cdot C^{1/2}}, \quad P_2 = \frac{2R_2 L^{-1/2} \cdot C^{1/2}}{1 + R_2 \cdot L^{-1/2} \cdot C^{1/2}} \quad (5.24)$$

cu relația $P_1 + P_2 = 1$ și $N_1' = \frac{N_1}{R_2 L_2 \cdot L^{-1/2} \cdot C^{1/2}} \quad (5.25)$

Înlocuind forma finală (5.24) în (5.19) se obține relația de calcul a FRT astfel:

$$FRT(p) = \frac{1}{p} \left\{ \sum_{n=0}^{\infty} (C_1 + C_2 \frac{\varphi_1}{\varphi_2})^n - \sum_{n=0}^{\infty} (C_1 + C_2 \cdot \frac{\varphi_1}{\varphi_2})^{n+1} \right\} \exp[-\gamma(p)(2n+1)l] \quad (5.26)$$

unde $\varphi_1(p^{1/2}) = B_1 \cdot p^3 + (B_1^2 c + B_2 + \frac{R_2}{L_2}) p^{5/2} + (B_1 B_2 + B_2 c + B_1^2 c + \frac{B_3}{2} +$
 $+ \frac{2R_2 \cdot B_1 + R_2 c}{L_2}) p^2 + (B_1 B_2 c + \frac{B_2^2}{2} + \frac{2B_1 R_2 c + 2R_2 B_2 + B_1^2 R_2}{L_2}) p^{3/2} +$

$$+ M_6' \cdot p + M_7' \cdot p^{1/2} + M_8' \quad (5.27)$$

și $\varphi_2(p^{1/2}) = \sum_{i=1}^8 M_i' \cdot p^{\frac{8-i}{2}}$ cu $M_1' = \frac{M_1}{L_2} \quad (5.28)$

Dezvoltând acum binomialele din (5.26) după puterile lui n și reținând numai termenii de puterea 1 și zero se obține (5.29) folosind și (5.25):

$$FRT(p) = P_2 \left\{ \sum_{n=0}^{\infty} \left[P_1^n \cdot \frac{\exp[-\gamma(p)(2n+1)l]}{p} + P_1^{n-1} (nP_2 - P_1) \frac{\varphi_1}{\varphi_2} \cdot \frac{\exp[-\gamma(p)(2n+1)l]}{p} \right] - \frac{P_2}{2} \left\{ \sum_{n=0}^{\infty} \left[(-1)^n P_1^n \cdot FRT_{gn}(p) + (-1)^n \cdot P_1^{n-1} (nP_2 - P_1) \frac{\varphi_1}{\varphi_2} FRT_{gn}(p) \right] \right\} \right\} \quad (5.29)$$

Transformările ajutătoare au fost făcute pentru a pune în evidență funcția de răspuns tranzitoriu pentru linia în gol, notată în (5.29) cu FRT_{gn} .

Se obține astfel principal aceeași formă pentru FRT ca pentru cazul condiției terminale rezistive tratată în cap.4. Particularitatea constă acum că polinoamele φ_1 și φ_2 sînt de gradul 3, respectiv 7/2 în p , sau 6 și 7 în $p^{1/2}$ față de gradele 3 și 4 în cazul condiției terminale rezistive. De aceea coeficienții M_i conțin și parametrul L_2 . Forma (5.29) poate ob-

ține, ca un caz particular, condiția terminală rezistivă pentru $L_2 \rightarrow \infty$ exprimată în (5.14).

$$\lim_{L_2 \rightarrow \infty} \frac{\varphi_1(p^{1/2})}{\varphi_2(p^{1/2})} = \lim_{L_2 \rightarrow \infty} \frac{\sum_{i=1}^3 (M_1 \cdot N_{i+1}^{i+1} - N_1^i \cdot M_{i+1}) \cdot p^{\frac{7-i}{2}} - N_1^7 \sum_{i=4}^7 M_{i+1} \cdot p^{\frac{7-i}{2}}}{\sum_{i=1}^8 M_1 \cdot p^{\frac{8-i}{2}}} =$$

$$= \frac{\sum_{i=1}^3 (M_1^i \cdot N_{i+1}^i - N_1^i \cdot M_{i+1}^i) p^{\frac{7-i}{2}} - N_1^7 \cdot \frac{5}{2} p^{3/2}}{\sum_{i=1}^5 M_1^i p^{\frac{8-i}{2}}} \quad (5.30)$$

unde $K_1^i = \frac{k_1}{L_2}$

Relația (5.14) pune în evidență că toți coeficienții M_i care nu-l conțin pe L_2 , cazul lui M_6-M_8 , vor dispărea din sumă când $L_2 \rightarrow \infty$. Efectuând calculele algebrice se obține în final:

$$\lim_{L_2 \rightarrow \infty} \frac{\varphi_1(p^{1/2})}{\varphi_2(p^{1/2})} = \frac{\sum_{i=0}^3 X_i p^{i/2}}{\sum_{i=0}^4 Y_i \cdot p^{i/2}} \quad (5.31)$$

unde: $X_0 = \frac{B^2}{2} + B_1 B_2 c$

$$X_1 = B_1^2 c + B_1 B_2 + B_2 c + \frac{B_3}{2}$$

$$X_2 = B_1^2 + B_1 c + B_2 + \frac{R_2}{L_2}$$

$$X_3 = B_1 \quad (5.32)$$

$$Y_0 = B_1 B_2 c + \frac{B^2}{2}$$

$$Y_1 = B_1 B_2 + 2B_2 c + B_1^2 c + R_2 B_2 c L^{-1/2} c^{1/2} + \frac{B_3}{2}$$

$$Y_2 = (B_1 c + B_2) (1 + R_2 L^{-1/2} c^{1/2}) + B_1 (B_1 + c) + B_2$$

$$Y_3 = B_1 + (B_1 + c) (1 + R_2 L^{-1/2} c^{1/2})$$

$$Y_4 = 1 + R_2 L^{-1/2} c^{1/2}$$

În acest mod se regăsește problema rezolvării în cap.4 cu privire la calculul FRT pentru condiție terminală rezistivă.

Analizând (5.27) se observă dificultatea mare de calcul în determinarea originalului termenului al doilea pe motivul calculului unor sume de integrale cu limite de integrare variabile corespunzătoare.

punzătoare produsului Borel.

În aceste condiții se pune în evidență faptul că în conformitate cu cap.2.6 analiza variației impedanței de undă în raport cu frecvența a arătat modificări reduse ale acesteia. În consecință nu este o eroare mare acceptarea constantei impedanței de undă.

Influența parametrilor lineici datorate modificării frecvenței și prezenței solului este ilustrată în termenul FRT_g , analizată în cap.3, și luată în discuție în (5.29). În aceste condiții (5.19) devine:

$$\begin{aligned} \delta &= 1-2 \frac{z_2(p)}{z_u + z_2(p)} = 1-2 \frac{\frac{pR_2 L_2}{R_2 + pL_2}}{L^{1/2} \cdot C^{-1/2} + \frac{pR_2 L_2}{R_2 + pL_2}} = \frac{L^{1/2} \cdot C^{-1/2} \cdot R_2}{R_2 + L^{1/2} \cdot C^{-1/2}} + \\ &+ 2 \frac{R_2^2 L_2 L^{1/2} \cdot C^{-1/2}}{R_2 L^{1/2} \cdot C^{-1/2} + pL_2 (R_2 + L^{1/2} \cdot C^{-1/2})} = P_1 + P_2 \frac{1}{1 + pL_2 (L^{-1/2} \cdot C^{1/2} + R_2^{-1})} \end{aligned} \quad (5.33)$$

$$\text{unde: } P_1 = \frac{1 - R_2 \cdot L^{-1/2} \cdot C^{1/2}}{1 + R_2 L^{-1/2} \cdot C^{1/2}} \quad \text{și } P_2 = \frac{2 \cdot L^{-1/2} \cdot C^{1/2}}{1 + R_2 \cdot L^{-1/2} \cdot C^{1/2}} \quad (5.34)$$

Comparînd (5.16) și (5.17) cu (5.8) pentru relația finală (5.13) rezultă:

$$FRT(p) = \frac{P}{2} \left\{ \sum_{n=0}^{\infty} [(-1)^n \cdot P_1^n \cdot FRT_{gn}(p) + (-1)^n \cdot P_1^{n-1} (nP_2 - P_1) \frac{1}{1+pT} FRT_g(p)] \right\} \quad (5.35)$$

$$\text{unde } T = L_2 (L^{-1/2} \cdot C^{1/2} + R_2^{-1})$$

În acest fel se poate determina acum originalul expresiei complete (5.29) și a celei simplificate (5.35).

5.3.2. Determinarea expresiei FRT în domeniul timpului

Pentru comparație, autorul prezintă calculul în domeniul timpului a ambelor forme obținute anterior (5.13) și (5.18), pentru a putea avea disponibilă o metodă accesibilă de calcul în condițiile unor aproximații acceptabile.

Originalul lui (5.29) a fost abordat și rezolvat în cap.4.2 și dezvoltarea lui este redată în (5.36)

$$FFT(t) = FFT_{gm1}(t) + \int_0^t \psi(t-\theta) \cdot FFT_{gm2}(\theta) d\theta \quad (5.36)$$

unde $FFT_{gm1}(t) = \sum_{n=0}^{\infty} \frac{P_2}{2} (-1)^n \cdot P_1^n \cdot FFT_{gn}(t-\zeta_n)$

$$FFT_{gm2}(t) = \sum_{n=0}^{\infty} \frac{P_2}{2} (-1)^n \cdot P_1^{n-1} (nP_2 - P_1) \cdot FFT_{gn}(t-\zeta_n)$$

$$\zeta_n = t - (2n+1)L^{1/2} \cdot C^{-1/2} \cdot l$$

$\psi(t)$ este originalul funcției raționale $\frac{\varphi_1(p^{1/2})}{\varphi_2(p^{1/2})}$ care

se obține cu dezvoltările prezentate în cap.4.3.

Modul efectiv de calcul va avea următoarea succesiune:

1. Pentru valoarea curentă de calcul t se determină numărul parcurșurilor de undă n , obținut din condiția

$$t - (2n+1)L^{1/2} \cdot C^{-1/2} \cdot l \geq 0 \quad (5.37)$$

2. Se calculează primul termen a lui (5.34) prin însumarea termenilor răspunsului tranzitoriu al liniei în gol, termeni corecți fiecare cu coeficienții $(-1)^n \frac{P_2}{2} \cdot P_1^n$. Suma se face pînă la valoarea n anterior determinată. Deci în programul de calcul "LGOL" prezentat în cap.3 se rescrie fiecare termen component al răspunsului tranzitoriu al liniei cu corecția menționată. Cum valorile coeficienților P_1 și P_2 sînt aceleași ca în cazul liniei cu condiție terminală rezistivă, primul termen din (5.19) prezintă de fapt tensiunea terminală în lipsa condiției inductive, dar cu specificația că acest calcul este valabil cînd R_2 este mare, peste $1 \text{ k}\Omega$. Acest aspect a fost abordat și rezolvat în cap.4.3.
3. Alegînd pasul de investigație a fenomenului tranzitoriu Δt de aceeași valoare cu pasul de timp $\Delta \theta$ necesar calculului numeric al integralelor corespunzătoare produselor de convoluție, se va putea folosi ulterior funcția $\psi(\theta)$ ca un tablou memorat pentru valorile discrete ale timpului, la fiecare pas i al calculului.

Se completează astfel cu (5.38) tabloul menționat .

$$\psi(i \cdot \Delta t) = \sum_{k=1}^{n_{prc}} \frac{A_k}{(\pi \cdot i \cdot \Delta t)^{1/2}} \left(1 + \frac{a_k}{(a_k^2 + b_k^2)^{1/2}} \cdot S_a + \frac{b_k}{(a_k^2 + b_k^2)^{1/2}} \cdot S_b \right) -$$

$$- \frac{B_k}{(\pi \cdot 1 \cdot \Delta t)^{1/2}} \left(\frac{b_k}{(a_k^2 + b_k^2)^{1/2}} S_c - \frac{a_k}{(a_k^2 + b_k^2)^{1/2}} \cdot S_s \right) \quad (5.38)$$

Mărimile A_k , B_k , a_k , b_k , S_c și S_s au aceeași semnificație și formă determinate în cap.4.2, însumarea făcându-se acum pînă la numărul de perechi de rădăcini complexe, nprc, a lui $\varphi_2(p^{1/2})$, acesta fiind acum de gradul 7 conform lui (5.24). Rădăcinile lui φ_2 de forma $a_k + jb_k$ se determină prin metode numerice prin apelarea subrutinei "POKAB" din biblioteca matematică a calculatorului.

4. Pentru calculul celui de al doilea factor din produsul de convoluție al termenului al doilea din (5.36) fiecare termen al funcției de răspuns tranzitoriu pentru linia în gol se înmulțește cu $(-1)^n \cdot P_1^{n-1} (nP_2 - P_1) \cdot \frac{P_2}{2}$ obținându-se termeni componenți care vor interveni separat în efectuarea integralei. Acești termeni se calculează pentru fiecare treaptă de timp $i \cdot \Delta t$ obținându-se sub formă tabelată și reținută în memoria calculatorului.

5. Se calculează numeric, prin metoda trapezelor, integralele corespunzătoare din (5.34) prin apelarea valorilor memorate ale funcțiilor $\psi(i \cdot \Delta t - k \cdot \Delta \theta)$ și $FIT_{gm2}(k \cdot \Delta \theta)$ cu $k = \frac{z}{\Delta \theta}, \dots, 1$ $\Delta t = \Delta \theta$, z fiind timpul de parcurs al liniei, iar pentru $\theta < z$ $FIT_{gm2} = 0$. Valorile pașilor de integrare $\Delta \theta$ și de investigație Δt au fost alese ca submultipli a lui z .

6. Valorile particulare a lui P_1 și P_2 pentru condiția $L_2 > L^{1/2} C^{-1/2}$ duc la obținerea de valori negative pentru termenul al doilea din (5.36), lucru care corespunde sensului fizic al fenomenului tranzitoriu. Din (5.25) se observă că P_1 are semnificația unui coeficient de reflexie aplicat fiecărei componente a FIT_{gn} , termenul al doilea din (5.35) punând în evidență și prezența inductivității L_2 .

În cazul simplificărilor introduse de relațiile (5.33) și (5.34) originalul funcției căutate se determină mult mai simplu.

Pentru (5.35) originalul este:

$$FRT(t) = FIT_{gm1}(t) + \frac{1}{T} \int_0^t \exp\left(-\frac{t-\theta}{T}\right) FIT_{gm2}(\theta) \cdot d\theta =$$

$$= FIT_{gm1}(t) + \frac{1}{T} \exp\left(-\frac{t}{T}\right) \int_0^t \exp\left(\frac{\theta}{T}\right) FIT_{gm2}(\theta) d\theta \quad (5.39)$$

unde prin FRT_{gm1} s-a notat funcția de răspuns tranzitoriu a liniei în gol cu prima modificare, obținută prin înmulțirea fiecărui termen cu $(-1)^n \cdot P_1^n \cdot \frac{P_2}{2}$, iar FRT_{gm2} este calculată din aceeași funcție prin multiplicarea fiecărui element cu $(-1)^n \cdot P_1^{n-1} \cdot \frac{2}{2} \cdot (nP_2 - P_1)$.

De remarcat că (5.39) oferă funcția de răspuns tranzitoriu pentru condiția terminală inductiv-rezistivă cu cei doi parametri electrici considerați legați în paralel, calculată din primul termen care nu este influențat deloc de mărimea inductivității L_2 , din care se scade un al doilea termen influențat de R_2 și L_2 prin termenul T.

Algoritmul de calcul urmează aceeași succesiune de principiu prezentată anterior, dar cu marea simplificare că numai este necesar calculul lui $f(t)$ cu (5.38), această funcție fiind înlocuită cu o exponențială.

În (5.39) al doilea termen are valori negative pe motivația dată la punctul 6 al modelului de calcul anterior prezentat.

5.4. Calculul FRT pentru LEA cu condiție terminală inductiv-rezistivă. Aplicarea teoremei Thévenin

5.4.1. Calculul în transformată Laplace

Pentru LEA trifazată, după decuplarea fazelor printr-o transformată de tip Clarke, pentru parametrii electrici ai liniei scriși în transformată Laplace, se poate aplica pentru fiecare secvență teorema Thévenin /26/.

Pentru schema electrică echivalentă cu R_2 și L_2 în paralel, se poate scrie pentru o porțiune liniarizată :

$$I_{2L}(p) = \frac{U_{2R}(p)}{Z_1(p) + pL_2} \quad (5.40)$$

$$\text{sau } U_2(p) = U_{2R}(p) - I_{2L}(p)Z_1(p)$$

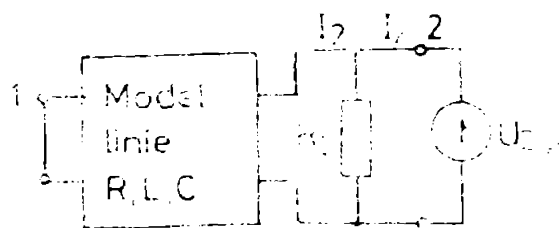
unde I_{2L} este curentul prin inductivitatea L_2

$U_{2R}(p)$ este tensiunea la bornele rezistenței R_2 în condiția absenței lui L_2

Z_1 este impedanța de intrare față de bornele 2 pentru linia scurtcircuitată.

Impedanța de intrare Z_1 , având în vedere posibilitatea reprezentării liniei printr-un cuadripol simetric și reciproc se ob-

ține din soluția ecuațiilor telegrafistilor scrisă de forma (5.41) pentru fig.5.8.



$$\begin{aligned} U_2(p) &= U_1(p) \operatorname{ch} \gamma(p) l + I_1(p) \cdot Z_u \cdot \operatorname{sh} \gamma(p) l \\ I_2(p) &= I_1(p) \operatorname{ch} \gamma(p) l + \frac{U_1(p)}{Z_u} \cdot \operatorname{sh} \gamma(p) l \end{aligned} \quad (5.41)$$

Fig.5.8. Definierea impedanței Z_1

$$Z_1(p) = \frac{U_2(p)}{I_2(p)} \quad \text{sau} \quad Y_1(p) = \frac{I_2(p) + \frac{U_2(p)}{R_2}}{U_2(p)} = Y_{1L}(p) + \frac{1}{R_2} \quad (5.42)$$

Folosind (5.40), iar (5.41) scriind-o pentru condiția de scurt-circuit $U_1(p) = 0$ se obține:

$$\begin{aligned} Y_1(p) &= \frac{I_1(p) \cdot \operatorname{ch} \gamma(p) l}{I_1(p) \cdot Z_u \cdot \operatorname{sh} \gamma(p) l} + \frac{1}{R_2} = \frac{1}{Z_u} \operatorname{cth} \gamma(p) l + \frac{1}{R_2} \quad (5.43) \\ \text{sau } Z_1(p) &= \frac{1}{Y_1(p)} = \frac{R_2 \cdot Z_u \operatorname{th} \gamma(p) l}{R_2 + Z_u \operatorname{th} \gamma(p) l} \end{aligned}$$

Pentru valorile foarte mari ale lui R_2 , (5.43) se poate aproxima cu (5.44), iar pentru linia fără pierderi cu (5.45)

$$Z_1(p) = Z_u(p) \operatorname{th} \gamma(p) l \quad (5.44)$$

$$Z_1(p) = Z_u \operatorname{th} \gamma(p) l = L^{1/2} \cdot C^{-1/2} \operatorname{th} p(LC)^{1/2} \quad (5.45)$$

Înlocuind acum (5.44) în (5.40) se obține succesive:

$$\begin{aligned} U_2(p) &= U_{2R}(p) - I_{2L}(p) \cdot Z_u(p) \operatorname{th}[\gamma(p) l] = \quad (5.46) \\ &= U_{2R}(p) - \frac{U_2(p)}{pL_2} \cdot Z_u(p) \cdot \operatorname{th}[\gamma(p) \cdot l]. \end{aligned}$$

sau

$$U_2(p) = U_{2R}(p) \frac{pL_2}{pL_2 + Z_u(p) \operatorname{th}[\gamma(p) l]} \quad (5.47)$$

Asupra formei generale (5.47) se pot face următoarele

observații particulare:

1. Cazul liniei fără pierderi

Pentru linia fără pierderi caracterizată prin (5.48) relația

$$Z_u = L^{1/2} \cdot C^{-1/2} \quad \text{și} \quad \gamma(p) = p(LC)^{1/2} \quad (5.48)$$

generală (5.47) devine (5.50) după dezvoltarea în serie a lui (5.49)

$$\text{th}[p(LC)^{1/2}l] = p(LC)^{1/2}l - \frac{[p(LC)^{1/2}l]^3}{3} + \frac{[p(LC)^{1/2}l]^5}{15} \quad (5.49)$$

$$U_2(p) = U_{2F}(p) \frac{1}{1 + D_1 + p^2 D_2 + p^4 D_3 + \dots} \quad (5.50)$$

$$\text{unde } D_1 = \frac{L}{L_2} \cdot l, \quad D_2 = -\frac{L^2 \cdot C \cdot l^3}{3L_2}, \quad D_3 = \frac{L^3 C^2 l^5}{15 \cdot L_2}$$

Având în vedere ordinul de mărime al inductivității și capacității lineice unitare, adică 10^{-3} respectiv 10^{-8} , în (5.50) se pot neglija termenii în p de grad mai mare ca doi.

În cazul studierii fenomenelor tranzitorii cauzate de lovituri atmosferice asupra liniei electrice se evidențiază următoarele:

- sînt de interes cazurile cînd lovitura exterioară este apropiată de capătul terminal al liniei. În acest caz, capătul de început al liniei se situează la sute de kilometri de cel terminal. Cum fenomenul tranzitoriu în acest caz este studiat pe un interval de timp de ordinul unităților de microsecunde, pentru această perioadă de timp undele propagate spre începutul liniei nu ajung reflectate la capătul terminal.
- tensiunea incidentă a loviturii atmosferice se consideră ca o sursă adaptată pe impedanța de undă.

Față de aceste două considerații, linia de la locul loviturii pînă la capătul de început este teoretic infinită, lucru care determină particularizarea lui (5.27) de forma (5.34)

$$Z_1(p) = Z_u(p) \quad (5.51)$$

În aceste condiții (5.47) devine:

$$U_2(p) = U_{2F}(p) - \frac{Z_u(p)}{Z_u(p) + pL_2} U_{2R}(p) \quad (5.52)$$

Considerînd acum pe (5.48), se obține forma finală:

$$U_2(p) = U_{2R}(p) - \frac{1}{1+pL_2 \cdot L^{-1/2} \cdot C} U_{2R}(p) \quad (5.54)$$

al cărei expresie în domeniul timpului se calculează comod.

5.4.2. Calculul FFT în domeniul timpului

Pentru a determina expresia în domeniul timpului a formelor analitice (5.50) și (5.54) în mărimi de fază se urmărește scrierea originalului acestor expresii pentru componentele transformate α, β, o și apoi prin aplicarea matricii de transformare inversă, se vor obține expresiile în mărimi de fază.

Originalul lui (5.50) pentru componente transformate este

$$FFT(t) = \int_0^t FFT_R(\theta) \cdot \sum_{k=1}^2 \frac{1}{2p_k \cdot D_2} \exp p_k(t-\theta) d\theta \quad (5.55)$$

unde rădăcinile numitorului din (5.50) s-au notat cu

$$p_k = \pm \left(-\frac{1+D_1}{D_2} \right)^{1/2} = \pm \left(\frac{3(L_2+L \cdot 1)}{L^2 C \cdot 1} \right)^{1/2}$$

iar $FFT_R(\theta)$ este funcția de răspuns tranzitoriu pentru linia cu condiție terminală exclusiv rezistivă, problemă rezolvată în cap.4.

Pentru considerentele care au dus la expresia în transformată Laplace de forma (5.54), în domeniul timpului, pentru componente α, β, o , va rezulta :

$$\begin{aligned} FFT(t) &= FFT_R(t) - \frac{1}{T_1} \int_0^t \exp\left(-\frac{t-\theta}{T_1}\right) FFT_R(\theta) d\theta = \\ &= FFT_R(t) - \frac{1}{T_1} \exp\left(-\frac{t}{T_1}\right) \int_0^t \exp\left(\frac{\theta}{T_1}\right) \cdot FFT_R(\theta) d\theta \end{aligned} \quad (5.56)$$

unde $T_1 = L_2 L^{-1/2} \cdot C^{1/2}$

Se impune o comparație între (5.36) și (5.56). Ca și grad de generalitate (5,36) este completă, expresia aplicîndu-se atît pentru cazul supratensiunilor interne, cît și celor externe. Ca formă, primul termen din (5.35) calculează FFT pentru condiția terminală rezistivă R_2 determinată într-o primă aproximație, iar

in (5.56) pentru dezvoltarea extinsă a aceluiași caz. In cap.4 s-a demonstrat că pentru $R_2 > 1 \text{ k}\Omega$ deosebirea valorice dintre cele două moduri de calcul a lui u_{2R} sînt neesențiale. Termenii secunzi din cele două expresii sînt integrale provenite din produse de convoluție.

In (5.36) calculul este mai dificil la prima vedere, dar $u_{2R}(t)$ din (5.56) este obținut de fapt prin particularizarea $L_2 \rightarrow \infty$ in $\varphi(t-\theta)$, in totalitate, integrala din (5.36) calculind in acest caz o componentă a lui $u_{2R}(t)$ din (5.56).

Pentru calcule mai comode se preferă forma (5.39) pentru cazul supratensiunilor interioare și (5.56) pentru cele externe

5.5. Calculul FRT pentru LEA avind condiție terminală descărcător cu rezistență variabilă și reactor de compensare

Acest caz rezolvă analitic desfășurarea fenomenului tranzitoriu la apariția unei lovituri atmosferice pe LEA, supratensiunea rezultantă propagindu-se spre capătul terminal al liniei unde se află montați un DRV și un reactor de compensare. Schema echivalentă este redată în fig.5.9. Pentru componenta α, β, θ , in transformată Laplace, prin aplicarea succesivă a teoremei compensației

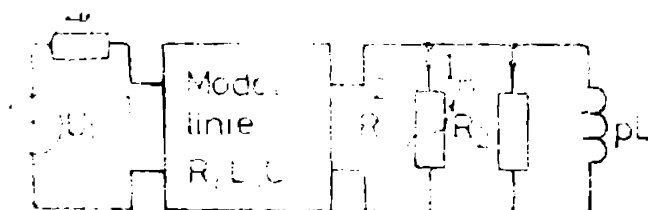


Fig.5.9. Linie cu condiție terminală multiplă

pentru ramura inductivă L_2 a circuitului din fig.5.2 și a teoremei superpoziției pentru circuitul rezultat, se obține pentru o porțiune liniarizată :

$$I_R(p) = \frac{U_{2R}(p)}{R} \cdot \frac{R_{2e}}{R+R_{2e}} \cdot \frac{U_2(p)}{pL_2} \quad (5.57)$$

unde $I_R(p)$ este curentul prin DRV

$U_{2R}(p)$ este tensiunea la capătul terminal al liniei avind condiție terminală rezistivă R_2 ,

$U_2(p)$ este tensiunea la capătul liniei in prezența simultană a elementelor terminale.

R_{2e} este rezistența echivalentă pentru R_2 și Z_u conectate in paralel.

Relația (5.57) se poate scrie și astfel:

$$U_2(p) = U_{2R}(p) - \frac{R \cdot R_{2e}}{R+R_{2e}} \cdot \frac{U_2(p)}{pL_2} \quad (5.58)$$

Efectuând calculele algebrice în (5.58) se obține în final:

$$U_2(p) = U_{2R}(p) - \frac{RR_{2e}}{RR_{2e} + pL_2(R + R_{2e})} U_{2R}(p) \quad (5.59)$$

unde R este rezistența dinamică a DRV-ului, constantă pe porțiunile liniarizate ale caracteristicii sale tensiune-curent.

Pentru momentele când DRV-ul nu a fost încă amorsat, tensiunea la capătul terminal al liniei este cea corespunzătoare condiției terminale rezistiv-inductive, adică cazul din cap.5.3.

Dacă tensiunea incidentă $U_1(p)$ este de forma treaptă-unitate, atunci $U_2(p)$ din (5.59) va avea semnificația funcției de răspuns tranzitoriu.

În aceeași ipoteză, acceptată în cap.4.5, de a considera lovitura atmosferică ca un generator de tensiune adaptat la impedanța de undă, pentru circuitul din fig.5.9, aplicând teorema Thévenin se obține:

$$I_R(p) = \frac{U_{2R_2L_2}}{R + Z_e(p)} \quad (5.60)$$

unde: $U_{2R_2L_2}(p)$ este tensiunea la capătul terminal al liniei în absența lui R ,

iar $Z_e(p)$ este impedanța echivalentă a circuitului redusă la bornele terminale

Pentru calculul lui $Z_e(p)$ se scrie:

$$Z_e(p) = \frac{Z_u \cdot \frac{pR_2L_2}{R_2 + pL_2}}{Z_u + \frac{pR_2L_2}{R_2 + pL_2}} = \frac{pZ_u \cdot R_2 \cdot L_2}{Z_u \cdot R_2 + pL_2(Z_u + R_2)} \quad (5.61)$$

unde Z_u este impedanța de undă

Folosind (5.61) se poate scrie sub altă formă (5.42):

$$U_2(p) = U_{2R_2L_2}(p) - I_R(p) \cdot Z_e(p) = U_{2R_2L_2}(p) - U_2(p) \cdot \frac{Z_e(p)}{R} \quad (5.62)$$

sau:

$$U_2(p) = U_{2R_2L_2}(p) \frac{Z_u R R_2 + pL_2 R (Z_u + R_2)}{Z_u R R_2 + pL_2 [R(Z_u + R_2) + Z_u R_2]} = \frac{U_{2R_2L_2}(p)}{R(Z_u + R_2) + Z_u R_2} \cdot \left[R(Z_u + R_2) - \frac{R(Z_u R_2)^2}{Z_u R R_2 + pL_2 [R(Z_u + R_2) + Z_u R_2]} \right] \quad (5.63)$$

Originalul lui (5.59), aplicând teorema Borel, se poate scrie :

$$\begin{aligned}
 u_2(t) &= u_{2R}(t) - \frac{1}{T_1} \int_0^t \exp\left(-\frac{t-\theta}{T_1}\right) \cdot u_{2R}(\theta) d\theta = \\
 &= u_{2R}(t) - \frac{1}{T_1} \exp\left(-\frac{t}{T_1}\right) \int_0^t \exp\left(\frac{\theta}{T_1}\right) \cdot u_{2R}(\theta) d\theta
 \end{aligned} \quad (5.64)$$

unde $u_{2R}(t)$ este tensiunea terminală la bornele lui R_2 și

$$T_1 = \frac{L_2(R+R_{2e})}{RR_{2e}}$$

Aplicarea practică a lui (5.64) se realizează în următoarele etape:

1. în componente $\alpha, \beta, 0$ se calculează cu (5.45) tensiunea $u_2(t)$, valoarea lui R acceptându-se inițial cea corespunzătoare primei porțiuni liniarizate a dependenței $u=f(i)$ pentru DKV.
2. cu $u_2(t)$ determinat, se va calcula valoarea curentului prin DFV și se verifică dacă punctul de funcționare astfel obținut aparține porțiunii liniarizate presupusă. Dacă acest lucru nu este îndeplinit se reface calculul pentru noua valoare a lui R .
3. se determină valoarea tensiunii terminale în componente de fază prin aplicarea matricii de transformare Clarke.
4. cu ajutorul integralei Duhamel se obține tensiunea de la capătul terminal al liniei pentru orice formă analitică a tensiunii incidente.

Aplicarea metodei de calcul este laborioasă datorită necesității găsirii prin tatonare a punctului de funcționare pe caracteristica neliniară a DFV-ului. Avantajul metodei constă în faptul că tensiunea la bornele elementelor R, R_2 și L_2 se calculează din condiția terminală exclusiv rezistivă.

Originalul tensiunii terminale corespunzător lui (5.63) obținut prin aplicarea teoremei Thévenin este:

$$\begin{aligned}
 u_2(t) &= K_1 u_{2R_2 L_2}(t) - K_2 \cdot \frac{1}{T_2} \int_0^t \exp\left(-\frac{t-\theta}{T_2}\right) \cdot u_{2R_2 L_2}(\theta) d\theta = \\
 &= K \cdot u_{2R_2 R_2}(t) - \frac{1}{T_2} \exp\left(-\frac{t}{T_2}\right) \cdot \int_0^t \exp\left(\frac{\theta}{T_2}\right) \cdot u_{2R_2 L_2}(\theta) d\theta
 \end{aligned} \quad (5.65)$$

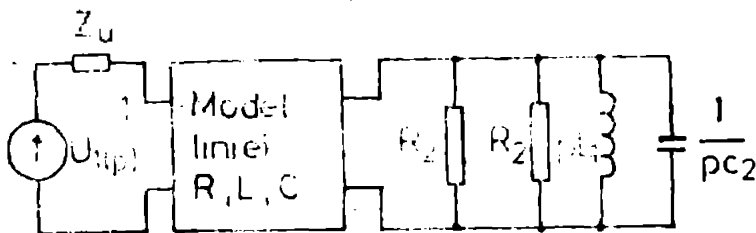
$$\text{unde } K = \frac{R(Z_u + R_2)}{R(Z_u + R_2) + Z_u R_2}$$

$$T_2 = \frac{L_2 [R(Z_u + R_2) + Z_u \cdot R_2]^2}{R(Z_u + R_2)^2}$$

Comparând (5.65) cu (5.64) se observă aceeași structură a relației de calcul, în consecință se va aplica aceeași succesiune de calcul ca cea prezentată mai sus.

5.6. Calculul FRT pentru LEA avînd condiție terminală $R_2 L_2 C$

În cazul propagării supratensiunilor atmosferice pe LEA avînd conectat un autotransformator, în schema electrică echivalentă a acestuia se ia în considerare și capacitatea electrică a înfășurărilor. În acest fel circuitul electric echivalent este cel din fig.5.10. În această figură R_2 reprezintă rezistența



electrică a DRV-ului, constantă pe o porțiune liniarizată a caracteristicii tensiune-curent, R_2 este rezistența electrică datorată pierderilor active în autotransformator, L_2 , C_2 sînt inductivitatea, respectiv capacitatea electrică a înfășurării autotransformatorului.

Fig.5.10. Linie cu impedanță terminală $R_2 L_2 C$.

Tensiunea la capătul terminal, în cazul cînd DRV-ul nu este amorsat se poate calcula folosind teorema compensației pentru ramura capacitivă și apoi în circuitul rezultat, se aplică teorema superpoziției. Se obține:

$$U_2(p) = U_{2R_2 L_2}(p) - U_2(p) p C_2 \cdot \frac{p R_2 L_2}{R_2 + p L_2} \cdot \frac{Z_u}{Z_u + \frac{p R_2 L_2}{R_2 + p L_2}}$$

sau.

$$U_2(p) = U_{2R_2 L_2}(p) \frac{Z_u R_2 + p L_2 (Z_u + R_2)}{p^2 L_2 R_2 C_2 Z_u + p L_2 (Z_u + R_2) + R_2 Z_u} \quad (5.66)$$

Pentru determinarea originalului expresiei (5.66) se obțin poli terminali ai denumitorului, care vor avea forma:

$$p_{k1,2} = \frac{-L_2 (Z_u + R_2) \pm [L_2^2 (Z_u + R_2)^2 - 4 R_2^2 Z_u L_2 C_2]^{1/2}}{2 R_2 L_2 C_2 Z_u} \quad (5.67)$$

Se remarcă faptul că ambele valori din (5.49) sînt negative. Se calculează originalul lui (5.48) aplicînd teorema dezvoltării Heviside și cea a lui Borel, obținînd :

$$u_2(t) = \int_0^t u_{2R_2L_2}(0) \sum_{k=1}^2 \frac{Z_u R_2 + p_k L_2 (Z_u + R_2)}{2p_k L_2 R_2 C_2 Z_u + L_2 (Z_u + R_2)} \exp[p_k(t-\theta)] d\theta \quad (5.68)$$

$$= \sum_{k=1}^2 \exp(p_k t) \int_0^t u_{2R_2L_2}(\theta) \cdot p_k \cdot \exp(-p_k \theta) d\theta$$

unde :

$$p_k = \frac{Z_u R_2 + p_k L_2 (Z_u + R_2)}{2p_k L_2 R_2 C_2 Z_u + L_2 (Z_u + R_2)} \quad (5.69)$$

În cazul studierii regimurilor tranzitorii cauzate de lovituri de trăsnet și cînd nu interesează repartiția tensiunii pe înfășurările transformatorului, acesta din urmă se poate reprezenta numai prin capacitatea lui de intrare conform celor arătate în paragraful 5.2.

Acest caz se rezolvă analitic făcînd succesiv ca R_2 și L_2 să tindă la infinit în relațiile (5.67) și (5.69). Se obține:

$$p_{k1,2}^i = \lim_{R_2 \rightarrow \infty} p_{k1,2} = \frac{-L_2 \pm (L_2^2 - 4Z_u L_2 C_2)^{1/2}}{2L_2 \cdot C_2 \cdot Z_u} \quad (5.70)$$

$$p_{k1,2}^r = \lim_{L_2 \rightarrow \infty} \frac{-L_2 \pm (L_2^2 - 4Z_u L_2 C_2)^{1/2}}{2L_2 C_2 Z_u} \quad \text{sau } p_1^r = 0 \text{ și } p_2^r = -\frac{1}{C_2 Z_u} \quad (5.71)$$

respectiv:

$$p_{k1,2}^i = \lim_{R_2 \rightarrow \infty} p_k = \frac{Z_u + p_k^i \cdot L_2}{2p_k^i L_2 C_2 Z_u + L_2} = 1 \pm \frac{2Z_u^2 C_2 - L_2}{(L_2^2 - 4Z_u L_2 C_2)^{1/2}} \quad (5.72)$$

$$p_{k1,2}^r = \lim_{L_2 \rightarrow \infty} \left[1 \pm \frac{2Z_u^2 C_2 - L_2}{(L_2^2 - 4Z_u L_2 C_2)^{1/2}} \right] \quad \text{sau } p_1^r = 0 \text{ și } p_2^r = -\frac{1}{C_2 Z_u} \quad (5.73)$$

În aceste condiții pentru reprezentarea transformatorului numai prin capacitatea sa de intrare pentru (5.68) se obține:

$$u_2(t) = \exp\left(-\frac{t}{C_2 Z_u}\right) \cdot \int_0^t u_{2g01}(\theta) \cdot \frac{1}{C_2 Z_u} \cdot \exp\left(\frac{\theta}{C_2 Z_u}\right) d\theta \quad (5.74)$$

Tensiunea $u_{2R_2L_2}(t)$ a fost calculată în cap.5.3.

Aplicarea practică în calcul a lui (5.68) urmărește succesiunea:

1. Se calculează cu (5.36) sau (5.39) mărimea $u_{2R_2L_2}(t)$ care se va reține în memoria calculatorului sub forma unui tablou unidimensional ;
2. Se determină polii expresiei (5.66) cu (5.67);
3. Se efectuează integrala (5.50) cu metode numerice de integrare și apoi suma corespunzătoare expresiei (5.50);
4. Dacă tensiunea incidentă $u_1(t)$ este de forma treptei unitate atunci (5.68) va reprezenta FET;
5. Se calculează FET în mărimi de fază;
6. Se folosește integrala Duhamel pentru a calcula forma finală a lui $u_p(t)$.

Dacă la capătul terminal al LEA se află montat și un DRV, atunci în momentul când tensiunea de la bornele 2, fig.5.12, depășește tensiunea de amorsare a DRV-ului, problema se rezolvă în condițiile prezentate în cap.4.5 sau cap.5.5.

Pentru a considera modificarea reactanței reactorului sau a autotransformatorului conectat la sfârșitul liniei prin apariția saturației miezului, autorul își propune să dezvolte modelele matematice prezentate în cap.5.2-5.5 astfel:

- se adoptă caracteristica neliniară $\psi=f(i)$ care se linia-
rizează pe porțiuni, fig.5.11 . Se specifică faptul că această
caracteristică poate avea o alură diferită pentru secvențele α ,
 β , o funcție de conexiunea transformatorului;

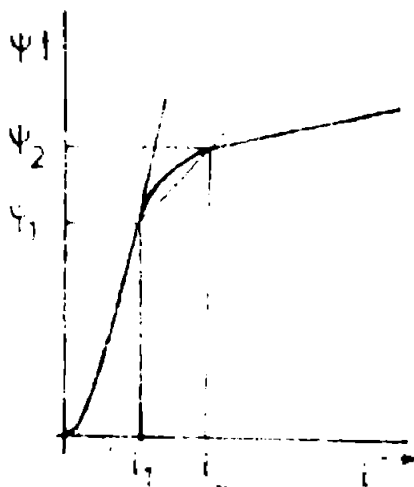


Fig.5.11. Caracteristica $\psi=f(i)$
liniarizată

$$\phi(t) = \phi(t-\Delta t) + \int_{t-\Delta t}^t u(t) \cdot dt \quad (5.75)$$

- pentru a putea controla prin
calcul apariția fenomenului de
saturație, deci modificarea in-
ductivității elementului termi-
nal liniei, se va determina o
relație de legătură dintre ten-
siunea de la bornele inductivi-
tății și flux.

Pentru un interval mic de
timp Δt se poate scrie :

Integrând prin metoda trapezelor se obține:

$$\begin{aligned} \Psi(t) &= \Psi(t-\Delta t) + \frac{u(t)+u(t-\Delta t)}{2} \cdot \Delta t = \\ &= u(t) \cdot \frac{t}{2} + \Psi(t-\Delta t) + u(t-\Delta t) \cdot \frac{\Delta t}{2} \end{aligned} \quad (5.76)$$

Cu condiția inițială $u(0)=0$ se poate folosi recursiv (5.76) pentru determinarea lui $\Psi(t)$. Tensiunea $u(t)$ se determină în prima aproximare prin presupunerea poziționării punctului de funcționare pe porțiunea lineară a lui $\Psi=f(i)$.

După calculul lui $u(t)$ și apoi a lui $\Psi(t)$ se verifică veridicitatea asupra poziției punctului de funcționare. Dacă presupunerea se verifică, se trece la momentul următor de calcul $t+\Delta t$. Dacă poziția nu corespunde, se recalculează $u(t)$ cu valoarea inductivității corespunzătoare unei noi porțiuni liniarizate a lui $\Psi=f(i)$.

Acest procedeu se aplică fiecărei faze a transformatorului punctele de funcționare pentru cele trei faze având poziționări diferite pe caracteristica $\Psi=f(i)$.

5.7. Rezultate de calcul

Pentru a exemplifica considerentele teoretice expuse în paragrafele anterioare s-a întocmit programul de calcul nr.7, numit XTENS după subrutina care efectuează determinarea funcției de răspuns tranzitoriu pentru linia având conectat la capătul terminal un reactor șunt, transformator sau ambele elemente simultan. Programul de calcul rezolvă și cazul considerării saturației miezului feromagnetic.

Relația de calcul folosită este (5.39) care dezvoltată are următoarea formă:

$$\begin{aligned} FRT(t) &= \sum_{n=0}^{\infty} \left\{ \frac{P_2}{2} (-1)^n \cdot P_1^n \cdot FRT_g [t-(2n+1)\tau] + \frac{1}{T} \exp\left(-\frac{t}{T}\right) \int_0^{t-(2n+1)\tau} \exp\left(\frac{\theta}{T}\right) \cdot \frac{P_2}{2} \right. \\ &\quad \left. \cdot (-1)^n \cdot P_1^{n-1} (nP_2 - P_1) \cdot FRT_{gn}(\theta) d\theta \right\} \end{aligned} \quad (5.77)$$

Sumele de integrale având limitele de integrare variabile funcție de numărul de parcursuri de undă n , s-au efectuat numeric. S-a reținut în timpul calculului, pentru fiecare fază și fiecare componentă $\alpha, \beta, 0$, valoarea integralei pentru momentul t , astfel ca pentru momentul următor $t+\Delta t$, valoarea integralei nu se recalculează ci doar se completează aditiv corespunzător intervalului

At. Datorită semnificației lui $FRT_{gn}(0)$, care este nulă pentru $t < (2n+1)T_{DEL}$, rezultă că termenii sumei în n , corespunzători integralelor, vor fi diferiți de zero pentru $t < (2n+1)T_{DEL}$.

În fig.5.12 s-a reprezentat cazul liniei ideale, fără pierderi de putere activă și fără considerarea proprietăților electrice ale solului diferite de ale vidului. Prin comparație se observă și influența saturației miezului feromagnetic care nu modifică sensibil vîrfurile supratensiunii și numai gradientul acesteia.

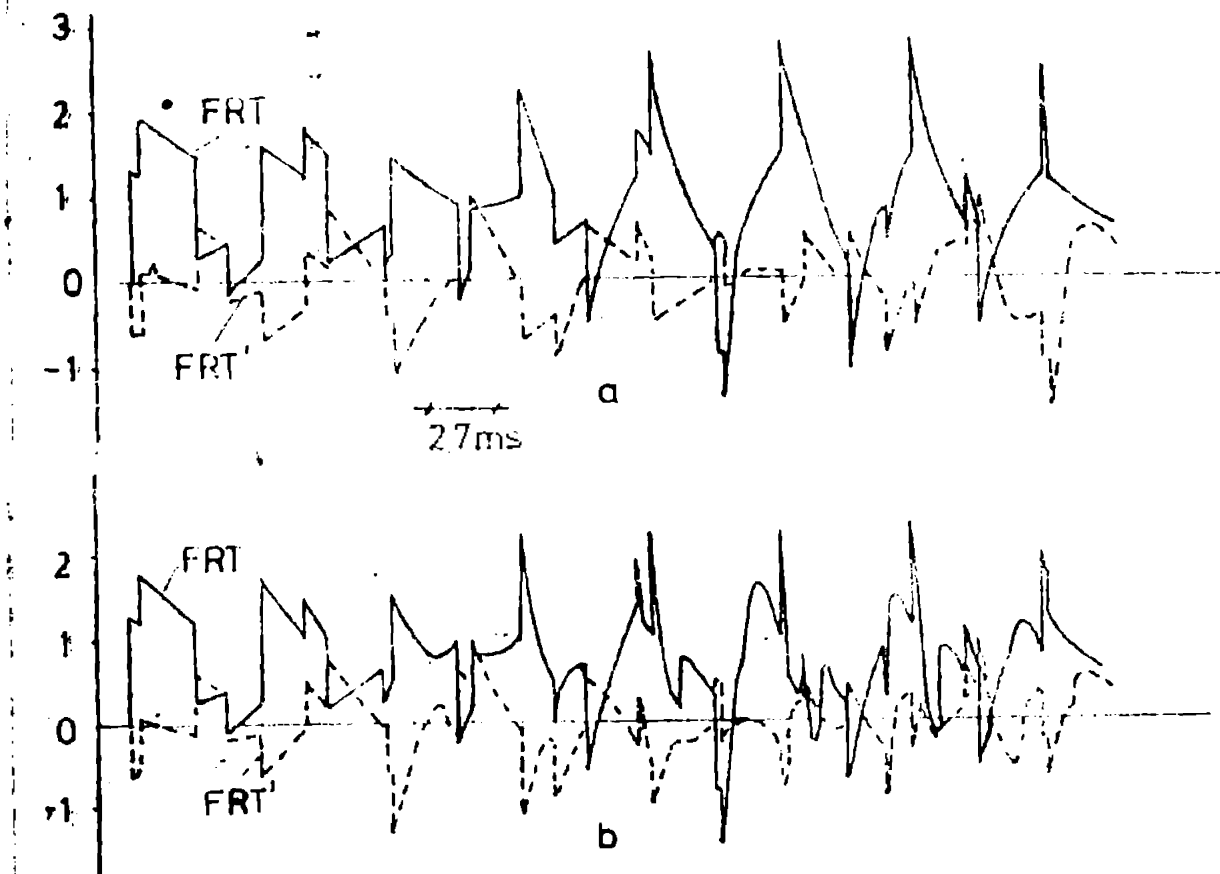


Fig.5.12. Funcția de răspuns transitoriu pentru linia de 400 kV, 400 km compensată 100%, a/ regia nesaturat, b/ regia saturat

Pentru linia ideală alimentată cu o tensiune sinusoidală cu o senectare nesimultană a fazelor și compensată 100% cu un reactor gunt, variația supratensiunilor terminale este redată în fig.5.13. Avînd în vedere absența atenuărilor undei de supratensiune s-a ales o scară adecvată a timpului pentru evidențierea fiecărei modificări bruște a tensiunii la orice multiplu impar al parcursurilor de undă în secvențe , și o.

Considerînd linia reală, modificarea funcției de răspuns transitoriu proprie, respectiv mutuală este ilustrată în fig. 5.14. Se evidențiază atenuările pronunțate față de cazul liniei ideale. Liniarizarea curbei de magnetizare a fost delimitată de valorile relative ale fluxului magnetic de σ ; 1,2; 1,4.

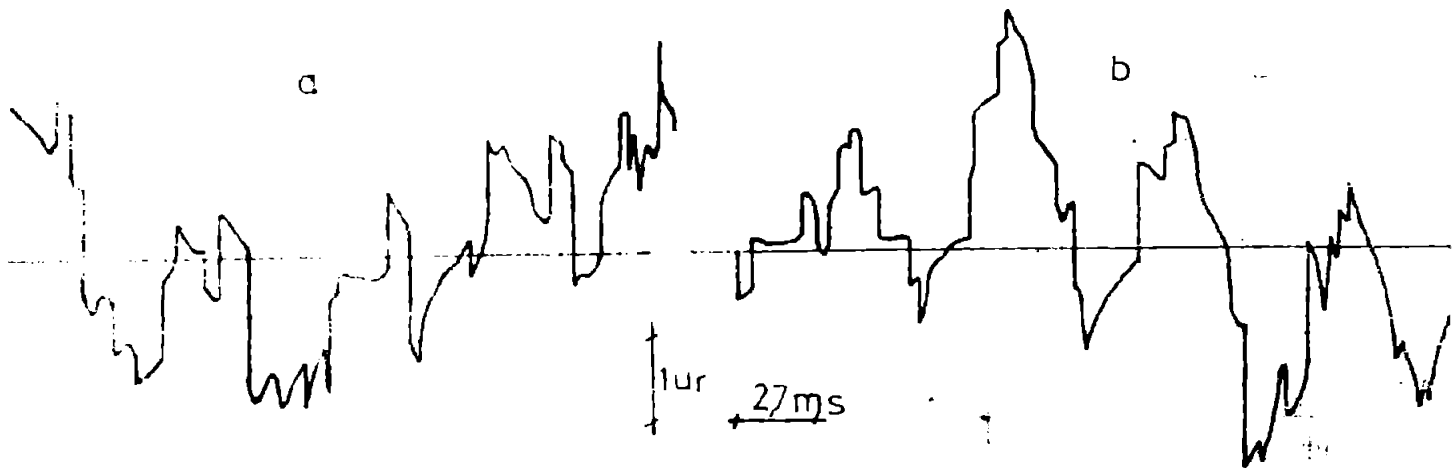
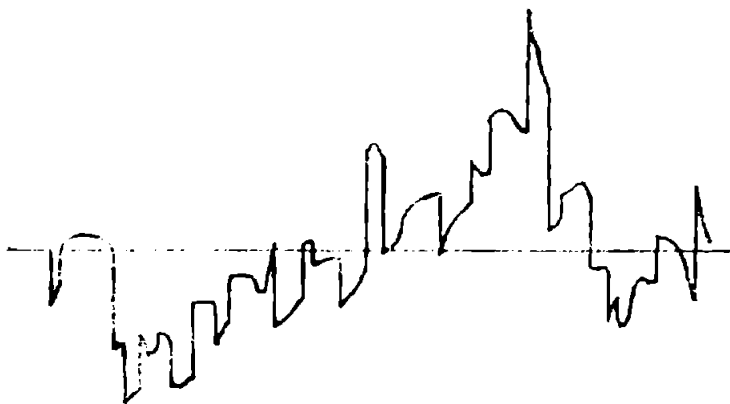


Fig.5.13. Supratensiunile de la capătul terminal, $U_n=400$ kV, $l=400$ km, compensare 100%, unghi inițial de conectare 90° , DEL1=0, DEL2=3 ms, DEL3=2ms.



In fig.5.15 se reprezintă supratensiunile la capătul terminal al liniei în cazul conectării la o sursă de putere infinită, sinusoidală, linia fiind compensată 100%.

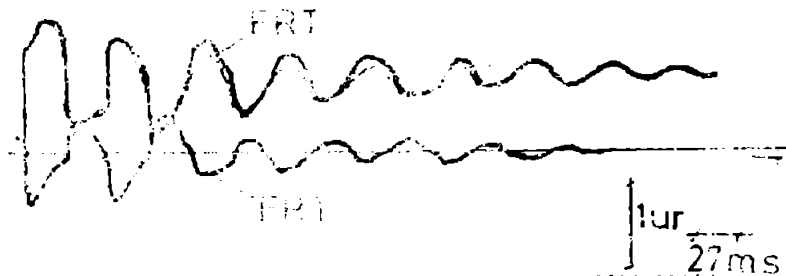


Fig.5.14. Funcția de răspuns transitoriu pentru linia de 400 kV, $l=400$ km, $\rho_{sol}=100 \Omega \cdot m$.

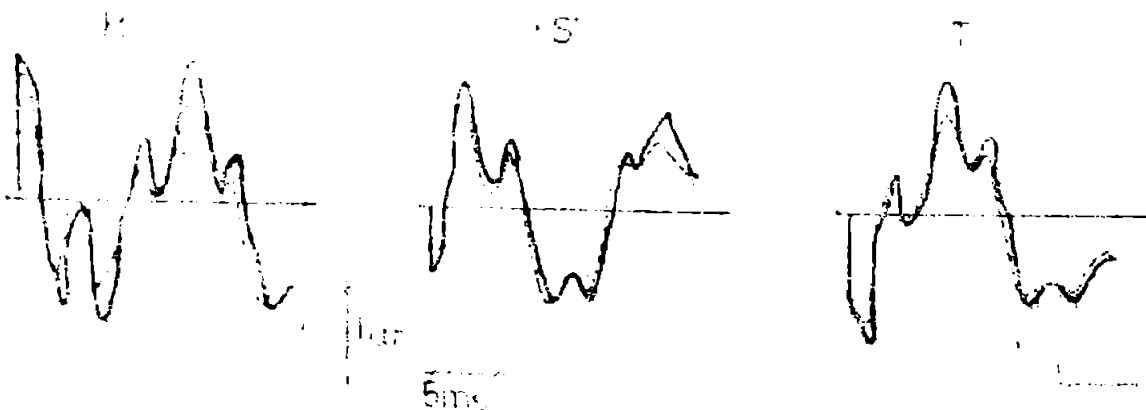


Fig.5.15. Supratensiunile la capătul terminal al liniei de 400 kV, 400 km, linie compensată 100%, $\rho_{sol}=100 \Omega \cdot m$, — regim nesaturat ; - - - regim saturat

6. COMPARAREA REZULTATELOR TEORETICE CU CELE EXPERIMENTALE

6.1. Considerații generale

Validarea dezvoltărilor teoretice care au dus la modelele matematice prezentate în capitolele 3-5 și a rezultatelor concrete de calcul obținute, presupune necesitatea realizării de măsurători concrete în sistemul electric. Se menționează că posibilitatea obținerii unor astfel de măsurători este foarte dificilă având în vedere costul ridicat al acestora și de asemenea pentru că linia de 750 kV construită în țară nu a intrat încă în probe funcționale.

În aceste condiții, rezultatele de calcul au fost confruntate cu puținele înregistrări din sistemul natural avute la dispoziție /144/ insistându-se pe reproducerea fenomenelor tranzitorii pe două analizoare tranzitorii de rețea ATR diferite ca și concepție de realizare. Este vorba de cel aflat în posesia ICEMENERG-ului numit în continuare ATR-I, respectiv cel al catedrei de Electroenergetică din Institutul Politehnic Timișoara, ATR-E.

Autorul nu insistă pe prezentarea generală a acestor ATR evidențiind doar faptul că în cazul ATR-I stabilirea unghiurilor inițiale de conectare a fazelor întrerupătorului se realizează pe bază aleatoare, după o lege de repartiție de tip Gauss-Laplace de medie și abatere standard fixate de experimentator.

Pe ATR-E aceste momente ale conectării se pot alege determinist cu ajutorul unui comutator mecanic sincron.

În consecință, autorul a adoptat următoarea succesiune a măsurătorilor :

- pe oscilogrammele realizate pe ATR-I s-au determinat unghiurile de conectare a fazelor sursei pentru fiecare măsurătoare realizată;
- aceste unghiuri au fost reproduse pe ATR-E cu ajutorul comutatorului mecanic, oscilografînd tensiunile sursei.

Se remarcă un prim impediment legat de o oarecare incertitudine în posibilitatea reproducerii exacte a condițiilor inițiale identice în folosirea celor două metode de investigație.

Deosebiri cantitative în rezultatele obținute pot fi determinate de faptul că ATR-I modelează un segment de linie în lungime de 20 km, iar ATR-E o lungime de 50 km.

Pentru a evidenția deosebirile între rezultatele analitice de calcul obținute de autor și cele experimentale s-a impus și o comparație a modului cum reproduc cele două metode de investigație variația în timp a parametrilor liniei.

6.2. Compararea valorilor parametrilor liniei

O influență determinantă asupra acurateții rezultatelor de calcul cit și a celor experimentale o constituie modul cum modelul matematic sau modelul analogic, analizorul tranzitoriu de rețea, reușesc să reproducă comportarea în timp a parametrilor tranzitorii.

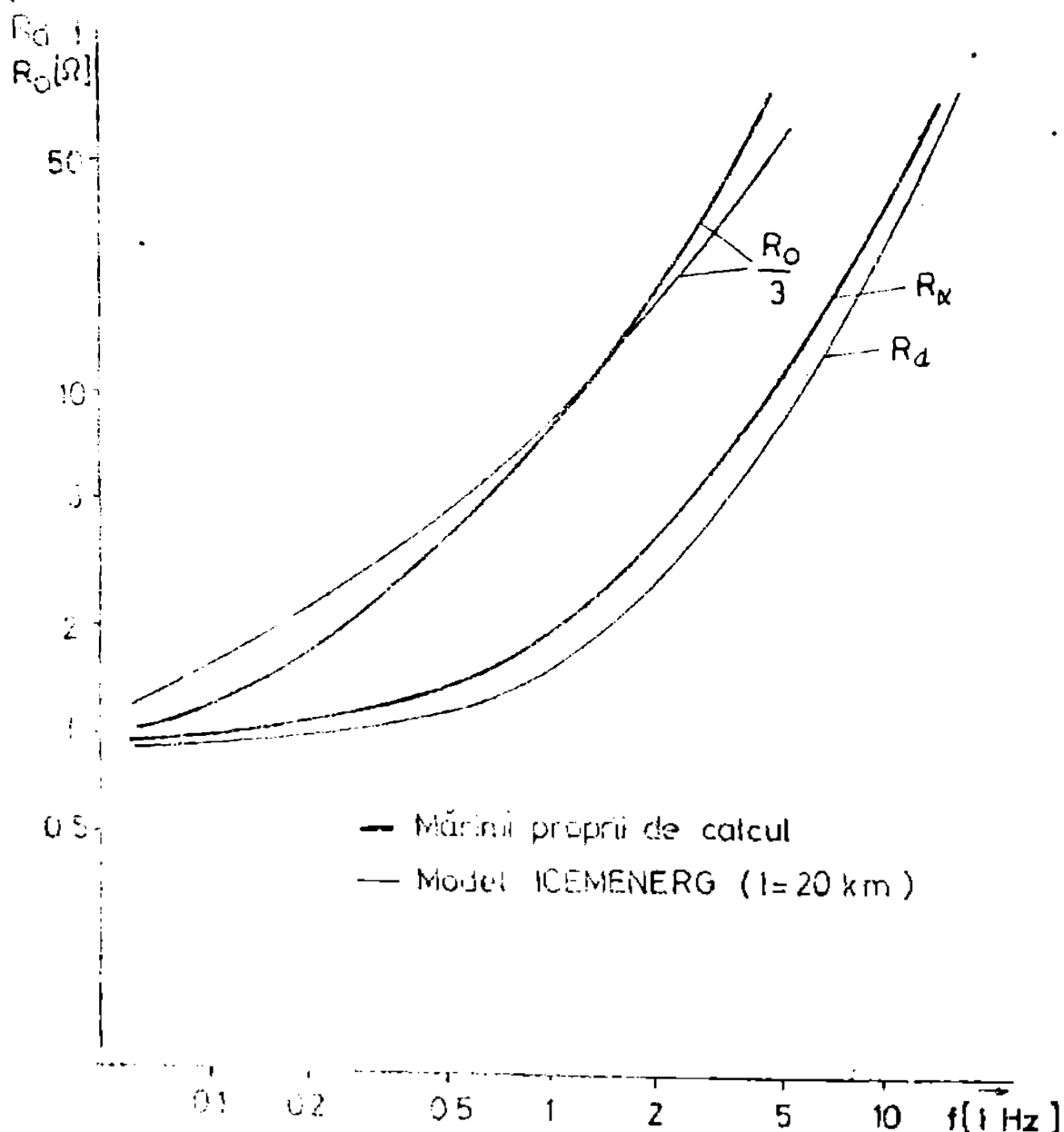


Fig.6.1. Variația comparativă a rezistențelor liniei tranzitorii

Din fig.6.1 rezultă că modelul matematic pentru calculul rezistenței liniei folosit de autor oferă valori mai mari pen-

tru acest parametru față de cea măsurată pe o celulă de linie de 20 km a ATR-I. Acest lucru este explicat prin posibilitățile superioare ale modelului analitic folosit în care se consideră mai corect efectul pelicular în conductoarele liniei, cât și influența conductivității finite a solului. Acest ultim aspect se referă la valoarea rezistenței de secvență "D", cu observația că pentru frecvențe mai mici de 2 kHz, valorile obținute pe ATR-I sînt superioare celor din modelul analitic.

Acest raport al rezistențelor liniice transitorii va cauza o atenuare mai mare a componentelor de calcul în transformată și pe întreg domeniul frecvențelor. În consecință este de aștep-

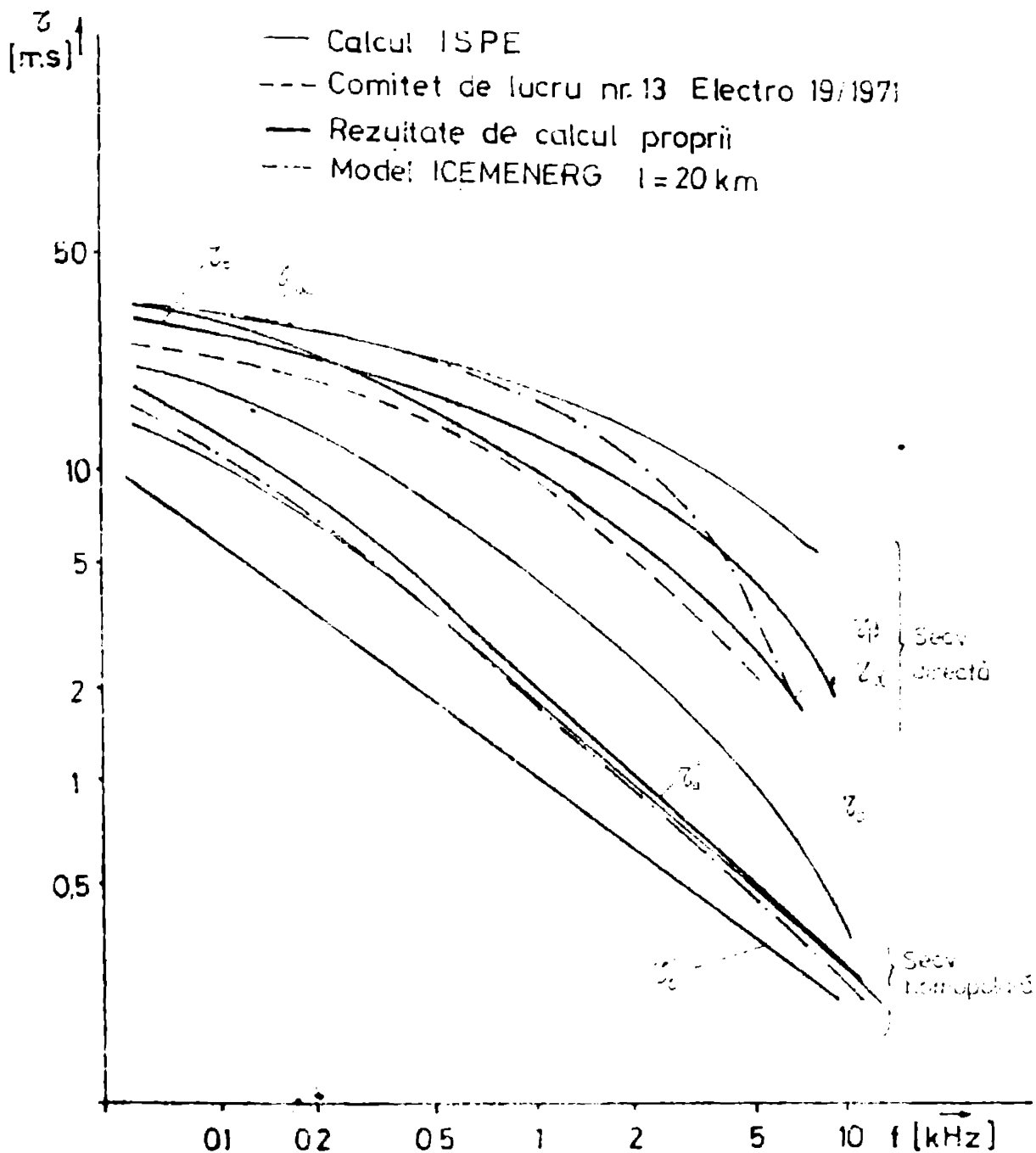


Fig.6.2. Compararea constantei de timp a liniei calculată și măsurată

tat obținerea de valori ale supratensiunilor mai mari pentru cazurile determinate experimental. Componenta "0" pentru rezistența lineică, mai mare în cazul parametrilor lineici pentru ATR-I pentru frecvențe mai mici de 2 kHz, are o participare mai redusă decât componentele α și β în determinarea răspunsului tranzitoriu propriu al liniei. În valoarea de calcul a răspunsului tranzitoriu mutual, componentele α și "0" au aceeași pondere. Se concluzionează că în primele momente ale regimului tranzitoriu corespunzător fenomenelor de comutație, supratensiunile de calcul vor fi mai mici decât cele măsurate experimental. În ultima parte a acestor regimuri, care se desfășoară la frecvențe mai mici, pentru supratensiunile induse în celelalte faze ale liniei se vor obține valori mai mari pentru mărimile de calcul.

Pentru a evidenția și comparația inductivităților lineice pentru modelul liniei corespunzător ATR-I cu cele de calcul, în fig.6.2 se prezintă modificarea cu frecvența a constantelor de timp definite și calculate în cap.2.6.

S-au comparat constantele de timp în componente, τ_α și τ_β , calculate de autor cu cele determinate în mod diferit de două colective de cercetare, cât și cu cele determinate experimental pe ATR-I. Se constată o foarte mare apropiere a mărimilor comparate, în domeniul frecvențelor mai mici de 1,5 kHz și o scădere relativă a mărimilor proprii calculate la frecvențe mai mari. Autorul explică acest lucru prin aceeași cauză, adică determinarea mai exactă a efectului pelicular atât pentru inductivitatea cât și pentru rezistența lineică față de posibilitățile reduse de redare a acestui fenomen în modelul analogic.

Față de variația cu frecvența a constantei de timp a componentei "0" notată în fig.6.2 cu τ_0 pentru calcul extins al acesteia, se prezintă comparativ modificarea expresiilor analitice simplificate τ'_0 , respectiv îmbunătățite τ''_0 prezentate în cap.2.6.1.3.

6.3. Analiza comparativă a supratensiunilor de comutație

6.3.1. Compararea cu rezultatele obținute pe ATR

Autorul își propune prezentarea supratensiunilor de comutație calculate cât și cele obținute experimental pe ATR-E și ATR-I pentru regimul de funcționare în gol, cât și pentru cazul liniei având conectat la capătul terminal un reactor de compensare.

Această analiză se referă atât la cazurile ideale constând din conectarea simultană a celor trei faze ale sursei cât și în cazul conectării nesimultane. În ceea ce privește puterea nominală

a reactorului sunt se prezintă pentru linia de 400 kV și 400 km trei cazuri corespunzătoare unei inductivități a reactorului de 1, 2 și 4 H pentru o putere de 400 MVar, 200 MVar, respectiv 100 MVar.

Se prezintă în fig.6.3.a oscilograma răspunsului tranzitoriu al liniei de 400 kV obținută pe ATR-E față de aceeași mărime obținută prin calcul și redată în ipoteza considerării numai a efectului pelicular fig.6.3.b, respectiv efect pelicular și prezența pământului fig.6.3.c. Deosebirile calitative și cantitative sînt influențate pe lîngă modalitățile complet diferite de ilustrare a dependenței de frecvență a parametrilor lineici în modelarea liniei la ATR-E, respectiv model analitic, îndeosebi și de faptul că puterea de scurtcircuit a sursei care a asigurat semnalul treaptă este mică. Prezența rezistenței interioare a sursei se ilustrează și în valoarea finală a semnalului, mai mică decît unitatea.

În fig.6.4 și 6.5 se prezintă același caz al liniei în gol pentru comparația rezultatului experimental obținut pe ATR-E cu rezultatul de calcul obținut de autor cu programul de calcul "LGOL", cap.3.6.

Autorul consideră concordanța celor două rezultate ca fiind foarte bună atît cantitativă cît și calitativă.

Cazul conectării nesimultane a liniei în gol este reprezentat în fig.6.5, rezultat experimental obținut pe ATR-I comparativ cu cel de calcul pentru conectare simultană pe două faze R și S, dar decalate față de faza T cu 15,6 ms, respectiv 11,7 ms. În fig.6.7 conectarea este tot nesimultană cu decalarea față de faza inițială T cu 7,8 ms, respectiv 11 ms, și la alt unghi inițial de conectare față de cazul anterior.

Comparînd rezultatele, se observă o bună concordanță între cele de calcul și cele experimentale și în acest caz. Autorul apreciază că deosebirile calitative observabile îndeosebi pentru faza R din fig.6.7.c se datoresc greutății în aprecierea exactă a timpului de conectare pentru această fază. Acest aspect, necesar ca mărime de intrare pentru rularea programului LGOL, a putut fi determinat numai prin aprecierea la scara timpului a conectării fiecărei faze prin citirea oscilogramelor tensiunilor sursei. Pentru 32 ms de investigație a procesului tranzitoriu pentru programul de calcul LGOL a fost nevoie de aproximativ 3 minute de calcul pentru fiecare caz abordat. Autorul nu a crezut de cuvin-

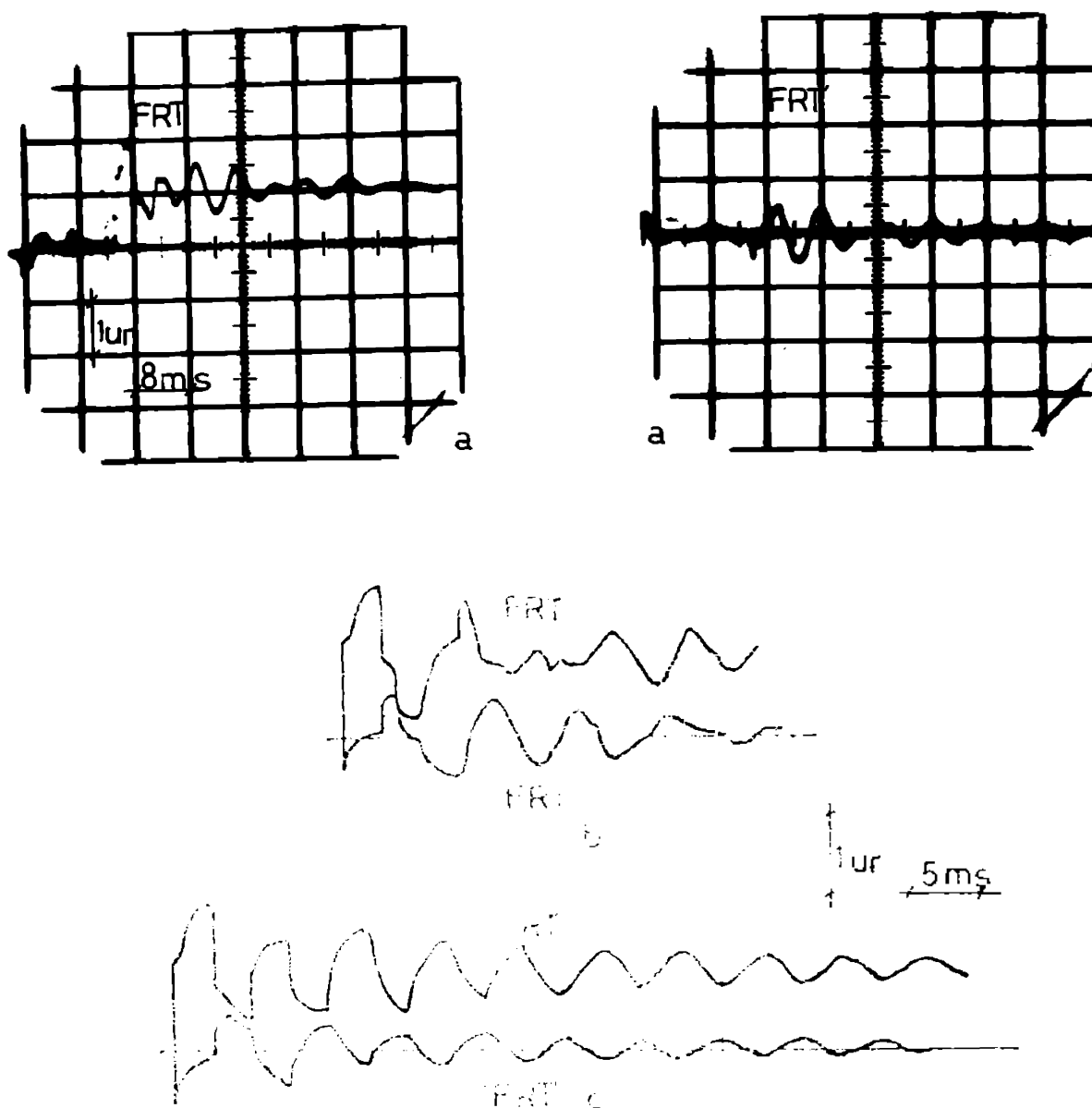


Fig.6.3. Funcția de răspuns transitoriu proprie și mutuală. Linie în gol. $U_n = 400 \text{ kV}$, $l = 400 \text{ km}$

- a. Rezultat experimental ATR-E
- b. Rezultat de calcul considerînd numai efectul pelicular
- c. Rezultat de calcul considerînd efectul pelicular și influența pămîntului cu $\rho_p = 100 \Omega \cdot \text{m}$.

gă să prelungească acest timp de investigație el fiind apreciat ca suficient pentru cunoașterea supratensiunilor de comutație.

În acest sens se prezintă fig.6.8 unde se observă că după aproximativ două perioade corespunzătoare frecvenței de 50 Hz apare o atenuare constantă a supratensiunilor de comutație.

Rezultatele experimentale obținute pe ATR-E corespunzătoare liniei compensată cu reactor sunt sînt ilustrate comparativ în fig.6.9, respectiv fig.6.10. În acest din urmă caz se observă o deosebire cantitativă acceptabilă în ceea ce privește valoarea maximelor relative ale supratensiunii. Autorul consideră că acest

fapt se datorește preciziei integrării numerice a integralei Duhamel în legătură cu mărimea pasului de timp ales. Compararea rezultatelor analitice cu cele măsurate pe ATR-I sînt redată în f'g.6.11 pentru o conectare nesimultană a fazelor sursei.

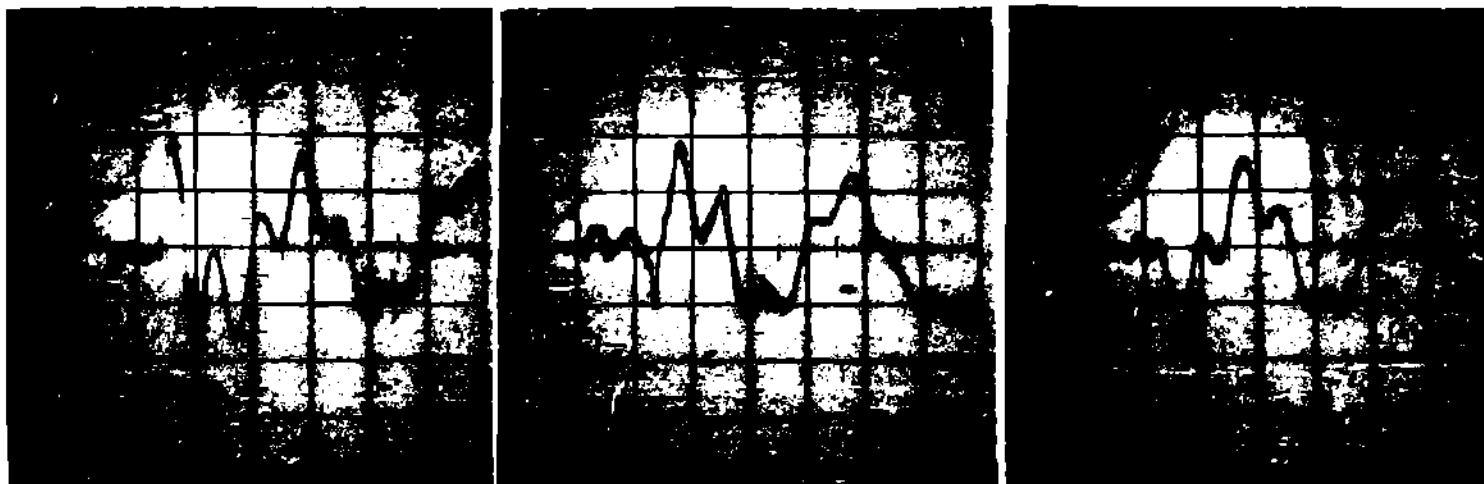


Fig.6.4. Linie în gol. Conectare simultană, unghiul inițial al fazei R de 90° , $U_n = 400$ kV, $l = 400$ km. Rezultat experimental ATR-E.

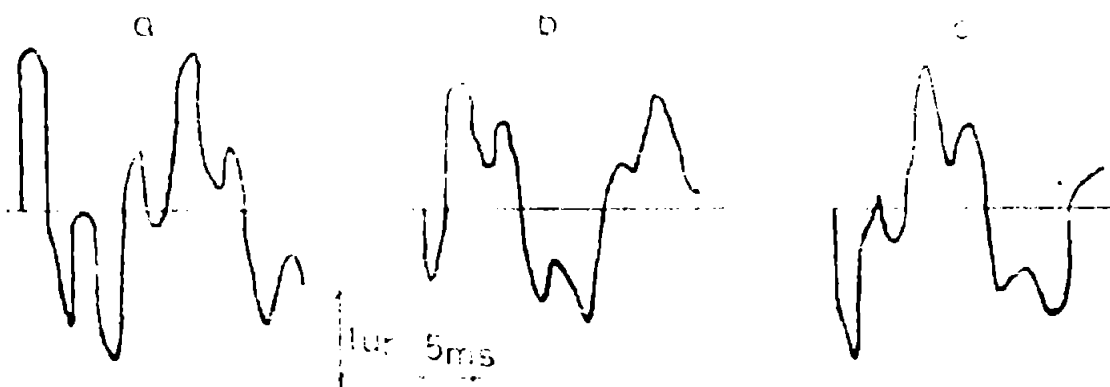
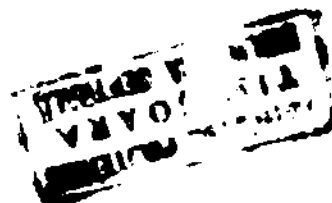


Fig.6.5. Linie de gol. Conectare simultană, unghiul inițial al fazei R de 90° , $U_n = 400$ kV, $l = 400$ km. Rezultat de calcul.

Pentru a crea o imagine asupra preciziei rezultatelor experimentale obținute pe ATR față de cele măsurate în sistemul natural în fig.6.12 se oferă caferm /55/ o astfel de comparație.

Rezultatele sînt oferite de raportul al treilea al Comitetului special de lucru în domeniul supratenziunilor de comutație din cadrul I.E.E.E. al SUA. Nu se fac comentarii asupra tipului de analizor tranzitoriu folosit.



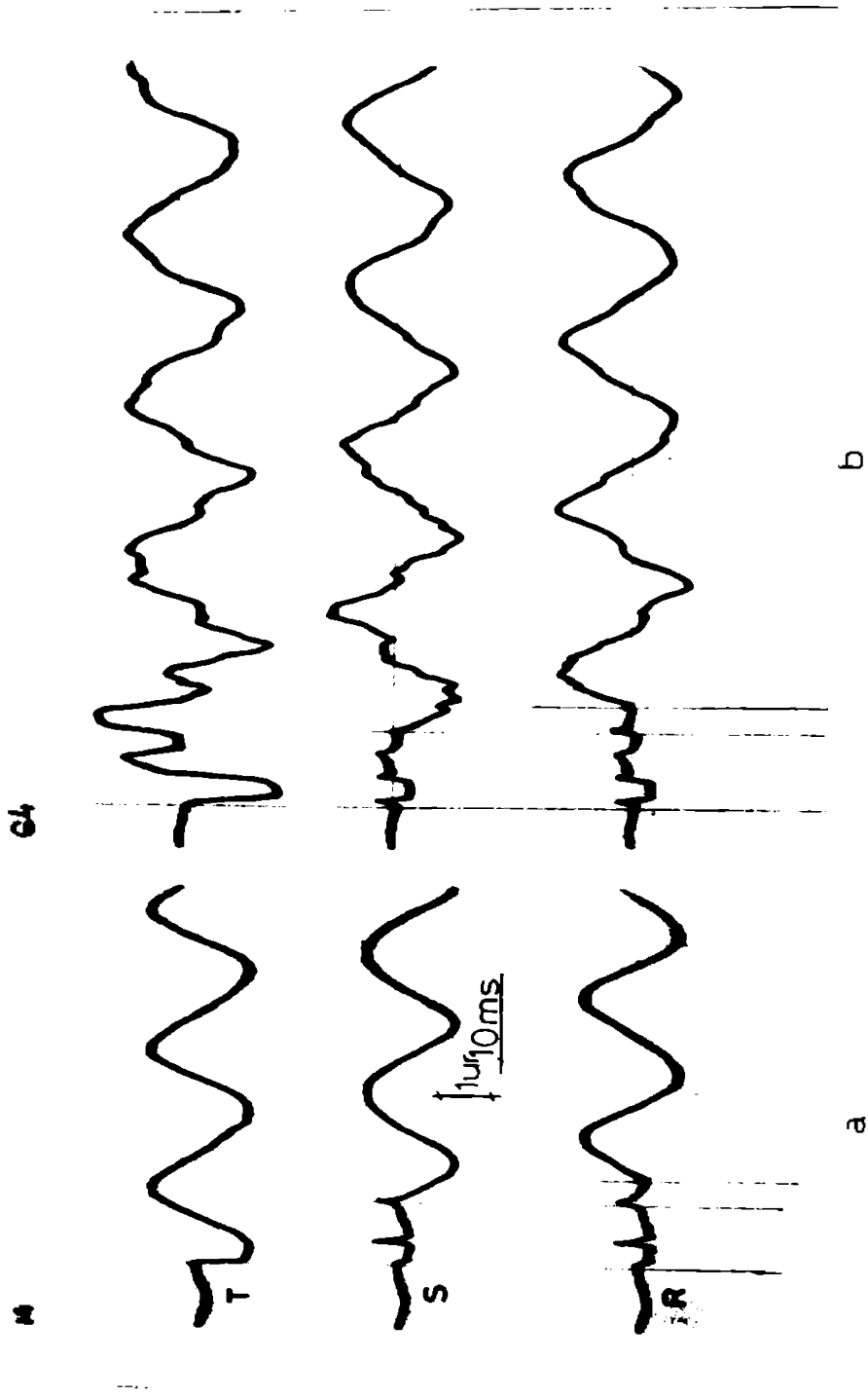


Fig.6.6. Linie în gol. Conectare nesimultană, unghiul inițial al fazei, Teste de 260° ,
întârzierea la conectare $\Delta t_R = 15,6$ ms, $\Delta t_S = 11,7$ ms. $U_n = 400$ kV, $l = 400$ km
a. tensiunile la capătul de alimentare } rezultate experimentale ATR-I
b. tensiunile la capătul terminal }
c. tensiunile la capătul terminal. Rezultat de calcul.

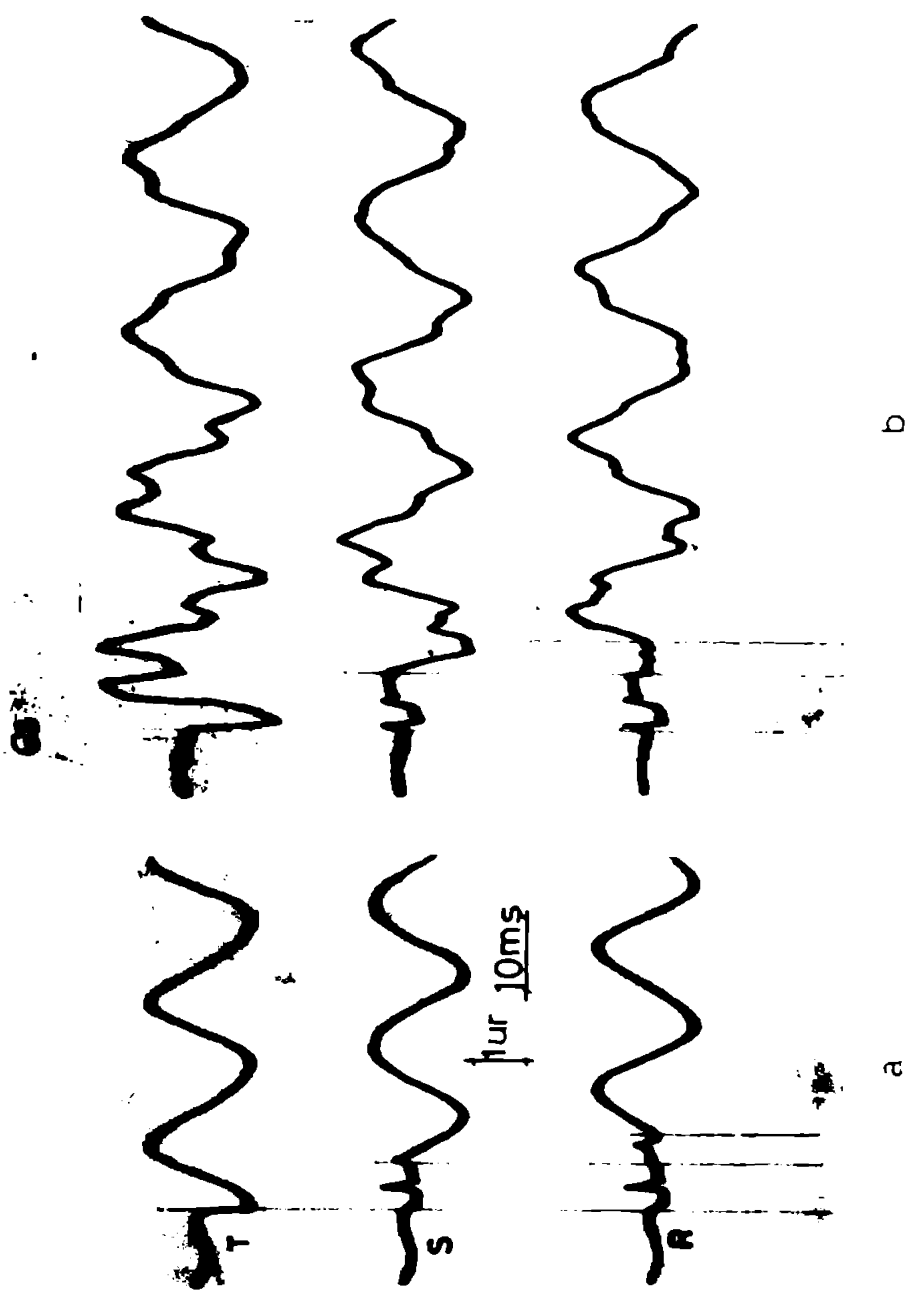
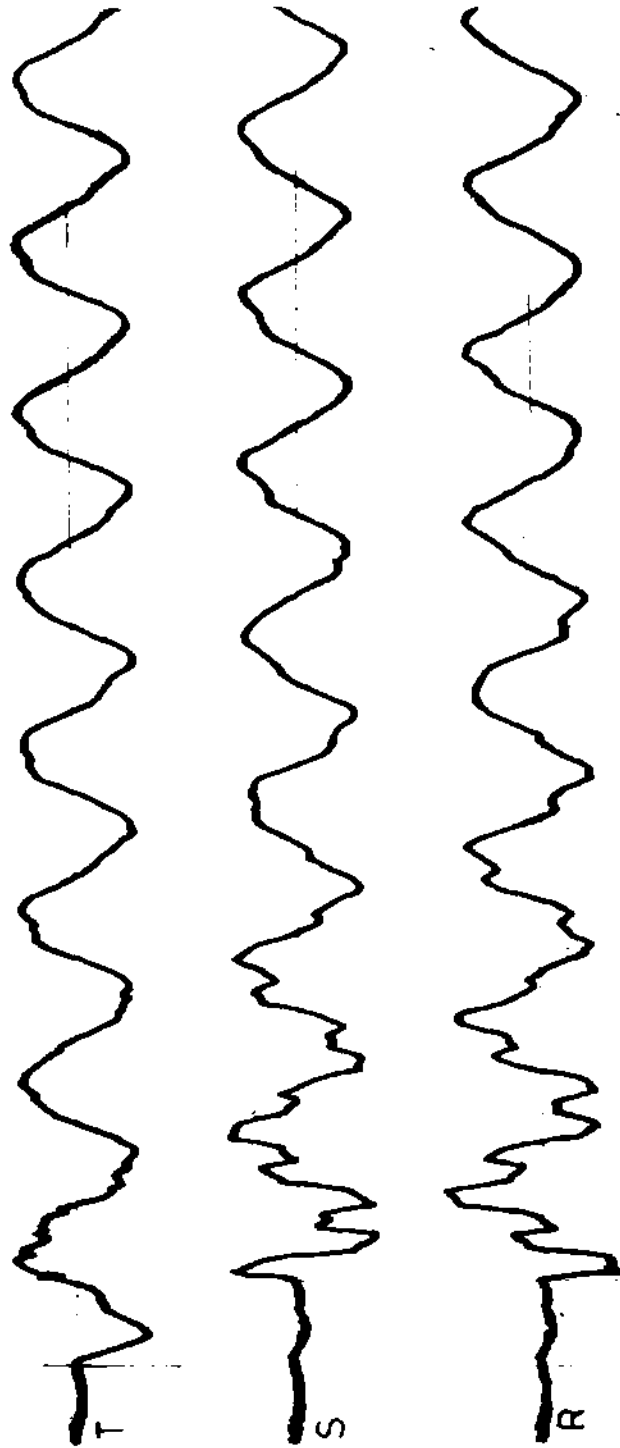


Fig.6.7. Linie în gol. Conectare neimultănd, unghiul inițial al fazei T de 270° , întârzierea la conectare $\Delta t_S = 7,8 \text{ ms}$, $\Delta t_R = 11 \text{ ms}$. $U_n = 400 \text{ kV}$, $l = 400 \text{ km}$

a. tensiunile la capătul de alimentare } rezultate experimentale ATK-I
b. tensiunile la capătul terminal }
c. tensiunile la capătul terminal. Rezultat de calcul



b

Fig.6.8. Linie în gol. Conectare nesimultană, unghiul inițial al fazei T de 182° , întârzierea la conectare $\Delta t_\tau = \Delta t_S = 11$ ms. $U_n = 400$ kV, $l = 400$ km
a. tensiunile la capătul de alimentare
b. tensiunile la capătul terminal

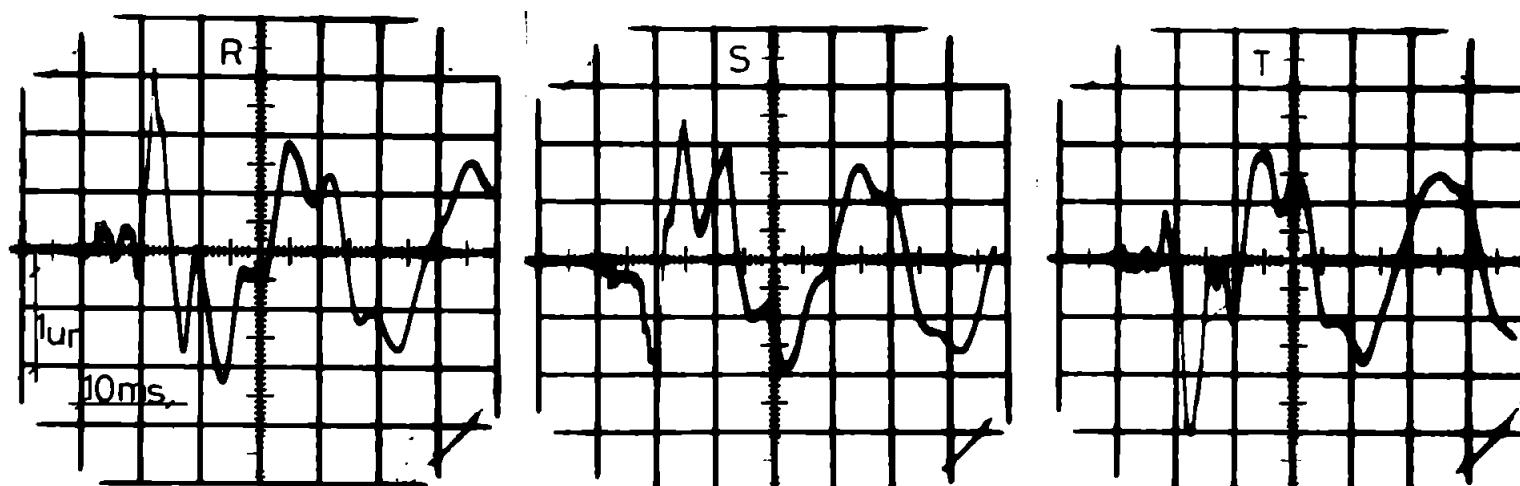


Fig.6.9. Linie compensată cu reactor, compensare 100%,
 $L_r = 4H$. Conectare simultană, unghiul inițial
al fazei R de 90° . $U_B = 400$ kV, $l = 400$ km
Rezultat experimental ATF-E

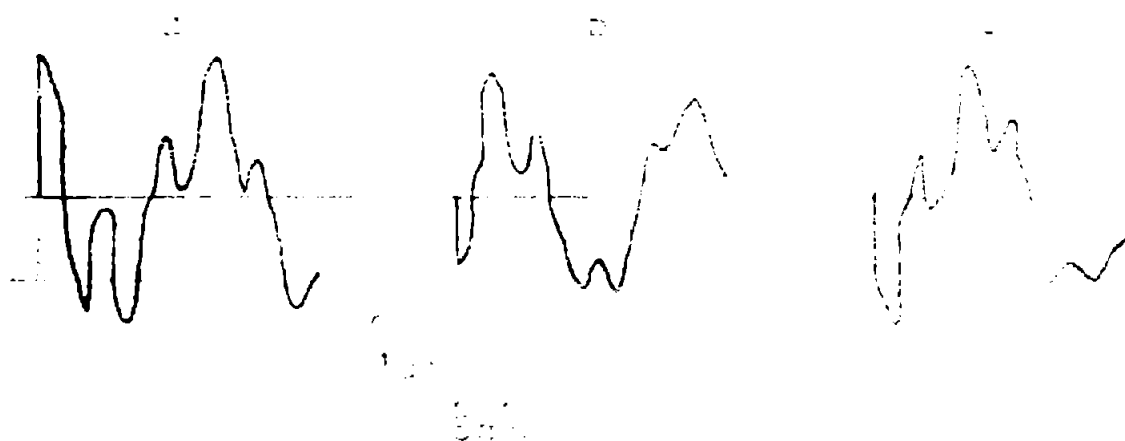


Fig.6.10. Linie compensată cu reactor. Compensare 100%
 $L_r = 4H$. Conectare simultană, unghiul inițial al
fazei R de 90° . $U_B = 400$ kV, $l = 400$ km. Rezultat
de calcul.

6.3.2. Compararea cu rezultate obținute în sistemul electric național

Din cadrul rezultatelor experimentale realizate în sistemul electric al RSE de către ICENERG, se redau în fig.6.13 cazul conectării nesimultane a liniei în gol de 400 kV București Sud-Gara Ialeșiței.

Autorul apreciază că bună concordanța acestor rezultate. Se menționează că rezultatul de calcul prezentat a fost obținut

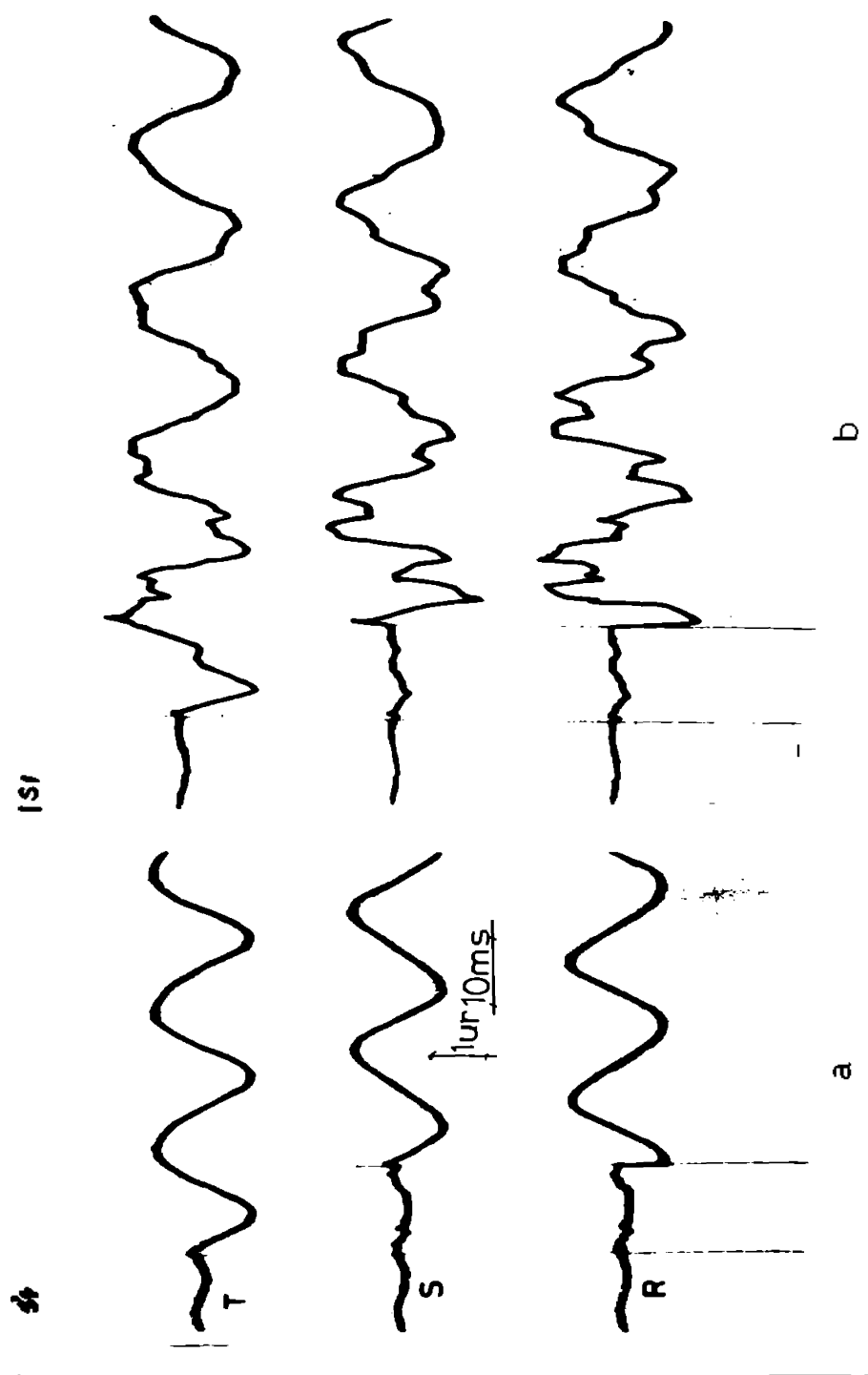


Fig.6.11. Linie compensată cu reactor. $L_r = 1H$. Conectare nesimultană, unghiul inițial al fazei T de 176° , întârziere la conectare $\Delta t_R = \Delta t_S = 12,7$ ms, $U_n = 400$ kV $l = 400$ km
 a. tensiunile la capătul de alimentare } rezultate experimentale AFK-I
 b. tensiunile la capătul terminal }
 c. tensiunile la capătul terminal. rezultat de calcul

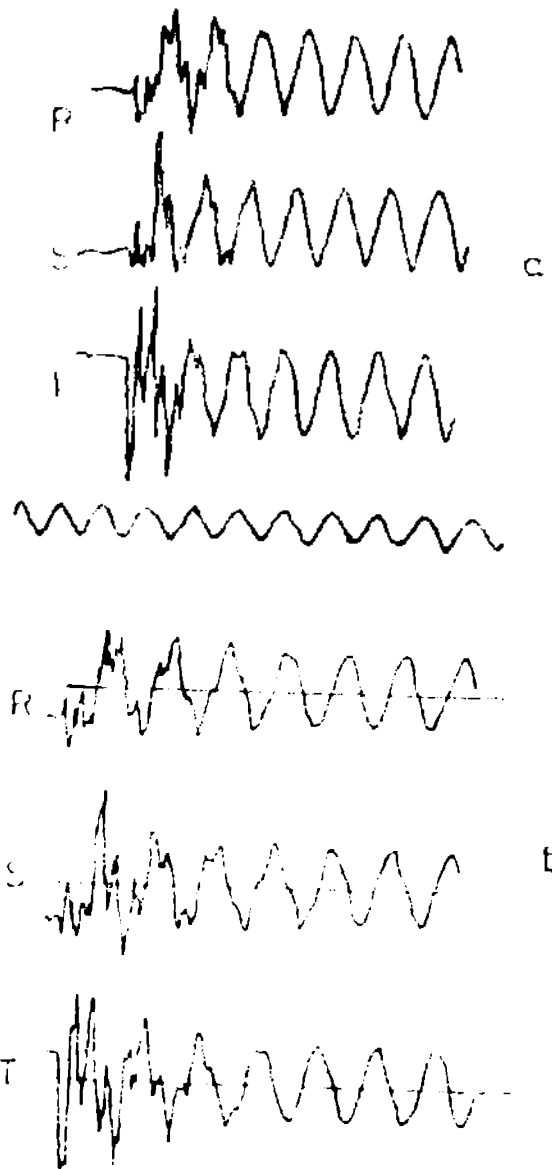
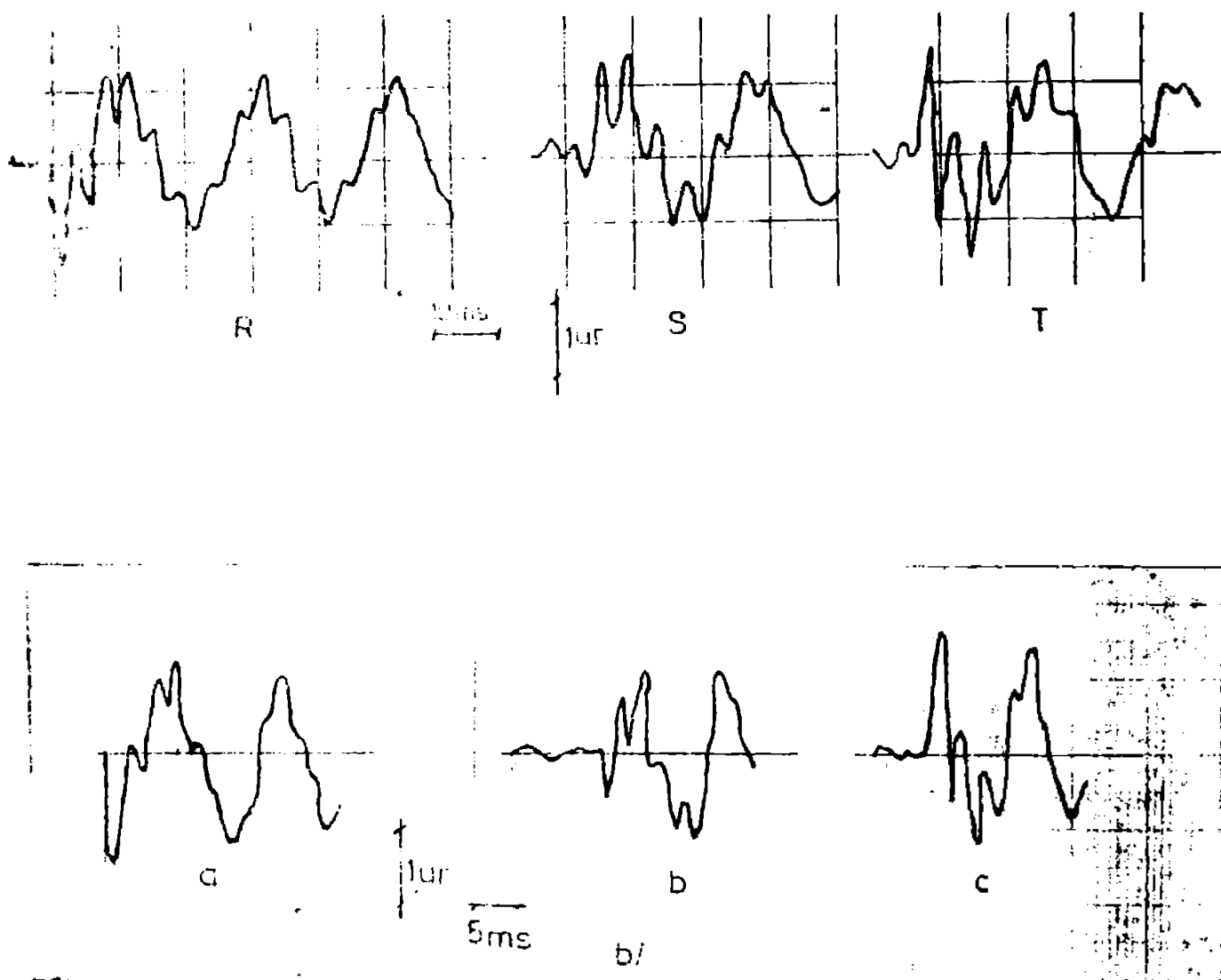


Fig.6.12. Supratensiuni de comutație la capătul terminal al unei linii de 345 kV și 175 mile

- a) rezultate măsurate în sistemul natural
- b) rezultate măsurate pe ATR

după 4 rulări succesive a programului de calcul LCOL, încercări necesare depistării sînt mai exacte a valorilor timpilor de conectare diferită a celor trei faze ale sursei. Neconcordanța cu rezultatele măsurate în sistemul natural se datorește și necunoașterii exacte a puterii de scurtcircuit a sursei la momentul conectării acestuia.



**Fig.6.13. Linie în gol București-Gura Ialomiței,
 $U_n = 400 \text{ kV}$, $l = 140 \text{ km}$ conectare ne-
simultană, unghiul fazei R de 270° ,
întârzieri la conectare $\Delta t_s = 11 \text{ ms}$,
 $\Delta t_T = 5 \text{ ms}$.
a) rezultat în sistemul natural
b) rezultat de calcul**

7. C O N C L U Z I I

Conținutul de ansamblu al tezei este conceput într-o dezvoltare succesivă de probleme care se completează continuu rezultând un aspect unitar. Concluziile fiecărui capitol sub aspect fenomenologic cât și analitic stau la baza dezvoltărilor etapelor atacate ulterior.

Contribuțiile originale ale autorului în problematica abordată în cadrul tezei de doctorat sînt în majoritatea lor de natură teoretică constînd în elaborarea de modele matematice complexe care permit calculul practic al regimurilor tranzitorii pe liniile electrice aeriene.

Relațiile de calcul utilizate sînt aproape în totalitatea lor deduse de autor.

Pe plan experimental contribuția autorului constă în determinarea prin colaborare pe două analizeare tranzitorii de rețea diferite ca realizare, cel aparținînd ICEKENERG-ului București și cel al catedrei de Electroenergetică din I.I.Timisoara, a mai multor regimuri tranzitorii rezolvate și analitic sau avute la dispoziție din măsurători practice efectuate în rețeaua naturală. Acest aspect a dus la validarea metodologiilor de calcul propuse.

Sub aspect practic, importanța tezei constă în faptul că în condițiile unor ipoteze simplificatoare reduse, toate regimurile tranzitorii studiate în cadrul tezei, atît cazurile supratensiunilor de comutație cât și cele atmosferice, au fost înglobate într-un singur program de calcul acceptabil ca timp de rulare. Gradul de generalitate al acestui program de calcul este completat de asigurarea posibilității alegerii aleatoare a momentului inițial de conectare a tensiunii sursei, cât și de folosirea aleatoare a întârzierii conectării polilor întrerupătorului.

Acest aspect asigură studiului analitic abordat posibilitatea de apreciere statistică probabilistică a nivelului supratensiunilor pentru un caz concret studiat.

În acest fel, modelele analitice dezvoltate pot constitui în totalitate, o metodă de investigație independentă, mult mai comodă și mai economică în determinarea solicitării izolației liniilor electrice aeriene și în consecință pot sta la baza di-

menționării acestora.

Pentru cazurile unor configurații nu prea complicate autorul consideră modelele matematice complexe, deci și a programului de calcul global elaborat, nu numai ca o metodă mai economică, dar și ca una mai sigură cu privire la exactitatea rezultatelor obținute. Această afirmație se bazează în esență pe posibilitatea considerării parametrilor lineici dependenți de frecvență prin modelarea adecvată a efectului pelicular cît și a parametrilor electrice ai solului cu conductivitate electrică finită.

De asemenea modelele matematice folosite au înglobat și aspectele unor fenomene neliniare care apar în funcționarea unor elemente de sistem, în speță a descărcătoarelor de rezistență variabilă, sau fenomenele neliniare legate de descărcarea corona și saturația miezului magnetic a reactoarelor și a autotransformatoarelor.

Repartizarea pe probleme abordate și pe capitole a contribuțiilor considerate de autor originale, este următoarea :

A. În calculul și analiza parametrilor lineici:

1. Se studiază comparativ trei posibilități de considerare a efectului pelicular în conductoarele liniei electrice cu influență atât asupra rezistenței electrice cît și a inductivității proprii a conductorului. Relațiile se bazează pe soluțiile ecuațiilor de pătrundere a cîmpului electromagnetic în mediul conductoarelor considerate și în ipoteza formei tubulare a acestora, cît și în construcția lor stratificată fasciculară.
2. Se dezvoltă relații de calcul proprii pentru considerarea efectului pelicular la frecvențe înalte prin înlocuirea dezvoltărilor exponențiale a funcțiilor Bessel de speța întâi și ordinul zero neconvergente în acest domeniu, cu relații matematice conținînd forme trigonometrice.
3. Se verifică relațiile de calcul simplificate pentru efectul pelicular care vor fi folosite în calculul analitic dezvoltat ulterior.
4. Se calculează modificările parametrilor lineici datorită participării solului la fenomenul de conducție electrică, prin considerarea relațiilor complete Carson-Pellaezek în domeniul frecvențelor 50 Hz-1 MHz și rezistivitatea solului 50-200 $\Omega \cdot m$.
5. Se demonstrează prin calcule concrete, influența neglijabilă a permitivității relative a solului în domeniul frecvențelor mai

mici de 10^3 Hz, cu ϵ_r cuprins între 1 și 60 și rezistivitatea solului în gama 50-200 Ωm . Permeabilitatea magnetică relativă a pământului depășind valoarea 5 și la frecvențe peste 10^4 Hz se dovedește că influențează parametrii liniei electrice într-o pondere apreciată de autor de 60% pentru rezistența liniică și 70% pentru inductivitatea liniică.

6. Se studiază exactitatea formelor analitice scrise în transformată Laplace pentru impedanțele liniice bazate pe dezvoltările funcțiilor Struve și Bessel, adoptându-se o formă corectată pe baza concordanței cu concluziile studiului în domeniul frecvenței a influenței efectului pelicular și a pământului.
7. Se dezvoltă, în transformată Laplace, forme analitice simplificate pentru constanta de propagare și impedanța de undă care se verifică cu exactitate în domeniul frecvenței.

Aceste forme analitice verificate sînt adoptate ulterior în modelele matematice de rezolvare a regimurilor tranzitorii.

8. Se determină în domeniul 50 Hz-1 MHz și rezistivitatea pământului de 50-200 Ωm modificările parametrilor liniici în măriri de fază datorită conductoarelor de protecție considerate legate rigid la pământ.
9. Se calculează și se verifică în domeniul frecvenței expresiile parametrilor liniici în transformată Clarke cît și a parametrilor caracteristici impedanță de undă și constantă de propagare.

B. În domeniul elaborărilor modelelor analitice de calcul a regimurilor tranzitorii :

In capitolul 3

1. Se fundamentează în calculul operațional în transformată Laplace, în domeniul componentelor α, β, ω , cît și în domeniul timpului și în măriri de fază, expresii de calcul proprii pentru funcția de răspuns tranzitoriu. Aceste expresii sînt specifice fiecărei componente α, β, ω pe baza analizei comparative a valorilor parametrilor liniici.
2. Se pune în evidență în mod distinct influența separată cît și simultană a efectului pelicular ,respectiv a pământului asupra funcției de răspuns tranzitoriu.
3. Se compară pe domenii de mărime a argumentului precizia de

calcul a două dezvoltări distincte a determinării funcției integrale a erorilor, funcție intervenind decisiv în expresia analitică a funcției de răspuns tranzitoriu.

4. Se adoptă la modelul de calcul algoritme de determinare de numere pseudoaleatorii pentru alegerea unghiului inițial de conectare a sursei, precum și generarea de numere pseudoaleatorii repartizate după o lege Gauss-Laplace de medie și abatere standard fixate pentru alegerea momentelor de conectare retardată a poliilor întrerupătorului sursei.
6. Se elaborează un program de calcul propriu "LGOL" pentru determinarea supraîncălzirilor de comutație pe baza integralei Duhamel cu considerarea conectării nesimultane a celor trei faze ale sursei.

În capitolul 4 :

1. Se determină expresii analitice originale pentru calculul funcției de răspuns tranzitoriu pentru linia având conectată la capătul terminal o rezistență electrică prin obținerea în domeniul timpului a produselor de convoluție calculate în două moduri distincte:
 - a) pe baza dezvoltărilor prin recurență a polinoamelor Hermite,
 - b) pe baza calculului funcțiilor Weber-Hermite prin transformări succesive cu ajutorul funcțiilor Weight și a funcției hipergeometrice degenerată exprimabilă în formă finală prin funcțiile factoriale Euler.
2. Se analizează pe domenii de mărime a rezistenței electrice conectate liniei precizia de calcul funcție de numărul de termeni considerați în dezvoltările funcțiilor definite la punctul anterior.
3. Pentru cazul rezistenței neliniare corespunzătoare descărcătoarelor de rezistență variabilă se prezintă un model de calcul pe baza unui algoritm de determinare prin tatonări succesive a punctului de funcționare pe caracteristica tensiune-curent liniarizată pe porțiuni.
4. Se prezintă un model matematic pentru considerarea fenomenelor neliniare determinate de efectul corona prin liniarizarea pe porțiuni a caracteristicii $q = f(u)$.
5. Se analizează pe baza rezultatelor utilizării unui program de calcul propriu influența a două tipuri de descărcătoare

de rezistență variabilă asupra propagării supratensiunilor atmosferice.

In capitolul 5

1. Se prezintă comparativ posibilitățile cuprinderii analitice prin scheme electrice echivalente a fenomenului saturației miezului feromagnetic asupra parametrilor electrici ai reactoarelor șunt și a autotransformatoarelor în condițiile neglijării fenomenului de histeresis.
2. Se determină relații de calcul pentru regimul tranzitoriu al conectării liniei electrice avînd la capătul terminal reactor șunt și autotransformator prin două metode distincte bazate pe o dezvoltare analitică directă dar laborioasă sau aplicînd teorema Thévenin într-o schemă electrică echivalentă. Modelele analitice sînt prezentate și într-o variantă simplificată accesibilă calculului concret.
3. Se analizează o metodologie de calcul pentru evidențierea fenomenului de saturație magnetică.
4. Folosind teoremele compensației și a superpoziției se deduc relații și metode de calcul a propagării supratensiunilor atmosferice în prezența la capătul terminal al liniei a reactoarelor șunt, autotransformatoarelor cît și a descărcătoarelor de rezistență variabilă.
5. Se elaborează programe de calcul pentru cazurile concrete prezentate oferindu-se în final rezultate comparative. Toate aceste programe de calcul se înglobează într-unul singur generalizat care calculează, la alegere, supratensiunile de comutație sau atmosferice pentru diverse condiții terminale ale liniei, program numit "REOTRANZ", cu ordinograma dată în anexă.

C. In domeniul rezultatelor experimentale

In capitolul 6 se compară rezultatele analitice calculate de către autor cu cele experimentale obținute pe două analizoare tranzitorii de rețea diferite ca și concepție de realizare. Se constată o apropiere cantitativă și calitativă a celor două categorii de rezultate apreciată de către autor ca fiind foarte bună pentru regimul de mers în gol și bună pentru celelalte regimuri de funcționare.

Contribuțiile originale în acest domeniu se referă la următoarele aspecte:

1. Se pune în evidență influența factorilor care duc la unele diferențe cantitative între rezultatele analitice și cele experimentale pe baza analizei pe domenii de frecvență a modului cum expresiile analitice ale parametrilor lineici oglindesc comportarea în timp a acestora. Acest lucru este pus în corelație cu posibilitățile analizoarelor tranzitorii de a reda variația cu frecvența a parametrilor lineici.
2. Se evidențiază prin analiza unor rezultate concrete, influența unghiului inițial de conectare a fazelor sursei asupra formelor supratensiunilor de comutație.

B I B L I O G R A F I E

1. Carson J.R. : Wave propagation in Wires with ground return.
Bell System Technical Journal 5, 1926.
2. Pollaczek K. : Über das feld einer unendlich langen
Wechselstromerchflossenen ein fachlei
Zung, Elektr. Nach. Tech. 1926.
3. Arismunandar A. : Capacitive correction factors for transmi-
ssion line to include finite conductivity
and dielectric constant of the earthy.
IEEE Trans. on PAS vol.82 (4), 1963, pp.436-
358.
4. Pélissier E. : La propagation des ondes transitoires et
périodiques en long des lignes électriques.
Rev. Gén. de Électricité no.9, 1950.
5. Răduleț E. : O teorie generală a parametrilor lineicii tran-
sitorii ai liniilor electrice lungi și cu
Timotin Al. pierderi în prezența solului.
Tugulea A. Stud. și cercet. de energ. și electrot.Ed.
Academiei ISH, tom 16, nr.3, 1966, pp.417-449.
6. Răduleț E. : Introducerea parametrilor tranzitorii în stu-
Timotin Al. diul circuitelor electrice liniare având
Tugulea A. elemente nefiliforme și pierderi suplimen-
tare.
Stud. și cercet. de energ. și electrot.Ed.
Academiei tom 16, nr.4, 1966, pp.857-929.
7. Stevenson W.D. : Element of power system analysis
Mc.Graw-Hill, New-York, 1962
8. Anșot A. : Complimente de matematici pentru inginerii
din electrotehnică și din telecomunicații.
Ed. Tehnică Buc. 1966.
9. Khuong D Tran : Digital simulation and analysis of surges
on polyphase transmission line with earth
return
Trans.of IEEE on PAS, vol.91(2) 1972

10. Galloway R.H. : Calculation of electrical parameters for
Shorrocks W.B. short and long polyphase transmission li-
Wedepohl L.H. nes
Proceeding IEE vol.111, nr.12, 1964,
pp.2051-2059
11. Tran K. : New study of parameters of EHV multiconduc-
tor transmission lines with earth return
IEEE Trans. on PAS.
12. Zalesky AM. : Transportul energiei electrice.Ed.Tehnică,
Buc., 1951.
13. Clarke E. : Analiza circuitelor electrice ale sisteme-
lor electroenergetice
Ed.Tehnică București, 1973
14. Drăgan G. ș.a.: Supratensiuni interne în sistemele electro-
energetice
Ed.Tehnică, București, 1975.
15. Hedman DG. : Propagation on overhead transmission lines.
Theory of model analysis
IEEE Trans. on PAS march 1965,pp.200-205.
16. Hedman DE.: Propagation on overhead transmission lines
Earth-conduction effects and practical re-
sults
IEEE. Trans. on PAS march 1965,pp.205-211.
17. Magnusson Ph. : Step-function response of a line with ground
return. Empirical asymptotic approximations
for impedance.
IEEE Trans. on PAS vol.61
18. Joeger J.C. : Introducere în teoria transformatei Laplace
Newstead G.H. cu aplicații în tehnică
Ed.Tehnică, București. 1971
19. Ditkine V. : Transformations integrales et calcul opera-
Proudnikov A. tionnel
Moscou, Edition Mir, 1978.
20. Smoleanski M.L.: Tabele de integrale nedefinite
Ed.Tehn. București, 1972.

21. Radner V. : Probleme de matematici speciale
Ed.Didact. și Pedagogică, București, 1982
22. Talukdar S.B. : Algorithms for the simulation of transients
multiphase variable parameter transmission
lines
IEE Trans on PAS march/april vol.91,no.2,
1972,pp.679-687.
23. Cristescu D. : Supratensiuni și izolația rețelelor electri-
ce , Ed.Didact. și Pedagogică, București,
1983
Olah F.
24. Siemens : Überspannungsschutzgeräte Isolatoren-
Katalog RG2-1979 wandler anlagengeräte luftdrosselspulen kon-
densatoren
25. Donald H.W. : Digital computer solution of electromagnetic
transients in single and multiphase networks
IEEE Trans. on PAS vol.88, april 1969,
pp.388-399
26. De Sabata I. : Bazele electrotehnicii vol.1-3
Inst.Politeh. Timișoara, 1977
27. Lee K.C. : Non linear corona models in an electromag-
netic transients program
IEEE Trans. on PAS vol.102, no.9, 1983,
p.2936-2942
28. Gary C. : Method of calculating distortion charac-
Drăgan G. terisation of the cycles
Cristescu D. Report CIGRE SC-33-1981
29. Kudyan H.M. : A non linear model for transmission lines
Shih C.H. in corona
IEEE Trans. on PAS vol.107, march 1981,
pp.1420-1430
30. Mihăilescu-Suliciu : A rate typ consecutive equation for
Suliciu I. the description of corona effect
IEEE Trans on PAS vol.100, Aug.1981,
p.3681

31. Drăgan G. : Măsurarea pierderilor prin descărcarea corona pe liniile de 400 kV efectuată în țară
Cristescu D.
Conferința Națională de Electrotehnică și Energetică 17-18 sept.1982 Timișoara
32. Jean G.S. : Experimental determination of the durability of HV arresters
Latour Y.
Roy M.
IEEE Trans. PAS vol.100,no.3, 1981
33. Clade J.J.: Calculation of corona losses beyond the critical gradient in alternating voltage
Gary G.M.
Lefevre C.
IEEE Trans. on PAS vol.88 may 1969 pp.695-703
34. Chartrer V.L. : Investigation of corona and field effects of AC-DC hybrid transmission line
IEEE Trans. on PAS Jan.1981,pp.72-81
35. Kirkam H. : The influence of rain rate on transmission line corona performance
IEEE Trans. on PAS Jan.1981 p.420-424
36. Janischewsky I.: Corona characteristic of simulated rain
IEEE Trans.on PAS febr. 1981 p.537-542.
37. Nakgaw M. : Admittance correction effects of bingle over head line
IEEE Trans. on PAS march 1981,p.1154-1158
38. Clayton R.E. : Surge arrester protection and very fast surges
Grant I.S.
Hedman D.E.
Wilson D.D.
IEEE Trans. on PAS vol.102, no.8,aug.1983 p.2400-2413
39. Kraege J.S. : A new concept in station arrester design
Miske S.A.
Sakshang E.C.
IEEE Trans. on PAS vol.96, no.2, march/april 1977,pp.647-656.
40. Gary C. : Attenuation of surge propagation due to corona
Drăgan G.
Cristescu D.
CIGRE 33-01, Paris 1981
41. Kobayashi S. : A unit arrester application for HVDC thyristor valve
Takahashi T.
Yoshino T.
IEEE Trans.on PAS vol.103,no.10,oct.1984 pp.3080-3080

42. Harrison F.E.: A proposed test specification for HVDC thy-
Shemie I.K. rister valve
Krishnaya P.C. IEEE Trans. on PAS ,vol.97, no.6,Nov./dec
1978
43. Velazquez F.: Analitical modeling of grounding electrodes
Mukhedkar D. transient behavior
IEEE Trans. on PAS vol.103, no.6,1984,
p.1314-1323
44. Carrus A. : Very short tailed lighting double exponen-
Punes L. tial wave generation techniques based on
Mark circuit standard configurations
IEEE Trans.PAS vol.103, no.4,april 1984
p.782-786
45. Master M.J. : Lightning induced voltages on power lines:
Uman M.A. theory
IEEE Trans. on PAS vol.103,no.9,sept.1984
p.2502-2519
46. Master M.J. : Lightning induced voltages on power lines:
Uman M.A. experiment
IEEE Trans. on PAS vol.103,no.9,sept.1984,
p.2519-2530
47. Adielson T. : Resonant over voltages in EHV transformers
Carlson A. Modeling and application
IEEE Trans on PAS vol.100,no.7,July 1981,
pp.3563-3568
48. Placche F. : Artificial unloaded lines for testing high
voltage circuit-breakers
IEEE Trans.on PAS vol.103,no.9 sept.1984
p.2553-2563
49. Mc Granaghan : Over voltage protection of shunt-capacitor
Feid W.E. banks using MOV arresters
Law S.W. IEEE Trans.on PAS vol.103,no.8,1984,
p.2326-2337.
50. Okuyama K., : Development of UHV prototype transformer
Hosoi M. & a. and its application to 500 kV transformer
IEEE Trans. on PAS vol.103,no.9,sept.1984
pp.2545-2553.

51. Arsenean K. : A method for estimating the sinusoidal
Moore W. iron losses of a transformer from measur-
ments made with distorted voltage wave
forms
IEEE Trans. on PAS vol.103,no.10,oct.
1984, pp.2912-2919
52. Nishida S. : A new algorithm of digital protection for
Sakaguchi T. shunt reactors
IEEE Trans. on PAS vol.103,no.10,oct.1984
pp.2935-2943
53. Banakar M.H. : Resonance in long distance radial transmi-
Ooi B.T. sion lines with static var compensation
IEEE Trans. on PAS vol.103,no.6,1984
Part I Frequencies and mode shapes pp.1224-
1233
Part II Supersynchronous limit.pp.1233-
1242
54. Croteau G. : Analysis of reignition of multiple break
Bois-Clair J.C. switches devices application to shunt
Jeanjean F. reactor current interruption
IEEE Trans. on PAS vol.103, nov.1984,
pp.1377-1386
55. IEEE Committee Shunt reactor protection practices
report
IEEE Trans. on PAS vol.103,no.8, 1984,
pp.1970-1977
56. Mc Granaghan K.F. : Over voltage protection of shunt capa-
g.s. citor banks using MOV arresters
57. Militaru P. : Soluții și realizări constructive ale
g.s. liniei de 750 kV pentru interconexiunea
cu URSS și IPB
Simpozionul Național de Tețele Electrice
Timișoara oct. 1984
58. Ushirosawa M. : High frequency propagation on non-trans-
posed power line
IEEE Trans. on PAS vol.103,1964,no.11,
pp.1137-1145

59. Wedepohl L.M. : Electrical characteristics of poly phase transmission system with special reference to boundary-value calculations at power line carrier frequencies
Proc.of IEE vol.112 no.11,1965
60. Wagner E. : Vereinfachte berechnung der modal parameter von hochspannungsfreileitungen mit neben einander liegenden leitern
Archiv.für Electrotechnike vol.52,4,1969
pp.239-259
61. Popovici N. : Metodă și program de calcul al parametrilor
Popescu A. liniilor electrice aeriene trifazate
Cristovici A. Energetica, nr.5, 1970, pp.202-209
62. Luke Y.M.: Multiconductor analysis.Part I.:A study of the characteristics of EHV bundled conductor transmission lines
Part II: An investigation of faults on EHV transmission lines
IEEE Trans. on PAS no.3, may-jun.1972, pp.1107-1119
63. Comellini E. : A computer program for determining electrical resistance and reactance of any
Imenizzi A. transmission line
Manzoni G. IEEE Trans. on PAS, no.1, 1973, pp.308-315
64. Perz M.C. : Propagation analysis of HF currents and voltages on lossy power lines
IEEE Trans. on PAS, no.6, 1972, pp.2032-2044
65. Popescu A. : Aspecte privind transpunerea liniilor electrice aeriene
Energetica, nr.2, 1972.
66. Priest K.W. : Calculation of the radio interference statistics of transmission lines
Carter G.K. Juette G.W. IEEE Trans. on PAS, no.1, 1972, pp.92-99
67. Perz M.C. : Effects on earth resistivity on modal parameters of an EHV horizontal line at plc frequency
Hazel F.L. IEEE Trans.on PAS, no.6, 1973, pp.2044-2053

68. Wedephol L.M. : Waves propagation on polyphase transmission systems, resonance effects due to discretely bonded earth wires
Wasley R.C.
Proceedings of IEE, vol.112, no.11, 1965, pp.2113-2119
69. Nemeş M. : Unele aspecte ale propagării undelor pe liniile electrice aeriene legate de uniformitatea deschiderilor
Energetica, 18, nr.5, 1970, pp.219-222
70. Avramescu A. : Studiul supratensiunilor ce apar la declanşarea liniilor în gol cu ajutorul calculatorului analogic
Drăgan G.
Adămuţ I.
Petcu M.
Studii ş. cercet. de energ.electroteh. tom 14, nr.2, 1964.
71. Adămuţ I. : Contribuţii la rezolvarea ecuaţiilor de propagare pe liniile electrice lungi multifilare cu pierderi, nesimetrii ş. influenţe mutuale
Studii ş. cercet. energ.electroteh.tom 17, nr.4, 1967
72. Abetti, P.A.: Méthodes pour l'étude des tensions anormales dans les transformateurs
Bul.Sc.Inst.Elth. Montefiore, 1957
73. Heller B. : Les phénomènes de choc dans les machines électriques
Veverka A.
Dunod, Paris, 1963
74. Jezierski E. : Transformatoare electrice ş.a.
Ed.Tehn. Bucureşti, 1966
75. Blume L.F. : Abnormal voltages within transformers
Boyajian A.
Trans AIEE, 1919, p.557-614
76. Dordea T. : Maşini electrice vol.I
Inst. Politehnic Timişoara, 1964
77. Porens J. : Théorie générale des phénomènes oscillatoires dans les enroulements de transformateurs
Rev.Gen.Électr., 47, 1940, pp.19-64

78. Hortopan Gh. : Modelul geometric și electromagnetic al transformatorului
Electrotehnica, nr.9-12, 1961, pp.381-386
79. Froidevaux J. : Les modèles auxiliaires du calcul des transformateur
Bull.Sécheron ,nr.25, 1956, pp.41-46
80. Heller B. : Die modelltheorie der stosserscheinungen in transformatoren
Elektrotechnika, Mash-Baum.nr.11, 1957
pp.249-259
81. Manea F. : Scheme echivalente ale transformatoarelor rețelelor electrice
Studii cercet. energ. electroteh. tom 18, nr.4, p.853-859
82. Adămuț I. : Considerații asupra preciziei modelării analogice prin metoda diferențelor finite a ecuațiilor de propagare pe o linie electrică
Studii și cercet. energ. electroteh. tom 19, nr.1, 1969, pp.199-216
83. Adămuț I. : Metode analogice de rezolvare a ecuațiilor telegrafistilor generalizate de ordinul întâi
Studii și cercetări energetice și electrotehnice, tom 19, nr.2, 1965, pp. 357- 375
84. Uram R. :
Miller R.W. : Mathematical analysis and solution of transmission line transients.
I Theory
IEEE Trans on PAS 83, 1964, pp.1116-1123
II. Application
IEEE Trans. on PAS 83, 1964
pp.1123-1137

85. Bergeron L. : Du coup béliier en hydraulique au coup de foudre en électricité. Dunod Paris, 1950
86. Snelson J.K.: Propagation of travelling waves on transmission lines frequency dependent parameters
IEEE Trans on PAS no.1, Jan.-Febr.1972, pp.85-92
87. Prinz H. :
Zangl E.
Völcker O. Das Bergeron verfahren zur lösung von wanderwellen auf gaben
Buletin ASE n.53, 1962, pp.725-739
88. Budner A. : Introduction of frequency-dependent line parameters into an electromagnetic transients program
IEEE Trans on PAS nr.89, Jan.1970, pp.88-97
89. Ionescu Al. : Unele rezultate ale cercetărilor privind nivelul supratensiunilor de comutație în rețelele de înaltă tensiune din RSR
Energetica, nr.10, 1968
90. Adămuț I. : Cercetări privind variația tensiunii la extremitatea receptor a unei linii de lungime finită, fără pierderi, pe o cale nouă, modelarea analogică a funcțiilor Laguerre generalizate
Studii și cercet.energ.electroteh.tom 18, no.1, 1968 pp.179-197
91. Wedepohl L.M.: Application of matrix methods to the solution of travelling wave phenomena in polyphase system
Proceedings of IEEE, 110, dec.1963, pp.2200-2212.
92. Dommel H. : Non linear and time varying elements in digital simulation of electromagnetic transients
IEEE Trans. on PAS vol.90, no.6, nov.-dec. 1971 , pp.2560-2568
93. Swift W.G. : An analytical approach to ferroresonance
IEEE Trans. on PAS vol.88, no.1, Jan.1969, pp.42-46

94. Talukdar S.N. : On modeling transformer and reactor saturation characteristics for digital and analog studies
S.A.
IEEE Trans. on PAS vol.94, no.2, March-april 1975 pp.612-622
95. Magnusson Ph. : Prediction of surge response of a symmetrically excited three-phase line and comparison with experimental results
IEEE Trans. on PAS vol.94, no.2, March-april 1975, pp.416-424
96. Semlyen A. : Fast and accurate switching transient calculations on transmission lines with ground return using recursive convolutions
IEEE Trans. on PAS vol.94, no.2, March-april, pp.561-571
97. Semlyen A. : A system approach to accurate switching transient calculations based on state variable component modelling
IEEE Trans. on PAS vol.94, no.2, March-april, pp.372-578
98. Dommel H. : Transformer models in the simulation of electromagnetic transients
5-th Power Systems Computation Conference, Cambridge, England
99. Talukdar S.N. : Algorithms for the simulation of transients multiphase variable parameter transmission lines
IEEE Trans. on PAS vol.91, no.2, March-april 1972, pp.679-687.
100. Phelps J.D. : Experience with part-windings resonance in
Carlomagno A. : EHV auto-transformers: diagnosis and corrective measures
IEEE Trans. on PAS vol.94 no.4, July-Aug. 1975, pp.1294-1300
101. Mc Elroy A. : On the significance of recent EHV transformer failures involving windings resonance
IEEE Trans. on PAS vol.94, no.4, July-Aug. 1975, pp.1301-1316

102. Arismunandor A. : A digital computer iterative method for
Price W.S.
Mc Elroy A. simulating switching surge responses of
power transmission networks
IEEE Trans. on PAS ,no.4, april 1964, pp.
356-368.
103. Tripathy S.C.: Comparison of stability proprieties of
numerical integration methods for switching
surges.
IEEE Trans. on PAS vol.97,no.6,nov.dec.1972
pp.2318-2330
104. Disk E.P.: Transformer models for transient studies
Watson W. based on field measurments
IEEE Trans. on PAS vol.100,no.1,Jan.1981
pp.409-417
105. Nakra H.L.: The dynamics of coupled circuits with ferro-
Barton T.H. magnetic non-linearity
IEEE Trans. on PAS vol.90,no.5,sept-oct.
1971,pp.2349-2358
106. Hedman D.E.: Travaling wave terminal simulation by equi-
Mountford J.D. valent circuit
IEEE Trans. on PAS vol.90,no.6,nov.-dec.
1971 pp.2451-2459
107. Hedman D.E. : Theoretical evaluation of multiphase propa-
gation
IEEE Trans. on PAS vol.90,no.6,nov.-dec.,
1971,pp.2560-2471
108. Marinescu A. : Progrese în tehnica de încercare a transfor-
matoarelor de putere la acțiunea supraten-
siunilor de comutație
CNEE 1982, Timișoara, vol.11,pp.209-222.
109. Perz M.C. : Natural modes of power line carrier on hori-
zontal three phase lines
IEEE Trans. on PAS, vol.80, no.6, July 1964,
pp.679-686
110. Perz M.C. : A method of analysis of power line carrier
problemes on threes phase lines
IEEE Trans. on PAS ,vol.80,no.6,July 1964,
pp.686-691

111. Barthold L.Q.: Radio frequency propagation on poly-phase lines
IEEE Trans. on PAS, vol.80, no.6, July 1964, pp.665-671
112. Clerici A. : Influence of line transpositions on re-energization overvoltages number of operations for reliable overvoltage statistical distributions
Nogorole M.
IEEE Trans. on PAS, vol.105, no.1, Jan.-Febr.1973, pp.25-38
113. Thomas C.H. : Switching surges of parallel HV an EHV un transposed transmission lines studied by analog simulation
Welle D.H.
Hedin R.A.
IEEE Trans. on PAS vol.95, no.1, Jan-Febr. 1972, pp.180-190
114. IEEE Working Control an reduction on AC transmission lines
group on switching surges
IEEE Trans. on PAS vol.101, no.8, Aug. 1982, pp.2694-2701
115. Dolghinov A.J.: Volnovoi metod raschieta perehodnih protsessov v elektriceskih sistemah na tiferovih vicislitelnih masinah
Satin V.S.
Electricestvo, no.4, 1964, pp.38-45
116. Stafford E.M.: Calculation of travelling waves on transmission systems by finite differences
Evans D.J.
Hingorani N.G.
Proceedings of IEE, vol.112, no.5, 1965, pp.941-948
117. Colombo A. : Determination of transient recovery voltages by means of transient network analyzers
Courcaw J.P.
IEEE Trans. on PAS, vol.87, no.6, pp.1371-1381
118. Adămuț I. : Metode analogice de rezolvare a ecuațiilor telegrafistilor generalizate de ordinul unu
Studii și cercet. în energ. și electrot.
tom 19, nr.2, 1965, pp.357-375

119. Negru V. : Tehnica tensiunilor înalte. Supratensiuni atmosferice
I.P. Timișoara, 1982
120. Badea P. : Stabilirea schemei de încercare pentru măsurarea nivelului supratensiunilor ce apar la declanșarea liniei în gol
Stud. cercet. energ. electroteh. tom 20, nr.4, 1962, pp.661-672
121. Iacobescu Gh. : Supratensiuni produse la deconectarea în gol a transformatoarelor
Iordănescu I.
Energetica, nr.10, 1968
122. Constantin E. : Contribuții la calculul supratensiunilor de comutație la liniile de transport de înaltă tensiune
Teză de doctorat: I.P. Timișoara, 1969
123. Fathy Mustafa: Contribuții la studiul regimurilor tranzitorii și a supratensiunilor la liniile electrice de înaltă tensiune
Teză de doctorat: I.P. București, 1972
124. Nemeș M. : Analiza fenomenelor tranzitorii de comutație în rețelele electrice cu elemente terminale de tip reactor transversal și autotransformator
Teză de doctorat. I.P. Timișoara, 1972.
125. Nemeș M. : Metodă de analiză și calcul a supratensiunilor datorate comutației la linii electrice de î.t. cu elemente terminale de tip transformator
Stud. cercet. energ. electroteh. tom 22, nr.3 1972, pp.723-733
126. Nemeș M. : Funcția de răspuns tranzitoriu la liniile electrice cu elemente terminale concentrate de tip impedanță
Teodorescu E.
Stud. cercet. energ. electroteh. tom 22, nr.4, 1972, pp.903-912
127. Nemeș M. : The influence of frequency dependent parameters on the transient response function for a live with and impedance
Velicescu C.

- Révue Roum. Scient. Téchn.-Electrotech. et Energ. 22,3.
Bucarest 1977, pp.353-358
128. Nemeş M. :
Velicescu C. : Optimizarea folosirii unor metode de calcul în fenomenele tranzitorii
Sesiune de comunicări ştiinţifice I.P. Timişoara, 1974
129. Nemeş M. :
Ivaşcu C. :
Velicescu C. : Influenţa rezistorului de limitare asupra nivelului supratensiunilor cauzate de defecte monofazate la liniile de m.t.
Sesiune de comunicări ştiinţifice I.P. Timişoara, 1977, vol., pp.249-253
130. Velicescu C. : Consideraţii asupra efectului pelicular la liniile electrice aeriene
Bul. şt. tehn. I.P. Timişoara, tom 22 (36), fasc.1, 1977, pp.204-206.
131. Velicescu C. : Influenţa pământului asupra parametrilor liniilor electrice de transport, Ses. comunic. şt. I.P. Timişoara, vol. pp.269-274
132. Velicescu C. : Influenţa saturaţiei elementului terminal la calculul funcţiei de răspuns tranzitoriu la LEA, Ses. comunic. şt. I.P. Timişoara, vol. pp.263-267
133. Velicescu C. : Analiza parametrilor liniilor electrice aeriene în domeniul frecvenţei
Buletin St. Tehnic I.P. Timişoara, tom 24 (38) fasc.1 iunie, 1978, pp.59-62
134. Velicescu C. :
Boitor V. :
Ciosici C. : Aplicarea principiilor similitudinii pentru modelarea transformatoarelor de putere
Sesiune de comunicări I.P. Timişoara, mai 1977
135. Velicescu C. : Calculul supratensiunilor de comutaţie considerînd dependenţa de frecvenţă a parametrilor lineici - consideraţii teoretice -
Conferinţa Naţională de Electroenergetică Craiova 1984, vol.13, pp.175-184

136. Velicescu C. : Calculul supratensiunilor de comutație considerînd dependența de frecvență a parametrilor lineici
- Rezultate de calcul și experimentale-
CNEE Craiova ,1984, vol.13,pp.185-190
137. Velicescu C. : Posibilități de considerare a elementelor neliniare în calculul supratensiunilor de comutație
CNEE Craiova 1984, vol.13, pp.191-196
138. Velicescu C. : Analiza supratensiunilor de comutație pentru LEA funcție de modul de considerare a parametrilor lineici
Simpozionul Național de Rețele Timișoara,
oct.1984, vol.II pp73-80
139. Velicescu C. : Asupra calculul supratensiunilor de comutație la liniile electrice în gol
Buletin St.Tehn. I.P. Timișoara, tom3(4)1985
pp 55-60.
140. Velicescu C.: Influența considerării saturației reactoarelor de compensare în calculul supratensiunilor
Sesiune de comunicări științifice I.P. Timișoara,1974.
141. Avila-Rosales J.: Non linear frequency dependent transformer model for electromagnetic transient studies in power systems
Alvarado F.
IEEE Trans. on PAS vol.101, no.11,Nov.1982, pp.4281-4288
142. Tigulea A. Uniqueness conditions in the determination of electrostatic and quasi-stationary magnetic fields in non linear materials with reversible polarization and magnetization
Timotin Al.
Rev.Sci.Tech. Electrotechnique et Energetique no.10,3, 1965
143. Gary C. : The parameters of an electrical line considering the influence of impulse corona discharge
Drăgan G.
Edinburgh 1983, raport WG 33.01.83

144. Colectiv : Determinarea supratensiunilor interne la punerea în funcțiune a LEA 400 kV Porțile de Fier-Urechiești-București. Generalizarea experienței de exploatare, vol.127, București,1973.
ICEMENERG
145. Antonescu M.: Analytical considerations concerning the characteristics of feedback-controlled nonlinear reactors
Bul.Inst.Politehnic Iași, tom XIX, fasc.1-2, 1973, pp.63-67
146. Velicescu C.: Model matematic de calcul a supratensiunilor interne și externe pe liniile electrice cu reactor de compensare și autotransformator
Sesiune de comunicări ICEMENERG ,sept.1985
147. Velicescu C.: Calculul propagării undelor de supratensiune externe considerând dependența de frecvență a parametrilor lineici, a efectului corona, în condiții terminale rezistive neliniare.
Sesiune de comunicări ICEMENERG ,sept.1985.

A N E X A

ORDINOGRAMELE PROGRAMELOR DE CALCUL

Programul de calcul "PARAM" determină parametrii liniei de tranziție ai LEA de 400 kV sau 750 kV în componente de fază, cât și în componente α, β , o considerând efectul pelicular și influența solului. Gama de variație a frecvenței este aleasă de la 50 la 10^6 Hz, iar rezistivitatea solului între 50-200 Ω m. Ordinograma de principiu a programului de calcul este redată în fig.A1.

Subrutinele ajutătoare sînt în număr de 10, rezolvînd următoarele probleme:

Subrutinele BESSEL, BESSEL 1, BESSEL 2, BESSEL 3 calculează prin dezvoltări exponențiale părțile reale respectiv imaginare, cât și derivatele lor, a funcției Bessel de ordinul zero și speța întâia.

Subrutinele VESSEL, VESSEL 1, VESSEL 2, VESSEL 3 determină problema enunțată anterior, dar în domeniul frecvențelor mari, peste 10^4 Hz, prin relații de calcul determinate separat.

Subrutinele MACMULT și MACDI calculează înmulțiri și diferențe de matrici complexe.

Din biblioteca BIBINS s-a apelat la subrutina CMRINV pentru inversarea de matrici complexe.

Programul de calcul complex numit "REGTRANZ" rezolvă următoarele regimuri de funcționare, la alegerea utilizatorului :

1. Regimul de mers în gol al liniei
2. Regimul constînd din conectarea liniei peste o rezistență electrică în variantele :
 - a) rezistență constantă
 - b) rezistență neliniară
 - c) în cazurile anterioare se poate adopta calculul simplificat sau complet funcție de valoarea rezistenței electrice
3. Regimul corespunzător existenței unei inductivități la capătul terminal al liniei în variantele :
 - a) inductivitate constantă
 - b) inductivitate neliniară
4. Regimul tranzitoriu datorat unei lovituri atmosferice în conductoarele liniei, în variantele :
 - a) neglijarea efectului corona
 - b) considerarea efectului corona
 - c) prezența unui descărcător cu rezistență variabilă

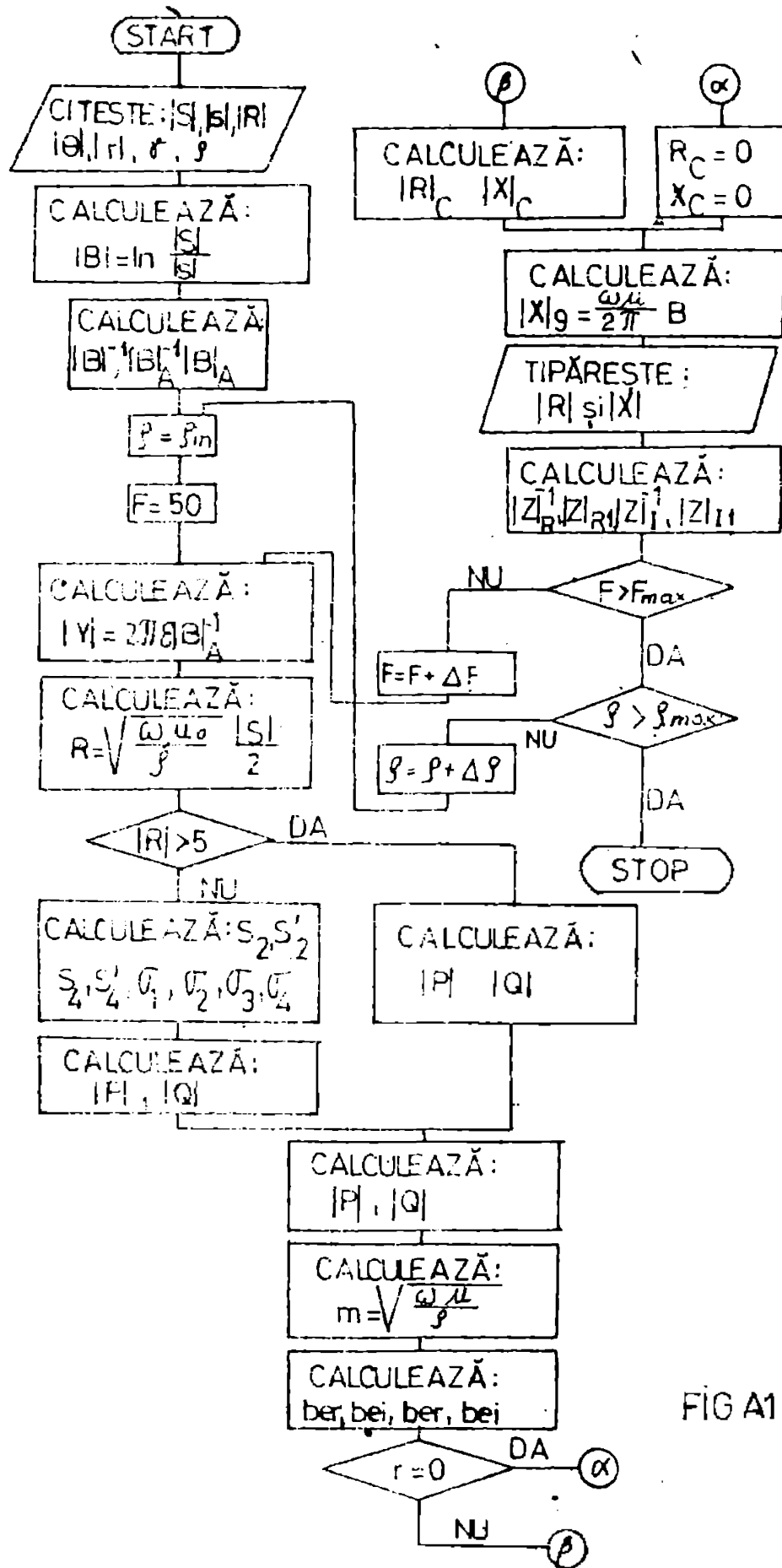


FIG A1 ORDINOGRAMA PARAM

d) combinații a două din cele trei cazuri anterioare

5. Funcția de valoare parametrilor lineici se pot calcula supratensiunile din cazurile enumerate cu sau fără considerarea efectului pelicular în conductoarele liniei și în prezența sau neglijarea proprietăților electrice ale pământului.

Ordinograma de principiu a programului de calcul este redată în fig.A.2 unde se disting notațiile :

Reg=	{	0 - regim de mers în gol al liniei
		1 - regimul liniei cu rezistență electrică adoptând calculul simplificat
		2 - regimul liniei cu rezistență electrică, calcul extins
TRZ=	{	0 - supratensiuni de comutație
		1 - supratensiuni externe
COR=	{	0 - fără considerarea efectului corona
		1 - efect corona prin liniarizarea caracteristicii $q = f(u)$ prin 3 porțiuni
		2 - același lucru realizat prin 4 liniarizări
CTEX=		1 - regimul liniei cu inductivitate la capătul terminal
SAT =		1 - considerarea neliniarității rezistenței electrice sau inductivității terminale liniei
DRV =		1 - se evidențiază prezența descărcătorului de rezistență variabilă

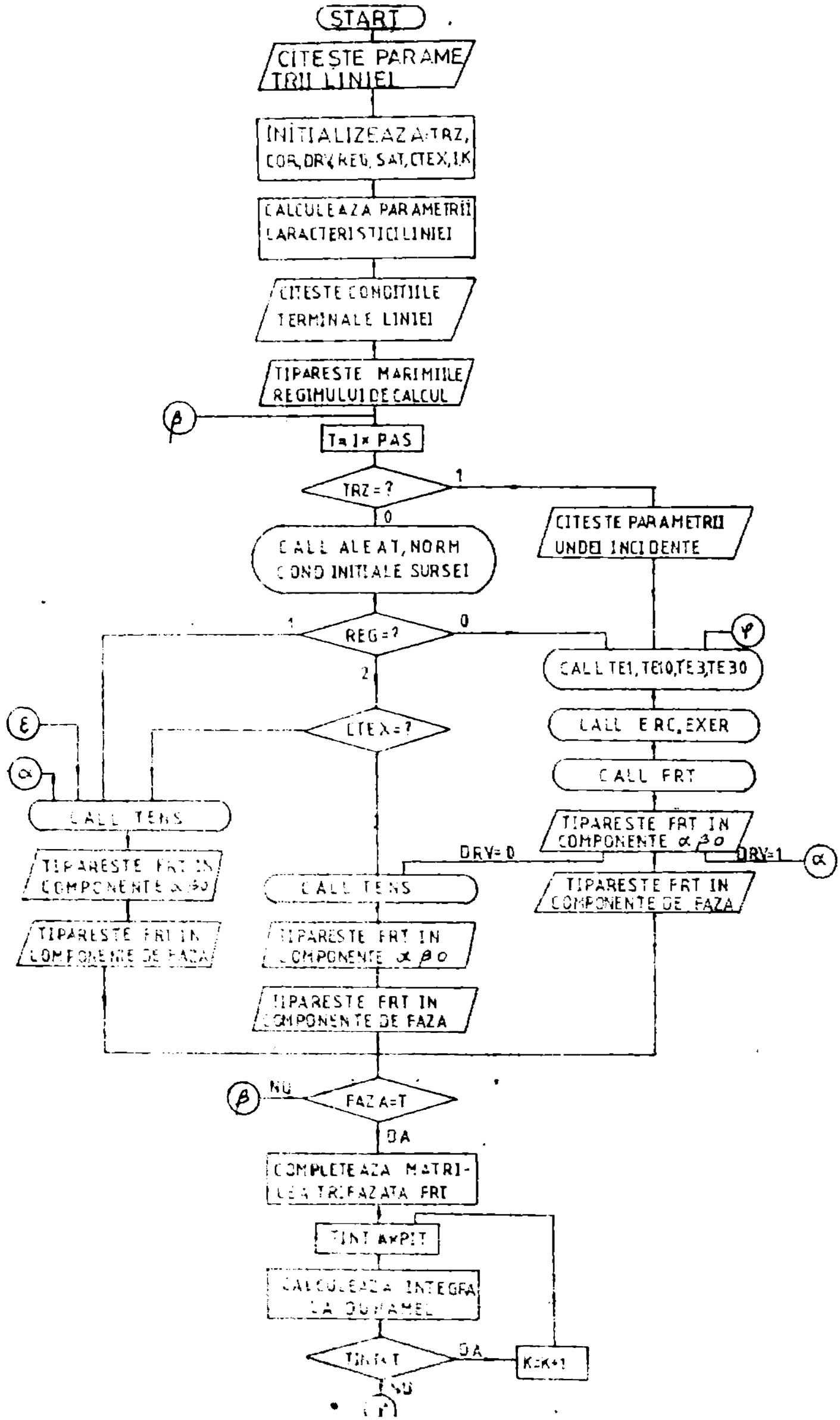
Subrutinele programului, în număr de 15, rezolvă următoarele probleme :

Subrutinele T1, T10, T3, EXER, ERFC calculează termenii funcției de răspuns tranzitoriu în componente $\alpha, \beta, 0$ pentru regimul de mers în gol, respectiv regimul constând din linie cu rezistență electrică la capătul ei terminal.

Subrutinele FACT, PSI2, T11, T21 determină funcția de răspuns tranzitoriu pentru linie în regim de mers în gol și rezistiv, în componente $\alpha, \beta, 0$ în cazul liniei cu parametrii lineici constanți.

Subrutinele COEF și FUPI calculează termenii suplimentari pentru calculul complet a funcției de răspuns tranzitoriu în componente $\alpha, \beta, 0$ pentru cazul liniei având la capătul terminal o rezistență electrică.

Subrutina PCV rezolvă produsul de convoluție în calculul



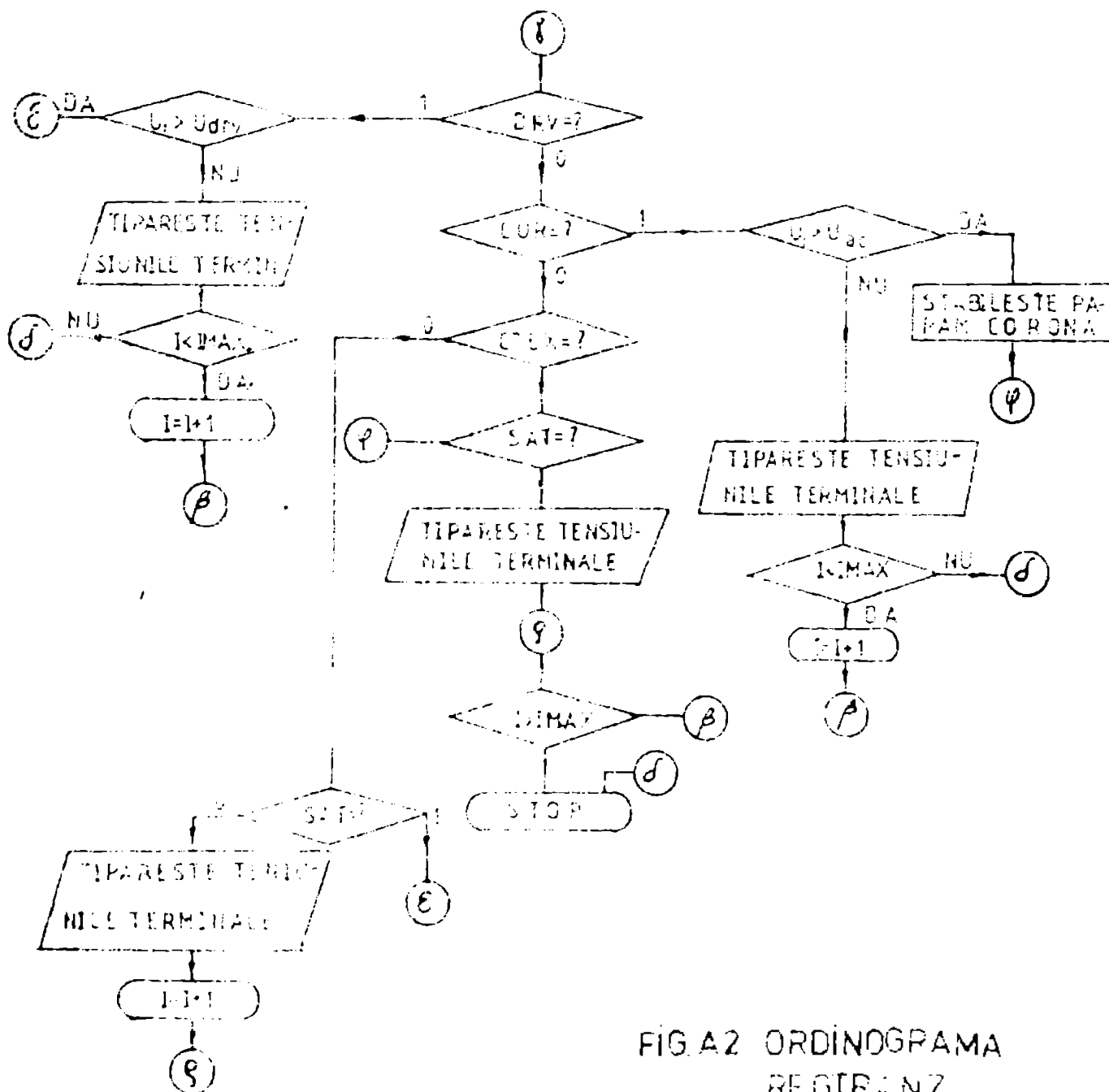


FIG. A2 ORDINOGRAMA
REGTRANZ

funcției de răspuns tranzitoriu corespunzător termenilor determinați de subrutinele COEF și FUII.

Subrutina FHT determină funcția de răspuns în componente de fază,

Subrutina TRMS, respectiv ITRMS determină funcția de răspuns în cazul existenței la capătul liniei a unui descărcător cu rezistență variabilă, respectiv inductivitate.

Efectuarea integralei Duhamel se realizează în cadrul programului principal.

Din biblioteca calculatorului s-a apelat la subrutina PORAB pentru rezolvarea ecuațiilor algebrice de grad superior, iar subrutinele ALEAT și NORM determină în mod aleatoriu condițiile inițiale ale sursei de tensiune aplicată liniei.